

S 52-2/212-1992
0-660-57413-6
24.95 \$ + 0

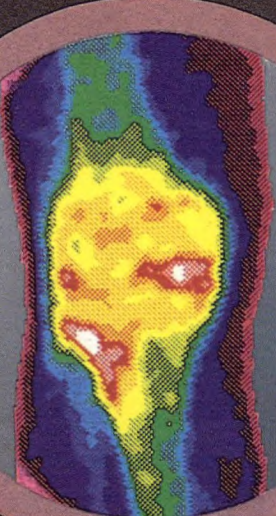
**Vocabulaire de sémiologie
de l'appareil locomoteur**

Volume II : signes d'imagerie médicale

**Vocabulary of Signs and Symptoms
of the Musculoskeletal System**

Volume II: Medical Imaging Signs

212

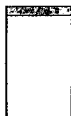


**Terminologie
Terminology**



Canada

JUN 26 1992



Vocabulaire de sémiologie de l'appareil locomoteur

Volume II : signes d'imagerie médicale

Sous la direction des
D^r André Lussier et
Germain Beauregard et
de Sylvie Dionne

Vocabulary of Signs and Symptoms of the Musculoskeletal System

Volume II: Medical Imaging Signs

Under the Direction of
Dr. André Lussier,
Dr. Germain Beauregard and
Sylvie Dionne

Bulletin de terminologie 212

Terminology Bulletin 212

Projet conjoint du
CONSEIL DE RECHERCHES
MÉDICALES DU CANADA
et du
SECRÉTARIAT D'ÉTAT
DU CANADA

Joint Project of the
MEDICAL RESEARCH
COUNCIL OF CANADA
and the
DEPARTMENT OF THE
SECRETARY OF STATE
OF CANADA

Illustration

Conception : Annie Larouche
Montréal (Québec)

D'après une scintigraphie osseuse
d'un genou
Gracieuseté du Dr Guy Lamoureux
Centre hospitalier universitaire de
Sherbrooke
Sherbrooke (Québec)

Design: Annie Larouche
Montréal, Quebec

From a bone scintigraphy of a
knee joint
Courtesy of Dr. Guy Lamoureux
Centre hospitalier universitaire de
Sherbrooke
Sherbrooke, Quebec.

© Ministre des Approvisionnements
et Services Canada 1992

En vente au Canada par l'entremise des

Librairies associées
et autres libraires

ou par la poste auprès du

Groupe Communication Canada — Édition
Ottawa (Canada) K1A 0S9

N° de catalogue S52-2/212-1992
ISBN 0-660-57413-6

© Minister of Supply and Services
Canada 1992

Available in Canada through

Associated Bookstores
and other booksellers

or by mail from

Canada Communication Group — Publishing
Ottawa, Canada K1A 0S9

Catalogue No. S52-2/212-1992
ISBN 0-660-57413-6



Données de catalogage avant publication (Canada)

Vedette principale au titre:

Vocabulaire de sémiologie de l'appareil locomoteur. Volume II, Signes d'imagerie médicale = Vocabulary of signs and symptoms of the musculoskeletal system. Volume II, Medical imaging signs

(Bulletin de terminologie = Terminology bulletin ; 212)
Texte en français et en anglais.
Publ. par le Bureau de la traduction, Direction de la terminologie et des services linguistiques.
«Projet conjoint du Conseil de recherches médicales du Canada et du Secrétariat d'État du Canada.»
Comprend des références bibliographiques.
ISBN: 0-660-57413-6
Cat. MAS no S52-2/212-1992

1. Locomoteur, Appareil—Imagerie—Dictionnaires anglais.
2. Locomoteur, Appareil—Maladies—Diagnostic—Dictionnaires anglais. 3. Anglais (Langue)—Dictionnaires français.
4. Locomoteur, Appareil—Imagerie—Dictionnaires.
5. Locomoteur, Appareil—Maladies—Diagnostic—Dictionnaires. 6. Français (Langue)—Dictionnaires anglais.
I. Lussier, André II. Beauregard, Germain III. Dionne, Sylvie IV. Canada. Secrétariat d'État du Canada. V. Canada. Bureau de la traduction. Direction de la terminologie et des services

Canadian Cataloguing in Publication Data

Main entry under title:

Vocabulaire de sémiologie de l'appareil locomoteur. Volume II, Signes d'imagerie médicale = Vocabulary of signs and symptoms of the musculoskeletal system. Volume II, Medical imaging signs

(Bulletin de terminologie = Terminology bulletin ; 212)
Text in English and French.
Issued by the Translation Bureau, Terminology and Linguistic Services Directorate.
“Joint project of the Medical Research Council of Canada and the Secretary of State of Canada.”
Includes bibliographical references.
ISBN: 0-660-57413-6
DSS cat. no. S52-2/212-1992

1. Musculoskeletal system—Imaging—Dictionaries.
2. Musculoskeletal system—Diseases—Diagnosis—Dictionaries.
3. English language—Dictionaries—French. 4. Musculoskeletal system—Imaging—Dictionaries—French. 5. Musculoskeletal system—Diseases—Diagnosis—Dictionaries—French. 6. French language—Dictionaries—English.
I. Lussier, André II. Beauregard, Germain III. Dionne, Sylvie IV. Canada. Dept. of the Secretary of State. V. Canada. Translation Bureau. Terminology and Linguistic Services Directorate. VI. Medical Research

linguistiques. VI. Conseil de recherches médicales (Canada). VII. Titre: Vocabulary of signs and symptoms of the musculoskeletal system. VIII. Collection: Bulletin de terminologie (Canada. Bureau de la traduction. Direction de la terminologie et des services linguistiques) ; 212.

RC925.7.V63 1992 616.7'003
C92-090322-3F

Council (Canada). VII. Title: Vocabulary of signs and symptoms of the musculoskeletal system. VIII. Series: Bulletin de terminologie (Canada. Translation Bureau. Terminology and Linguistic Services Directorate) ; 212.

RC925.7.V63 1992 616.7'003
C92-090322-3E

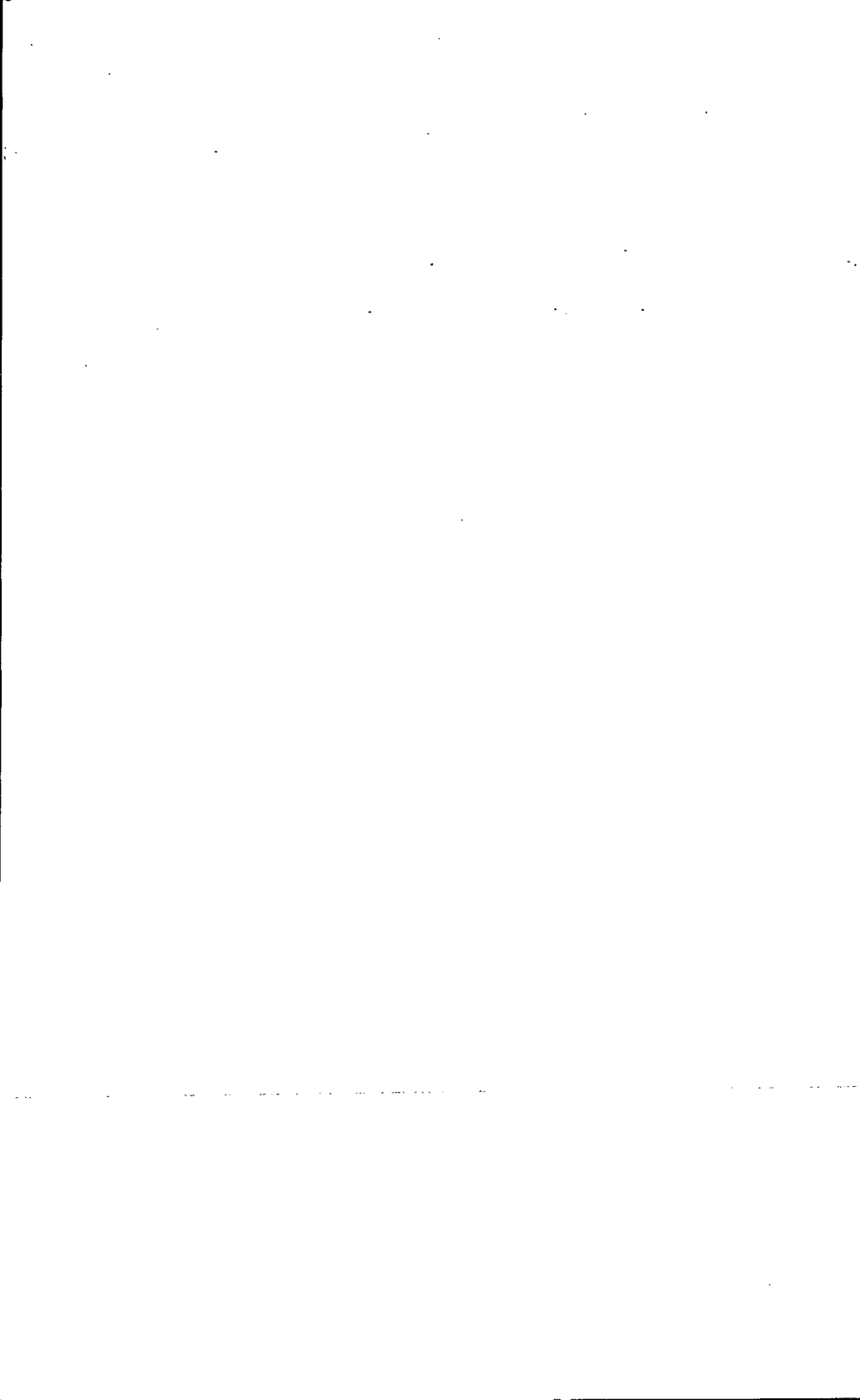


Table des matières

Avant-propos	vii
Introduction	xi
Comité de direction	xv
Comité de travail	xvii
Guide d'utilisation	xix
Vocabulaire anglais-français	1
Lexique français-anglais	167
Lexique systématique anglais-français	217
Bibliographie	259

Table of Contents

Foreword	vii
Introduction	xi
Steering Committee	xv
Working Committee	xvii
User's Guide	xix
English-French Vocabulary	1
French-English Glossary	167
English-French Classified Glossary	217
Bibliography	259





Avant-propos

Le Conseil de recherches médicales du Canada est un organisme fédéral chargé de promouvoir la recherche dans le domaine des sciences de la santé au Canada. Il assure son appui aux chercheurs des universités et des autres établissements qui s'intéressent à la recherche médicale, et il concourt à leur formation. La formation des professionnels de la santé et l'utilisation des connaissances récentes en milieu clinique sont également au nombre de ses préoccupations constantes.

Il était évident, depuis quelques années, que le manque d'uniformisation de la terminologie des sciences de la santé avait des répercussions sur la recherche, l'enseignement et les soins de la santé.

Pour remédier à la situation, le Conseil de recherches médicales, de concert avec la Direction de la terminologie et des services linguistiques du Secrétariat d'État du Canada, a décidé, en 1984, de lancer une série de projets de terminologie dans ce domaine. L'initiative visait, notamment, à promouvoir l'usage d'une terminologie de qualité, dans les deux langues officielles, chez les universitaires, les chercheurs, les praticiens et autres.

Foreword

The Medical Research Council of Canada is a federal agency established to promote research in the health sciences field. It is responsible for providing support and assistance for research conducted in Canadian universities and other medical research institutions as well as for the training of the researchers involved. The training of health professionals and the use of new information in the clinical field are the main concerns of the Council.

For some years now, research, teaching and health care have been affected by the lack of official terminology in the health sciences field.

A series of terminology projects was initiated in 1984 by the Medical Research Council, in co-operation with the Terminology and Linguistic Services Directorate of the Department of the Secretary of State of Canada. These projects were undertaken with a view to promoting correct terminological usage in both official languages among university staff, students, researchers, practitioners and all those who use health sciences terminology.

Un comité de direction formé de représentants de cinq universités canadiennes (Laval, McGill, Montréal, Ottawa et Sherbrooke), du Secrétariat d'État et du Conseil a été mis sur pied. Son rôle consistait à définir les grandes orientations des projets, à planifier les modalités d'exécution et de diffusion des travaux, et à faciliter l'acceptation de leurs résultats par le milieu concerné.

Deux équipes composées de terminologues et de spécialistes ont aussi été constituées; l'une travaille en sémiologie, sous la direction du docteur André Lussier de l'Université de Sherbrooke, l'autre, en biotechnologie, sous la direction du docteur Edgard Delvin de l'Université McGill.

Ces équipes ont déjà à leur crédit plusieurs publications dans la série des Cahiers de terminologie et dans celle des Bulletins de terminologie du Secrétariat d'État. On prévoit la parution, en 1992, de trois autres vocabulaires, outre celui-ci, soit le volume III de la sémiologie de l'appareil locomoteur (signes biologiques), le Vocabulaire du génie cellulaire ainsi qu'une version révisée du Vocabulaire du génie enzymatique publié sous forme de cahier de terminologie en mars 1989.

A steering committee was formed, the members of which were representatives of five Canadian universities (Laval, McGill, Montréal, Ottawa and Sherbrooke) as well as employees from the Department of the Secretary of State and the Medical Research Council. The committee was responsible for setting the guidelines pertaining to the planning, preparation and promotion of the projects in the scientific community.

The projects were assigned to two teams of terminologists and specialists. One team is presently conducting research on signs and symptoms terminology under the direction of Dr. André Lussier of the Université de Sherbrooke, and the other is working on biotechnology research, under Dr. Edgard Delvin of McGill University.

The teams have already completed a number of publications in the Terminology Series and the Terminology Bulletin Series of the Department of the Secretary of State. Three more vocabularies are scheduled for 1992, Volumes III of Signs and Symptoms of the Musculoskeletal System (Laboratory Findings), the Vocabulary of Cell Engineering and a revised edition of the Vocabulary of Enzyme Engineering, which first appeared in the Terminology Series in March 1989.

Pour que l'effort de normalisation déployé par les deux équipes de chercheurs donne bien les résultats escomptés, nous avons versé le contenu de ces publications dans TERMIUM, la banque de données linguistiques du gouvernement du Canada. Comme une vaste clientèle de la fonction publique fédérale et de l'extérieur a accès à celle-ci, il va sans dire que la terminologie du domaine des sciences de la santé connaîtra une très large diffusion.

Au nom du Conseil de recherches médicales et du Secrétariat d'État, nous aimerais remercier tous ceux et celles qui ont participé à cet important travail qu'a constitué la préparation des vocabulaires de sémiologie et de biotechnologie. Sans leur précieuse collaboration, le Conseil et la Direction de la terminologie et des services linguistiques n'auraient pu présenter cette série.

In order to ensure that the standardization work completed by the two research teams produces the results expected, the contents of these publications have been loaded into TERMIUM, the Government of Canada Linguistic Data Bank. Since TERMIUM is now available to a large number of federal departments and outside organizations, it should prove to be an effective medium for communicating terminology to a very broad range of users in the health sciences field.

On behalf of the Medical Research Council and the Department of the Secretary of State, we would like to thank all those who participated in this important undertaking. Without their help, the Council and the Terminology and Linguistic Services Directorate could not have completed the semiology or the biotechnology vocabularies.

Le président
(Conseil de recherches
médicales du Canada),

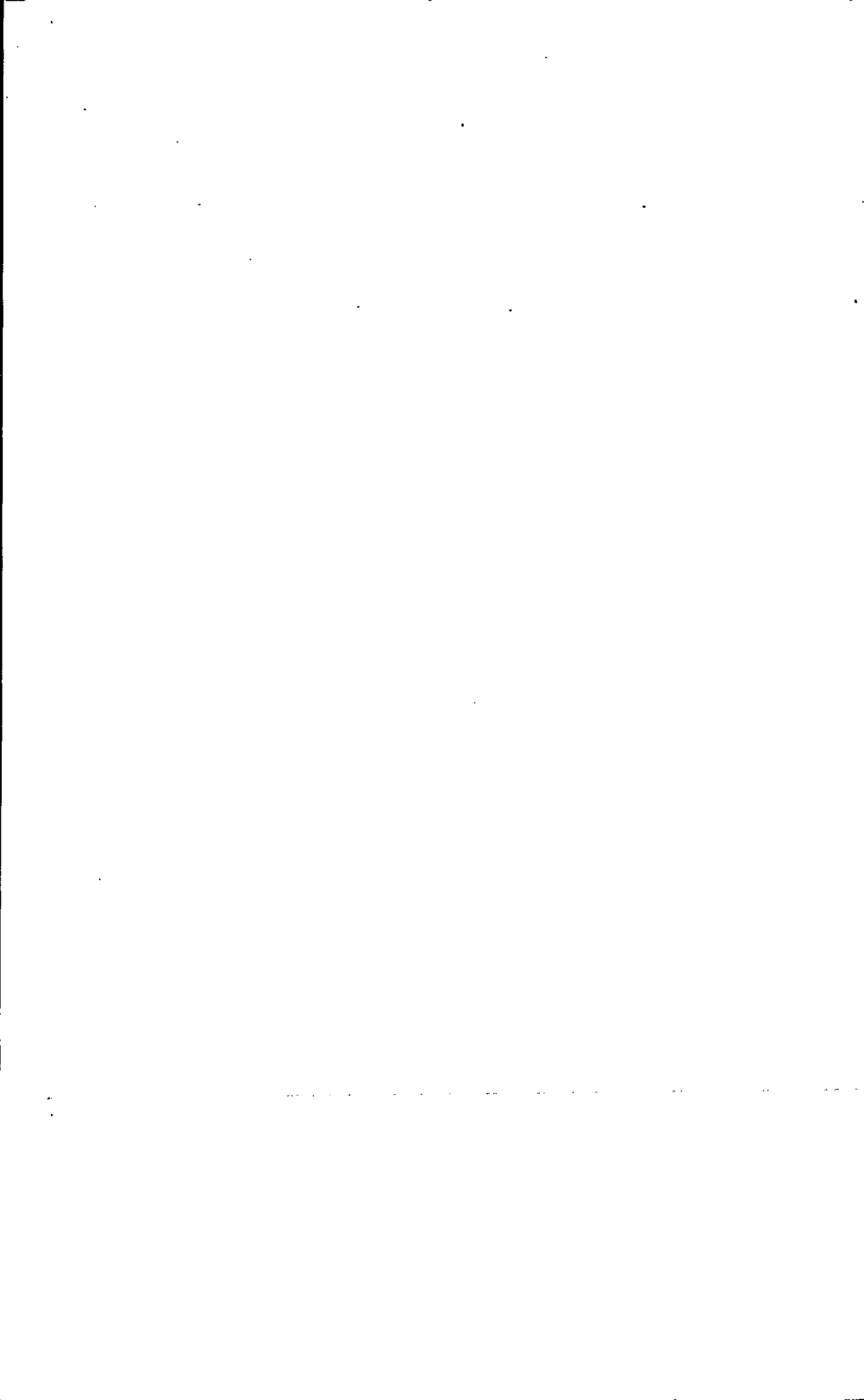


Henry G. Friesen, OC, MD,
FRCPC, FRSC
President
(Medical Research Council
of Canada)

Le sous-secrétaire
d'État adjoint
(Langues officielles et Traduction),



Roger Collet
Assistant Under Secretary of State
(Official Languages and
Translation)



Introduction

Ce vocabulaire, deuxième de quatre ouvrages sur la sémiologie de l'appareil locomoteur, s'adresse aux professionnels de la santé - particulièrement aux radiologues, orthopédistes, rhumatologues et physiatres - ainsi qu'aux traducteurs et terminologues.

Précédé de la parution en 1990 du volume sur les signes cliniques, il sera suivi de deux autres volumes; l'un sur les examens de laboratoire, l'autre sur la sémiologie quantitative.

Établie à partir des ouvrages recommandés, la nomenclature couvre surtout des notions de radiologie, mais aussi de fractures et maladies, de techniques d'imagerie, d'incidence, d'angles et de repères. S'il est un domaine en constante évolution c'est celui de l'imagerie médicale, particulièrement celle concernant l'appareil locomoteur; le développement de techniques telles la tomodensitométrie, l'échographie et l'imagerie par résonance magnétique donne chaque jour naissance à de nouvelles notions. Il y aura donc lieu d'effectuer ultérieurement des mises à jour pour refléter cette réalité.

Le vocabulaire compte quelque 500 notions présentées en anglais et en français de la façon suivante : entrée principale, synonyme(s), justification et nota.

Le choix des termes a été motivé essentiellement par leur fréquence d'utilisation dans les

Introduction

This vocabulary, the second of four on the musculoskeletal system, is intended for health professionals, primarily radiologists, orthopaedic surgeons, rheumatologists and physiatrists, as well as translators and terminologists. This volume was preceded by one on clinical findings, published in 1990, and will be followed by two others: one on laboratory tests, and one on quantitative semiology.

Compiled from recommended works, the list of terms deals mainly with radiological aspects, as well as fractures and diseases, imaging techniques, roentgenographic positions, angles, lines and indexes. Medical imaging, especially as it relates to the musculoskeletal system, is one of the fastest growing fields. The emergence of techniques such as computerized axial tomography, ultrasonography and magnetic resonance imaging is constantly giving rise to new concepts. Updates will thus be required to keep abreast of the latest developments.

The vocabulary lists some 500 concepts, in English and French, as follows: main entry term, synonym(s), textual support and note.

The terms were chosen on the basis of how often they were used in monographs and on

monographies, et par les recommandations des spécialistes. Ont été exclus de la nomenclature, et ce par souci d'uniformisation, les termes jugés désuets ou répertoriés uniquement dans des ouvrages lexicographiques. L'on remarquera que certains termes sont proposés par le Comité de travail. Ces propositions, aboutissement d'une étude approfondie des notions, visent en général à combler un vide linguistique dans l'une ou l'autre des langues.

Les justifications textuelles sont pour la plupart tirées de monographies ou de dictionnaires unilingues. Cependant, lorsqu'aucun document n'offrait de description jugée acceptable, ou encore lorsqu'une notion était absente dans l'une des langues, la justification a été traduite.

Le nota sert à consigner des renseignements d'ordre linguistique - instabilité dans l'usage d'un terme, relation de générique à spécifique, cas de quasi-synonymie, etc. - ou d'ordre didactique.

Au niveau de la polysémie, les auteurs ne tiennent pas toujours compte des nuances de sens et utilisent indifféremment plusieurs termes pour rendre une notion. C'est le cas, par exemple, des termes anglais *position* (position du sujet par rapport au rayon directeur), *projection* (trajectoire du rayon directeur) et *view* (image obtenue) qui, bien que non-synonymes, sont tous employés comme équivalents du terme français «*incidence*». Nous avons donc choisi de refléter l'usage et, dans ce cas-ci, de faire abstraction des nuances en traitant les termes *position*, *view* et *projection* comme des synonymes. Toutes les incidences décrites dans ce

recommendations from specialists. Terms that are no longer used or found only in lexicographical works were omitted for standardization purposes. Some terms were also proposed by the Working Committee. These terms, which are a result of detailed study of the concepts, are generally intended to fill a lacuna in one of the languages.

The textual support is usually taken from a monograph or unilingual dictionary. However, when no document provided an acceptable description, or when a concept was missing in one of the languages, the textual support was translated.

Notes provide linguistic information - fluctuation in a term's usage, a generic-specific relationship, near synonym, etc. - or didactic comment.

As regards polysemy, authors do not always consider nuances in meaning and may use several terms interchangeably for one concept. This is the case, for example, with the English terms "position" (position of the subject in relation to the direction of the beam), "projection" (trajectory of the beam) and "view" (image obtained), which, although they are not synonyms, are all used as equivalents for the French term *incidence*. Consequently, we decided to reflect usage and, in this case, to disregard the nuances and list the terms "position", "view" and "projection" as synonyms. These three terms, however, are not systematically interchangeable

vocabulaire n'ont toutefois pas systématiquement pour équivalents ces trois termes. En fait, seuls ceux relevés dans les textes ont été répertoriés, ce qui explique que l'on retrouve en anglais, pour certaines incidences, le terme *view* et pour d'autres les termes *projection* ou *position*.

L'on remarquera également un assez grand nombre de patronymes, en particulier parmi les incidences et les fractures. Bien que les auteurs tendent à leur substituer des termes plus descriptifs et plus précis, leur usage demeure fréquent. Il arrive aussi qu'une incidence (ordinairement nommée d'après celui qui l'a décrite en premier) soit modifiée plus tard par un autre. Le patronyme pourra alors être utilisé pour désigner l'incidence originale ou sa variante.

Mentionnons enfin que tous les termes de ce vocabulaire sont répertoriés, avec leurs sources bibliographiques, dans la banque de données linguistiques du Canada (TERMIUM).

Nous tenons à remercier le Dr Ronald Resnick et le professeur Bernard Menanteau, tous deux radiologistes de réputation internationale, de leur contribution à cette publication. Nous sommes aussi particulièrement reconnaissants envers Sylvie Filiatral de sa précieuse collaboration à la réalisation de ce projet.

equivalents for all the roentgenographic positions described in this vocabulary. In fact, only the terms taken from the reference works were recorded, which explains why the term "view" is found in some entries while the terms "projection" or "position" are found in others.

There are also many eponyms, especially for roentgenographic positions and fractures. Although authors tend to substitute more descriptive or precise terms for such names, their usage is still widespread. It may happen that a projection (usually named after the person who first described it) is later modified by someone else. Then the eponym may be used to describe the original projection or its variation.

Finally, all the terms in this vocabulary and their bibliographic sources are contained in the Linguistic Data Bank of Canada (TERMIUM).

We would like to thank Dr. Ronald Resnick and Professor Bernard Menanteau, both internationally renowned radiologists, for their help in compiling this vocabulary. Our special thanks also go to Sylvie Filiatral for her invaluable contribution to this project.

Toute observation ou suggestion susceptible d'améliorer la qualité de ce travail pourra être adressée à :

André Lussier
Professeur de médecine
Unité des maladies rhumatismales
Centre hospitalier universitaire de
Sherbrooke
3001, 12^e avenue nord
Sherbrooke (Québec)
J1H 5N4

Any comments or suggestions that might help us improve this vocabulary are welcome and may be addressed to:

André Lussier
Professor of Medicine
Rheumatic Diseases Unit
Centre hospitalier universitaire de
Sherbrooke
3001 12th Ave. N.
Sherbrooke, Quebec
J1H 5N4



Comité de direction

Le comité de direction est composé de représentants d'universités, du Secrétariat d'État du Canada, du Conseil de recherches médicales du Canada, de l'Association des facultés de médecine du Canada ainsi que des coordonnatrices des projets de terminologie.

Des universités

André Lussier
MD Montréal, FRCPC
Professeur titulaire
Unité des maladies rhumatismales
Département de médecine
Université de Sherbrooke et
Centre hospitalier universitaire de
Sherbrooke

Maurice Beaulieu
BSc Montréal, MSc PhD McGill
Professeur et Doyen adjoint
Études prédoctorales
Faculté des sciences de la santé
Université d'Ottawa

Edgard Delvin
PhD Montréal
Directeur adjoint de l'unité
génétique
Hôpital Shriners
Professeur agrégé de chirurgie
expérimentale
Université McGill

Steering Committee

The Steering Committee includes representatives of the Universities, the Department of the Secretary of State of Canada, the Medical Research Council of Canada, and the Association of Canadian Medical Colleges, as well as the coordinators of the terminology projects.

From the Universities

André Lussier
MD Montréal, FRCPC
Professor
Rheumatic Diseases Unit
Department of Medicine
Université de Sherbrooke and
Centre hospitalier universitaire de
Sherbrooke

Maurice Beaulieu
BSc Montréal, MSc PhD McGill
Professor and Assistant Dean
Undergraduate Studies
Faculty of Health Sciences
University of Ottawa

Edgard Delvin
PhD Montréal
Assistant Director, Genetics Unit
Shriners' Hospital
Associate Professor of
Experimental Surgery
McGill University

Du Secrétariat d'État du Canada

Silvia Pavel
MA Langues orientales Bucharest
MA Linguistique appliquée Ottawa
Chef
Division de Montréal
Direction de la terminologie et des services linguistiques

Malcolm Williams
BA Leicester, MA McMaster
Directeur
Direction de la terminologie et des services linguistiques

Du Conseil de recherches médicales du Canada

Al Belliveau
BA, M Comm, CGA
Directeur
Gestion intégrée

Andrew Sherrington (secrétaire)
MA BM BCh Oxford
MMSBC Tulane, DHMSA London
Chef des publications

De l'Association des facultés de médecine du Canada

Harvey Barkum
MD Montpellier
Directeur général

Coordonnatrices des projets de terminologie à Montréal

Sylvie Dionne
BA traduction Ottawa
(appareil locomoteur)

Gisèle Pham
BA, MA terminologie Montréal
(biotechnologie)

From the Department of the Secretary of State of Canada

Silvia Pavel
MA Oriental Languages Bucharest
MA Applied Linguistics Ottawa
Chief
Montréal Division
Terminology and Linguistic Services Directorate

Malcolm Williams
BA Leicester, MA McMaster
Director
Terminology and Linguistic Services Directorate

From the Medical Research Council of Canada

Al Belliveau
BA, M Comm, CGA
Director
Corporate Management

Andrew Sherrington (Secretary)
MA BM BCh Oxford
MMSBC Tulane, DHMSA London
Chief of Publications

From the Association of Canadian Medical Colleges

Harvey Barkum
MD Montpellier
Executive Director

Coordinators of the Terminology Projects in Montréal

Sylvie Dionne
BA Translation Ottawa
(Musculoskeletal System)

Gisèle Pham
BA, MA Terminology Montréal
(Biotechnology)

Comité de travail

André Lussier (président)
MD Montréal, FRCPC
Professeur titulaire
Unité des maladies rhumatismales
Département de médecine
Université de Sherbrooke et
Centre hospitalier universitaire de
Sherbrooke

C. Germain Beauregard
MD Montréal, FRCPC
Adjoint de clinique
Département de radiologie
Université de Montréal et
Hôpital du Sacré-Coeur de
Montréal

Linda de Champlain
BA linguistique Ottawa
Terminologue
Division de Montréal
Direction de la terminologie et
des services linguistiques
Secrétariat d'État du Canada

Sylvie Dionne
BA traduction Ottawa
Terminologue
Conseil de recherches médicales
du Canada

Michel Dupuis
MD Montréal, FRCPC
Diplôme de méd. phys. Londres
Professeur titulaire
Faculté de médecine
Université de Montréal

Working Committee

André Lussier (Chairman)
MD Montréal, FRCPC
Professor
Rheumatic Diseases Unit
Department of Medicine
Université de Sherbrooke and
Centre hospitalier universitaire de
Sherbrooke

C. Germain Beauregard
MD Montréal, FRCPC
Clinical Assistant
Department of Radiology
Université de Montréal and
Hôpital du Sacré-Coeur de
Montréal

Linda de Champlain
BA Linguistics Ottawa
Terminologist
Montréal Division
Terminology and Linguistic
Services Directorate
Department of the Secretary
of State of Canada

Sylvie Dionne
BA Translation Ottawa
Terminologist
Medical Research Council
of Canada

Michel Dupuis
MD Montréal, FRCPC
DPhys. Med. London
Professor
Faculty of Medicine
Université de Montréal

Hans Uhthoff
MD Marbourg, FRCSC
Professeur titulaire
Directeur, Département de
chirurgie
Directeur, Division de chirurgie
orthopédique
Université d'Ottawa

Sylvie Filiatrault
MA terminologie Montréal
Terminologue
Conseil de recherches médicales
du Canada

Hans Uhthoff
MD Marburg, FRCSC
Professor
Chairman, Department of Surgery
Head, Division of Orthopaedic
Surgery
University of Ottawa

Sylvie Filiatrault
MA Terminology Montréal
Terminologist
Medical Research Council
of Canada



Guide d'utilisation

Les entrées principales sont inscrites en caractères gras et représentent les termes privilégiés par le Comité.

Abréviations et symboles

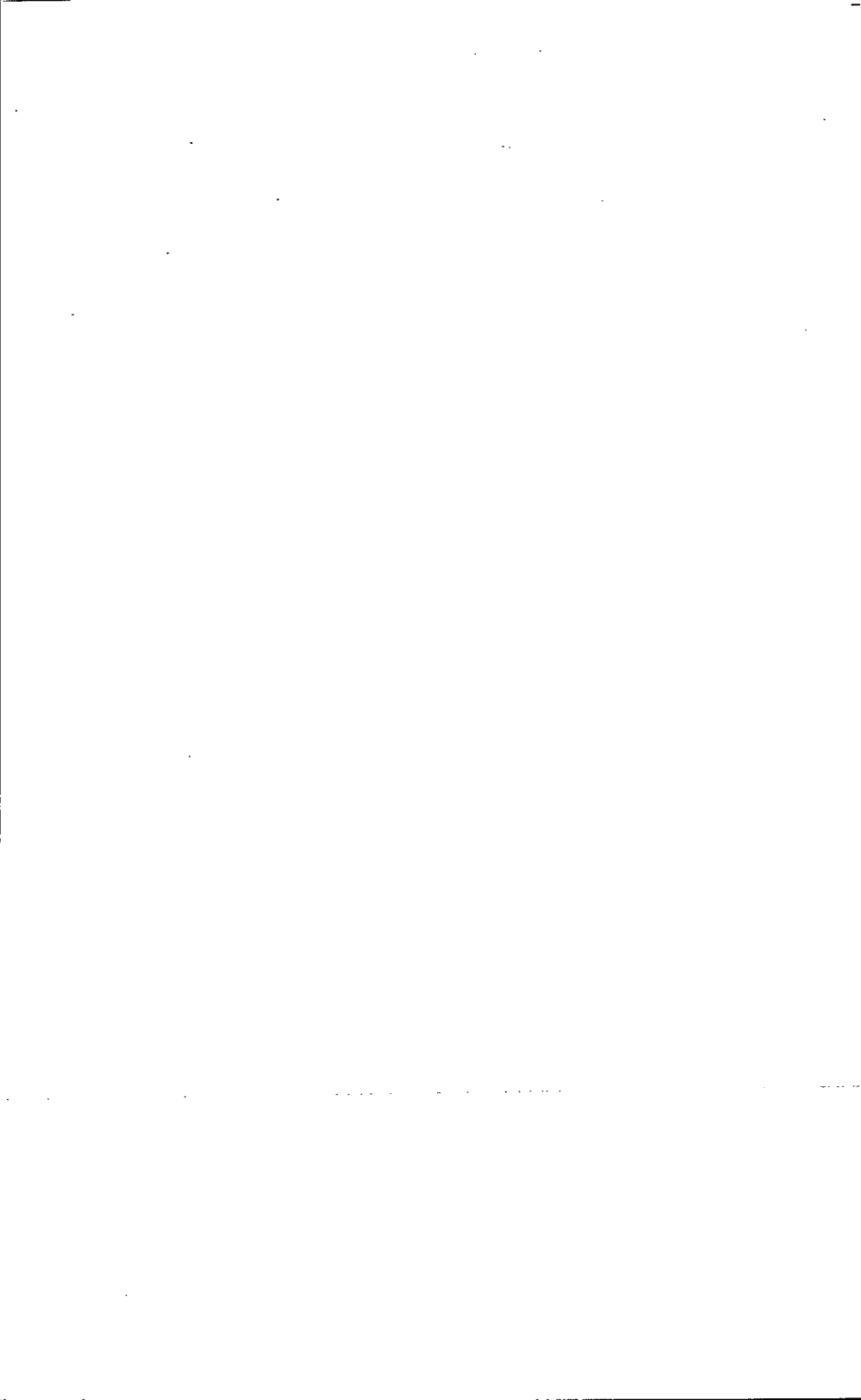
()	ajout d'une courte explication pour situer le terme
à éviter	terme à proscrire
cf.	renvoi à une notion connexe
(gén.)	terme générique
NOTA	remarque sur le sens ou l'emploi d'un terme
(prop.)	proposition
(spéc.)	terme spécifique
VOIR	renvoi à l'entrée principale

User's Guide

Main entry terms appear in bold type and are the terms preferred by the Committee.

Abbreviations and Symbols

()	indicate brief explanation situating the term
cf.	cross-reference to a related concept
(gen.)	generic term
NOTE	a comment made on the meaning or use of a term
(prop.)	proposition
SEE	refers to the main entry term
(spec.)	specific term





acetabular angle; Hilgenreiner's angle

The angle between a horizontal line drawn through the triradiate cartilage on both sides and a line drawn along the roof of the acetabulum. This angle indicates the obliquity of the roof. The normal in the newborn is 28 to 30°. A value of 35° or more indicates insufficient development of the acetabular roof.

acrocephaly
SEE **oxycephaly**

acro-osteolysis; acroosteolysis
Bone resorption involving the distal phalanges of the fingers and toes.

NOTE Sometimes refers to the less frequent osteolysis of the carpal, tarsal, metacarpal, or metatarsal bones.

adolescent coxa vara
SEE **slipped capital femoral epiphysis**

adolescent kyphosis
SEE **Scheuermann's disease**

air myelography
Myelography with the use of air as the contrast medium.

Albers-Schönberg disease
SEE **osteopetrosis**

angle acétabulaire; angle d'inclinaison du toit du cotyle; angle d'obliquité du toit du cotyle; angle d'Hilgenreiner

Angle formé par l'intersection de la tangente du toit du cotyle et de la ligne passant par la partie supérieure des cartilages en Y. Valeur à la naissance : 28 à 30°. Une valeur dépassant 35° traduit un développement insuffisant du toit du cotyle. Cette mesure est utilisée pour la détection de la luxation congénitale de la hanche.

acroostéolyse; acro-ostéolyse
Résorption du tissu osseux des phalanges distales des doigts et des orteils.

NOTA Désigne parfois l'ostéolyse s'observant, plus rarement, au carpe, au tarse, au métacarpe ou au métatarse.

myélographie gazeuse
Radiographie de la moelle épinière après injection d'air dans l'espace sous-arachnoïdien.

Albers-Schönberg's

Albers-Schönberg's position

Radiographic position for a lateral, transfacial view of the temporomandibular joint in the open and closed mouth.

Alexander's anteroposterior position

Radiographic position for a unilateral anteroposterior view of the acromioclavicular articulation used in cases of suspected subluxation or dislocation.

alpine hunter's cap

A flattened patella or hemipatella with one facet, frequently associated with symptoms of patellar instability.

Andren-von Rosen technique

A radiographic procedure for identifying a hip dislocation in the newborn. In normal cases the midlines of the longitudinal axes of the femurs extend into the ilia through the acetabulum at the same level when the legs are abducted 45° and rotated medially.

angiography

Radiologic examination of vessels after the injection of a contrast agent.

incidence d'Albers-Schönberg (prop.)

Incidence radiologique de profil de l'articulation temporo-mandibulaire, réalisée la bouche ouverte et fermée.

Incidence d'Alexander

Incidence oblique antérieure qui met en évidence le déplacement de la clavicule lors des luxations acromio-claviculaires.

rotule en bérét de chasseur alpin

Rotule à une seule facette articulaire externe, observée souvent dans les syndromes de latéralisation de la rotule.

technique de Andren-von Rosen

Technique permettant de déceler une luxation congénitale de la hanche par prise d'une radiographie des membres inférieurs étendus en abduction à 45° et en rotation interne. L'axe de la diaphyse fémorale doit normalement passer par le cartilage en Y. S'il y a luxation, cet axe se déplace vers l'extérieur de l'acétabulum, coupant l'aile iliaque.

angiographie

Radiographie des vaisseaux après injection d'un produit de contraste.

angle of anteversion; angle of declination

The angle formed by a line drawn through the center of the long axis of the neck of the femur meeting a line drawn in the transverse axis of the condyles, when the bone is viewed from above, looking straight down through the head of the femur; used to illustrate the normal degree of anteversion about 12° of the neck of the femur, which may be increased or decreased in some diseases.

NOTE Several methods can be used to measure this angle e.g., Dunlap method, Magilligan method, Thazos method, Budin-Chandler method. Nowadays, this measurement is more easily obtained by computerized tomography.

angle of inclination

The angle formed by the meeting of a line drawn through the shaft of the femur with one passing through the long axis of the femoral neck on an anteroposterior x-ray; normally it is less than $135 \pm 5^\circ$. An angle of 140° or more indicates coxa valga.

angle sign

SEE **corner sign of scurvy**

angle sign of scurvy

SEE **corner sign of scurvy**

angle d'antéversion du col fémoral; angle de déclinaison du col du fémur

Angle formé par l'intersection de l'axe du col du fémur et le plan bicondylien qui, en principe, est parallèle à la table d'examen et au bord inférieur du film. Il ne faut considérer comme franchement pathologique que les chiffres supérieurs à 25° . Plus rarement, l'angle peut s'inverser, lorsque l'axe du col est oblique en dedans, en arrière et en haut : c'est alors la rétроверsion du col du fémur.

NOTA Plusieurs méthodes permettent de mesurer cet angle. Exemples : méthode de Dunlap, méthode de Magilligan, méthode de Thazos, méthode de Budin et Chandler. De nos jours, cette mesure s'obtient plus facilement par la tomodensitométrie.

angle cervico-diaphysaire; angle d'inclinaison du col du fémur

Angle formé par le croisement des axes médians respectifs du col et de la diaphyse fémorale, mesuré sur une radiographie de la hanche de face (membre inférieur en rotation interne de 20°), dont la valeur normale est inférieure à $135 \pm 5^\circ$. Un angle de 140° ou plus témoigne d'une coxa valga.

angle-up

angle-up view; cephalic tilt view

An anteroposterior view of the shoulder with a 30° cephalic tilt, used for the evaluation of patients with posterior dislocation of the shoulder.

anterior wedge fracture
SEE **wedge fracture**

anteroposterior projection

A projection in which the central ray of the x-ray beam strikes the anterior aspect of the patient first and then exits through the posterior part of the patient.

Arcelin's position; reverse Stenvers view

A radiographic position which is the exact reverse of Stenvers projection. It shows an anterior side view of the pars petrosa.

cf. **Stenvers projection**

arrowhead appearance
SEE **spade appearance**

arteriography

Radiographic examination of an artery or arteries after the injection of a radiopaque contrast agent.

arthrography

Radiologic examination of a joint after the injection of a radiopaque agent and/or gas into the joint.

NOTE Double-contrast arthrography refers to the radiologic examination of a joint after the injection of both a radiopaque agent and gas into the joint.

Incidence à direction céphalique de l'épaule (prop.)

Incidence antéro-postérieure de l'épaule avec rayon incliné à 30° vers la tête, utilisée dans le cas d'une luxation postérieure de l'épaule.

Incidence antéro-postérieure

Incidence radiologique où le tube à rayons X est en avant du sujet, et le film radiographique en arrière.

Incidence d'Arcelin (prop.)

Incidence de Stenvers inversée permettant de visualiser la face antéro-latérale du rocher.

cf. **Incidence de Stenvers**

artériographie

Radiographie d'une ou de plusieurs artères après injection d'un produit de contraste.

arthrographie

Radiographie d'une articulation après injection d'un produit de contraste (dérivé iodé hydrosoluble) ou un gaz stérilisé (air ou oxygène), ou les deux.

NOTA On appelle arthrographie en double contraste ou arthrographie mixte la radiographie d'une articulation dans laquelle on a injecté à la fois un produit de contraste et un gaz.

articular fracture; intraarticular fracture; intra-articular fracture

Fracture involving a joint surface.

aseptic necrosis
SEE **bone infarct**

aseptic necrosis
SEE **osteonecrosis**

atlanto-occipital joint angle

An angle formed by the intersection of two lines drawn along the axes of the atlas and the occipital joint, normally no greater than 150°.

atrophic nonunion

Atrophic nonunion is thought to result from extensive bone death. The radiographic appearance is that of a persistent fracture line with no demonstrable callus and no change over long periods of time.

cf. **nonunion**

avascular necrosis
SEE **bone Infarct**

fracture articulaire; fracture intraarticulaire; fracture intra-articulaire

Fracture mettant en cause une surface articulaire.

angle de Schmidt; angle de Schmidt et Fischer

Angle formé par les axes des interlignes occipito-atloïdiens. Cet angle se situe entre 125 et 135°.

pseudarthrose atrophique

Pseudarthrose atrophique : il s'agit d'une pseudarthrose très mobile, liée habituellement à une perte de substance importante. Le cal est ici uniquement fibreux. L'examen radiologique révèle un élargissement de l'espace interfragmentaire associé à une atrophie des extrémités osseuses (parfois très importante). Il n'y a pas de cal périphérique, les extrémités fracturées sont condensées et le canal oblitéré.

cf. **pseudarthrose**

aviator's

aviator's astragalus

A variety of fractures of the talus that include compression fractures of the neck, fractures of the body or posterior process or fractures with dislocations.

NOTE The term was coined by M.G. Anderson in 1919, at which time he noted that fracture of the astragale was comparatively rare in civilian life but quite common in aviation accidents. The injury occurs as the aircraft strikes the ground at an angle so that the rudder bar, against which the instep of the foot is resting, is driven upward into the foot just in front of the heel.

avulsion fracture

A fracture that occurs when an osseous fragment is pulled from the parent bone by a tendon or ligament.

axial projection SEE basal view

axial view SEE basal view

axillary view; axillary projection

A projection for the visualization of the acromion, coracoid process, and glenohumeral joint.

NOTE Can be obtained in several different ways.

fracture de l'astragale de l'aviateur (prop.)

Terme décrivant plusieurs types de fractures astragaliennes : fractures par enfoncement du col astragalien, fractures du corps ou du tubercule postérieur et fractures-luxations.

NOTA M.G. Anderson, chirurgien consultant du «Royal Flying Corps» lors de la guerre de 1914-1918, après avoir observé 18 cas, baptisa ce type de traumatisme «aviator's astragale», résultant d'un mouvement d'hyperflexion dorsale de la cheville sur le palonnier lors d'un accident d'atterrissement.

fracture-avulsion; fracture par arrachement

Fracture caractérisée par la présence d'un fragment isolé, résultant de l'arrachement d'une zone d'insertion tendineuse ou ligamentaire; elle concerne notamment les épiphyses et les apophyses.

profil axillaire

Incidence permettant de visualiser l'articulation gléno-humérale sans superposition et, accessoirement, l'apophyse coracoïde et l'acromion.

NOTA Peut être réalisé de plusieurs façons.

B

Baastrup's syndrome; Baastrup's disease

Syndrome characterized by an abnormal joint between two spinous processes of adjacent vertebrae due to mutual compression.

NOTE The term kissing spines, referring to the radiological aspect of the syndrome, is commonly used as a synonym.

backfire fracture
SEE **chauffeur's fracture**

Baker's cyst
SEE **popliteal cyst**

ball catcher's view
SEE **Norgaard's projection**

ballooning of the sella turcica;
ballooned sella

Double-contour appearance of the sellar walls with the two sides of the sella perfectly superimposed. A sign of an intrasellar space-occupying lesion.

bamboo spine

The vertebral column as it appears radiographically in advanced ankylosing spondylitis, with ossification of the para-spinous ligaments.

syndrome de Baastrup; maladie de Baastrup; arthrose interépineuse; ostéoarthrose interépineuse

Variété de rhumatisme dégénératif caractérisée par l'existence d'une articulation anormale entre les apophyses épineuses hypertrophiées de deux vertèbres lombaires (le plus souvent la 4^e et la 5^e), par une raideur rachidienne et par des douleurs lombaires accrues par les mouvements, dont la ténacité peut nécessiter la résection des apophyses épineuses pathologiques.

ballonnisation de la selle turcique; selle ballon; selle ballonnée

Image radiologique de profil de la selle turcique considérablement agrandie dans l'adénome chromophobe de l'hypophyse.

colonne bambou; colonne de bambou

Aspect radiologique du rachis au stade avancé de la spondylarthrite ankylosante, créé par les ossifications sous-ligamentaires.

Bankart lesion

Detachment of the glenoid labrum and sometimes a bony fragment from the anteroinferior margin of the glenoid rim, seen in anterior shoulder dislocations.

bare areas

Those parts of the bone within a joint that are not covered with articular cartilage and that correspond to the earliest sites of erosion in synovial inflammatory diseases.

Barton fracture; Barton's fracture

Dorsal dislocation of carpus on radius with associated fracture of the dorsal articular surface of radius.

basal angle; sphenoid angle

The angle formed by a line drawn along the clivus with a line drawn along the planum sphenoidale on a lateral skull radiograph. The normal angle is about 130°. An angle of 150° or more is consistent with platybasia.

basal view; basal projection; axial view; axial projection; Hertz projection

An axial view of the skull to show the radiographic features of the base. This x-ray examination may be made with the central ray directed from above downward (supero-inferior) or from below upward (infero-superior).

lésion de Bankart

Décollement du bourrelet antéro-inférieur de la glène de l'omoplate avec désinsertion capsulaire, observé dans les luxations antérieures de l'épaule.

zones d'os nu

Portions des extrémités osseuses qui, tout en étant intra-articulaires, ne sont pas recouvertes de cartilage et correspondent aux sites des premières manifestations d'érosion dans les synovites.

fracture de Rhea-Barton; fracture de Barton

Fracture de la partie distale du radius accompagnée d'une luxation dorsale du carpe.

angle de base

Angle formé, sur la radiographie du profil du crâne, par l'intersection de deux plans passant l'un par le clivus, l'autre par le plancher de l'étage antérieur du crâne. Il est utilisé comme critère d'évaluation de la platybasie et de l'impression basilaire.

Incidence de Hertz; incidence axiale

Incidence radiologique donnant une vue axiale de la base du crâne. Il s'agit d'une incidence menton-vertex-plaque ou vertex-menton-plaque.

basilar impression

Partial invagination of the base of the cranium at the foramen magnum by the cervical vertebrae.

NOTE The term basilar invagination is used to describe basilar impression which results from diseases producing softening of bone (Paget's disease, rickets, osteomalacia, scurvy, fragilitas ossium, cleidocranial dysostosis, hyperparathyroidism).

basilar invagination

SEE **basilar impression**

battle-ax pelvic configuration

Metatropic dwarfism is first manifested by marked streaklike underossifications of the vertebral centra, wide metaphyseal flaring, and trochanteric hyperplasia. Its progressively severe kyphoscoliosis and peculiar *battle-ax pelvic configuration*, with marked iliac flaring, distinguish it from spondyloepiphyseal dysplasia.

Baumann's angle

An angle formed by a line drawn along the lower border of the lateral humeral metaphysis and a line drawn at right angles to the long axis of the humerus. An increase in the angle indicates cubitus varus, and a decrease indicates cubitus valgus. It is usually 75° from the vertical. This measurement allows assessment of the reduction of a displaced supracondylar fracture of the humerus.

beaked pelvis

SEE **heart-shaped pelvis**

impression basillaire

Invagination, à des degrés variables, de la portion supérieure du rachis cervical dans la base du crâne.

NOTA À son stade le plus marqué, l'impression basillaire prend le nom d'invagination basillaire.

aspect en hallebarde (du bassin)

Dans la dysplasie métatropique, on note au bassin un élargissement des ailes iliaques avec un *aspect en hallebarde* et une encoche externe.

angle de Baumann

Angle formé par l'axe de la diaphyse humérale et la pente du cartilage de conjugaison du noyau condylien externe. Sa valeur normale est de 70 à 75°. On l'utilise comme critère d'évaluation dans la réduction des fractures supracondylériennes.

beak fracture

beak fracture

A posterosuperior avulsion fracture of the calcaneum at the tendo achillis insertion.

beaten brass appearance

SEE **hammered brass appearance**

Béclère position

A superoinferior projection giving a view of the intercondyloid fossa, the tibial spine, and the knee joint. The patient is supine with the knee flexed and a curved cassette placed under the knee. The central ray is directed at right angles to the long axis of the tibia.

bell-shaped thorax

Bell-shaped flaring of the lower ribs, which can be seen in severe osteomalacia of long duration, rickets, and osteogenesis imperfecta.

Bennett's fracture; Bennett fracture; Bennett's fracture-dislocation

Intraarticular avulsion fracture subluxation of the base of the first metacarpal. The fracture produces a small volar lip fragment that remains attached to the trapezium and trapezoid by means of the strong volar oblique ligament while the shaft fragment is displaced by proximal muscle pull.

fracture en bec de canard

Arrachement du bord postéro-supérieur du calcanéum par la traction du tendon d'Achille.

incidence de Béclère

Incidence permettant de visualiser l'échancrure intercondylienne, l'épine tibiale et l'articulation fémoro-patellaire, réalisée en position couchée, genou fléchi à 120°. Un film courbe est placé sous le genou. Le rayon central est oblique de 30° vers la tête, enfilant l'interligne.

thorax en crinoline; thorax en cloche

Déformation du thorax, caractérisée par un rétrécissement horizontal sous-mammaire en ceinture, au-dessus duquel le thorax est aplati latéralement et au-dessous duquel il est élargi. On l'observe notamment dans le rachitisme, l'ostéomalacie et l'ostéogénèse imparfaite.

fracture de Bennett; fracture-luxation de Bennett

Fracture intra-articulaire de la base du premier métacarpien, détachant un fragment palmaire qui garde ses connexions avec le trapèze par le puissant ligament postéro-interne, alors que l'os se subluxe en haut et en dehors sous l'action du muscle long abducteur du pouce.

Bernageau's projection (prop.)

An axillary view of the scapula obtained with the patient standing, arm raised, and the central ray directed 30° toward the feet. The shoulder on the affected side is placed against the cassette while the normal shoulder is tilted forward. The posterior surface of the arm is in contact with the cassette, the elbow angled 90° and the anterior surface of the forearm resting on the head. Used to visualize lesions on the anterior inferior glenoid rim in patients with anterior instability of the shoulder. This view can also be obtained with the patient lying on the side and the central ray directed 30° toward the feet.

Bertel's position

Radiographic position for anterior visualization of each orbital floor and inferior orbital fissure.

biconcave vertebra
SEE **fish vertebra**

biconcavity index

The *biconcavity index* is one of many noninvasive bone mass measurements to have been developed over the last several decades.

bifid rib
SEE **forked rib**

bimastoid line
SEE **Fischgold's bimastoid line**

profil glénoïdien; profil glénoïdien de Bernageau

Profil de l'omoplate pratiqué le bras en l'air, avec un rayon descendant d'environ 30°. L'épaule à radiographier est placée de profil contre la table verticale, l'épaule opposée étant basculée vers l'avant. Le bras s'appuie verticalement contre la table par sa face postérieure, le coude est fléchi à 90°, la face antérieure de l'avant-bras repose sur la tête. Ce profil permet de mettre en évidence les lésions des deux-tiers inférieurs du rebord glénoïdien antérieur dans les instabilités antérieures de l'épaule. Il peut également être effectué en décubitus latéral avec rayon descendant de 30° vers les pieds.

Incidence de Bertel (prop.)

Incidence radiologique permettant une vue antérieure du plancher de l'orbite et de la fente sphéno-maxillaire.

Indice de biconcavité; index de concavité des plateaux vertébraux

Rapport entre la hauteur du milieu d'une vertèbre et celle de son bord antérieur. Il est normalement supérieur à 0,81. Un index inférieur signifie habituellement une ostéoporose assez accentuée pour entraîner des tassements vertébraux.

bipartite

bipartite patella; patella bipartita

A patella that is divided into two parts. It is seen radiologically as a radiolucent line extending downward obliquely across the supero-lateral angle of the patella. This appearance is not to be confused with a fracture line.

NOTE Occasionally the patella is divided in more than two parts, resulting in a tripartite or a multipartite patella.

bite sign

A large defect in the femoral head, looking as though a bite had been taken out of it, seen in the late stage of aseptic necrosis. The appearance is due to fragmentation, compression, and resorption of necrotic bone complicating the vascular insufficiency.

Blackburne's technique

A technique for assessing patella alta on a lateral radiograph with the knee flexed 30°. The ratio of the height of the lower pole of the articular cartilage above the tibial plateau to the articular length of the patella is measured. The normal value is defined as 0.8, and patella alta is present when the ratio is greater than 1.0.

patella bipartita

Rotule divisée en deux par un trait oblique radiotransparent isolant la partie supéro-externe de la rotule. Elle ne doit pas être confondue avec une fracture de la rotule.

NOTA Quelquefois la rotule comprend plus de deux parties osseuses : patella tripartita ou multipartita.

signe de l'affaissement (prop.); signe du décrochage

Enfoncement d'une partie de la tête fémorale siégeant surtout à la partie externe de la surface articulaire au stade avancé de l'ostéonécrose aseptique.

NOTA Signe du décrochage : terme utilisé par les auteurs français.

méthode de Blackburne et Peel

Méthode permettant d'évaluer une malposition haute de la rotule sur un cliché de profil, le genou fléchi à 30°. Le rapport entre la distance séparant l'extrémité inférieure de la surface articulaire de la rotule à la tangente au plateau tibial et la longueur de la surface articulaire de la rotule est normalement de 0,8. Un résultat égal ou supérieur à 1 traduit une malposition haute.

blade of grass appearance; blade of grass sign; flame appearance

A sign typically found in the destructive phase of Paget's disease. The lesion begins at the end of a bone or at an apophysis, such as the greater trochanter or tibial tubercle, and extends along the shaft. This results in an area of radiolucency that ends in a characteristic sharply marginated angular configuration.

Blineau's projection

A projection for the visualization of the inferior orbital fissure.

aspect en fer de lance; image en fer de lance

Dans la maladie de Paget, ostéolyse circonscrite sous forme d'une grande image claire centrale, triangulaire à pointe inférieure, qui progresse vers l'extrémité distale de l'os.

blister of bone

SEE **blown-out appearance**

blister sign

Round elevation (convexity directed superiorly) of the planum sphenoidale anterior to the tuberculum sellae, permitting the pneumatized sinus below it to bulge upward, thus silhouetting the undersurface of the sphenoid plate and producing a "blister-like" appearance. This may be seen in olfactory groove meningiomas.

block vertebra

A congenital defect where two or more vertebral bodies are joined without an intervening disc or cartilage.

incidence de Blineau

Incidence permettant de visualiser la fente sphéno-maxillaire. Le sujet est en décubitus ventral, tête en front-nez-film légèrement fléchie pour que le plan de Virchow fasse un angle de 20° avec la verticale. Le rayon directeur vertical est centré à quelques centimètres au-dessous de la protubérance occipitale externe de manière à viser la racine du nez.

soufflure; blistering (à éviter)

Aspect soufflé, convexe vers le haut, du jugum, résultant de l'hyperpneumatisation du sinus sphénoïdal sous-jacent et pouvant s'observer dans les méningiomes olfactifs.

bloc vertébral congénital

Défaut de segmentation entre deux ou plusieurs vertèbres avec aplasie du disque intervertébral.

blown-out

blown-out appearance

The appearance resulting from an eccentric lytic lesion characterized by a saccular cortical expansion with multiple fine septae internally, as seen in aneurysmal bone cyst.

NOTE Improperly termed blister of bone.

blow-out fracture; blowout fracture

A fracture of the orbital floor caused by a sudden increase of intraorbital pressure due to traumatic force. This fracture occurs most frequently without an associated fracture of the orbital rim.

Blumensaats line

A line projected forward from the intercondylar notch on the lateral projection of the knee in 30° of flexion. The lower border of the patella normally lies at the level of this line, but is well above it in patella alta.

NOTE Although Blumensaats stated that this line should cross the inferior tip of the patella, the patella may, in fact, lie as much as 2 cm proximal to this line in normal individuals. It is therefore considered an unreliable measure by many authors.

boat-shaped head
SEE scaphocephaly

body-section radiography
SEE tomography

body section roentgenography
SEE tomography

soufflure

Saillie de l'os cortical par un processus évolutif endo-osseux, en principe bénin, tel que le kyste osseux anévrismal. La corticale, très amincie en regard d'une lacune de la plage osseuse, bombe à l'extérieur en faisant une saillie arciforme d'un seul tenant ou, plus rarement, bosselée en verre soufflé.

fracture du plancher orbitaire; **fracture par blow-out (à éviter)**

Fracture du plancher de l'orbite, sans atteinte du cadre orbitaire, causée par l'hypertension intraorbitaire lors d'un traumatisme direct sur le globe.

ligne de Blumensaat (prop.)

Ligne projetée vers l'avant à partir de l'échancre intercondylienne sur une incidence de profil du genou fléchi à 30°. Cette ligne coupe normalement le bord inférieur de la rotule, mais passe dessous dans la patella alta.

NOTA Pour Blumensaat, cette ligne doit traverser la partie inférieure de la rotule; en fait, celle-ci peut se trouver à 2 cm de la ligne de Blumensaat, c'est pourquoi elle constitue une mesure peu fiable pour plusieurs auteurs.

Böhler's angle

An angle indicating the configuration of the calcaneus, measured from a roentgenogram of the lateral projection of the heel, with a normal value in the range of 28-40° and being decreased with compression fractures of the bone. The angle is formed by the intersection of two lines, one line being drawn from the posterosuperior aspect of the talocalcaneal joint to the posterosuperior margin of the calcaneus, and the other line from the posterosuperior aspect of the talocalcaneal joint to the superior articular aspect of the calcaneocuboid joint.

bone age

In pediatric orthopaedics, refers to x-ray studies of skeletal changes of bone and the development of ossification centers from infancy to adulthood. These studies observe the size of bone, proportionate sizes between different bones in the wrist, texture changes, contour of bony margins, and bone markings. These are then contrasted to photographic plates that show bone and joint maturation of the wrist in 3-month age increments. Standard sets of plates are found in Gruelich and Pyle (1959) and Todd (1937).

bone destruction
SEE **osteolysis**

bone erosion; osseous erosion

Evidence of beginning destruction as of the surface of a bone.

angle de Böhler; angle de Boehler

Angle ouvert en arrière, formé par le croisement d'une ligne longeant la face supérieure de la grosse tubérosité du calcanéum et d'une autre ligne joignant le point le plus élevé du thalamus au point le plus élevé de la grande apophyse du même os. Sa valeur normale se situe entre 28 et 40°. Il est diminué dans les fractures du calcanéum par enfouissement du thalamus.

âge osseux; maturation osseuse

L'âge chronologique et le développement morphologique de l'enfant et de l'adolescent ne fournissent pas suffisamment de précisions pour la détermination de la maturation du squelette. L'étude des radiographies de segments en voie de croissance permet l'analyse des centres d'ossification (nombre, taille) et leur comparaison à des atlas de référence. En pratique, on utilise un cliché radiographique de la main gauche que l'on compare à des clichés de référence, différents pour filles et garçons.

érosion osseuse

Le terme d'érosion est utilisé lorsqu'un tissu se trouve progressivement et lentement détruit par une lésion pathologique (*érosion osseuse* vertébrale par un anévrisme aortique; *érosion osseuse* de la voûte du crâne par un méningiome).

bone

bone infarct

A medullary lesion of the metaphyseal or diaphyseal area of a bone which has become necrotic as a result of a significant reduction in or obliteration of the affected area's blood supply, characterized by increased density.

NOTE By convention, the terms aseptic and avascular necrosis are generally applied to areas of epiphyseal or subarticular involvement, whereas bone infarct is usually reserved for metaphyseal and diaphyseal involvement.

bone island; sclerotic bone island; enostosis

An ovoid, round, or oblong, intraosseous sclerotic area usually less than 2 cm in diameter, which may be single or multiple, with discrete margins and thorny, radiating spicules extending from the center of the lesion. It is frequent in the ilium and ribs, and common in the femur, humerus, and phalanges of the hand.

NOTE To be distinguished from osteopoikilosis.

bone rarefaction; rarefaction of bone

Any process resulting in loss of bone tissue making it more radiolucent than normal bone.

infarctus osseux

Lésion osseuse résultant d'une obstruction dans le système circulatoire, entraînant une nécrose de la moelle osseuse. Elle se traduit par une condensation osseuse de forme arrondie ou ovalaire bien circonscrite, siégeant classiquement sur la métaphyse ou la diaphyse. Habituellement asymptomatique, sa découverte est souvent fortuite.

NOTA On réserve généralement le terme de nécrose aseptique à l'infarctus osseux épiphysaire.

îlot osseux condensant; îlot condensant bénin; îlot dense bénin; îlot osseux (prop.); énostose

Image intra-osseuse dense, ronde ou ovoïde, de 5 à 15 mm, unique ou multiple et à limites nettes, mais dont les bords sont spiculés. On la rencontre surtout à l'extrémité supérieure du fémur, sur le bassin, à l'extrémité inférieure du tibia où elle prend souvent une forme allongée.

NOTA À ne pas confondre avec l'ostéopoécilie.

raréfaction osseuse

Tout processus entraînant une perte de tissu osseux et se traduisant par une diminution de la densité osseuse.

bone resorption

A reduction in bone mass by osteoclastic activity. It can be normal during hemostasis or abnormal during loss of bone mass.

résorption osseuse; résorption osseuse ostéoclastique

Déperdition osseuse focale résultant d'une augmentation de l'activité ostéoclastique stimulée par un processus métabolique inflammatoire ou autre. La résorption peut être discrète (hyperparathyroïdie) ou très marquée (polyarthrite rhumatoïde avancée).

bone scan

SEE **bone scintigraphy**

bone scintigraphy; skeletal scintigraphy; radionuclide bone imaging

Imaging of the uptake of a radioactive tracer by bone.

NOTE The term bone scan is widely used as a synonym, but is a misnomer.

scintigraphie osseuse; scintigraphie du squelette

Imagerie du squelette obtenue par la détection et l'enregistrement de la distribution d'un traceur radioactif ostéotrope dans l'organisme.

bone-within-a-bone appearance; bone-within-bone appearance

The appearance created by the formation of an inner layer of new bone which does not merge with the overlying cortical bone, as seen in osteopetrosis.

image d'os dans l'os; aspect d'os dans l'os

Aspect de dédoublement interne de l'os qui s'observe en particulier dans l'ostéopétrose.

boot-top fracture; skier's injury

Ski boot fracture of the midportion of the distal one-third of the tibia and fibula.

fracture du skieur (prop.)

Fracture causée par la botte de ski au tiers distal du tibia et du péroné.

Bosworth fracture

Fracture-dislocation of the ankle, with oblique fracture of the distal fibula and displacement and entrapment of the proximal fibular fragment posteriorly, behind the tibia.

fracture de Bosworth

Fracture de l'extrémité inférieure du péroné avec déplacement du pied en arrière, associée à une luxation en arrière de l'extrémité supérieure et de la diaphyse du péroné qui se coince derrière le tibia.

Bouchard's nodes

Cartilaginous or bony enlargements of the proximal interphalangeal joints of the fingers in degenerative joint disease.

cf. Heberden's nodes**nodosités de Bouchard**

Nodosités des articulations interphalangiennes proximales, en particulier de l'index et du médius, dues à un gonflement articulaire, surtout de la face dorsale de l'articulation. Leur signification n'est pas totalement élucidée. Si elles sont souvent le signe d'une arthrose, elles peuvent parfois correspondre à de véritables arthrites rhumatismales.

cf. nodosités d'Heberden**boutonnière deformity;
buttonhole deformity**

Deformity of the finger characterized by flexion of the proximal interphalangeal joint and hyperextension of the distal joint. It is caused by damage to the central slip of the extensor tendon to the middle phalanx.

déformation en boutonnière

Déformation des doigts caractérisée par la flexion de l'interphalangienne proximale et l'hyperextension de l'interphalangienne distale. Cette déformation provient d'une destruction du tendon de l'extenseur médian par la synovite rhumatoïde, à la face dorsale de l'articulation, près de l'insertion du tendon sur la base de la deuxième phalange.

**boutonnière deformity of the thumb
SEE thumb boutonnière
deformity****bowing fracture; bow fracture;
plastic bowing fracture**

In children, bending of a long bone or bones occurring as a result of angulation and compressive forces, without any evidence of a fracture. It is particularly common in the radius or ulna and less commonly found in the fibula. In the forearm both bones may be bowed, or there may be an associated complete or incomplete fracture or dislocation of the other.

fracture plastique

Chez l'enfant, incurvation diaphysaire d'un os long soumis à une compression axiale, sans trait de fracture décelable. Elle se rencontre surtout au niveau du cubitus ou du radius, parfois du péroné. À l'avant-bras, le plus souvent, la fracture plastique d'un des deux os accompagne une fracture vraie de l'autre os. Plus rarement, elle intéresse

bowing fracture (cont'd)

The fibular bow fracture is usually associated with a complete fracture of the tibia.

simultanément les deux os de l'avant-bras. Au niveau du péroné, elle est presque toujours associée à une fracture du tibia.

bow-line of Brailsford

SEE **Inverted Napoleon hat sign**

bow sign

SEE **Inverted Napoleon hat sign**

bow tie appearance; bow tie sign

A sign of a unilateral locked facet of the cervical spine, due to a flexion-rotation injury. On the lateral view the facet joints at the level of the injury rotate: while the vertebrae below the lesion are in true lateral projection, the vertebrae above are seen obliquely. This results in a bow tie appearance.

signe du noeud papillon

Signe observé dans une luxation cervicale avec accrochage unilatéral des facettes articulaires, résultant d'un traumatisme en hyperflexion associée à une rotation. Sur un cliché de profil, les facettes articulaires sont en rotation : alors que les vertèbres sous la lésion sont vues dans un profil strict, les vertèbres au-dessus de la lésion sont vues de trois quarts. Les masses latérales de la vertèbre luxée présentent alors un aspect en noeud de papillon.

boxer's fracture

Fracture of the neck of the fifth metacarpal with dorsal angulation, and often volar displacement of the metacarpal head.

fracture du boxeur

Fracture du col du cinquième métacarpien avec angulation à sommet dorsal et, très souvent, bascule palmaire de la tête métacarpienne.

NOTE This injury is more appropriately considered a "street fighter's fracture" since it results from an unskillful blow with the clenched fist (a boxer punches with the second and third metacarpals rather than with the more mobile fifth metacarpal).

NOTA En français, le terme «fracture du boxeur» est souvent utilisé pour désigner une fracture de la base du premier métacarpien.

brachycephaly

brachycephaly; brachycephalia; brachycephalism

A developmental abnormality characterized by shortness and broadness of the head from premature closure of the coronal suture.

Brewerton view; Brewerton's projection

A view obtained by placing the dorsal aspect of the hand flat against the cassette (palm up) with the fingers flexed about 65°. The beam is centered on the metacarpal heads, and the tube is angled 15° to the ulnar side of the wrist. The Brewerton view is useful in evaluating subtle arthritic abnormalities or fractures of the metacarpal heads.

brim sign

Thickening of the pelvic brim or arcuate line (iliopectineal line) in Paget's disease of the pelvis.

brittle bones

SEE osteogenesis imperfecta

Brodie's abscess

A circumscribed radiolucent lesion surrounded by dense, sclerotic bone, characteristically found in subacute pyogenic osteomyelitis. It is commonly located (but not confined) to the metaphysis of long bones.

brachycéphalie

Déformation crânienne caractérisée par un développement excessif dans le sens transversal, ce qui donne un crâne exagérément large et court. Elle est due à la synostose prématuée de la suture coronale.

incidence de Brewerton

Dans le cas de flexion irréductible des doigts, notamment des articulations métacarpo-phalangiennes (rhumatisme inflammatoire, arthrose distale, maladie de Dupuytren), on pourra recourir à l'*incidence de Brewerton* réalisée face en supination, extrémité des doigts reposant sur leur face dorsale, rayon centré sur les zones de déformation.

épaississement de la ligne innominée

Dans la maladie de Paget, la structure osseuse du bassin peut présenter un *épaississement de la ligne innominée*.

abcès de Brodie

Abcès à pyogènes des os longs ou ostéomyélite subaiguë à pyogènes se traduisant par une petite zone lytique transparente entourée d'une zone d'ostéosclérose dense siégeant ordinairement dans la région métaphysaire des os longs.

bucket-handle fracture

A contralateral double vertical fracture of the pelvis due to oblique forces and involving both ischiopubic rami on the side opposite the impact, combined with fracture about or dislocation of the sacroiliac joint on the side of impact. The hemipelvis may be rotated and displaced upward and inward.

**bucket-handle tear;
bucket-handle fracture**

A longitudinal tear of a semilunar cartilage in the knee joint, along the middle portion, leaving a loop of cartilage lying in the intercondylar notch. Best seen on arthrography and magnetic resonance.

**buckle fracture
SEE torus fracture****buckling fracture
SEE torus fracture****Bullit's method**

A radiographic method for stereoscopic projection of the mastoid processes.

Bull's angle

The angle between a line following the plane of the hard palate and a line through the center of the anterior and posterior arches of the atlas. Normal value is about 13°.

bumper fracture; fender fracture

Compression fracture of the lateral tibial plateau often associated with avulsion of the medial collateral ligament of the knee.

fracture en anse de seau

Fracture du bassin par compression latérale, interrompant l'anneau pelvien, caractérisée par une lésion antérieure et une lésion postérieure siégeant du côté opposé. L'hémibassin peut se déplacer vers le haut, en rotation interne.

lésion en anse de seau

Déchirure longitudinale d'un ménisque du genou isolant une bande fibreuse fixée seulement en avant et en arrière et flottant dans l'articulation. Visible surtout à l'arthrographie et à la résonance magnétique.

méthode de Bullit (prop.)

Procédé radiologique pour l'examen de l'apophyse mastoïde en stéréoscopie.

angle de Bull

Angle formé par une ligne passant par le palais osseux et une autre passant par le milieu des arcs antérieur et postérieur de l'atlas, normalement de 13°.

fracture par pare-chocs (prop.)

Fracture par enfouissement du plateau tibial externe, souvent associée à un arrachement du ligament latéral interne du genou.

Burman view

A view for visualization of the first carpometacarpal joint. The hand is hyperextended and rotated radially. The thumb is laid against the cassette. The beam is angled 45° and centered on the base of the first metacarpal.

bursography

Radiologic examination of a bursa after injection of a radiopaque contrast agent into the bursa.

burst fracture; bursting fracture

A comminuted fracture of the spine occurring as a result of vertical compression forces when an intervertebral disc is driven into the vertebral body below.

bursting fracture of Jefferson

SEE **Jefferson fracture**

butterfly fragment

An elongated triangular fragment of cortical bone generally detached from two other larger fragments of a long bone, occurring on the concave side of an angulation injury. This implies high velocity of trauma from a direction opposite the fragment.

butterfly vertebra

A sagittally cleft vertebra which appears as a butterfly-like configuration on radiographs, due to persistence of fetal notochord remnant.

buttonhole deformity

SEE **boutonnière deformity**

Incidence de Burman (prop.)

Incidence permettant de visualiser la première articulation carpo-métacarpienne. La main est en hyperextension et en rotation externe. Le pouce est appuyé contre la cassette. Le rayon incliné à 45° est centré sur la base du premier métacarpien.

bursographie

Radiographie après injection d'un produit de contraste dans une bourse séreuse.

fracture-éclatement; fracture corporéale comminutive; burst fracture (à éviter)

Fracture comminutive d'un corps vertébral résultant d'un mécanisme de compression verticale.

fracture en aile de papillon

Variété de fractures où il existe deux traits convergents détachant un troisième fragment osseux triangulaire.

vertèbre en papillon

Vertèbre dont le corps présente une fente médiane et verticale, et qui, de face, prend la forme d'un noeud de cravate papillon. Cette image est pathognomonique du rachischisis antérieur, conséquence d'une notochordodysraphie.

button of bone

In osteochondritis dissecans, a small button-shaped fragment of bone of increased density demarcated from the underlying bone by a radiolucent band.

button sequestrum

A round, lucent calvarial defect with a normal bony density (sequestrum) in its center. The term was first used to describe an unusual radiographic manifestation of eosinophilic granuloma. Although most commonly seen in that disorder, this radiographic appearance has also been described in infectious osteitis (tuberculosis), metastatic carcinoma, radiation necrosis, meningioma, dermoid cyst, and benign bone tumors.

buttressing

Thickening of the cortex in the medial and inferior aspect of the femoral neck in osteoarthritis of the hip.

NOTE Buttressing is most commonly observed in osteoarthritis, although it is also apparent in osteonecrosis, congenital subluxation of the hip, rheumatoid arthritis, ankylosing spondylitis, ankylosing hyperostosis of the spine, and even with an adjacent osteoid osteoma.

image de l'oeuf au nid

Image caractéristique de l'ostéochondrite disséquante à la phase de nécrose circonscrite se traduisant par un séquestre osseux, plus ou moins volumineux et de densité homogène normale ou légèrement renforcée, apparaissant nettement séparé de l'os sain par une ligne claire, arciforme, régulière, qui correspond au sillon d'élimination.

séquestre en bouton; button sequestrum (à éviter)

Lacune arrondie au centre de laquelle on observe un séquestre d'os normal, localisée à la voûte crânienne. L'histiocytose X est la cause la plus fréquente de ce type de lésion, mais non la seule. Les autres étiologies sont : infections (tuberculose et germes banals), tumeurs bénignes (kyste dermoïde, méningiome, hémangiome), métastases, nécrose radique.

ostéophytose en hamac

Ostéophytose épaisissant le bord inféro-interne du col fémoral, observable dans la coxarthrose.

NOTA Peut s'observer également dans d'autres coxopathies telle que la maladie hyperostosante.



Cahoon's position

Position giving a symmetrical radiographic semiaxial postero-anterior projection of both temporal styloid processes.

calcaneal-fifth metatarsal angle

An obtuse angle formed by a line constructed along the inferior border of the calcaneus and a line through the inferior cortex of the fifth metatarsal. The normal range is 150 to 175°. A more acute angle occurs with the cavus deformities and a more obtuse angle is seen with pes planus.

calcaneal inclination angle

The angle formed by the intersection of the plane of support and the calcaneal inclination axis. The normal is 18 to 22°. In a pronated foot, this angle can decrease significantly, and in a supinated foot, it can likewise increase significantly.

calcaneal spur; heel spur

A bony excrescence on the lower surface of the calcaneus at the attachment of the long plantar ligament.

incidence de Cahoon (prop.)

Incidence radiologique symétrique, semi-axiale et postéro-antérieure des apophyses styloïdes temporales.

**angle calcanéum-5^e métatarsien;
angle de Davis-Hatt et
Templeton**

Angle formé par la corticale inférieure du corps du calcanéum et une ligne passant par la corticale inférieure du 5^e métatarsien. Cet angle mesure de 150 à 175°.

angle de pente calcanéenne

Angle de l'axe du calcanéum avec l'horizontale; valeur normale 20°.

**épine calcanéenne; éperon
calcanéen; épine de Lenoir**

Prolifération osseuse au tiers postérieur de la face plantaire du calcanéum au niveau de l'insertion du grand ligament plantaire (ligament calcanéo-cuboïdien).

calcification

The deposition of calcareous matter within organic tissue so that it becomes hardened.

Greenfield has classified the conditions that lead to deposition of calcium within soft tissues into three types: metastatic *calcification* related to a disturbance in calcium or phosphorus metabolism; calcinosis due to the deposition of calcium in skin and subcutaneous tissue in the presence of normal calcium metabolism; and dystrophic *calcification* related to calcium deposits in damaged or devitalized tissue in the absence of a generalized metabolic derangement.

NOTE It also refers to the depositing of lime salts in cartilage during bone formation.

cf. **calcinosis**

calcinosis

Any of various pathologic conditions characterized by the deposition of calcium salts in tissues.

cf. **calcification**

calcification

Processus pathologique d'imprégnation par des dépôts de sels insolubles de calcium de tissus qui n'en contiennent pas normalement.

NOTA On désigne également ainsi le processus physiologique observé au cours de l'ossification.

cf. **calcinose**

calcinose

Syndrome caractérisé par la présence dans les tissus mous de multiples dépôts calciques radiologiquement visibles.

NOTA On distingue classiquement des calcinoses idiopathiques, localisées (*calcinosis circumscripta*) ou diffuses (*calcinosis universalis*) et des calcinoses secondaires à une hypercalcémie ou à une maladie du collagène (essentiellement polymyosite et sclérodermie). La chondrocalcinose articulaire diffuse, les calcifications discales et tendineuses ne font pas partie de la calcinose.

cf. **calcification**

Caldwell's

Caldwell's projection; Caldwell view; Caldwell's position; Caldwell projection

A projection used in radiology of the frontal and anterior ethmoidal sinuses. In the original method, the patient's forehead and nose rest on the film, and the central ray is directed through the glabella with a caudal angulation of 23° to the glabellomeatal line. In the modified method, the orbitomeatal line is perpendicular to the film, and the central ray is directed 15° caudad through the nasion.

calvarial doughnut lesion
SEE **doughnut lesion**

Campbell's lines

Lines corresponding to anatomical planes for classification of facial injuries.

candle bones
SEE **melorheostosis**

candlestick appearance
SEE **pencil-in-cup deformity**

canoe paddle rib; oar-shaped rib

Widening of the middle and distal aspects of a rib, with a narrow proximal segment, seen in mucopolysaccharidoses.

canoe-shaped head
SEE **scaphocephaly**

Capener's sign

A sign of slipped epiphysis. In a normal hip the posterior acetabular margin cuts across the medial corner of the upper femoral metaphysis; with slipping the entire metaphysis is lateral to the posterior acetabular margin.

Incidence de Caldwell (prop.)

Incidence radiologique permettant de visualiser les sinus frontaux et éthmoïdaux. Le sujet est en procubitus, la face reposant sur la cassette par le front et le nez. Le film est perpendiculaire au plan orbito-méatal et le rayon directeur, incliné de 15° vers les pieds, est centré sur le nasion.

lignes de Campbell

Lignes de repérage des différentes structures du massif facial.

côte en rame; côte en pagaille

Aspect caractéristique des côtes dans les mucopolysaccharidoses, dû à l'amincissement de la partie proximale des côtes et à l'élargissement de leur partie distale.

signe de Capener (prop.)

Signe d'éphysiolyse. Dans la hanche normale, le bord postérieur du cotyle coupe la partie interne de la métaphyse fémorale supérieure; en cas d'éphysiolyse, la métaphyse est complètement sortie du cotyle.

capital drop

In osteoarthritis of the hip, osteophyte formed from a fusion of the foveal and inferior marginal osteophytes (elephant trunk).

carotid arteriography

Radiographic study of the carotid circulation after the injection of a radiopaque agent into the common, external, or internal carotid artery.

carpal sign

The angle measured at the intersection of two tangents, the first touching the proximal contour of the navicular and lunate bones and the second touching the triquetral and lunate bones, is the carpal angle. In normal subjects, the angle measures approximately 130°; in most patients with gonadal dysgenesis, the carpal angle measures 117° or less.

CAT

SEE computerized axial tomography

CAT scanning

SEE computerized axial tomography

coulée sous-fovéale

Dans certains types de coxarthrose, ostéophyte, dit en goutte pendante, commençant en général au bord inférieur de la tête fémorale et se fusionnant à un autre ostéophyte provenant de la fovéa.

**artélographie carotidienne;
carotidographie**

Étude radiographique de la circulation du système carotidien après injection d'un produit de contraste dans la carotide commune, interne ou externe.

NOTA Carotidographie : terme peu usité.

signe carpien

L'angle mesuré sur les radiographies de face du poignet, formé par l'intersection de deux lignes droites, l'une tangente au semi-lunaire et au pyramidal, l'autre au semi-lunaire et au scaphoïde, constitue l'angle carpien. Normalement il est d'environ 130° avec un écart variable selon les auteurs. Chez les malades atteints de dysgénésie gonadique, l'angle carpien est nettement inférieur.

cauliflower-like

cauliflower-like appearance

The external surface of the osteochondroma may be uniform and smooth or irregular and bosselated, creating a *cauliflower-like appearance*.

cavalry bone

SEE **rider's bone**

C-E angle

SEE **Wiberg's angle**

celery stick appearance; celery stick sign

The appearance of long bones in infants as a result of maternal rubella infection. The architecture of the metaphysis and adjacent diaphysis is disorganized. This produces a characteristic pattern of alternating dense and lucent longitudinal striations. Similar changes have been described in cytomegalic inclusion disease.

central bone

SEE **os centrale**

cephalic index

A measure of the relationship between the maximum breadth of the head and the maximum length of the head: (maximum head breadth $\times 100$)/maximum head length.

cephalic tilt view

SEE **angle-up view**

aspect en chou-fleur

L'excroissance osseuse que représente l'ostéochondrome a un aspect variable, sessile ou plus souvent pédiculé, le pédicule pouvant être long et mince. Souvent l'exostose a un *aspect en chou-fleur*.

Image en tige de céleri; image en côte de céleri

Image d'anomalies osseuses rencontrée chez le nouveau-né infecté par le virus de la rubéole au cours de la grossesse, consistant en de larges bandes claires métaphysaires, à limites irrégulières du côté de la diaphyse dont la minéralisation est normale et le modelage insuffisant. Ces bandes claires ne sont pas spécifiques et se retrouvent en période néo-natale dans la syphilis congénitale, l'érythroblastose foetale, la maladie des inclusions cytomégaliques.

indice céphalique

Indice anthropométrique traduisant la forme allongée ou arrondie de la tête (ou du crâne) en vue supérieure; c'est le rapport entre le diamètre transverse maximal du crâne, multiplié par 100, et son diamètre antéro-postérieur maximal.

cephalocaudad view
SEE craniocaudal view

cervical rib

A supernumerary rib articulating with a cervical vertebra, usually the seventh, but not reaching the sternum anteriorly.

cervico-obturator line
SEE Shenton's line

Chamberlain's line

On lateral radiograph of the skull, a straight line drawn from the posterior lip of the foramen magnum to the posterior border of the hard palate. If the dens extends significantly above this line, basilar impression may be diagnosed.

champagne glass pelvis

The pelvis, as seen in achondroplasia, the width of the pelvic inlet exceeding its depth.

cf. wine glass pelvis

Chance's fracture; lap-type seat belt fracture

A horizontal splitting of the spine and neural arch ending in an upward curve which usually reaches the upper surface of the vertebral body just in front of the neural foramen.

Chassard-Lapiné position

A position for a semiaxial projection of the pelvis, obtained with the patient sitting on the table and leaning forward, and the central ray directed vertically through the lumbosacral region.

côte cervicale

Côte surnuméraire, uni ou bilatérale, articulée avec la septième vertèbre cervicale.

ligne de Chamberlain

Ligne qui réunit, sur le cliché ou la tomographie de profil du crâne, le bord postérieur du palais osseux au bord postérieur du trou occipital. À l'état normal, l'apophyse odontoïde ne dépasse pas cette ligne de plus de 5 à 7 mm. Au-delà, il s'agit d'une image d'impression basilaire.

bassin en coupe à champagne (prop.)

Bassin aplati dont la hauteur est diminuée, observé dans l'achondroplasie.

cf. bassin en verre à bordeaux

fracture de Chance

Fracture du rachis se traduisant par un trait horizontal, véritable clivage intra-osseux s'étendant de l'apophyse épineuse au corps vertébral.

position de Chassard et Lapiné

Position pour la radiographie du bassin en vue axiale. Le sujet est assis sur la table, le tronc fléchi en avant, et le rayon vertical de l'appareil est centré sur les apophyses épineuses lombaires.

chauffeur's

chauffeur's fracture; backfire fracture; lorry driver's fracture; Hutchinson's fracture

Fracture of the radial styloid process involving the distal articular surface.

NOTE The name chauffeur's fracture dates from the time of hand-cranked automobiles, when direct trauma to the radial side of the wrist could be sustained from the crank.

Chaussé III position

A slightly oblique view of the petrosa, demonstrating the attic-aditus-antral areas.

chondrocalcinosis

Calcification of hyaline cartilage or fibrocartilage or both indicating the presence of calcium salts, especially calcium pyrophosphate, and appearing radiologically as a thin line of increased density in the cartilaginous structures of one or more joints.

NOTE When accompanied by attacks of goutlike symptoms, it is known as pseudogout.

fracture de Hutchinson

Fracture de l'apophyse styloïde du radius.

NOTA Fracture causée par le retour de la manivelle à l'époque où les moteurs de voiture démarraient à l'aide d'une manivelle.

Incidence de Chaussé III; incidence III de Chaussé

Incidence destinée à mettre en évidence le défilé antro-tympanal.

NOTA Chaussé III est l'incidence de base pour l'étude de l'oreille moyenne, Chaussé IV, pour l'oreille interne et la pointe du rocher; Chaussé II est l'incidence donnant l'image du «rocher dans les orbites». L'incidence de Chaussé I n'est pas utilisée.

chondrocalcinose articulaire; chondrocalcinose articulaire diffuse

Calcification des cartilages et/ou des fibrocartilages articulaires pouvant atteindre plusieurs articulations, presque toujours composée de cristaux de pyrophosphate de calcium. Les calcifications apparaissent, sur les radiographies, comme de fins lisérés opaques cernant à faible distance les contours osseux articulaires.

NOTA Les auteurs américains appliquent parfois la dénomination de pseudo-goutte non seulement aux arthrites aiguës de la chondrocalcinose articulaire, mais aussi à ses autres manifestations.

chondromalacia

Softening of the articular cartilage, most frequently in the patella.

chondromalacia patellae

Premature degeneration of the patellar cartilage, the patellar margins being tender so that pain is produced when the patella is pressed against the femur. Best seen on arthrography and magnetic resonance.

Chopart's fracture

Fracture-dislocation of the talonavicular and calcaneocuboid joints.

NOTE It is derived from Chopart's description of an amputation through these midtarsal joints.

claw osteophyte; claw spur

A triangular excrescence arising from the anterior surface of a vertebral body and extending superiorly or inferiorly across the discovertebral junction.

NOTE It is believed that traction and claw osteophytes represent different stages of a single disease process. Horizontally oriented excrescences, or traction osteophytes, initially form at the osseous site of attachment of the outer annular fibers (Sharpey fibers) to the anterior vertebral surface. Subsequently, periosteal deposition of bone and progressive disk ossification convert the traction osteophyte to a clawlike excrescence. It is possible that traction osteophytes, representing an initial stage of the ossification process, indicate an unstable

chondromalacie

Ramollissement des cartilages articulaires, surtout fréquent au niveau de la rotule.

chondromalacie rotulienne; chondropathie rotulienne

Dégénérescence circonscrite d'une partie du cartilage postérieur de la rotule. Visible surtout à l'arthrographie et à la résonance magnétique.

fracture de Chopart (prop.)

Fracture-luxation des articulations astragalo-scaphoïdiennes et calcanéo-cuboïdiennes.

ostéophyte en crochet (prop.)

Excroissance osseuse à direction verticale, se développant à la face antérieure d'un corps vertébral et traversant l'espace intersomatique.

cf. ostéophyte de traction

claw

claw osteophyte (cont'd)

discovertebral level, and that their conversion to claw osteophytes indicates increasing spinal stability that allows progressive ossification of annular fibers.

cf. traction osteophyte

clay shoveler's fracture; clay shovellers' fracture; clay-shoveller's fracture; clay-shoveler's fracture

An avulsion type of fracture of a spinous process in the lower cervical or upper thoracic region (anywhere between C6 to T3, but especially C7).

cloaca

An opening in the involucrum of an ecrosed bone, seen as an area of decreased density at the bone-periosteal interface, through which pus and debris can be discharged.

closed fracture

A fracture in which the skin and soft tissues overlying the fracture are intact and there is no communication with the outside environment.

NOTE Formerly called a simple fracture.

cloverleaf skull; cloverleaf skull deformity; kleeblattschädel

A trilobed deformity of the skull owing to fusion of the coronal and lambdoid sutures, and defects in the frontal, temporal, and occipital squamosa. A frequent finding in thanatophoric dwarfism.

fracture du terrassier; maladie des terrassiers

Fracture d'une apophyse épineuse de la région cervico-dorsale (le plus souvent celle de C7 ou de D1, plus rarement celle de C6 ou de D2).

fistule osseuse

Ouverture dans la corticale et l'involucré rendant possible la décompression d'un os infecté.

fracture fermée

Variété de fracture, où la peau est intacte de toute plaie en regard du foyer de fracture, celui-ci ne communiquant donc pas avec l'extérieur.

crâne en trèfle

Déformation trilobée du crâne, secondaire à la fermeture des sutures coronales, lambdoïdes et squameuses. Le crâne est très augmenté de volume avec une saillie de la région frontale et des régions temporales. S'observe notamment dans le nanisme thanatophore.

clubbing; clubbed digits; clubbed fingers; hippocratic fingers; drumstick fingers

A proliferative change in the soft tissues about the terminal phalanges of the fingers or toes.

coat hanger exostosis

A pedunculated bony excrescence arising most commonly from the metaphysis, showing a narrow base and a bulbous bony cap and characteristically growing in a direction away from the nearest joint. Seen in solitary osteochondromas and multiple exostoses.

Cobb method; Cobb's method

A method for measuring the angle of a curve in scoliosis. A horizontal line is drawn at the superior border of the superior end vertebra. Another horizontal line is drawn at the inferior border of the inferior end vertebra. Perpendicular lines are then erected from each of the horizontal lines, and the angles formed by the intersecting lines are measured.

cf. Risser-Ferguson method

codfish vertebra
SEE fish vertebra

hippocratisme digital; doigts en baguette de tambour; doigts en battant de cloche; doigts en spatule; doigts hippocratiques; doigts en canne de golf

Déformation de l'extrémité des doigts ou des orteils, n'intéressant que les parties molles et affectant divers types : ongles en verre de montre avec renflement modéré de l'extrémité, doigts en spatule, doigts en baguette de tambour.

exostose en porte-manteau

Excroissance osseuse pédiculée siégeant habituellement sur la métaphyse, caractérisée par une base d'implantation souvent étroite et une direction métaphysodiaphysaire. Elle s'observe dans l'ostéochondrome solitaire et la maladie des exostoses cartilagineuses multiples.

NOTA En français, on utilise parfois les termes exostose en stalagmite et exostose en stalactite pour décrire respectivement une exostose se dirigeant vers le haut et une exostose se dirigeant vers le bas.

méthode de Lippmann-Cobb

Méthode permettant de mesurer le degré d'angulation d'une scoliose. On trace une droite prolongeant le bord supérieur de la vertèbre neutre supérieure et une autre prolongeant le bord inférieur de la vertèbre neutre inférieure. On mesure l'angle formé par ces deux droites ou celui formé par des perpendiculaires partant de ces droites.

cf. méthode de Ferguson-Risser

Codman's

Codman's triangle

A small deposit of subperiosteal bone at the periphery of a bone tumor or infection. Radiologically this produces a triangular appearance on the surface of the bone at the edge of the lesion. The appearance is mainly seen in sarcoma of bone, although it may be seen in osteomyelitis.

cold spot

An area of decreased radionuclide uptake on a bone scintigram reflecting decreased metabolic activity.

Colles' fracture; Colles fracture; Pouteau fracture

A fracture in which the lower end of the radius is displaced backwards and upwards to produce the silver-fork deformity.

comminuted fracture

Fracture with more than two fragments.

complete fracture

A fracture that extends completely through the bone.

compound fracture SEE open fracture

triangle de Codman; éperon de Codman; éperon périosté

Apposition périostée en forme de petit triangle, résultant du soulèvement du périoste en périphérie d'une lésion tumorale ou infectieuse de l'os. Bien qu'on l'observe habituellement en relation avec un ostéosarcome, il se rencontre également dans l'ostéomyélite.

zone d'hypofixation; zone froide; foyer froid; lacune scintigraphique

Zone traduisant l'absence de fixation isotopique à la scintigraphie.

fracture de Pouteau; fracture de Pouteau-Colles; fracture de Colles

Fracture de l'extrémité inférieure du radius avec déplacement dorsal et latéral externe du fragment distal, entraînant une déviation analogue de la main, dite «en baïonnette» et «en dos de fourchette».

NOTA Fracture de Colles : usage anglo-saxon.

fracture comminutive

Fracture à plus de deux fragments.

NOTA Pour certains il s'agit d'une fracture à plus de trois fragments.

fracture complète

Solution de continuité complète d'un os résultant habituellement d'un traumatisme.

compression fracture

A fracture in which one fragment of bone is driven into an apposing fragment, characteristically involving vertebral bodies.

**fracture par tassement;
fracture-tassement; fracture
par compression; fracture-
compression**

Fracture dans laquelle un fragment osseux est télescopé dans le fragment opposé. Ce type de fracture se rencontre notamment sur les os courts (os du carpe et du tarse, mais surtout corps vertébraux) et sur les épiphyses des os longs.

**computed tomography
SEE computerized axial
tomography****computerized axial tomography;
CAT; CAT scanning;
computerized transaxial
tomography**

The gathering of anatomical information from a cross-sectional plane of the body, presented as an image generated by a computer synthesis of x-ray transmission data obtained in many different directions through the given plane.

NOTE The more generic term computed tomography (CT) usually refers to this variant which is the most widely used; however, the technology has now made it possible to look also at coronal, sagittal, and oblique slices and imaging means other than x-rays may be used.

**tomodensitométrie;
scanographie; tomographie
axiale transverse avec
ordinateur; tomographie axiale
avec ordinateur; tomographie
axiale transverse commandée
par ordinateur; TACO**

Technique d'exploration radiologique de structures anatomiques consistant en une tomographie axiale où le faisceau émergent est repris par un ordinateur qui analyse et différencie les coefficients d'absorption, même très voisins, des différents tissus traversés dans cette tranche, et en trace une carte sur un document enregistré.

NOTA Le terme scanographie a été adopté officiellement par le ministère de la Santé de la France bien que le terme tomodensitométrie soit d'un usage plus courant.

cone

cone epiphysis; cone-shaped epiphysis

An epiphyseal center which is partially or completely buried in the metaphysis, and usually with the shape of a cone, seen in many dysostoses and dysplasias.

NOTE A ball and socket configuration is similar except that the center is more rounded than cone-shaped, and results from acquired central fusion of the distal femoral growth plate.

congruence angle

An angle formed by a line bisecting the sulcus angle and a second line projected from the apex of the sulcus angle through the lowest point on the articular ridge of the patella. If the apex of the patellar articular ridge is lateral to the zero line it is positive, and if medial it is negative. The normal congruence angle is $-8 \pm 6^\circ$. It is 23° in knees with recurrent dislocation.

convexobasia

A deformity of the occipital bone, which is bent forward by the spine; seen in osteitis deformans.

copper beaten appearance
SEE hammered brass appearance

épiphyse en cône

Déformation en pointe de la partie métaphysaire de l'épiphyse, qui s'enfonce dans la métaphyse déformée en «V»; cet aspect est évocateur de nombreuses dysostoses et dysplasies, mais peut être rencontré chez le sujet normal.

angle de congruence

Angle que fait la droite unissant la gorge de la trochlée fémorale à la crête rotulienne avec la bissectrice de l'angle trochléen; on affecte du signe moins les angles dont la bissectrice est le côté externe. L'angle normal est de $-8 \pm 6^\circ$.

convexobasie

Terme créé par Léri pour désigner la convexité anormale de la base du crâne observée dans la maladie de Paget.

corduroy cloth appearance (of a vertebra)

Sign of vertebral hemangioma visible as fuzzy, vertical, linear streaks in the vertebral body.

NOTE 1. Vertebral hemangiomas may also lead to focal radiolucent areas with coarse trabeculae arranged in a honeycomb or cartwheel configuration.

2. A similar appearance resulting in a picture frame vertebra may be seen in Paget's disease.

cf. **picture frame vertebra**

corner sign of scurvy; angle sign of scurvy; corner sign; angle sign

A subepiphyseal cleft in the spongiosa and cortex just below the provisional calcification zone.

coronal cleft vertebrae

Coronal vertical clefts seen in vertebral bodies of neonates due to failure of fusion of two ossification centres. They disappear during the first few weeks of life and are of no significance except that they tend to be associated with skeletal dysplasias.

vertèbre striée; vertèbre peignée

Aspect d'un corps vertébral dont la trame osseuse se présente sous la forme de stries parallèles, disposées verticalement. Cet aspect est extrêmement évocateur d'un angiome vertébral.

NOTA 1. Dans certains cas l'angiome modifie la trabéculation vertébrale en lui donnant un aspect cannelé ou alvéolaire, en nid d'abeille.

2. La trame osseuse est fine, discrète, beaucoup moins grossière et filamenteuse que dans la vertèbre en cadre de la maladie de Paget.

cf. **vertèbre en cadre**

encoche de Park (prop.); corner sign (à éviter)

Encoche latérale du cortex, juste au-dessous de la ligne de calcification provisoire, observable dans le scorbut infantile.

fentes coronales rachidiennes

Les *fentes coronales rachidiennes* constituent une anomalie d'un type particulier; souvent transitoires, observées au niveau du rachis lombaire dans la période néonatale et chez le tout jeune nourrisson, elles apparaissent sur les clichés de profil sous la forme d'une bande radio-transparente barrant verticalement la partie moyenne d'un ou plusieurs corps vertébraux lombaires. Ces images disparaissent en règle au cours de la première année de la vie.

cotton

cotton wool appearance

In advanced Paget's disease, multiple irregular areas of increased density of the bones due to bizarre deposition of new bone, best seen in the skull.

cough fracture

A stress fracture of the anterior portion of the lower rib or ribs that occurs as a result of repeated coughing. It is usually found in association with chronic obstructive pulmonary disease, but it may also be associated with severe episodes of coughing in asthma, acute pneumonia, or bronchitis.

coxa adducta

SEE **coxa vara**

coxa magna

A hip joint with an abnormally large femoral head.

NOTE A permanent deformity often occurring after Perthes disease.

coxa plana

A hip joint with an abnormally flattened femoral head, commonly seen in Perthes disease.

NOTE A term describing the deformity resulting from Perthes disease, it is generally used to refer more loosely to the disease itself.

aspect cotonneux; aspect ouaté

Dans la maladie de Paget, taches opaques représentant des zones d'ostéocondensation, à contours flous, disposés irrégulièrement sur les os plats, en particulier le bassin et le crâne.

fracture des tousseurs; fracture de toux

Fracture de stress située sur la partie antérieure des côtes inférieures. Elle s'observe chez le bronchitique chronique, mais également lors des épisodes sévères de toux en cas de crise d'asthme, pneumopathie aiguë ou bronchite.

coxa magna

Anomalie de l'articulation coxo-fémorale caractérisée par la présence d'une tête fémorale très volumineuse.

NOTA Séquelle fréquente de la maladie de Legg-Perthes-Calvé.

coxa plana

Déformation de la hanche consécutive à une ostéochondrite juvénile. La tête fémorale est aplatie et élargie en champignon ou en béret basque, le col est raccourci et il existe une légère subluxation.

NOTA Stricto sensu, ce terme décrit la séquelle de l'ostéochondrite juvénile; en fait, il est habituellement utilisé dans un sens plus large pour désigner la maladie elle-même.

coxa valga

A deformity of the proximal end of the femur characterized by an increased angle between the femoral neck and shaft.

coxa vara; coxa adducta

A deformity of the proximal end of the femur that is marked by a decreased angle between the femoral neck and shaft.

craniocaudal view; craniocaudad view (prop.); cephalocaudad view

A supero-inferior roentgenographic view.

craniofenestria

A congenital bony defect involving the total thickness of the skull.

cf. lacunar skull

craniolacunia

SEE lacunar skull

cranioschisis

Congenital failure of the skull to close mid-dorsally, usually accompanied by grossly defective development of the brain.

coxa valga

Déformation de l'extrémité proximale du fémur, caractérisée par une ouverture excessive de l'angle cervicodiaphysaire, au-delà d'un degré d'angulation dont la limite varie selon les auteurs.

coxa vara; coxa retrorsa; coxa adducta; hanche bote

Déformation de l'extrémité proximale du fémur, caractérisée par une fermeture de l'angle cervicodiaphysaire qui est inférieur à 130°.

Incidence crano-caudale; incidence descendante

Incidence radiologique supéro-inférieure.

crâne fenestré; cranio fenestria

Le crâne lacunaire se traduit par des lacunes de la voûte du crâne nettement délimitées par des bandes d'os dense. Ces images sont surtout nettes au voisinage des sutures sagittale, coronales ou lambdoïdes. Elles sont dues à la disparition de la table interne de l'os et du diploé. Bien souvent, la table externe disparaît aussi et l'on parle alors de *crâne fenestré* (*cranio fenestria*).

cf. crâne lacunaire

cranioschisis

Malformation du crâne due à un défaut d'ossification sur la ligne médiane.

cranium

cranium bifidum

Congenital cleft of the cranium.

crater

Splitting osteochondritis (dissecans). The dissecting fragment is defined by a radiolucent line of demarcation. When it separates, the resulting *crater* may be obvious.

crescent sign

A crescentic, subchondral lucency in the anterosuperior femoral head representing a pathologic fracture in aseptic necrosis.

Cronqvist's Index

An index for assessing the size of the cranial vault in children. It is ten times the sum of the greatest length, width, and height between the inner table of the skull divided by the maximum distance between the inner margins of the mandibular necks. Normal values are between 51 and 56.

crucial angle; Gissane's angle

An angle formed by the posterior and middle facets of the calcaneus. Immediately above these facets is the process of the talus, which is so situated as to result in a wedge-type effect, causing many of the calcaneal fractures.

crâne bifide

Crâne présentant une fissure congénitale.

encoche en coup d'ongle; niche en coup d'ongle

L'ostéochondrite disséquante. Radiologiquement : petite *encoche en coup d'ongle*, entourée d'une zone de condensation entourant un petit fragment osseux parfois plus dense; il arrive que ce fragment osseux se résorbe, laissant alors la niche visible.

signe de la coquille d'oeuf

Ligne sous-chondrale radiotransparente en forme de croissant, située à la partie supérieure de la tête fémorale et correspondant à une fracture pathologique dans l'ostéonécrose aseptique.

indice crânien de Cronqvist

Indice permettant d'apprecier la taille de la voûte crânienne. Il correspond à la somme de la longueur, de la hauteur et de la largeur maximales, mesurées de table interne à table interne, multipliée par 10 et divisée par la distance maximale entre les cols mandibulaires. Le résultat se situe normalement entre 51 et 56.

angle crucial de Gissane

Angle formé par la jonction du bord antérieur du thalamus et du plancher du sinus tarsien.

**dagger sign**

Ossification of the posterior longitudinal ligament. The radiographic appearance is that of a dense ossified strip or plaque varying in size from 1 to 5 mm along the posterior margins of the vertebral bodies and intervertebral disks. Although most common in the region of the cervical spine, it may be identified elsewhere in the spine as well.

dancer's fracture

SEE **Jones fracture**

dashboard fracture

Fracture of the posterior rim of the acetabulum caused by impact through the knee, driving the femoral head against the acetabulum. It is frequently associated with a posterior cruciate ligament injury, a femoral shaft fracture, or patellar fracture.

delayed union

Healing of a fracture that appears to be unduly slow.

**depressed skull fracture;
depressed fracture**

A fracture of the skull in which a fragment is depressed.

cf. ping-pong fracture**ossification en lame (prop.)**

Ossification du ligament vertébral commun postérieur se présentant radiologiquement comme une lame très opaque, plaquée à la face postérieure des corps vertébraux, enjambant les disques et prédominant en général en C3 et C4.

fracture du tableau de bord

(prop.); complexe fracturaire du tableau de bord (prop.); syndrome du tableau de bord

Fracture du bord postérieur du cotyle résultant d'un choc sur le genou fléchi, pouvant s'associer à une fracture de la diaphyse fémorale, une fracture de la rotule ou une lésion du ligament croisé postérieur.

retard de consolidation

Consolidation d'une fracture qui ne respecte pas les délais habituels.

embarrure

Type de fracture par enfoncement de la voûte crânienne, caractérisé par la présence d'un fragment osseux qui se trouve déplacé en bloc, parallèlement à la surface crânienne.

depressed

depressed skull fracture (cont'd)

NOTA On en rapproche la fracture en balle de ping-pong,apanage exclusif du nourrisson, où une partie de la voûte crânienne est enfoncée de façon régulière sans être fracturée.

cf. fracture en balle de ping-pong

de Quervain's fracture

Fracture of the scaphoid with volar dislocation of a scaphoid fragment and the lunate.

diastasis

A separation of normally joined parts, most commonly applied to slightly movable joints. Diastases occur in the region of the pubic symphysis or the distal tibiofibular syndesmosis.

diastatic skull fracture

Separation of cranial bones at a suture.

diastematomyelia

A congenital, more or less complete doubling of the spinal cord associated with the formation of a bony or cartilaginous septum from the posterior wall of the vertebral canal, usually in spina bifida.

fracture de de Quervain

Fracture du scaphoïde avec luxation palmaire du semi-lunaire.

diastasis

Écart anormal entre deux surfaces articulaires, d'origine le plus souvent traumatique. Ce terme est généralement employé pour la tibiotarsienne, où il y a écartement des malléoles et non-parallélisme des surfaces articulaires.

fracture crânienne avec déhiscence

Fracture avec séparation et parfois écartement des os du crâne au niveau des sutures.

diastématomyélie

Dédoubllement de la moelle épinière au-dessous de la 5^e vertèbre dorsale, en rapport avec une anomalie vertébrale : spicule osseux développé sur le corps ou l'arc postérieur de la vertèbre. Cette malformation coexiste généralement avec un spina bifida.

Didiee view

Didiee view. The patient is prone on the table with the cassette under the shoulder. The forearm is behind the trunk. The dorsum of the hand is on the iliac crest with the thumb directed upward. The x-ray tube is directly lateral to the shoulder joint, and the beam is angled 45°.

digastric line

SEE **Fischgold's digastric line**

direct radiographic

magnification; direct magnification radiography; direct magnification

A magnification technique in which the enlargement of the final image is accomplished by increasing the object-to-film distance; it requires the use of both a small focal-spot x-ray tube and a high-resolution recording system.

NOTE The term magnification radiography usually refers to direct radiographic magnification.

cf. **optical magnification**

disappearing bone disease

SEE **Gorham's disease**

discography; diskography

Radiographic demonstration of the intervertebral disk by means of injection of a radiopaque water-soluble substance directly into the disk. The shape and integrity of the nucleus pulposus and anulus fibrosus may be evaluated.

incidence de Didiée

Incidence permettant de radiographier l'articulation de l'épaule, en particulier l'articulation gléno-humérale. Le patient est en procubitus, avec la main du côté à radiographier sur la hanche, le pouce en l'air. Le rayon directeur, ascendant de 45° dans l'axe de l'humerus, est centré sur la face postérieure de la tête humérale.

agrandissement radiographique

direct; agrandissement direct

Méthode radiographique permettant d'obtenir une image fortement agrandie en éloignant l'objet du film et en le rapprochant du foyer.

cf. **agrandissement optique**

discographie; nucléographie

Radiographie des disques intervertébraux après injection d'une substance radioopaque directement dans le nucleus pulposus.

discography

discography (cont'd)

NOTE Discography is not purely an imaging technique because symptoms produced during the test are considered to have as much diagnostic value as the radiographs obtained.

discoid lateral meniscus

An abnormally disk-shaped meniscus often associated with a meniscal tear, seen on arthrography or magnetic resonance. A discoid medial meniscus is seldom observed.

NOTE Believed to be a congenital abnormality, but other etiologies have been postulated.

disc space narrowing; disk space narrowing; intervertebral disc space narrowing; narrowing of the intervertebral disc space

Thinning of the space between any two vertebral bodies.

disk herniation

SEE herniation of nucleus pulposus

diskography

SEE discography

disk space narrowing

SEE disc space narrowing

dislocation; luxation

A complete loss of contact between the articulating surfaces of adjacent bones.

NOTE Luxation: obsolete term.

dislocation fracture

SEE fracture dislocation

NOTA Cet examen iconographique est interprété à la lumière des douleurs qu'il reproduit.

ménisque externe discoïde

Ménisque externe à configuration anormale discoïde, entraînant souvent une déchirure méniscale, visualisé par l'arthrographie ou la résonance magnétique. Il est exceptionnel que le ménisque interne soit discoïde.

NOTA On croit qu'il s'agit d'une malformation, mais d'autres hypothèses ont également été avancées.

pinçement discal

Réduction de la hauteur de l'espace intersomatique vertébral.

luxation; luxation articulaire

Perte complète de contact entre deux surfaces articulaires.

dislocation of articular processes
SEE **locked facets**

displaced fracture

A fracture in which the fragments are not in alignment.

NOTE A fracture may be undisplaced, or it may be displaced, in which case, the fracture fragments may be displaced in one or more of the six following ways: (1) shifted sideways; (2) angulated; (3) rotated; (4) distracted; (5) overriding; (6) impacted.

dolichocephaly

Longness and narrowness of the head, with a cephalic index below 76.

dot-dash appearance; dot-dash pattern

The appearance seen in early rheumatoid arthritis, produced by erosions leading to indistinctness and focal loss of continuity of the dorsoradial subchondral bone plate of the metacarpal heads. These erosions are most commonly seen at the second and third metacarpophalangeal joints and third proximal interphalangeal joint, but also occur in "bare areas", at the edge of the articular cartilage.

double-contrast arthrography
SEE **arthrography**

double density sign

A pattern observed in radionuclide bone scans in patients with osteoid osteoma, characterized by intense scintigraphic activity centrally in the region of the nidus and less intense accumulation of the radionuclide peripherally in the sclerotic bone.

fracture déplacée

Fractures déplacées : le déplacement se fait par angulation-ascension-translation-rotation (le plus souvent externe) du fragment distal (par convention).

dolichocéphalle

Forme haute et étroite de la tête, avec un indice céphalique inférieur à 76.

aspect en pointillé (prop.)

Aspect observé surtout à la tête des métacarpiens au stade précoce de la polyarthrite rhumatoïde, se traduisant par des érosions minimes de la corticale dont les contours sont flous, avec interruption de la ligne osseuse sous-chondrale qui apparaît en pointillé à la périphérie des cartilages.

image en double densité

Image scintigraphique de l'ostéome ostéoïde résultant de l'hyperfixation intense du nidus qui est cerné par une couronne de fixation moindre, à l'intérieur de la fixation pauvre de l'os normal.

double

double fracture

Two fractures in the same bone.

cf. **segmental fracture**

doughnut lesion; calvarial

- doughnut lesion

A sign of an old infarction of the calvarium visible either as a small, round, well-defined radiolucency surrounded by a very dense, clearly outlined area of osteosclerosis or as a larger area of radiolucency having a more irregular and hazy osteosclerotic contour with irregular areas of density of varying size within the central radiolucency. Some doughnut lesions seem to be cases of fibrosing osteltis. Other cases may be famillal but their essential pathology is obscure.

drumstick fingers

SEE **clubbing**

dumb-bell appearance

Flaring of the ends of shortened tubular bones in metatropic dwarfism.

Dunlap method

SEE **angle of anteversion**

Dupuytren fracture of the forearm

SEE **Galeazzi fracture**

fracture double; fracture bifocale

Présence de deux fractures sur un même os.

cf. **fracture à double étage**

lésion en beignet (prop.)

Plage arrondie dense à centre clair de la voûte crânienne, observée notamment dans la dysplasie fibreuse.

image en haltère (prop.)

Aspect des os longs, raccourcis et évasés à leurs extrémités, observé dans le nanisme métatropique.

Dupuytren's fracture

A term used to describe several varieties of bimalleolar fractures, but most commonly those caused by abduction and external rotation forces that result in an avulsion fracture of the medial malleolus and an oblique fracture of the lateral malleolus with or without rupture of the tibiofibular syndesmosis.

NOTE As classically described, the Dupuytren's fracture is a fracture of the distal fibula (lateral malleolus), with rupture of the distal tibiofibular ligaments, diastasis of the syndesmosis, lateral dislocation of the talus, and displacement of the foot upward and outward. As originally described, the lesion appears similar to the ankle injury described by Pott, except that Dupuytren mentions rupture of the tibiofibular syndesmosis and Pott the medial ligaments of the ankle.

cf. Pott's fracture

Duverney's fracture

Fracture of the ilium just below the anterior superior spine.

fracture de Dupuytren

Variété de fracture par abduction du cou de pied associant une fracture de la malléole externe (péroné), de la malléole interne (tibia) et une rupture des ligaments péronéo-tibiaux inférieurs.

cf. fracture de Pott

fracture de Duverney

Fracture de l'ilion située immédiatement en dessous de l'épine iliaque antéro-supérieure.

**eburnation**

Increased density of subchondral bone which resembles ivory, particularly seen in degenerative joint disease.

éburnation

Augmentation considérable de la densité de la partie sous-chondrale d'un os qui ressemble à de l'ivoire. S'observe en particulier dans l'arthrose.

echography

echography

SEE ultrasonography

empty sella turcica; empty sella

The extension of the arachnoid and subarachnoid spaces into the sella turcica so that, on pneumoencephalogram, air appears to fill all or part of the cavity of the sella.

selle turcique vide

Malformation anatomique de la région sellaire, la selle turcique étant occupée par un diverticule arachnoïdien qui refoule, efface et comprime plus ou moins complètement l'hypophyse intrasellaire contre la paroi osseuse postéro-inférieure de sa loge. À l'encéphalographie gazeuse, l'air injecté occupe en totalité (ou partiellement) la loge hypophysaire, en raison du refoulement en arrière de l'hypophyse intrasellaire.

enostosis

SEE bone island

enthesophyte

Hyperostosis of the osseous tissue at the sites of tendon and ligament attachment resulting in radiographically detectable excrescences and spurs.

enthésophyte

Hyperostose se développant aux zones d'insertion ligamentaires et tendineuses, prenant la forme d'excroissances, d'éperons.

epidural venography

The cervical or lumbar epidural venous plexus can be opacified by an injection of contrast medium into the ascending lumbar vein or directly into the medullary cavity of a vertebral body (*epidural venography*).

phlébographie rachidienne

La *phlébographie rachidienne* consiste à opacifier les veines situées dans l'espace épidual du canal rachidien et à étudier leur modification par les processus pathologiques adjacents. Elle est réalisée par cathétérisme des veines lombaires ascendantes et sacré-latérales pour le niveau lombaire et des veines vertébrales pour le niveau cervical.

epidurography

Radiography of the spine after a radioopaque medium has been injected into the epidural space.

épidurographie

Technique de radio-diagnostic consistant à prendre des radiographies de la colonne vertébrale après injection d'une substance radioopaque ou gazeuse dans l'espace épidual.

epiphyseal separation

Abnormal separation of the epiphysis from the metaphysis, usually from injury (trauma).

epiphysiolysis; epiphyseolysis

Slipping or loosening of an epiphysis from the metaphysis of a bone.

Erlenmeyer flask deformity

A deformity at the end of certain long bones, especially the distal femur, when there is failure of the shaft of the bone to model to its normal tubular shape with the result that the bone is wide for a much longer distance up the shaft than normal, giving it the appearance of an Erlenmeyer flask which is shaped like a truncated, somewhat blunted cone. A characteristic finding in Gaucher's disease but also seen in other conditions.

Essex-Lopresti's fracture

Comminuted fracture of the head of the radius, associated with dislocation of the distal radioulnar joint.

exaggerated Waters position

A radiographic position in which the angle between the orbitomeatal plane and the plane of the film is about 45° instead of 37°.

cf. Waters projection**décollement épiphysaire**

Glissement traumatique de l'épiphyse sur la métaphyse se produisant au niveau du cartilage de conjugaison.

épiphysiolysie; épiphyséolyse

Déplacement brutal ou progressif d'une épiphysie dû à une dysplasie du cartilage de conjugaison entraînant une diminution de sa résistance mécanique.

déformation en flacon d'Erlenmeyer

Déformation par défaut de modelage normal de l'extrémité distale de certains os longs, du fémur en particulier. Au lieu de la forme tubulaire normale, l'extrémité distale de l'os est plus volumineuse, lui donnant un aspect en flacon d'Erlenmeyer. On l'observe notamment dans la maladie de Gaucher.

fracture-luxation d'Essex-Lopresti

Fracture comminutive de la tête radiale associée à une luxation radio-cubitale distale.

incidence de Waters

Incidence radiologique dans laquelle le rayon incident fait un angle de 45° avec le plan de Francfort qui joint le bord inférieur de l'orbite au conduit auditif externe.

cf. incidence de Blondeau

exostosis

exostosis

Any outgrowth of bone from the surface of a bone.

exostose

Végétation osseuse située à la surface d'un os.



fallen fragment sign

Disruption of the wall of a unicameral bone cyst by a pathologic fracture resulting in a cortical bone fragment lying free within the cyst space.

fatigue fracture; stress fracture

A fracture resulting from repeated, relatively trivial, trauma to an otherwise normal bone. It occurs not as a sudden break in bony continuity but as the result of alteration of the bone in the form of gradual local dissolution. Fatigue fractures occur most frequently in the lower extremities, especially the metatarsals, and only rarely in the upper extremities.

NOTE Terms often used to refer to march fracture.

cf. march fracture

signe de la chute du fragment osseux

Déplacement d'un ou de plusieurs fragments d'os cortical au fond d'un kyste osseux solitaire, provoqué par une fracture pathologique.

fracture de stress; fracture de fatigue

Fracture survenant sur un os sain à la suite de contraintes minimes longtemps répétées. Il s'agit de modifications très localisées de la structure osseuse qui, par persistance du traumatisme, évoluent jusqu'à la fracture. La fracture de fatigue atteint surtout le membre inférieur (base du 2^e, 3^e ou 4^e métatarsien, péroné).

NOTA 1. Le terme de fracture de fatigue est ambigu : il fait croire que l'os intéressé est un os fatigué alors qu'une fracture de fatigue survient sur un os strictement normal; il semble plus logique de parler de fracture de stress, reflétant davantage les circonstances de survenue, et d'abandonner le terme de fracture de fatigue qui peut créer une ambiguïté.

2. Termes fréquemment utilisés pour désigner la fracture de marche.

cf. fracture de marche

fat pad sign

SEE positive elbow fat pad sign

Feiss line

A line drawn from the center of the navicular and the trochlea tali to the lowest point on the inferior cortical margin of the first metatarsal head.

femoral arteriography

Radiologic examination of the arterial system of the lower limb after the injection of a radiopaque contrast agent into the femoral artery.

fender fracture

SEE bumper fracture

Ferguson's method

SEE Risser-Ferguson method

fibrous cortical defect

A common radiographic abnormality of the long bones in children or adolescents consisting of an oval transparency in the cortex of the metaphysis and signifying an area of bone that has undergone necrosis and has been replaced by fibrous tissue.

NOTE In many reported investigations, the terms nonossifying fibroma and fibrous cortical defect are used interchangeably.

Fischgold's bimastoid line; bimastoid line

A horizontal line drawn between the tips of the mastoid processes. This line passes within 2 mm of the tip of the odontoid process in normal patients. Used for assessing basilar impression.

ligne de Feiss

Ligne passant par le point le plus bas de la tête du premier métatarsien, le centre du scaphoïde et le centre de la poulie astragalienne qui, sur le pied normal, se trouvent alignés.

artériographie fémorale

Exploration radiologique du réseau artériel des membres inférieurs après injection à contre-courant d'un produit de contraste dans l'artère fémorale au pli de l'aine.

lacune corticale métaphysaire

Lacune osseuse découverte radiologiquement à la partie périphérique de la métaphyse d'un os long chez l'enfant ou l'adolescent.

NOTA Cette entité radiologique correspond anatomiquement, pour beaucoup d'auteurs, au fibrome non ostéogénique des os.

ligne bimastoïdienne de Fischgold; ligne bimastoïdienne

Sur le cliché de face, ligne réunissant les pointes des deux mastoïdes, qui passe au niveau des articulations occipito-atloïdiennes à 2 ou 3 mm près; utilisée comme critère d'évaluation de l'impression basilaire.

Fischgold's

Fischgold's digastric line;
Metzger-Fischgold line;
Fischgold's biventer line;
digastric line

A line extending horizontally between the two digastric grooves of the mastoid process. The normal distance from the atlanto-axial articulation is 11 mm with a standard deviation of ± 4 mm.

fish vertebra; codfish vertebra;
biconcave vertebra

The biconcave deformities of a vertebral body resulting from collapse of the vertebral endplates. Most common in the lower thoracic and upper lumbar spine, these deformities are characteristic of disorders in which there is diffuse weakening of the bone, such as osteoporosis. A similar pattern may be seen in osteomalacia, Paget's disease, hyperparathyroidism, and neoplasm.

Fisk position; Fisk projection

A projection showing an axial view of the acromioclavicular joint and the bicipital groove. The patient is asked to flex his elbow, lean forward, and rest his forearm on the table with the hand supinated. The cassette is placed on the forearm and the central ray is directed vertically through the bicipital groove.

flame appearance

SEE **blade of grass appearance**

Ligne digastrique de Fischgold;
ligne digastrique de Fischgold et Metzger; ligne bidigastrique de Fischgold et Metzger; ligne bidigastrique

Ligne réunissant les encoches à l'insertion du muscle digastrique sur l'apophyse mastoïde; elle est utilisée comme critère d'évaluation de l'impression basilaire.

vertèbre de poisson; vertèbre biconcave

Vertèbre biconcave par déformation des plateaux, s'observant notamment dans l'ostéoporose et l'ostéomalacie.

Incidence de Fisk (prop.)

Incidence permettant d'obtenir une vue axiale de l'articulation acromio-claviculaire et de la gouttière bicipitale. Le coude est fléchi à 90° et la face postérieure de l'avant-bras repose sur la table. La cassette est placée sur l'avant-bras, le rayon vertical descendant centré sur la gouttière bicipitale.

flap fracture

A fracture of the skull in which the fracture line produces a flap-like pattern with overriding of the edges.

cf. **diastatic skull fracture**

floating teeth; floating tooth sign

Teeth which have lost their supporting alveolar bone secondary to destructive processes of the mandible or alveolar ridges. The resulting appearance, characterized by circumscribed cyst-like areas around the teeth, is typically found in reticuloendothelioses, especially eosinophilic granuloma and histiocytosis X.

flowing ossification

Ossification along the anterolateral aspects of vertebrae in diffuse idiopathic skeletal hyperostosis (Forestier's disease).

flowing wax appearance

In melorheostosis, an irregular thickening of the cortex along one side of a bone or the bones of one extremity. The thickening may be external, internal, or both. The appearance has been likened to molten wax flowing down the side of a candle.

NOTE Not to be confused with flowing ossification of vertebrae in diffuse idiopathic skeletal hyperostosis.

fracture avec chevauchement

Au crâne, la *fracture avec chevauchement*, plus souvent partiel que complet, se traduit par une ligne plus dense, filiforme ou épaisse de quelques millimètres, linéaire ou vaguement arrondie, irrégulière.

cf. **fracture crânienne avec déhiscence**

dents flottantes

Dans l'histiocytose X, la lyse extensive des structures alvéolaires qui supportent les dents peut aboutir à des aspects radiologiques de «*dents flottantes*».

coulée osseuse; hyperostose engainante

Dans la maladie hyperostosante (maladie de Forestier), ossification antéro-latérale des vertèbres et des disques, solidarisant plusieurs vertèbres.

image en coulée de bougie

Dans la mélorhéostose, épaissement irrégulier du cortex le long d'un os ou des os d'un membre. Il peut être externe, interne ou les deux à la fois, donnant une image en coulée de bougie.

NOTA À ne pas confondre avec la coulée osseuse des vertèbres dans l'hyperostose vertébrale ankylosante.

fluoroscopy

**fluoroscopy; radioscopy;
roentgenoscopy**

Direct visual x-ray procedure by use of x-ray tube, fluoroscopic screen, and television monitor for intensification; used in myelograms and arthograms so that the patient may be positioned properly for regular x-ray films.

NOTE Fluoroscopy allows the recording of dynamic events.

foramen magnum line

SEE McRae's line

forked rib; bifid rib

A bifid or lobster-claw-like congenital anomaly usually of the third, fourth, or fifth ribs seen in frontal projections of the chest and rib cage.

Fowler-Philip angle

An angle formed by a line drawn along the posterior superior calcaneal margin and the great tuberosity and a line going from the medial plantar tubercle and the anterior plantar tubercle. Normal is 44 to 69°

fracture dislocation; fracture-dislocation; dislocation fracture

A dislocation accompanied by a fracture.

fragilitas ossium

SEE osteogenesis imperfecta

Fränkel's line

SEE white line of Fraenkel

radioscopy; fluoroscopie

Examen de l'image formée sur un écran fluorescent par un corps interposé entre cet écran et une source de rayons X.

NOTA 1. Fluoroscopie : synonyme peu usité en français.

2. La fluoroscopie permet l'étude de phénomènes dynamiques.

côte bifide

La bifurcation de l'arc antérieur (*côtes bifides ou en anneau*) affecte électivement la troisième et la quatrième côtes.

angle de Fowler et Philip

Angle formé par une droite tangente à la face postérieure de la grosse tubérosité du calcanéum et une droite réunissant le point d'appui le plus bas du calcanéum à l'extrémité inférieure de l'interligne calcanéo-cuboïdien; valeur normale : 44 à 69°.

fracture-luxation

Luxation compliquée de fracture.

frog-leg view

A roentgenographic position for examining the hip. The patient is lying supine with hips flexed and thighs abducted, revealing a lateral view of the femoral neck.

fusiform; spindle-shaped

Tapering of both ends.

The hands in rheumatoid arthritis, particularly the proximal joints of the fingers, are involved. The swelling of the joint consists not only of increased synovial effusion but also of inflammatory edema of the structures, so the swelling is maximal about the joint and gradually tapers off at a distance. A typical *fusiform* appearance results.

Incidence de Lauenstein;
incidence de la cuisse de
grenouille (prop.)

Incidence radiologique du bassin dite «de la grenouille» : flexion et abduction à 30° des cuisses sur le bassin, rotation externe; le col fémoral est vu de profil, le cotyle restant en place.

fusiforme; en fuseau

En forme de fuseau.

Dans la polyarthrite rhumatoïde, les interphalangiennes proximales sont presque toujours touchées. Leur inflammation contribue à la raideur douloureuse matinale des mains. Elle crée un gonflement articulaire renflant le doigt *en fuseau*.

**Gage's sign**

In Perthes disease, an early sign of involvement of the epiphyseal ossification center of the femoral head, appearing as a small area of radiolucency on the lateral aspect of the affected epiphysis and metaphysis.

signe de Gage

Dans l'ostéochondrite primitive de la hanche, image radiotransparente à la face externe de l'épiphyse fémorale.

Galeazzi

Galeazzi fracture; Galeazzi's fracture

Fracture of the radius at the junction of the middle and distal thirds with associated dislocation or subluxation of the distal radioulnar joint.

NOTE The term Dupuytren fracture of the forearm is sometimes used as a synonym, but should refer to a fracture of the distal radius associated with an avulsion fracture of the styloid process.

gamekeeper's thumb; skier's thumb

Injury to the ulnar collateral ligament of the metacarpophalangeal joint of the thumb, due to valgus stress.

NOTE Initially described as an occupational hazard in English gamekeepers, who, in killing rabbits by twisting their necks, sustained repeated stresses about the first metacarpophalangeal joint, the injury is now recognized to occur in various settings, including skiing and breakdancing.

Garland-Thomas method

A radiologic method of diagnosing anterior spondylolisthesis. Normally, the inferoanterior angle of the fifth lumbar body lies from 1 to 8 mm behind a line perpendicular to the surface of the sacrum and tangent to its anterior angle.

geode

SEE subchondral cyst

fracture de Galeazzi

Fracture de la diaphyse radiale, siégeant le plus souvent au niveau de son tiers inférieur, associée à une luxation de l'articulation radio-cubitale inférieure.

NOTA Lorsque la fracture de l'extrémité inférieure du radius s'associe à un arrachement de la styloïde cubitale, elle porte le nom de fracture de Gérard-Marchant ou de fracture de Dupuytren du membre supérieur.

pouce du garde-chasse (prop.); pouce du skieur (prop.)

Rupture du ligament latéral interne de l'articulation métacarpo-phalangienne du pouce.

méthode de Garland

Méthode permettant de déceler un spondylolisthésis lombo-sacré. Normalement, l'angle antéro-inférieur de L5 se situe de 1 à 8 mm en arrière d'une ligne perpendiculaire à la droite formant le plateau supérieur de S1, et tracée à l'angle antéro-supérieur du sacrum.

geographic bone destruction

Geographic bone destruction. The geographic pattern is the least aggressive pattern of bone destruction, as it is generally indicative of a slow-growing lesion. The margin of the lesion is well defined and easily separated from the surrounding normal bone. This margin may be smooth or irregular, but in either instance, it is usually clearly demarcated, with a short zone of transition from normal to abnormal bone. Benign bone tumors usually demonstrate *geographic bone destruction*. Malignant diseases (such as plasma cell myeloma and metastasis) and osteomyelitis (particularly granulomatous infections) can demonstrate a similar pattern of bone destruction, however.

cf. **motheaten bone destruction, permeative bone destruction**

geographic skull

SEE **maplike skull**

Giannestras's talonavicular angle

SEE **talonavicular angle**

Gilula's arcs (prop.)

Parallel arcs joining the articular margins of the carpal bones. The first arc is formed by the proximal row of the carpus — the scaphoid, lunate, and triquetrum. The second arc is formed by connecting the distal articular margins of the proximal row of the carpus, and the third arc by joining the proximal articular margins of the capitate and hamate.

Disruptions in these arcs are generally indicative of subluxation or dislocation of the involved carpal bone.

ostéolyse géographique

L'*ostéolyse géographique* se traduit par une lacune à bords nets, à l'emporte-pièce, parfois polycyclique. La séparation entre os sain et os tumoral est nette. Le cortex peut être soit détruit, soit érodé et aminci, mais conservé; il peut être plus ou moins soufflé. Une *ostéolyse* de type géographique correspond à un processus d'évolution lente.

cf. **ostéolyse mitée, ostéolyse ponctuée**

courbes de Gilula

Courbes continues et parallèles formées par les os du carpe. La première suit les pôles proximaux du scaphoïde, du semi-lunaire et du pyramidal; la seconde est tracée à partir de la concavité inférieure de ces trois osselets. Enfin, la troisième suit la convexité proximale du grand os et de l'os crochu.

Girdany-Golden

Girdany-Golden method

A method for assessing skeletal maturity.

cf. bone age

Gissane's angle

SEE crucial angle

Gorham's disease; Gorham's syndrome; disappearing bone disease; massive osteolysis; phantom bones

Angiomatosis of bone, usually affecting one or more bones and causing massive and progressive osteolysis which ceases unpredictably. Destroyed bone is replaced by fibrous tissue resulting in varying degrees of deformity.

Gosselin's fracture

A V-shaped fracture of the distal end of the tibia, extending into the ankle joint.

gouty tophus

SEE tophus

Grashey position; Grashey projection

A position used for the visualization of the glenohumeral joint, with the patient rotated 35 to 45° toward the affected side, the arm slightly abducted in internal rotation. The central ray is directed perpendicularly to a point two inches medial and two inches distal to the upper outer border of the shoulder.

méthode de Girdany et Golden (prop.)

Méthode destinée à évaluer l'âge osseux.

cf. âge osseux

ostéolyse massive Idiopathique; maladie de Gorham

Affection très rare, caractérisée par une ostéolyse très lentement progressive, survenant sans cause apparente, d'un ou plusieurs os contigus, surtout au niveau des ceintures.

NOTA Pour Gorham, l'ostéolyse massive idiopathique serait une variété particulière d'angiomatose osseuse.

fracture de Gosselin; fracture de Gerdy

Fracture en V de l'extrémité distale du tibia, s'étendant à l'articulation de la cheville.

Incidence de Grashey (prop.)

Incidence permettant de radiographier l'articulation gléno-humérale dans un plan parfaitement tangentiel.

Grashey's position
SEE **Towne's projection**

greenstick fracture; willow fracture; hickory-stick fracture; interperiosteal fracture

An incomplete fracture, usually seen in children, in which only the convex side of the cortex is broken with bending of the bone.

cf. **torus fracture**

ground glass appearance; ground-glass appearance; milky appearance

The appearance seen in fibrous dysplasia in which relatively radiolucent or radiopaque areas appreciated on roentgenograms reflect the relative amounts of fibrous and osseous tissue. Trabeculae of woven bone are haphazardly embedded within a largely fibrous collagenous matrix and contribute to the overall generalized haziness of the lesion. Conversely, predominantly fibrous zones appear more radiolucent.

growth arrest lines
SEE **Harris lines**

growth recovery lines
SEE **Harris lines**

Guérin's fracture
SEE **Le Fort I fracture**

fracture en bois vert

Fracture incomplète, propre à l'enfant, consécutive à une flexion responsable d'une rupture corticale du côté convexe, alors que du côté concave, la corticale et le périoste résistent, ce dernier étant habituellement seulement décollé.

cf. **fracture en motte de beurre**

aspect en verre dépoli

L'image la plus typique de la dysplasie fibreuse des os est une plage homogène, peu opaque, siégeant dans la médullaire, faisant disparaître la trabéculation de l'os, se raccordant progressivement à la corticale qui est parfois soufflée, et à l'os normal adjacent. C'est l'*aspect «en verre dépoli»*. La lésion correspond à du tissu fibreux uniformément peu ossifié.

Guillen's

Guillen's view

The per-orbital projection is sometimes called *Guillen's view*. With the patient supine and the orbito-meatal line perpendicular to the film, the face is rotated 5-10° towards the affected side. The beam is angled 0-5° caudally, centring through the middle of the orbit on the affected side.

gull-wing sign

A sign of fracture-dislocation of the posterior acetabular rim, and/or dislocation of the femoral head. In the lateral view of the pelvis, the posterior dislocation of the femoral head, plus the fracture fragments of the posterior rim of the acetabulum, forms a double curved shadow which simulates the silhouette of a flying gull.

incidence de Guillen

Incidence antéro-postérieure transorbitaire unilatérale pour l'examen radiologique de l'oreille moyenne mettant en évidence notamment les régions de l'attique et de la caisse du tympan.

signe de la mouette

Dans la luxation de la hanche, croisement des plaques osseuses sous-chondrales, signant l'absence de congruence entre la tête fémorale et le cotyle.



Hahn-Steinthal fracture

A fracture of the capitellum which involves a large part of the osseous portion of the capitellum.

cf. Kocher's fracture

fracture de Hahn-Steinthal

Fracture du capitellum emportant le plus souvent la totalité du noyau condyléen avec éventuellement la partie adjacente de la trochlée cartilagineuse.

cf. fracture de Kocher-Lorenz

hairline fracture

A minor fracture in which all the portions of the bone are in perfect alignment. The fracture is seen on x-ray as a very thin hair line between the two segments, but not extending entirely through the bone.

fissure

Solution de continuité sans fracture totale d'un os.

hair-on-end appearance (of the skull)

In severe congenital hemolytic anemias, marked new bone formation perpendicular to the tables of the skull, producing a radial hair-on-end appearance. Although most commonly seen in patients with thalassemia, the hair-on-end pattern may also be produced in patients with sickle cell disease or spherocytosis, as well as in some persons with iron-deficiency anemia.

hair-on-end appearance

Periosteal reaction characterized by fine, short, delicate spicules laid down perpendicular to the cortex, often over a considerable length of shaft, seen in Ewing's sarcoma.

cf. sunburst appearance, velvet appearance

half-moon sign

In posterior dislocation of the shoulder, absence of the normal overlap between the medial part of the head of the humerus and the glenoid fossa. This overlap produces a semilunar shadow that reaches down to the inferior border of the fossa and thus is designated as the half-moon overlap.

crâne en poils de brosse

Aspect radiologique de la voûte crânienne caractérisé par une striation transversale du diploé. Il s'observe au cours de certaines anémies hémolytiques constitutionnelles et notamment dans la thalassémie.

aspect en poils de brosse

Réaction périostée dirigée perpendiculairement à l'axe osseux, formée de nombreux spicules plus ou moins fins, et observée dans le sarcome d'Ewing.

cf. image en feu d'herbes, aspect en velours

élargissement paradoxal de l'interligne gléno-huméral

Lorsque la glène, mal enfilée, se projette sous forme d'une ellipse verticale, on note au lieu de l'image de superposition de la tête et de la glène, un *élargissement paradoxal de l'interligne gléno-huméral*. La partie interne de la tête apparaît alors éloignée du contour interne de la glène. Ce signe s'avère très caractéristique de la luxation postérieure.

hammered

hammered brass appearance;
beaten brass appearance; silver
beaten appearance; copper
beaten appearance

Convolutional markings on the inner table of the skull seen in young individuals and sometimes indicative of increased intracranial pressure if seen and associated with other suggestive changes.

NOTE Convolutional markings producing a hammered brass appearance of the skull are commonly seen in normal children but may also be a sign of raised intracranial pressure or craniostenosis when markedly increased. Hammered brass appearance occurring in adult is abnormal.

Image de pommelure

Lorsque le crâne est fermé, mais non encore complètement ossifié, c'est-à-dire entre 2 et 15 ans environ, la disjonction des sutures est à peine moins marquée que chez le nourrisson à crâne «ouvert», mais la pression du cerveau sur l'endocrâne est plus forte, d'où l'exagération des empreintes cérébriformes qui donnent des «*images de pommelure*» très caractéristiques de l'hypertension intracrânienne.

NOTA Les empreintes digitiformes peuvent indiquer une hypertension intracrânienne lorsqu'elles sont augmentées en nombre et surtout en volume; en fait, on ne peut retenir formellement leur caractère pathologique que si elles sont associées à d'autres signes d'hypertension intracrânienne. Des empreintes digitiformes très marquées font évoquer une craniosténose lorsqu'il existe une fermeture prématuée des sutures.

hangman's fracture

Fracture through the pedicles of the axis (C2) with or without subluxation of the second cervical vertebra on the third.

harlequin mask appearance

The appearance due to sclerosis of the orbits and sphenoid bones in osteopetrosis.

fracture des pédicules de l'axis; **fracture bipédiculaire de l'axis;** **fracture du pendu**

Fracture des pédicules de l'axis pouvant s'associer à une luxation de C2-C3.

Image en loup de carnaval

Condensation des rebords orbitaires et du maxillaire supérieur observé dans l'ostéopétrose.

Harris-Beath view; Harris-Beath projection; Harris view; ski-jump view; ski-jump projection

A posterior tangential view of the subtalar joint. The patient is erect, with the sole of the foot flat on the film cassette. The central beam is angled 45° toward the midline of the heel.

Harris lines; growth arrest lines; growth-arrest lines; transverse lines of Park; growth recovery lines

On radiography of a long bone, metaphyseal transverse lines of increased radiodensity, resulting usually from growth arrest due to malnutrition or disease.

NOTE Transverse lines have been called lines of arrested growth or growth-arrest lines in the belief that they developed during periods of slowed or stopped growth. However, in several cases radiographic findings indicated that these lines were formed during periods of accelerated growth. Thus, it would seem more appropriate to speak of growth recovery lines.

Harris view

SEE Harris-Beath view

hatchet defect

SEE Hill-Sachs lesion

Hawkins sign

Radiolucent line in the dome of the talus indicating that the talus fracture will heal without osteonecrosis. This subchondral osteoporosis can only develop if the blood supply of the talus is intact.

Incidence d'Harris et Beath (prop.)

Incidence postéro-antérieure de l'articulation sous-astragallienne. Le patient est debout, le pied posé à plat sur la cassette. Le rayon incident est incliné à 45° par rapport à la verticale.

lignes de Harris; lignes d'arrêt de croissance de Harris; stries d'arrêt de croissance; lignes de croissance

Lignes denses transversales visibles chez l'enfant et l'adolescent sur la métaphyse des os longs; dues à un arrêt transitoire de la croissance en longueur de l'os, lié à un processus pathologique nutritionnel transitoire.

signe d'Hawkins (prop.)

Ostéoporose sous-chondrale du dôme astragalien se manifestant par une ligne radiotransparente et témoignant de l'absence de troubles vasculaires dans les fractures de l'astragale. La guérison se fait alors sans complications ostéonécrotiques.

head

head at risk

Catterall attempted to improve the predictive value of early radiographic changes in Perthes disease by identifying four radiologic signs that indicated a capital femoral epiphysis "at risk" for collapse. These findings are (1) Gage's sign (a small, osteoporotic segment that forms a transradiant "V" on the lateral side of the epiphysis); (2) calcification lateral to the epiphysis; (3) lateral subluxation of the femoral head; and (4) a transverse epiphyseal line. Murphy and Marsh found that these four "head at risk" signs and a fifth, diffuse metaphyseal reaction, correlated better with a poor radiologic result than did the degree of epiphyseal involvement.

head within a head appearance

The characteristic appearance of the femoral epiphysis in the revascularization phase of Perthes disease as new bone is laid down on necrotic trabeculae of the epiphyseal nucleus.

heart-shaped pelvis; trefoil pelvis; beaked pelvis; osteomalacic pelvis

A pelvic deformity in osteomalacia; the pressure of the trunk on the sacrum and lateral pressure of the femoral heads produce a pelvic aperture that is three-cornered or has the shape of a heart or cloverleaf, while the pubic bone becomes beak-shaped.

tête à risque

Signes permettant d'évaluer les risques d'un affaissement du noyau céphalique dans l'ostéochondrite primitive de la hanche, pouvant conduire éventuellement à une coxarthrose. Ces signes, au nombre de cinq, sont : le signe de Gage ou image radiotransparente épiphysaire externe; des calcifications externes ou petites opacités situées à la partie externe de l'épiphyse; une «subluxation» de la tête; une horizontalisation de la phse; une réaction périostée métaphysaire importante.

aspect de tête dans la tête

Aspect de l'épiphyse fémorale dans l'ostéochondrite primitive de la hanche, à la phase de la reconstruction osseuse, produit par l'os neuf et vivant qui enveloppe le noyau épiphysaire nécrosé.

bassin en forme de cœur; bassin en cœur de carte à jouer; bassin ostéomalaciaque

Bassin très déformé dont les os (comme ceux de tout le squelette) sont déminéralisés et ramollis. Le sacrum est enfoncé entre les ailes iliaques, sa première pièce saillante; les os iliaques sont plissés d'avant en arrière; les surfaces quadrilatères bombent en dedans; les ischiions sont éversés en dehors. Le détroit supérieur, très rétréci, a un aspect trilobé avec un étranglement rétropubien en bec de canard.

Heberden's nodes

Small hard nodules, formed usually on the dorsal aspect of the distal interphalangeal articulations of the fingers, produced by cartilaginous or bony enlargements and associated with interphalangeal osteoarthritis. They commonly develop in women at menopause.

cf. **Bouchard's nodes**

heel pad sign

Thickening of the heel pads (the soft tissue inferior to the plantar aspect of the calcaneus) to greater than 23 mm, generally considered highly suggestive of acromegaly. However, a positive heel pad sign may also be seen in patients with obesity, myxedema, thyroid acropachy, and generalized edema or be an inherited trait.

heel spur

SEE **calcaneal spur**

Hefke-Turner sign

SEE **obturator sign**

Heinig projection; Heinig view

A position used for the visualization of the sternoclavicular joint. The patient is in the supine position with the shoulder closest to the x-ray tube abducted. The central ray is centered at the sternoclavicular joint and directed along the axis of the clavicle. On the normal Heinig projection the medial end of the clavicle closest to the film is projected through the manubrium, and the medial end of the clavicle closest to the tube is in direct alignment with the top of the

nodosités d'Heberden

Nodosités dures, siégeant à la face dorsale des articulations atteintes, caractéristiques des arthroses interphalangiennes distales. Très fréquentes chez la femme après 60 ans, elles sont en général douloureuses pendant leur période de formation, puis deviennent indolores.

cf. **nodosités de Bouchard**

signe du coussinet plantaire (prop.)

Épaississement des coussinets plantaires (parties molles situées à la face plantaire du calcanéum) au-delà de 23 mm. Ce signe est caractéristique de l'acromégalie, mais d'autres causes sont possibles : obésité, myxoédème, acropathie d'origine thyroïdienne, œdème. Il peut se rencontrer également à l'état normal.

incidence de Heinig

Incidence permettant de déceler une luxation de l'articulation sterno-claviculaire. Le malade est en décubitus dorsal, le bras opposé au tube le long du corps, la cassette contre l'épaule, et le bras situé du côté du tube relevé au-dessus de la tête. Le tube est à 75 cm, le rayon est oblique selon le grand axe de la clavicule côté cassette.

Heinig

Heinig projection (cont'd)

manubrium. In the presence of a dislocation the medial end of the affected clavicle is then displaced either anterior or posterior to the manubrium.

hemivertebra

Congenital absence of half of a vertebra.

Hermodsson's tangential projection; Hermodsson view

A posteroanterior view of the shoulder used for the evaluation of patients with previous anterior dislocation of the glenohumeral joint. The patient is standing, the dorsum of the hand on the affected side placed over the upper lumbar vertebrae with the thumb pointing upward. The central ray is directed at a 30° angle from the vertical, with the film held on the shoulder, parallel to the floor.

NOTE Hermodsson has also described an anteroposterior view of the shoulder with internal rotation of the humerus, but the term Hermodsson view usually refers to the tangential view.

herniation of nucleus pulposus; herniated disk; disk herniation; herniation of intervertebral disk

A protrusion of the nucleus pulposus of the intervertebral disk through a tear in the anulus fibrosus.

hickory-stick fracture
SEE greenstick fracture

hémivertèbre

Absence congénitale d'une moitié de vertèbre.

Incidence tangentielle

d'Hermodsson (prop.); incidence d'Hermodsson (prop.)

Incidence postéro-antérieure pour l'étude de l'articulation gléno-humérale dans les luxations récidivantes de l'épaule. Le sujet est debout, la main du côté atteint derrière le dos, face dorsale appliquée contre le tronc au niveau du rachis lombaire supérieur, le pouce dirigé vers le haut. Le rayon directeur fait un angle de 30° avec la verticale, la cassette placée à l'horizontale sur l'épaule.

NOTE Hermodsson a également décrit une incidence antéro-postérieure de l'épaule avec rotation interne de l'humérus, mais le terme incidence d'Hermodsson désigne habituellement l'incidence tangentielle.

hernie discale; hernie nucléaire discale; hernie du disque intervertébral

Pénétration de la substance du nucleus pulposus dans une fente de l'anneau lamelleux discal, liée à une détérioration structurale du disque intervertébral.

high-riding patella
SEE **patella alta**

Hilgenreiner's angle
SEE **acetabular angle**

Hill-Sachs lesion; Hill-Sachs deformity; Hill-Sachs defect

An osteochondral defect occurring on the posterolateral aspect of the humeral head, due to at least one anterior dislocation of the glenohumeral joint. On x-ray of the shoulder in internal rotation, the head of the humerus sometimes presents a hatchetlike appearance.

NOTE 1. The term hatchet defect is sometimes used to describe the larger lesions.

2. A similar erosive lesion can be found in ankylosing spondylitis and rheumatoid arthritis.

hippocratic fingers
SEE **clubbing**

Hirtz projection
SEE **basal view**

Hobbs view

A superoinferior projection of the sternoclavicular joint especially used for a dislocation of that joint. While standing the patient bends over end of x-ray table and cassette with hands on head, neck parallel to table, and chest about 45° to table. The x-ray beam is vertical to the cassette.

Hoffa's fracture

Avulsion fracture of a posterior femoral condyle.

lésion de Hill-Sachs; encoche de Hill-Sachs

Défaut de contour du bord postéro-latéral de la partie supérieure de la tête humérale, résultant d'une fracture par compression. Ce signe est caractéristique d'une luxation antérieure de la tête humérale.

NOTA 1. Le terme déformation en hachette est parfois utilisé pour décrire une lésion plus importante.

2. Une lésion similaire due à une érosion peut s'observer dans la spondylarthrite ankylosante ou la polyarthrite rhumatoïde.

Incidence de Hobbs (prop.)

Incidence crano-podale utilisée surtout dans les luxations de l'articulation sterno-claviculaire. Le patient est penché sur la table au-dessus de la cassette, les mains sur la tête, le cou parallèle à la table, le thorax formant un angle de 45° avec celle-ci. Le rayon est vertical à la cassette.

fracture de Hoffa

Fracture avec détachement de la partie postérieure d'un condyle fémoral.

hook-shaped

hook-shaped vertebra

SEE **sail vertebra**

hot spot

An area of increased radionuclide uptake on a bone scintigram reflecting increased metabolic activity.

hourglass vertebra

A vertebra seen in chronic arthritis of the spine (spondylolistis), characterized by an important narrowing of the vertebral body in its center and enlarged superior and inferior articular processes due to the presence of osteophytes.

Hueter's line

A straight line connecting the medial and lateral epicondyle of the humerus with the top of the olecranon when the arm is extended.

NOTE That line is broken in hyperextension fractures of the elbow.

Hughston view

A tangential view of the knee with patient prone and knee flexed 50 to 60°. The cassette is placed under the flexed knee with the x-ray beam directed cephalad and inferiorly, approximately 45° from the vertical.

zone d'hyperfixation; zone chaude; foyer hyperactif; foyer chaud

Zone de fixation isotopique accrue visible à la scintigraphie, traduisant un métabolisme osseux excessif.

vertèbre en diabolo

Aspect radiologique du corps vertébral observé dans certains rhumatismes chroniques de la colonne vertébrale (spondylarthrose), caractérisé par un étranglement médian, alors que les faces supérieure et inférieure semblent élargies du fait de la présence d'ostéophytes.

ligne de Hueter

Ligne droite formée normalement par l'épicondyle, l'épitrochlée et l'olécrane lorsque l'avant-bras est en extension.

NOTA Lors de fractures du coude par hyperextension, ces repères sont modifiés.

Incidence de Hughston (prop.)

Incidence tangentielle du genou. Le patient est en procubitus, le genou fléchi de 50 à 60°. La cassette est placée sous le genou, le rayon incliné d'environ 45° en direction de la tête.

Hughston view (cont'd)

NOTE Often referred to as the sunrise view. It is actually a modified version of the sunrise view as originally described by Settegast, in which the knee is in acute flexion.

cf. **sunrise view**

Hutchinson's fracture
SEE **chauffeur's fracture**

H vertebra

A vertebra characterized by the abrupt indentation of the vertebral endplates. It is a relatively specific roentgenographic sign of anemia but has been described in other conditions, including thalassemia, Gaucher's disease, congenital hereditary spherocytosis, and osteoporosis.

hyperostosis

An increase in bone density with alteration in the overall shape of the affected bone.

hyperostosis frontalis interna

Abnormal deposition of bone on the inner aspect of the os frontale, visible by x-ray; may be a part of Morgagni's syndrome.

hypertrophic nonunion

Hypertrophic nonunion is thought to be caused by continued motion at the fracture site. The fracture line persists, and there is buildup of external callus, widening the diameter of the bone ends.

cf. **nonunion**

NOTA Type d'incidence fémoro-patellaire.

cf. **Incidence fémoro-patellaire**

vertèbre en H

La *vertèbre en H* par tassement médian à bords abrupts des plateaux vertébraux s'observe non seulement dans la drépanocytose, mais aussi dans la maladie de Gaucher.

hyperostose

Augmentation de la densité osseuse avec modification des contours d'un os.

hyperostose frontale interne

Production osseuse anormale à la face endocrânienne de l'os frontal.

pseudarthrose hypertrophique;
pseudarthrose fibro-cartilagineuse

Pseudarthrose fibro-cartilagineuse ou *hypertrophique* : il s'agit d'un cal fibro-cartilagineux externe. Sur le plan radiologique on constate : un élargissement de l'espace interfragmentaire, un élargissement et une condensation des extrémités osseuses qui

hypertrophic

hypertrophic nonunion (cont'd)

s'arrondissent avec hypertrophie du cal, une oblitération du canal médullaire à hauteur du foyer, des signes de mobilité du matériel d'ostéosynthèse.

cf. **pseudarthrose**



iliac angle

The angle between the Y-Y line and a line joining the most lateral point of the iliac body below and the most lateral point of the iliac wing above. The average is 55° in normal children under 3 months of age and 58° in children between 3 to 12 months of age.

cf. **iliac index**

iliac horns

Bony processes projecting dorsally from the outer surface of the wings of each ilium. They may occur alone or be associated with the syndrome of rudimentary or absent patellae, deformity of the elbows (hypoplasia of capitellum and radial head) and dystrophy of the nails (nail-patella syndrome).

angle illaque

Angle mesuré sur une radiographie de face du bassin, chez l'enfant. Il est défini par deux lignes : une horizontale passant par le cartilage en Y et une tangente au bord antérieur de l'aile illaque. Il est normalement de 55° à la naissance, de 58° à un an.

NOTA La mesure de cet angle n'a d'intérêt que pour le calcul de l'index illaque.

cf. **Index Illaque**

cornes illaques; bassin cornu

Exostoses développées à la face externe de l'aile illaque, observées notamment dans l'ostéonychody sostose.

iliac index

The sum of both acetabular and both iliac angles divided by two; in the newborn the normal iliac index has a mean value of 80°. If the index is under 60°, mongolism is very probable.

cf. acetabular angle, iliac angle

ilioischial line

SEE Köhler's line

immersion technique

An *immersion technique* for the fingers, accomplished by immersing the hand and forearm (or the forefoot) in 70 per cent ethanol solution, improves the resolution of skin and subcutaneous structures over that possible with nonimmersion low KV radiography, because the uniformly deep liquid layer equalizes the differences in thickness of the fingers.

impacted fracture; impaction fracture

A fracture in which one fragment of bone is firmly driven into the other.

Incomplete fracture

A fracture with a broken cortex but in which the bone is not in complete discontinuity, occurring in young bones.

index iliaque

Demi-somme des deux angles iliaques et des deux angles acétabulaires, normalement égale à 80°. Un index iliaque inférieur à 60° est rencontré essentiellement dans le mongolisme.

cf. angle acétabulaire, angle iliaque

technique d'immersion (prop.)

La *technique d'immersion* des doigts, qui consiste à immerger la main et l'avant-bras (ou l'avant-pied) dans une solution d'éthanol à 70 %, fait ressortir les détails des structures cutanées et sous-cutanées davantage que la radiographie basse tension sans immersion, parce que la couche liquidiennne de profondeur uniforme rend égales les différences d'épaisseur des doigts.

fracture engrenée

Fracture dont les fragments osseux opposés se sont pénétrés et fixés l'un sur l'autre.

fracture incomplète

Fracture corticale respectant totalement ou partiellement la continuité périostée, caractéristique de l'os de l'enfant.

indirect

Indirect fracture

A fracture that occurs at a site away from the traumatic force.

NOTE Maisonneuve's fracture and dashboard fracture are examples of indirect fractures.

Indirect method of Magilligan

A method for determining the true angle of anteversion of the femoral neck, derived from the trigonometric relationship between the neck-shaft angle (α) measured on an anteroposterior film and the neck-shaft angle (β) measured on a lateral film. The value of the true angle of anteversion can be obtained from tables published by Magilligan.

cf. angle of anteversion

Insall-Salvati index

An index used for assessing patellar position. It is determined by the ratio of the length of the infrapatellar tendon to the length of the patella. It is normally 1.0 plus or minus 20 percent (0.8 to 1.2).

fracture indirecte

Fracture se produisant à distance du point où a porté l'agent traumatisant.

NOTA La fracture de Maisonneuve et la fracture du tableau de bord sont des types de fractures indirectes.

méthode de Magilligan

Calcul de la valeur réelle de l'antéversion du col fémoral à partir de la valeur projetée de l'antéversion (angle β mesuré sur un cliché de profil) et de la valeur projetée de l'inclinaison (angle α mesuré sur un cliché de hanche de face, rotation neutre). L'angle d'antéversion réel se lit sur la table de Magilligan à partir de ces deux angles. Il ne faut considérer comme franchement pathologiques que les chiffres supérieurs à 20-25°.

cf. angle d'antéversion du col fémoral

Index d'Insall et Salvati (prop.)

Index permettant d'évaluer une malposition de la rotule, correspondant au rapport entre la longueur du tendon rotulien et la longueur de la rotule. Ce rapport est normalement de 1, plus ou moins 20 % (0,8 à 1,2).

insufficiency fracture

A fracture occurring when normal or physiological stress is applied to an abnormally weakened bone, as in rheumatoid arthritis, osteoporosis and hyperparathyroidism.

NOTE In contrast, fatigue fracture results from the repeated application of abnormal stress on normal bone.

intercondylar view

SEE **tunnel view**

interperiosteal fracture

SEE **greenstick fracture**

intervertebral disc space narrowing

SEE **disc space narrowing**

intraarticular fracture

SEE **articular fracture**

intra-articular fracture

SEE **articular fracture**

Intracapsular fracture

Fracture within the capsule of a joint.

Inverted Napoleon hat sign;

inverted gendarme's cap;
bow-line of Brailsford; bow sign

A sign of spondylolisthesis. The anterior edge of the last lumbar vertebral body may be markedly displaced forward and downward on the sacrum, producing the shadow of an inverted "Napoleon's hat" over the upper sacrum.

fracture par insuffisance

Fracture survenant à la suite d'activités habituelles ou non sur un os anormal. Elle peut avoir des causes diverses : ostéoporose, ostéomalacie, polyarthrite rhumatoïde, maladie de Paget, hyperparathyroïdisme, dysplasie fibreuse, ostéogénèse imparfaite, etc.

fracture intracapsulaire

Fracture localisée exclusivement à l'intérieur d'une capsule articulaire.

vertèbre en chapeau de

gendarme renversé; aspect du chapeau de gendarme renversé; aspect du chapeau de Napoléon renversé

Aspect très particulier que l'on observe sur un cliché de face exclusivement au niveau de la dernière vertèbre lombaire. Il ne correspond pas à une déformation anatomique, mais tient au fait que le corps de L5 est vu par sa face supérieure en raison soit d'un trouble statique (forte ensellure lombaire, sacrum basculé), soit d'un spondylolisthésis.

involutum

involutum

The growth of new bone that forms around necrosed bone (sequestrum).

ischial varus sign

SEE **public varus sign**

ivory bones

SEE **osteopetrosis**

Ivory phalanx

Sign of psoriasis seen when the interphalangeal joint appears normal. This sign is characterized by increased density of the terminal phalanges, with or without bony spiculation, and with minimal bony resorption of the tuft.

Ivory vertebra; vertebra nigra

The radiological aspect of a vertebral body showing increased density with no changes in the intervertebral disk, most likely caused by osteoblastic metastases, Hodgkin's disease, or the sclerotic stage of Paget's disease.

involute

Manchon d'os néoformé localisé autour d'un séquestre.

phalange d'ivoire (prop.)

Signe observé dans le psoriasis et caractérisé par une augmentation de la densité des phalanges terminales avec présence ou non de spicules osseux. L'articulation interphalangienne est d'aspect normal.

vertèbre d'ivoire; vertèbre noire

Aspect radiologique d'une vertèbre dont le corps, non déformé, apparaît beaucoup plus opaque que normalement. Cette image de condensation homogène peut être due à une métastase cancéreuse, surtout d'un cancer de la prostate; mais aussi à l'ostéopétrose, la maladie de Paget, la maladie de Hodgkin.

NOTA Le terme vertèbre noire était utilisé anciennement lorsque les radiographies étaient tirées sur film en positif.

**Jefferson fracture; bursting fracture of Jefferson**

A burst fracture of the ring of the atlas, with fractures both anterior and posterior to the facet joints. It is secondary to an axial load on top of the head. There are usually four breaks in the ring and lateral spread of the lateral masses.

joint mouse; joint body

Small osteocartilaginous or cartilaginous loose body in the synovial cavity of a joint.

joint space narrowing

Joint space narrowing is due to cartilage destruction and is a universal phenomenon. Rheumatoid arthritis typically results in uniform *joint space narrowing*, while that in osteoarthritis is most marked in the weight-bearing areas.

NOTE The ankle is rarely involved in osteoarthritis.

fracture de Jefferson

Fracture par compression axiale du vertex qui fait éclater l'anneau atladien en rompant son arc antérieur et son arc postérieur. Classiquement, il existe quatre traits de fracture entraînant une luxation latérale des masses latérales de l'atlas.

souris articulaire; corps étranger articulaire; corps étranger intra-articulaire

Corps ostéocartilagineux ou entièrement cartilagineux, libre dans la cavité articulaire.

pincement de l'interligne articulaire; pincement articulaire

Amincissement ou disparition de l'interligne articulaire correspondant à une détérioration des cartilages articulaires.

NOTA 1. Le pincement peut être global (l'atteinte cartilagineuse est diffuse et symétrique). On évoque alors une arthrite inflammatoire ou infectieuse. Il peut être localisé (ou asymétrique). On évoque alors plutôt un phénomène d'usure mécanique (arthrose), surtout quand il s'agit d'une articulation d'appui (à l'exception de la cheville).

2. La disparition de l'interligne, terme ultime du pincement, correspond à une fusion des pièces osseuses en présence avec continuité des travées osseuses.

joint

Joint space widening; widening of the joint space

Widening of the joint space suggests increased volume within the joint cavity. This results from four mechanisms: increased thickness of the cartilage, fluid in the joint cavity, deposition of fibrous material between the articular ends of the bones during the endstage of a destructive process, and resorption of bone.

élargissement de l'interligne articulaire

L'élargissement de l'interligne articulaire peut être la conséquence soit d'un épanchement, d'un corps étranger ou d'une tumeur intra-articulaire, soit d'une lésion périarticulaire (diastasis ou bâillement à la suite d'une entorse ou d'une fracture); parfois on peut observer un pseudo-élargissement en rapport avec une décalcification sous-chondrale.

Jones fracture; dancer's fracture

A fracture at the base of the fifth metatarsal.

NOTE The term has been used loosely to refer to two types of fractures: an avulsion fracture of the tuberosity caused by a pull of the peroneus brevis, which inserts on this tuberosity, and a fracture through the proximal metaphysis.

J-shaped sella turcica

A shallow elongated sella with a long anterior recess extending under the anterior clinoid processes, as seen in Hurler's syndrome.

fracture de Jones

Fracture de la base du cinquième métatarsien.

NOTA Ce terme désigne deux types de fractures : une fracture-arrachement de l'apophyse styloïde par contraction brutale du muscle court péronier latéral et une fracture métaphysaire proximale.

déformation en J de la selle turcique

Configuration inhabituelle de la selle turcique qui est allongée et peu profonde, observée notamment dans le syndrome de Hurler.

juvenile kyphosis

SEE **Scheuermann's disease**

**kissing osteophytes; parrot beak-like osteophytes**

Bony outgrowths which extend from the margins of adjacent vertebral bodies.

kissing sequestra

Sequestra in apposing bones in contact. Seen in tuberculous arthritis.

kissing spines

SEE **Baastrup's syndrome**

Kite's angle

SEE **talocalcaneal angle**

kleebatlatschädel

SEE **cloverleaf skull**

Kocher's fracture

An osteochondral fracture of the capitellum which results in a separation of a semilunar fragment of the articular cartilage and the underlying bone. The dislodged fragment is usually displaced into the joint.

cf. **Hahn-Steinthal fracture**

Köhler's line; ilioischial line

A line drawn from the inner border of the ilium to the medial border of the body of the ischium, brushing the dome of the acetabulum. If the outline of the acetabular dome passes through this line, a protrusion exists.

bec-de-perroquet; ostéophytes en bec-de-perroquet (prop.)

Terme communément employé pour désigner les ostéophytes vertébraux, en raison de leur forme recourbée en crochet.

séquestrès en miroir (prop.)

Séquestrès observés des deux côtés d'une articulation dans l'arthrite tuberculeuse.

fracture de Kocher-Lorenz

Fracture parcellaire ostéochondrale du capitellum qui résulte en une souris articulaire.

cf. **fracture de Hahn-Steinthal**

ligne ilio-ischiatique; ligne de Köhler (prop.)

Ligne partant du bord externe du trou obturateur et montant vers l'articulation sacro-iliaque. Le fond du cotyle reste habituellement en dehors de cette ligne, mais il peut la toucher et même la dépasser en cas de proéminence acétabulaire.

Kosowicz' sign

Medial spurs at the lateral level of the metaphyses of the tibia due to constriction failure. Seen in Turner's syndrome.

signe de Kosowicz; tibia en enclume

Signe observé dans le syndrome de Turner au niveau du genou, correspondant à un aspect en enclume du bord interne du plateau tibial qui, hypertrophié, déborde en dedans, à angle droit, le bord interne de l'os.

kyphosis dorsalis juvenilis

SEE **Scheuermann's disease**



**lacunar skull; lacuna skull;
craniolacunia; Lückenschädel;
relief skull**

Incomplete ossification of the inner table of the vault of the skull in infants, giving the appearance of dense bony ridges separated by radiolucent areas; often associated with spina bifida, meningoceles, meningoencephaloceles and increased intracranial pressure.

**crâne lacunaire; crâne géodique;
crâne alvéolaire; crâne en bulles
de savon**

Défaut d'ossification de la table interne de la voûte du crâne observé presque exclusivement chez les nouveau-nés porteurs d'une méningomyélocèle, d'une méningocèle ou d'une encéphalocèle. Il se traduit par des lacunes de la voûte du crâne nettement délimitées par des bandes d'os dense.

**laminated appearance
SEE onion-peel appearance**

**lap-type seat belt fracture
SEE Chance's fracture**

Laquerrière-Pierquin position

A position used for the visualization of the scapular spine. With the patient in the supine position, the central ray is directed through the posterosuperior region of the shoulder at an angle of 45° toward the feet.

**incidence de Laquerrière et
Pierquin**

Incidence permettant d'examiner l'épine de l'omoplate. Le patient est en décubitus dorsal, rayon centré sur la partie supérieure de l'épaule près de la racine du cou avec une inclinaison de 45° vers les pieds.

lateral patellofemoral angle

An angle formed by a line joining the apices of the femoral condyles and a line joining the limits of the lateral patellar facet, on a film obtained with the knee in 20° of flexion, the x-ray beam directed cephalad from below parallel to the anterior surface of the tibia. Normally, the angle of intersection of these lines is open laterally. In patients with patellar subluxation the lines are parallel or open medially.

Laugier's fracture

Fracture of the trochlea of the humerus.

Laugier's sign

A condition in which the styloid process of the radius and the ulna are on the same level; seen in fracture of the lower part of the radius.

Laurin's projection

A projection used to obtain a tangential view of the patellofemoral joint. The patient should be supine or, preferably, seated with the feet at the very edge of the table and the knee in 20° of flexion. The tube is directed in a cephalad direction so that the beam is parallel to the anterior border of the tibia and passing through the patellofemoral joint. The cassette is held immediately proximal to the knee and positioned perpendicular to the beam.

NOTE A variant of the sunrise view.

cf. sunrise view

angle patello-fémoral externe

Sur une incidence axiale à 30°, genou fléchi à 20°, angle que fait la droite passant par les extrémités de la facette articulaire externe de la rotule avec celle qui unit les deux berges de la trochlée. Cet angle est normalement ouvert en dehors. Une bascule en dehors de la rotule fait que les deux droites sont parallèles pour une bascule légère, et forment un angle ouvert en dedans pour une bascule plus importante.

fracture de Laugier (prop.)

Fracture de la trochlée humérale.

signe de Laugier

Ascension de l'apophyse styloïde du radius au même niveau que la styloïde cubitale; signe de fracture de l'extrémité distale du radius.

incidence de Laurin (prop.)

Incidence tangentielle de l'articulation fémoro-patellaire. Le patient est en décubitus ou, encore mieux, assis, les pieds au bout de la table et les genoux fléchis à 20°. Le rayon directeur ascendant est parallèle à la face antérieure du tibia et coupe l'articulation fémoro-patellaire. La cassette est placée juste au-dessus du genou, perpendiculaire au rayon directeur.

NOTA Type d'incidence fémoro-patellaire.

cf. Incidence fémoro-patellaire

Law position

A radiographic position used to obtain a lateral projection of the mastoid process and petrous portion of the temporal bone. The median sagittal plane is parallel to the film, which is centered to a localization point 1 in. posterior to the external auditory meatus. The central ray is directed at angles 15° toward the feet and 15° toward the face.

NOTE Other Law projections are inferosuperior oblique projections of the facial bones and of the paranasal sinuses.

lead lines

Osteosclerotic lines located in the zone of provisional calcification on the metaphyseal side of the epiphyseal plate which appear during growth if lead is absorbed in any form.

Le Fort I fracture; Guérin's fracture

A fracture of the facial bones in which there is a horizontal fracture at the base of the maxillae above the apices of the teeth.

Le Fort II fracture; pyramidal fracture

Unilateral or bilateral fracture of the maxilla, in which the body of the maxilla is separated from the facial skeleton and the separated portion is pyramidal in shape; the fracture may extend through the body of the maxilla down the midline of the hard palate, through the floor of the orbit, and into the nasal cavity.

incidence de Law (prop.)

Incidence radiologique de profil de l'apophyse mastoïde et du rocher. Le plan sagittal médian est parallèle à la cassette, dont le centre se situe à 2,5 cm du conduit auditif externe, vers l'arrière. Le rayon directeur est incliné de 15° vers les pieds et de 15° vers le sujet.

NOTA Law a également décrit des incidences obliques avec rayon descendant permettant de visualiser les os et les sinus de la face.

raies saturnines (prop.)

Bandes opaques métaphysaires juxta-conjugales correspondant à des lésions d'ostéosclérose, visibles chez les enfants souffrant d'une intoxication au plomb.

fracture de Le Fort I; fracture de Guérin; fracture de A. Guérin

Fracture totale des maxillaires supérieurs dont le trait horizontal passe au-dessus des apex dentaires et intéresse également les apophyses ptérygoïdes.

fracture de Le Fort II; fracture pyramidale

Fracture intéressant les os propres du nez, traversant l'apophyse frontale du maxillaire et l'unguis, au-dessus du canal lacrymo-nasal.

Le Fort III fracture

A fracture in which the entire maxilla and one or more facial bones are completely separated from the craniofacial skeleton; such fractures are almost always accompanied by multiple fractures of the facial bones.

Le Fort's fracture; Wagstaffe-Le Fort fracture

A vertical avulsion fracture involving the medial aspect of the lateral malleolus, at the insertion of the inferior tibiofibular ligament, resulting from an adduction injury.

Léri's disease

SEE **melorheostosis**

limbus vertebra

A vertebra in which a small fragment of the vertebral rim is isolated by intraosseous penetration of disc material at the junction of the cartilaginous endplate and the bony rim extending along an oblique course toward the outer surface of the vertebral body. It is most common at the anterosuperior corner of a single lumbar vertebral body.

linear fracture

A fracture in which the break follows a straight line.

fracture de Le Fort III

Fracture haute de la face constituée par une ligne de fractures passant par la partie supérieure des os propres du nez; la paroi interne de l'orbite; la partie inférieure de l'apex orbitaire, sous le canal optique; la fente sphéno-maxillaire.

fracture de Le Fort; fracture de Wagstaffe

Fracture verticale par arrachement de la malléole externe, due à l'adduction forcée du pied et ne s'accompagnant presque jamais de déplacement.

vertèbre limbique (prop.)

Vertèbre caractérisée par le détachement d'un fragment triangulaire, séparé du corps vertébral par une ligne radiotransparente représentant du matériel discal.

fracture linéaire

Fracture dont le trait est rectiligne.

lipping

lipping (gen.)

Small bony excrescences or osteophytes on the margins of articular surfaces of bone in degenerative arthritis. Lipping is the earliest manifestation of this degenerative change.

NOTA Elle correspond à la première étape de la formation ostéophytique vertébrale dans la spondylarthrose.

Lisfranc's fracture-dislocation

Dislocation with or without fracture through the tarsometatarsal joint of the foot.

localized myositis ossificans

A reactive lesion occurring in soft tissues, at times near bone and periosteum, most often after trauma. The lesion is characterized by fibrous, osseous, and cartilaginous proliferation and metaplasia.

NOTE The term is a misnomer because often skeletal muscle is not involved and when involved it does not necessarily show inflammatory changes. In its early evolution, bone may not be identifiable on conventional radiography, but computed tomography and ultrasonography may show early signs of calcification in soft tissues.

lippe ostéophytique (spéc.); lipping vertébral (spéc.)

Lésion arthrosique des vertèbres caractérisée radiologiquement par un évertement du bord vertébral, généralement double, dessinant avec celle du rebord vertébral voisin une sorte de moue.

luxation du Lisfranc

La *luxation du Lisfranc* passe souvent inaperçue lors d'un bilan radiologique insuffisant. Elle s'accompagne de fractures de bases métatarsiennes avec déplacement de l'avant-pied vers le haut ou vers le bas.

myosite ossifiante; myosite ossifiante localisée

Remaniement du tissu musculaire strié ou de tout autre tissu conjonctif associant une prolifération fibroblastique et des métaplasies cartilagineuses ou osseuses. D'origine le plus souvent post-traumatique, cette affection peut atteindre la surface externe d'un os ou les tissus mous, à distance de la surface périostée. Elle peut simuler un processus néoplasique. À la période d'état, l'aspect diagnostic est celui d'une formation osseuse comprenant une corticale et des travées osseuses. À un stade plus précoce, la radiographie ne montre pas les éléments calcifiés : il convient alors de recourir à la tomodensitométrie ou à l'échographie pour faire le diagnostic.

**localized myositis ossificans
(cont'd)**

NOTA Le terme myosite ossifiante, quoique très largement adopté, est mauvais. Le tissu musculaire n'est pas nécessairement atteint dans cette lésion qui n'est pas inflammatoire. La lésion, apparaissant dans les tissus mous, est quelquefois dénommée tumeur osseuse pseudo-maligne des tissus mous. La myosite ossifiante est nettement distincte de l'affection rare et généralisée connue sous le nom de myosite ossifiante progressive.

locked facets; dislocation of articular processes

Complete dislocation of one or both articular processes, usually with overriding of the inferior articular process of the vertebra above into a position anterior to the superior articular process of the vertebra below. It most commonly occurs in the cervical spine.

NOTE When a vertebral body is displaced anteriorly so that 50 percent or more overrides the vertebral body below there is practically always associated bilateral locking of the facets, due to flexion and distraction. A displacement of 50 percent or less of one vertebra upon the other is usually due to unilateral locking of the facets, resulting from a combination of flexion, distraction, and rotation.

accrochage des facettes articulaires (prop.); luxation des facettes articulaires

Luxation uni ou bilatérale des facettes articulaires par chevauchement.

NOTA La luxation avec accrochage bilatéral des facettes articulaires se caractérise par un déplacement antérieur de la vertèbre supérieure d'au moins la moitié du diamètre antéro-postérieur d'un corps vertébral et résulte d'un traumatisme en hyperflexion. Dans la luxation unilatérale, le déplacement antérieur est toujours inférieur à la moitié de la largeur d'un corps vertébral et se produit à la suite d'un traumatisme associant rotation et hyperflexion.

Loepp's

Loepp's projection

A projection for the visualization of the inferior orbital fissure.

Incidence unilatérale de Loepp

Incidence unilatérale de Loepp.

Cette incidence donne une bonne image de la fente et de la paroi postérieure du sinus maxillaire, ce qui présente un intérêt dans les sarcomes du maxillaire supérieur.

Looser's zones; Looser's transformation zones; Looser's lines

Transverse ribbonlike radiolucent zones usually found in the tibia and other long bones representing deficient calcification, united but uncalcified pseudofractures, or decalcification along nutrient arteries, characteristically seen on radiographs in osteomalacia, including Milkman's syndrome and rickets.

stries de Looser-Milkman; zones de Looser-Milkman; traits de Looser-Milkman; stries de Looser; zones de Looser; traits de Looser

Lignes claires transversales disposées de façon plus ou moins symétrique sur la diaphyse des os longs, les branches ischio-pubiennes, les côtes, correspondant à du tissu ostéoïde et s'observant sur les radiographies de sujets atteints de rachitisme et d'ostéomalacie.

lorry driver's fracture SEE chauffeur's fracture

low-riding patella SEE patella baja

Lückenschädel SEE lacunar skull

lumbarization

A partial or complete formation of a free moving first sacral segment so that it looks like a lumbar vertebra.

cf. sacralization

lombalisation de S1; lombalisation; lombarisation

Anomalie de la charnière lombo-sacrée caractérisée par la séparation, complète ou incomplète, de la première pièce du sacrum, qui devient ainsi morphologiquement analogue à une vertèbre lombaire.

cf. sacrallisation

lunate navicular angle SEE scapholunate angle

luxation SEE dislocation

lymphangiography; lymphography

Radiographic study of the lymphatic channels and lymph nodes after injection of a radiopaque contrast agent into the lymphatic vessels.

**lymphographie;
lymphangiographie**

Étude radiographique des vaisseaux et des ganglions lymphatiques, après injection d'un produit de contraste dans les vaisseaux lymphatiques.

**Magilligan method
SEE angle of anteversion****magnetic resonance imaging;
MRI**

An imaging technique in which magnetic fields are applied to tissue, and images of the spatial distribution of various nuclei (especially hydrogen) are obtainable. The advantages of MRI include the facts that no ionizing radiation is used, the procedure is not invasive, and the images produced are based on the chemical content and metabolism of a structure as well as on its morphology. Possible skeletal applications of MRI include the evaluation of bone and soft tissue tumors, of avascular necrosis, of herniated nucleus pulposus, and of osteomyelitis.

**magnification radiography
SEE direct radiographic
magnification****main en lorgnette
SEE opera-glass hand****Imagerie par résonance
magnétique; IRM;
remnographie**

Technique d'imagerie médicale permettant d'obtenir des coupes anatomiques dans les trois plans de l'espace grâce aux propriétés magnétiques de certains noyaux atomiques du corps humain, dont le plus abondant est le noyau d'hydrogène. Les noyaux d'hydrogène, placés dans un champ magnétique puissant et excités par une onde radiofréquence appropriée, émettent un signal qu'un traitement informatique convertit en images.

Maisonneuve's

Maisonneuve's fracture

Fracture of the proximal third of the fibula associated with rupture of the distal tibiofibular syndesmosis. There may be an associated fracture of the medial malleolus or rupture of the deltoid ligament.

Malgaigne's fracture

A double vertical fracture of the pelvis, with one fracture line extending anterior to the acetabulum, usually through the pubic rami, and the other posterior to the acetabulum, usually through the ilium or the sacrum. Separation of the sacroiliac joint may occur in place of the posterior fracture.

malunion; mal-union

Union of the fragments of a fractured bone in a faulty position.

maplike skull; geographic skull

A skull characterized by the confluence of well-demarcated radiolucent osteolytic defects, seen in Hand-Schüller-Christian disease.

marble bones

SEE **osteopetrosis**

march fracture

Fatigue fracture of the shaft of the 2nd, 3rd or 4th metatarsal bones occurring in unaccustomed walking.

cf. **fatigue fracture**

fracture de Maisonneuve

Fracture au niveau du col du péroné associée à un diastasis tibio-péronier inférieur et à une fracture de la malléole interne.

fracture de Malgaigne

Double fracture verticale de la ceinture pelvienne : le trait antérieur se situe aux branches pubiennes supérieures et inférieures et le trait postérieur peut se situer soit à l'ilion soit au sacrum. Une luxation sacro-iliaque constitue une variante de ce trait postérieur.

cal vicieux

Consolidation d'une fracture en mauvaise position.

crâne géographique

Crâne marqué par la présence de lacunes confluentes, observé dans la maladie de Hand-Schüller-Christian.

fracture de marche

Fracture de stress du deuxième, du troisième ou du quatrième métatarsien survenant au cours de la marche.

cf. **fracture de stress**

marginal erosion

Erosion occurring at intra-articular sites that are not protected by overlying cartilage ("bare areas") and corresponding to the initial points of attack by the proliferating synovial tissue (pannus), as in rheumatoid arthritis.

massive osteolysis

SEE Gorham's disease

Mayer position

A half-axial oblique projection of the petrosa in the direction of its long axis, demonstrating the external acoustic meatus, the tympanic cavity and ossicles, the epitympanic recess (attic), the aditus, and the mastoid antrum.

McGregor's base line;**McGregor's line**

A line used in the diagnosis of basilar impression. It extends from the posterior aspect of the hard palate to the lowermost point of the middle of the occipital curve. Normally the tip of the dens should not be more than 8 mm above this line in males and 9.7 mm in females.

McRae's line; foramen magnum line

A line used in the diagnosis of basilar impression. It extends from the ventral border of the foramen magnum (the basion) to the dorsal border (the opisthion).

érosion marginale

Érosion survenant dans les zones d'os intra-articulaires non recouvertes de cartilage («zones d'os nu»), et traduisant une pathologie synoviale agressive telle que la polyarthrite rhumatoïde.

Incidence de Mayer

Incidence fronto-mastoïdienne pour la radiographie du crâne, destinée à mettre en évidence la région pétro-mastoïdienne; elle est oblique par rapport à l'axe de la pyramide.

ligne de McGregor; ligne de MacGregor

Ligne qui, sur le cliché de profil du crâne, réunit le bord postérieur du palais osseux au point le plus déclive de l'écaillle de l'occipital; elle est utilisée dans l'évaluation de l'impression basilaire.

NOTA Chez le sujet normal, les lignes de Chamberlain et de MacGregor se confondent presque. On admet que l'odontoïde peut dépasser la ligne de MacGregor de 9 mm, sinon on parle d'impression basilaire.

ligne de MacRae

Ligne réunissant le basion au bord postérieur du trou occipital et traversant le sommet de l'odontoïde en cas d'invagination basilaire.

melorheostosis

**melorheostosis; candle bones;
Léri's disease**

A very rare form of osteosclerosis or hyperostosis characterized by linear longitudinal thickenings of the shaft of long bones resulting in a flowing wax appearance.

Merchant view; Merchant's projection

A view to demonstrate the patella and patellofemoral relationship. The patient lies supine, the knees are flexed 45° over the end of the table with the cassette perpendicular to the legs. The beam is angled 30° to the horizontal and centered on the cassette.

NOTE A variant of the sunrise view.

cf. sunrise view

metacarpal index

The average of the ratios of length to width at the midpoint of the second to the fifth metacarpals. Normal values vary from 5.4 to 7.9. In Marfan's syndrome the metacarpal index is above the normal range, and it is below normal in Morquio's disease.

**mélorhéostose; ostéose éburnante monomélique;
maladie de Léri et Joanny;
ostéose éburnante de Léri**

Variété rare et non génotypique d'ostéopathie, caractérisée par une ostéosclérose des os des membres avec hyperostose «en coulée de bougie» et parfois responsable de déformations et de douleurs osseuses.

Incidence de Merchant (prop.)

Incidence permettant de visualiser la rotule et l'articulation fémoro-patellaire. Le patient est en décubitus, les genoux fléchis à 45° en bout de table et la cassette perpendiculaire aux membres inférieurs. Le rayon, incliné à 30°, est centré sur la cassette.

NOTA Type d'incidence fémoro-patellaire.

cf. Incidence fémoro-patellaire

indice métacarpien

L'*indice métacarpien* est calculé sur un cliché de main en prenant la moyenne des longueurs des 2^e, 3^e et 4^e métacarpiens et en la divisant par leur largeur respective en leur moitié. L'indice normal varie de 5,4 à 7,9, en cas de syndrome de Marfan, de 8,4 à 10,4.

metacarpal sign

An accessory sign of gonadal dysgenesis. This sign is positive if a line tangent to the distal ends of the heads of the fourth and fifth metacarpals extends through the head of the third metacarpal.

metaphyseal cupping
SEE **trumpeting**

metaphyseal translucencies
SEE **radiolucent metaphyseal bands**

metatarsal break angle

The angle formed by the intersection of the line drawn tangentially to the first and the second metatarsal heads and the line drawn tangentially to the second to the fifth metatarsal heads. The value in the normal foot is 140°, and any value less than 135° indicates a relatively short first metatarsal.

method of Meema

A method used for grading cortical striation in hyperparathyroidism and other diseases where there is excessive bone resorption.

Metzger-Fischgold line
SEE **Fischgold's digastric line**

signe métacarpien d'Archibald

Signe permettant d'évaluer le raccourcissement du quatrième métacarpien. Une ligne tangente aux têtes des 5^e et 4^e métacarpiens doit passer en avant de celle du 3^e. Dans le cas contraire, le signe métacarpien d'Archibald est positif et évoque en premier lieu le syndrome de Turner.

angle de Meschan

Angle formé par les tangentes aux première et deuxième têtes métatarsiennes et aux deuxième et cinquième têtes métatarsiennes. L'angle normal est de 140°. Il devient inférieur à 135° en cas de brièveté du premier métatarsien.

méthode de Meema (prop.)

Méthode permettant d'évaluer le degré de striation de la corticale dans certaines maladies caractérisées par une résorption osseuse importante, telle que l'hyperparathyroïdie.

Meyerding's method

A method for classifying the degree of spondylolisthesis, based on the position of the posterior aspect of the body of the 5th lumbar vertebra in relation to the superior surface of the 1st sacral segment, which is divided into quarters.

midnight fracture; night walker's fracture

Oblique fracture of the proximal phalanx of the fifth toe.

midtalar-second metatarsal angle

The angle formed by the longitudinal axis of the talus and the line bisecting the shaft of the second metatarsal. Normal angle is 5-10°.

**miliary osteoporosis
SEE salt-and-pepper osteoporosis****milky appearance
SEE ground glass appearance****Moloney's line; scapulohumeral arch**

An arch formed by the shaft of the humerus, the inferior neck and head of the humerus, and the lateral or axillary border of the scapula. In posterior dislocation of the shoulder, the top of the arch comes to a narrow apex created by the shaft of the humerus, which meets the axillary border of the scapula. In anterior dislocation, the dome of the arch is widened.

méthode de Meyerding

Méthode permettant d'évaluer l'importance du déplacement d'un spondylolisthésis, indiqué par la position du coin postéro-inférieur du corps de la 5^e vertèbre lombaire par rapport à la première vertèbre sacrée dont le plateau supérieur est divisé en 4 quarts.

fracture du petit orteil (prop.)

Fracture oblique de la phalange proximale du 5^e orteil.

angle de G. Lang

Angle formé par l'axe de l'astragale et l'axe diaphysaire du deuxième métatarsien, se situant normalement entre 5 et 10°.

cintre scapulo-huméral; ligne de Moloney (prop.)

Ligne courbe formée par la diaphyse humérale, la partie inférieure du col et de la tête de l'humérus, et le bord externe de l'omoplate. Dans la luxation postérieure de l'épaule, cette courbe présente un sommet étroit, formé par la diaphyse humérale qui entre en contact avec le bord externe de l'omoplate. Dans la luxation antérieure de l'épaule, ce sommet est élargi.

Monteggia's fracture; Monteggia fracture; Monteggia fracture-dislocation

A fracture of the middle or proximal third of the ulna associated with dislocation of the radial head, most commonly anterior.

NOTE Presently, the term Monteggia's fracture has been used to describe fractures of the proximal ulna accompanied by all dislocations of the radial head; however, based on the original presentation, it should probably be reserved only for those with anterior dislocation. A fracture of the proximal ulna with posterior dislocation of the radial head has been referred to as a reverse Monteggia's fracture.

Moore's fracture

Fracture of the distal radius associated with a fracture of the ulnar styloid and dorsal subluxation of the distal ulna.

NOTE This resembles closely what we now call a Colles' fracture of the wrist. In Colles' original description, however, he did not describe a fracture of the ulnar styloid although presently fractures of the distal radius, with or without fracture of the ulnar styloid, bear his name.

mosaic skull

The skull in osteogenesis imperfecta congenita. The ossification progresses slowly leaving wide sutures and multiple wormian bones.

fracture de Monteggia

Fracture cubitale diaphysaire ou métaphysaire supérieure associée à une luxation de l'articulation radio-cubitale supérieure, le plus souvent antérieure.

NOTA Le terme fracture de Monteggia désigne toute fracture métaphyso-diaphysaire du cubitus associée à une luxation de la tête radiale, quelqu'en soit le type. La fracture de Monteggia typique, cependant, s'accompagne d'une luxation antérieure. Lorsque la luxation est postérieure, la fracture porte généralement le nom de fracture de Monteggia inversée.

fracture de Moore

Fracture de l'extrémité inférieure du radius avec luxation de la tête cubitale, qui se trouve prise en dessous des ligaments annulaires.

crâne en mosaïque (prop.)

Aspect du crâne dans l'ostéogénèse imparfaite précoce. Il existe une ossification anormale du crâne par défaut de minéralisation et des os wormiens multiples.

motheaten

motheaten bone destruction;
moth-eaten bone destruction

Motheaten bone destruction. The motheaten pattern is a more aggressive pattern of bone destruction, characteristic of a lesion that is more rapidly growing than one that demonstrates geographic bone destruction. The motheaten pattern of bone destruction is associated with a less well defined or demarcated lesional margin and with a longer zone of transition from normal to abnormal bone. Malignant bone tumors and osteomyelitis may demonstrate the motheaten pattern of bone destruction.

cf. **geographic bone destruction,**
permeative bone destruction

MRI
SEE **magnetic resonance imaging**

multipartite patella
SEE **bipartite patella**

mushroom deformity;
mushrooming

Flattening of the head and widening of the neck of the femur as seen in advanced Perthes disease.

myelography

X-ray visualization of the spinal cord after injection of a radioopaque substance or air into the subarachnoid space.

ostéolyse mitée; ostéolyse mouchetée

L'*ostéolyse mitée* apparaît sous forme de multiples petites lacunes plus ou moins confluentes détruisant le cortex. Les limites entre os sain et os pathologique sont imprécises.

cf. **ostéolyse géographique,**
ostéolyse ponctuée

déformation en massue; aspect en forme de massue

Au stade de nécrose dans la maladie de Legg-Perthes-Calvé, on observe des modifications de la métaphyse s'accompagnant d'élargissement de la physe et un *aspect en forme de massue* du col fémoral.

myélographie

Radiographie de la moelle épinière après injection d'une substance radioopaque ou d'air dans l'espace sous-arachnoïdien.

**Nägele's pelvis; Naegele pelvis;
oblique pelvis**

An obliquely contracted or unilateral synostotic pelvis, marked by arrest of development of one lateral half of the sacrum, usually ankylosis of the sacroiliac joint on that side, rotation of the sacrum toward the same side, and deviation of the symphysis pubis to the opposite side.

narrow angle conventional
tomography
SEE **zonography**

narrowing of the intervertebral disc
space

SEE **disc space narrowing**

navicular lunate angle
SEE **scapholunate angle**

Neer's I fracture

Fracture of the lateral third of the clavicle without detachment of the coracoclavicular ligaments.

Neer's II fracture

Fracture of the lateral third of the clavicle with detachment of the coracoclavicular ligaments.

Nélaton's dislocation

Dislocation of the ankle in which the talus is forced up between the end of the tibia and the fibula.

**bassin de Naegele; bassin
oblique ovalaire vrai**

Bassin fortement asymétrique, dû à une forte dystrophie unilatérale avec absence de développement de l'aileron sacré, synostose de l'articulation sacro-iliaque d'un côté, rotation ipsilatérale du sacrum et déviation controlatérale de la symphyse pubienne.

fracture de Neer I (prop.)

Fracture du tiers externe de la clavicule, sans rupture des ligaments coraco-claviculaires.

fracture de Neer II (prop.)

Fracture du tiers externe de la clavicule, avec ascension du fragment interne par rupture des ligaments coraco-claviculaires.

luxation de Nélaton (prop.)

Luxation de la cheville avec ascension de l'astragale entre le tibia et le péroné.

Nélaton's

Nélaton's line; Roser-Nélaton line; Roser's line

A line drawn from the anterior superior iliac spine to the most prominent part of the ischial tuberosity, passing through the top of the greater trochanter of the femur normally when the thigh is partly flexed. In cases of iliac dislocation of the hip or fracture of the neck of the femur the trochanter lies above the line.

nidus

The small radiolucent center of an osteoid osteoma.

nightstick fracture; parry fracture

Isolated fracture of the ulnar shaft usually due to direct trauma.

night walker's fracture

SEE **midnight fracture**

nonossifying fibroma

SEE **fibrous cortical defect**

nonunion; non-union

Failure of the ends of a fractured bone to unite.

NOTE The term pseudarthrosis is often used synonymously with the term nonunion. A more limited and perhaps more accurate usage would limit use of the term pseudarthrosis to a variant of nonunion in which there is formation of dense scar tissue and a false joint with serum loculated in the cicatricial mass, the synovial pseudarthrosis.

ligne de Nélaton; ligne de Nélaton-Roser

Ligne droite qui joint l'épine iliaque antéro-supérieure, le bord supérieur du grand trochanter et la tubérosité de l'ischion, lorsque le membre inférieur est en demi-flexion. Dans les fractures ou les luxations de la hanche le grand trochanter se trouve au-dessus de cette ligne.

nidus

Petite zone transparente bien limitée, arrondie ou ovale, formant le centre d'un ostéome ostéoïde.

fracture de parade (prop.)

Fracture isolée de la diaphyse cubitale provoquée par un coup direct.

pseudarthrose

Absence complète et définitive de consolidation d'une fracture.

NOTA La distinction qui existe entre les termes anglais nonunion et pseudarthrosis ne se retrouve pas dans les textes français. Il serait probablement préférable de parler plutôt d'absence de consolidation (comme équivalent au terme générique anglais nonunion) et de n'utiliser le terme pseudarthrose que lorsqu'il y a constitution d'une fausse articulation avec cavité liquidienne (pseudarthrose fibro-synoviale).

**Norgaard's projection; ball
catcher's view**

A projection used for the visualization of the radial side of the bases of the proximal phalanges, where tiny erosions may be seen in rheumatoid arthritis. The carpus and fingers are taken in a 45° supine oblique view.

notch view

SEE **tunnel view**

nutcracker fracture

A compression fracture of the cuboid.

incidence de Norgaard (prop.)

Incidence permettant de visualiser le bord externe de la base des phalanges proximales où de petites érosions sont parfois visibles en cas de polyarthrite rhumatoïde. Le carpe et les doigts sont en supination à 45°.

**oar-shaped rib**

SEE **canoe paddle rib**

oblique fracture

A fracture of a long bone that runs obliquely to the long axis.

fracture oblique

Fracture dont le trait a une direction oblique par rapport à l'axe longitudinal de l'os.

NOTA Elle est appelée parfois, au niveau de certains os, fracture en bec de flûte.

oblique pelvis

SEE **Nägele's pelvis**

obturator

obturator sign; Hefke-Turner sign

A widening of the soft-tissue density of the obturator muscle as seen on a roentgenogram of the pelvis or hip, usually indicative of disease of the hip joint.

NOTE Was originally described as a specific indication of infectious arthritis of the hip joint. However, a prominent obturator muscle shadow is more frequently a manifestation of trauma and subsequent hemorrhage.

occipitalization of the atlas

Failure of segmentation between the atlas and the occipital bone; occasionally the entire atlas is fused to the occipital bone.

odontoid view

SEE open-mouth position

one-eyed vertebra sign

A vertebra in which one pedicle is destroyed and one pedicle is intact, as seen in metastases of the spine.

NOTE The destruction or integrity of one or both pedicles of a vertebral body is a radiographic finding used to differentiate multiple myeloma from osteolytic metastases. It is referred to as the pedicle sign. Because myeloma primarily involves the red marrow, it frequently causes destruction of the vertebral bodies. Involvement of the vertebral pedicles, which lack red marrow, is much less frequent. Thus, isolated destruction of a pedicle without vertebral body involvement strongly suggests the diagnosis of metastatic carcinoma.

signe de l'obturateur interne; signe de Hefke-Turner

Élargissement asymétrique du muscle obturateur interne, indiquant une atteinte de l'articulation de la hanche.

occipitalisation de l'atlas

Malformation de la charnière occipito-cervicale caractérisée par la fusion totale ou partielle de l'atlas avec l'occipital.

vertèbre borgne

Vertèbre caractérisée par une altération lytique d'un seul pédicule, observée dans les tumeurs secondaires du rachis.

NOTA 1. Le pédicule est un site métastatique de prédilection des cancers ostéophiles. Les atteintes pédiculaires sont moins fréquentes au cours des myélomes qui intéressent préférentiellement le corps vertébral.

2. On parle de vertèbre aveugle lorsque l'altération lytique touche les deux pédicules.

onion-peel appearance;
onion-skin appearance;
onionskin appearance;
laminated appearance

Abnormal appearance resulting from periosteal new bone forming multiple thin layers parallel with the surface of the shaft. Most commonly found in lesion of cyclic and rapid evolution such as Ewing's sarcoma.

open fracture; compound fracture

A fracture in which there is communication between the fracture site and the outside environment.

open-mouth position;
open-mouth view; odontoid view

An anteroposterior projection of the atlas and axis through the open mouth.

opera-glass hand; main en lorgnette

A hand in which the joints are severely damaged by inflammatory arthritis resulting in telescoped fingers.

optical magnification

A magnification technique consisting of the enlargement by a lens, projector, or microscope of radiographs obtained with the part being radiographed in contact with a fine-grain film without screens.

cf. direct radiographic magnification

aspect en pelure d'oignon;
image en bulbe d'oignon

Aspect caractéristique d'une formation osseuse périostée en strates parallèles multiples, souvent observé dans le sarcome d'Ewing, mais non spécifique d'un processus tumoral; il traduit essentiellement une lésion causale d'évolution cyclique rapide.

fracture ouverte; fracture exposée

Variété de fracture dont le foyer communiqué avec l'extérieur à travers une plaie des parties molles et des téguments.

Incidence bouche ouverte

Incidence pour l'étude de l'interligne atloïdo-axoïdien.

main en lorgnette

Aspect que peut prendre la main au cours de certains rhumatismes inflammatoires chroniques où les doigts sont raccourcis par télescopage des phalanges et peuvent être allongés passivement par traction.

agrandissement optique;
agrandissement secondaire

L'*agrandissement optique* consiste à pratiquer un agrandissement photographique du cliché. Ce procédé est supérieur à l'agrandissement direct lorsqu'on utilise des films sans écran.

cf. agrandissement radiographique direct

os centrale; central bone

An additional cartilaginous nodule normally found in the wrist in prenatal life that usually fuses with the cartilaginous scaphoid but may remain separate as a bony nodule on the dorsum of the wrist between the trapezoid, capitate, and scaphoid bones.

os peroneum

A sesamoid bone sometimes found in the tendon of the peroneus longus muscle and articulating with the plantar lateral aspect of the cuboid.

osseous erosion

SEE **bone erosion**

os styloïdeum

The prominent styloid process of the third metacarpal bone when it occasionally develops a separate centre of ossification and persists as a distinct ossicle not fusing with the base of the metacarpal bone.

ostéitis condensans IIII

A condition marked by an area of dense sclerosis on the iliac side of the sacroiliac joint.

os central du carpe

Osselet du carpe, situé entre le trapèze, le scaphoïde et le grand os. Chez l'homme, il n'existe qu'à l'état embryonnaire et s'incorpore au scaphoïde, dont il constitue la portion distale qui s'articule avec le trapézoïde et le trapèze.

os périonier

Os sésamoïde du tendon du muscle long périonier latéral s'articulant avec la face inféro-externe du cuboïde.

os styloïdien

Les osselets surnuméraires sont nombreux au carpe. Parmi les plus fréquents, il convient de citer l'os triangulaire entre la styloïde cubitale et le pyramidal, l'os *styloïdien* entre le trapézoïde, le grand os et les bases des deuxième et troisième métacarpiens, l'os central du carpe entre le trapèze, le scaphoïde et le grand os, et enfin l'os hamuli proprium correspondant à l'apophyse unciforme non soudée de l'os crochu.

ostéite condensante de l'os illaque; ostéose condensante iliaque bénigne; ostéose condensante bénigne de Barsony; ostéite condensante de l'ilion

Affection de cause inconnue se traduisant par une opacité radiologique homogène de la partie postérieure des ilions témoignant d'une ostéosclérose. L'interligne sacro-iliaque est respecté ainsi que le sacrum.

osteocartilaginous exostosis
SEE **osteochondroma**

osteochondritis deformans juvenilis
dorsi
SEE **Scheuermann's disease**

osteochondroma;
osteocartilaginous exostosis

A cartilage-capped, bony projection on the external surface of a bone. It may be solitary or part of the generalized condition, as in hereditary multiple exostoses. Osteochondromas are commonly located in the metaphyseal regions of long bones, particularly the lower femur, upper tibia, and upper humerus, but may also be found in other bones, such as the scapula or ilium. Solitary lesions may have either a broad or a narrow base, that is, they may be either sessile or pedunculated, while in the multiple lesions the whole metaphysis of a bone may be involved. They occur most frequently in children. They are probably disorders of growth rather than true neoplasms.

osteogenesis imperfecta; brittle bones; fragilitas ossium

A condition of abnormal fragility and plasticity of bone, with recurring fractures on minimal trauma, deformity of long bones, usually bluish color of sclerae, and in many cases, the development of otosclerosis; there is extreme variation in severity and clinical findings; inheritance is autosomal dominant in most families, but a rare autosomal recessive type also exists.

ostéochondrome

Tumeur habituellement bénigne et métaphysaire, développée à la surface d'un os long, souvent au voisinage du genou, formant une excroissance osseuse, ou exostose, aisément identifiable radiologiquement. Elle s'observe surtout chez l'enfant et le jeune adulte. Elle est souvent isolée, mais peut également être multiple, et réalise alors la maladie exostosante.

ostéogénèse imparfaite; fragilité osseuse constitutionnelle; fragilité osseuse héréditaire

Variété d'ostéodysplasie structurale héréditaire entraînant une ostéoporose généralisée sévère, se traduisant par de multiples fractures spontanées et des déformations osseuses. Il s'y associe presque toujours une coloration bleue des sclérotiques et parfois une surdité (syndrome ou triade de Van der Hoeve). L'affection comporte des degrés de gravité variables qui ont fait

osteogenesis

osteogenesis imperfecta (cont'd)

artificiellement distinguer deux formes : l'ostéogénèse imparfaite congénitale et l'ostéogénèse imparfaite tardive.

osteoid osteoma

A painful benign lesion that usually originates in one of the bones of the lower limbs, especially the femur or tibia of adolescent and young adult persons; characterized by a nidus (usually no larger than 1 cm in diameter) that consists of osteoid material, vascularized osteogenic stroma, and poorly formed bone; around the nidus there is a relatively large zone of reactive thickening of the cortex.

NOTE The osteoid osteoma is probably an inflammatory bone lesion rather than a true neoplasm.

osteolysis; bone destruction

Dissolution of bone; applied especially to the removal or loss of the calcium of bone.

ostéome ostéoïde

Lésion osseuse bénigne, développée aux dépens du tissu conjonctif ostéoformateur, siégeant avec préférence au niveau des membres inférieurs des adultes jeunes. Elle se traduit cliniquement par des douleurs vives, localisées, à prédominance nocturne, radiologiquement par une petite zone transparente appelée nidus, unique, arrondie, homogène, formée d'une substance ostéoïde et/ou d'os trabéculé, et entourée d'ostéosclérose.

NOTA La nature tumorale de l'affection a été discutée.

ostéolyse

Destruction osseuse.

NOTA Ce terme a été employé pour désigner la résorption osseuse. Il désigne le plus souvent actuellement la destruction radiologiquement visible d'un os ou d'une partie d'un os.

osteomalacia

A disease characterized by a gradual softening and bending of the bones with varying severity of pain; the softening occurs because the bones contain osteoid tissue which has failed to calcify, due to lack of vitamin D or renal tubular dysfunction. The disease is more common in women than in men, and often begins during a pregnancy.

NOTE It is essentially rickets occurring in adults.

ostéomalacie

Déminéralisation squelettique généralisée, par insuffisance de fixation phosphocalcique sur la trame protéique de l'os ou tissu ostéoïde. Elle se manifeste cliniquement par des douleurs et des déformations osseuses avec fractures spontanées. Les causes d'ostéomalacie sont les carences solaire et vitaminique (vitamine D), les insuffisances d'apport et d'absorption phosphocalciques (gastrites et gastrectomies, insuffisances biliaire, pancréatique et intestinale), ainsi que les déperditions phosphocalciques exagérées, rénales (tubulopathies) et extrarénales (grossesse et allaitement). Se traduit radiologiquement par l'ostéopénie.

NOTA Le terme d'ostéomalacie est traditionnellement réservé à la maladie de l'adulte, les ostéomalacies de l'enfant et de l'adolescent étant appelées rachitisme.

osteomalacic pelvis

SEE heart-shaped pelvis

osteonecrosis

Death, or necrosis, of bone.

NOTE Osteonecrosis, without evidence of an inflammatory process or sepsis, is usually regarded as secondary to loss of the blood supply (avascular necrosis of bone). Some argue that metabolic changes in the osteocytes are responsible for bone death in certain forms of the disease and recommend the general term osteonecrosis. An older synonym that emphasizes the lack of an inflammatory component is aseptic necrosis.

ostéonécrose

Nécrose du tissu osseux, primitive ou secondaire, d'origine infectieuse (ostéonécrose septique) ou non (ostéonécrose aseptique), caractérisée par une dégénérescence des ostéocytes avec déshabitation des cavités ostéocytaires.

cf. infarctus osseux

osteonecrosis

osteonecrosis (cont'd)

Since the precise pathogenesis remains unknown and major vascular loss is not always evident, the term osteonecrosis seems preferable.

cf. bone infarct

osteopathia condensans

disseminata

SEE **osteopoikilosis**

osteopathia striata; Voorhoeve's disease

A very rare disorder, possibly a variant of osteopoikilosis, characterized by striation of the bones of the skeleton, especially the metaphyses of the long bones, running parallel to the bone axis. The linear, regular bands of increased radiodensity extend from the metaphyses of tubular bones for variable distances into the diaphyses, and are interspersed with areas of rarefaction. In the flat bones, especially the ilium, they radiate in a fan-like arrangement.

cf. osteopoikilosis

osteopenia

A descriptive term for generalized or regional rarefaction of the skeleton.

maladie de Voorhoeve; ostéopathie striée; ostéopoecilie striée

Forme rare d'ostéopoecilie dans laquelle les zones de condensation, au lieu d'être punctiformes, dessinent des stries verticales, surtout visibles dans la région métaphysaire des os longs.

cf. ostéopoecilie

ostéopénie

Raréfaction osseuse généralisée ou locale.

osteopetrosis; Albers-Schönberg disease; marble bones; ivory bones

A hereditary disorder characterized by pronounced sclerosis of all the bones. It is primarily due to a defect in absorption of primary spongiosa in the process of enchondral bone formation. Bandlike areas of compact bone form at the epiphyseal lines of the long bones which are flask shaped and broadened at both ends. Multiple fractures often occur as a result of increased bone fragility.

osteophyte

A growth of soft, spongy bone which usually arises from the margin of a joint at the confluence of cartilage, periosteum and synovial membrane.

cf. **kissing osteophytes**

osteophytosis

A condition characterized by the formation of osteophytes.

osteopoikilosis; spotted bones; osteopathia condensans disseminata

An asymptomatic disorder, discovered incidentally, which is characterized by small foci of bone scleroses of different sizes (1 to 10 mm) and shapes (round, oval, or lenticular) located in the

ostéopétrose; maladie d'Albers-Schönberg; maladie des os de marbre; ostéopétrose génotypique

Maladie osseuse héréditaire et familiale, caractérisée principalement par une ostéosclérose généralisée provenant, semble-t-il, d'un défaut de la résorption ostéoclastique. Elle est caractérisée cliniquement par une fragilité anormale des os, entraînant des fractures à répétition, et radiologiquement par une hyperopacité diffuse du squelette, avec hypertrophie en masse et striation transversale des métaphyses.

ostéophyte

Excroissance osseuse constituée de tissu spongieux recouvert d'une couche corticale et de fibrocartilage ou de périoste fibreux, se développant à la périphérie des surfaces articulaires.

NOTA Au rachis, les ostéophytes en crochet portent le nom de **bec-de-perroquet**.

cf. **bec-de-perroquet**

ostéophytose

Affection caractérisée par le développement d'ostéophytes.

ostéopoecille; ostéopathie condensante disséminée; ostéopoïkilon

Variété d'ostéochondrodysplasie caractérisée radiologiquement par la présence de taches d'ostéosclérose circulaires, ovalaires ou lancéolées (ostéopoecille d'Albers-Schönberg)

osteopoikilosis

osteopoikilosis (cont'd)

spongiosa, particularly in the pelvis, metaphyses and epiphyses of long bones, tarsals and carpal.

ou, plus rarement, de stries opaques (ostéopoecilie de Voorhoeve), siégeant dans les régions épiphysaires et métaphysaires des os longs, les omoplates et le bassin, et n'entraînant aucun trouble clinique, mais parfois associée à des lésions cutanées de fibrose ou de kératose.

osteoporosis

Abnormal rarefaction of bone, generalized or localized, caused by age, disuse, trauma, or neurologic or other disease (osteopenia).

ostéoporose

Lésion osseuse caractérisée par un amincissement lisse et une raréfaction des travées osseuses, se traduisant par une diminution de l'opacité radiologique du squelette. Localisée ou diffuse, elle s'observe dans différentes circonstances : manque d'usage ou inactivité, sénilité, troubles endocriniens, algoneurodystrophie décalcifiante, affections génotypiques, traumatismes.

osteoporosis circumscrip^at^ba; **osteoporosis circumscrip^at^ba crani; Schüller's disease**

A well-delineated decalcified lesion affecting chiefly the outer table of the skull, characteristic of the destructive or osteolytic phase of Paget's disease.

ostéoporose circonscrite; **ostéoporose circonscrite du crâne; maladie de Schüller**

Zone d'hyperclarté osseuse frontale ou fronto-occipitale, parfaitement limitée, d'extension lentement progressive, en rapport avec une maladie de Paget.

NOTA Considérée à tort au début comme une affection autonome, l'ostéoporose circonscrite garde encore parfois la dénomination de deuxième maladie de Schüller. L'ostéoporose circonscrite n'est qu'une forme précoce de la maladie de Paget, évoluant de façon très lente et aboutissant à la forme sclérosante.

osteoradionecrosis

Necrosis (death) of bone following irradiation.

osteosclerosis

Increased bone density or radio-opacity. This may be due to increased calcium deposition within the bone as in osteopetrosis or may be due to increased bone formation in the periosteum on the external portion of the bony cortex, or endosteal, causing narrowing of the marrow cavity or thickening of the compact bone itself.

os trigonum; os triangulare; triangular bone

An independent ossicle sometimes present in the tarsus; usually it forms part of the talus, constituting the lateral tubercle of the posterior process.

Ottonello's method

Rhythmic movement of the jaw during cervical radiography to produce a blurred shadow of the jaw when making an anteroposterior projection of the entire cervical column.

Otto's disease
SEE Otto's pelvis

ostéoradionécrose

Nécrose osseuse due aux radiations ionisantes, en règle générale, post-radiothérapeutique.

ostéosclérose

Épaississement localisé ou généralisé des travées osseuses rétrécissant les espaces médullaires et se traduisant radiologiquement par une accentuation de l'opacité osseuse.

os trigone

Osselet surnuméraire du pied; c'est le tubercule postéro-externe de l'astragale, indépendant de cet os et anormalement développé.

procédé de Pélissier et Ottomello

Procédé utilisé au cours de la radiographie du rachis cervical en incidence antéropostérieure, permettant de voir les deux premières vertèbres cervicales, le maxillaire inférieur étant estompé lorsque le sujet ouvre et ferme alternativement la bouche pendant la prise du cliché.

Otto's

Otto's pelvis

A pelvis characterized by a bilateral osteo-arthritis protrusion of the acetabulum into the pelvic cavity.

NOTE The resulting deformity of Otto's disease.

cf. **protrusio acetabuli**

overhanging margin

A segment of eroded cortex extending over the tophus, elevated and displaced from the normal bone contour, seen in cases of gout.

oxycephaly; acrocephaly

A type of craniostenosis in which there is premature closure of the sagittal and coronal sutures, resulting in an abnormally high, peaked, or conically shaped skull.

bassin d'Otto

Bassin caractérisé par une protrusion bilatérale de l'acétabulum dans la cavité pelviennes, secondaire à un processus arthrosique.

NOTA Déformation consécutive à la maladie d'Otto.

cf. **protrusion acétabulaire**

encoche en hallebarde; aspect en hallebarde

Aspect observé surtout dans la goutte aux extrémités osseuses, se traduisant par une surélévation apparente de la limite externe de l'os due à une érosion progressive de la corticale par le nodule uratique.

acrocéphalie; oxycéphalie

Déformation crânienne due à la synostose précoce des sutures coronale et sagittale; elle est caractérisée par le développement de la boîte crânienne en hauteur et en largeur (crâne «en tour», tête «en pain de sucre»).

NOTA Lorsque le crâne prend un aspect en tour, on parle de turricéphalie.



pancake vertebra

Flattened or "pancake" vertebrae are associated with compression of the entire vertebral surface.

vertèbre en galette

Vertèbre ayant subi une destruction importante, due le plus souvent à une métastase

pancake vertebra (cont'd)

cancéreuse, apparaissant sur l'image radiologique sous la forme d'une mince lame située entre deux disques intervertébraux intacts.

parentheses-like calcification

A pattern of calcification characteristic of lipomas involving the corpus callosum. The calcification surrounds a lucency centrally situated in the midline in the area of the corpus callosum.

parrot beak-like osteophytes

SEE **kissing osteophytes**

patella alta; high-riding patella

A high patella.

patella baja; low-riding patella

A low patella.

patella bipartita

SEE **bipartite patella**

patella cubiti

An anomalous sesamoid bone lying proximal to the olecranon within the tendon of the triceps brachii muscle.

patella magna

Hyperplasia of the patella.

patella parva

Hypoplasia of the patella.

calcification en parenthèses

Calcification intracrânienne caractéristique des lipomes du corps calleux. Elle siège dans la capsule tumorale de part et d'autre de la ligne médiane et encadre une hypodensité.

patella alta

Rotule haute.

patella baja; patella infera

Rotule basse.

patella cubiti; rotule cubitale; sésamoïde du coude

Os surnuméraire dans le tendon du triceps séparé de l'olécrane.

patella magna

Hyperplasie rotulienne.

patella parva

Hypoplasie rotulienne.

patellofemoral

patellofemoral index

The quotient obtained by dividing the narrowest medial patellofemoral distance measured at the lateral edge of the medial facet by the narrowest lateral patellofemoral distance. The normal patellofemoral index is 1.6 or less. An increased patellofemoral index is usually present in patients with chondromalacia patellae.

pathologic fracture; pathological fracture

A fracture occurring at a site weakened by preexisting disease.

NOTE Many regard a pathologic fracture as occurring in a bone occupied by a tumor.

Pauwels angle

Angle of a femoral neck fracture in reference to a horizontal line.

pedicle sign

SEE **one-eyed vertebra sign**

Pelkan spur

A spurlike projection usually occurring at the distal, lateral, or medial aspect of a long bone. It is seen in scurvy and occurs in the accentuated zone of provisional calcification, representing an elevation of the periosteum by a subperiosteal hemorrhage.

indice fémoro-patellaire

Indice calculé en divisant la distance entre le point de rencontre des faces latérale et médiane de la rotule et le sillon intercondylien, et la distance la plus courte entre la face latérale de la rotule et le condyle fémoral latéral. Cet indice est normalement égal ou inférieur à 1,6 et généralement supérieur dans la chondromalacie rotulienne.

fracture pathologique

Toute fracture survenant sur un tissu osseux remanié par un processus pathologique.

NOTA Pour plusieurs, la fracture pathologique est secondaire à un processus néoplasique.

angle de Pauwels

Angle formé par le trait d'une fracture du col fémoral et une ligne horizontale.

éperon de Pelkan

Signe radiologique du scorbut infantile : la ligne d'ossification se prolonge en dehors de l'os en une saillie opaque, unilatérale ou bilatérale, correspondant à une hémorragie sous-périostée.

Pellegrini's disease;

Pellegrini-Stieda disease;
Stieda's disease

A condition characterized by a semilunar bony formation in the upper portion of the medial lateral ligament of the knee, due to traumatism.

NOTE This condition, known as Pellegrini's disease, is not a disease. The term Stieda's fracture, used to refer to the injury resulting in ossification of the medial lateral ligament, is also inappropriate. A calcific density may be seen before ossification develops. It would seem more appropriate to speak of Pellegrini's ossification or lesion.

pencil-in-cup deformity;
pencil-in-cup appearance

Whittling of the ends of phalanges, metacarpals, and metatarsals and cupping of the proximal ends of the articulating bones through erosions progressing from marginal areas in a central direction. Though it may be seen in many different disorders, it has always been primarily associated with psoriatic arthritis.

NOTE This has also been referred to as the "sharpened", "sucked candy", or "candlestick" appearance.

maladie de Pellegrini-Stieda

Ossification post-traumatique du ligament latéral interne du genou, se traduisant par une opacité lamellaire en parenthèse qui coiffe le condyle fémoral interne.

NOTA Il ne s'agit pas d'une maladie, mais plutôt d'une atteinte ligamentaire. Le terme fracture de Stieda, employé pour désigner le traumatisme entraînant une ossification du ligament latéral interne, est également impropre. Une calcification peut précéder l'ossification. Il serait plus juste de parler d'ossification ou de lésion de Pellegrini-Stieda.

Image de pointe de crayon dans une cupule; aspect de pointe de crayon dans une cupule

Effilement de la tête des phalanges, des métacarpiens et des métatarsiens dû à des érosions osseuses progressant souvent de la périphérie vers le centre et creusant en cupule la base de la phalange correspondante. Cet aspect est classique dans la polyarthrite rhumatoïde, mais serait particulièrement fréquent dans le rhumatisme psoriasique.

NOTA On parle parfois aussi d'aspect «en sucre d'orge sucé», «en crayon taillé» ou «en bougeoir».

periosteal

periosteal reaction; periosteal bone apposition

Periosteal reaction refers to the deposition of new bone beneath the periosteum. Several types of reaction may be induced, each with a different dynamic and physiologic implication. The reactions may be unilaminar (single layer), multilaminar, cuffed (Codman's triangle), spiculated, or cloaked.

NOTE The term *periostitis* is often used loosely in describing non-inflammatory periosteal bone formation; the term *periosteal reaction* should be employed in such conditions.

periostitis

SEE *periosteal reaction*

periostosis

Abnormal bone formation on the exterior of a bone.

Perkins' line; vertical line of Ombrédanne

Vertical line which intersects the upper jutting edge of the acetabulum and is perpendicular to the Y-Y line; normally, the center of the femoral head lies medial to the vertical line and below the horizontal line; in hip luxation it lies lateral to the former and above the latter.

apposition pérlostée; réaction périostée

Réaction du périoste vis-à-vis d'une agression locale, se manifestant par une activité ostéogénique. Les appositions périostées sont de plusieurs types : lamellaire, parallèle à la corticale osseuse; spiculaire, perpendiculaire à la corticale osseuse; en éperon. Elles peuvent se voir au cours d'une grande variété de lésions (tumorales; traumatiques; inflammatoires, infectieuses ou non).

périostose; périostéose

Épaississement diffus ou circonscrit du périoste.

ligne d'Ombrédanne; ligne de Perkins

Ligne perpendiculaire à la ligne des cartilages en Y et passant par le talus cotyloïdien. On détermine ainsi quatre quadrants. Normalement le noyau capital du fémur se situe dans le quadrant inféro-interne. En cas de luxation, le noyau se trouve dans le quadrant supéro-externe.

permeative bone destruction

Permeative bone destruction. The permeative pattern indicates an aggressive bone lesion with rapid growth potential. The lesion is poorly demarcated and not easily separated from the surrounding normal bone. In fact, it may merge imperceptibly with uninvolved osseous segments, creating a zone of transition that is very long. Its true size is larger than that evident on the radiographs. Certain malignant bone tumors, such as Ewing's sarcoma, may demonstrate *permeative bone destruction*.

cf. **geographic bone destruction, moth-eaten bone destruction**

phalangeal sign

A sign of gonadal dysgenesis. In normal subjects, the total length of the distal and proximal phalanges of the fourth finger equals the length of the fourth metacarpal, the standard deviation being 2 mm. In patients with gonadal dysgenesis, the total length of the distal and proximal phalanges exceeds by 3 mm or more the length of the fourth metacarpal.

phantom bones

SEE **Gorham's disease**

phlebography

SEE **venography**

ostéolyse ponctuée; ostéolyse vermoulue

L'*ostéolyse ponctuée* apparaît sous forme de petits trous minuscules dans la corticale. Les limites entre os sain et os pathologique sont imprécises. L'*ostéolyse ponctuée* traduit un processus rapidement évolutif (sarcome d'Ewing par exemple).

cf. **ostéolyse géographique, ostéolyse mitée**

signe phalangien (prop.)

Signe de dysgénésie gonadique. Chez les sujets normaux, la somme des longueurs des phalanges distale et proximale de l'annulaire est égale à la longueur du quatrième métacarpien, ± 2 mm. En cas de dysgénésie gonadique, le résultat dépasse d'au moins 3 mm la longueur du quatrième métacarpien.

picture

picture frame vertebra

An enlarged vertebra characterized by a rim of thickened cortex and a coarsened trabecular pattern which may be arranged in a vertically striated orientation. A sign mostly found in Paget's disease.

NOTE The striated appearance of the body can be differentiated from hemangioma by the thickened cortex and increased size, which are not present in vertebral hemangioma.

**cf. corduroy cloth appearance
(of a vertebra)**

piece of cheese sign

A sign of lunate dislocation. In the anteroposterior view, the lunate assumes a triangular shape instead of its normal quadrilateral shape.

Piedmont fracture

Closed fracture of the radius at the junction of its middle and distal thirds, without an associated fracture of the ulna.

pilon fracture

Comminuted intraarticular fracture of the distal tibia with a long oblique component, secondary to axial loading and impaction of the talus into the tibial plafond.

vertèbre en cadre; vertèbre encadrée

Aspect radiologique d'une vertèbre augmentée de volume, caractérisé par la densification de la corticale par rapport à la zone centrale, plus claire, qui a une texture fibrillaire ou grillagée. Cet aspect est plus fréquemment observé dans la maladie de Paget.

cf. vertèbre striée

signe de la toupie; aspect en toupie; signe de la pointe de tarte (prop.)

Signe observé dans une luxation antérieure du semi-lunaire. Sur la radiographie de face, le semi-lunaire a perdu sa forme quadrangulaire pour se métamorphoser progressivement en un triangle à sommet distal.

fracture de Piedmont (prop.)

Fracture fermée du radius à la jonction du tiers moyen et du tiers distal sans fracture du cubitus.

fracture du pilon tibial

Fracture intra-articulaire de l'extrémité distale du tibia, le plus souvent secondaire à une chute verticale ou à une décélération.

ping-pong fracture

A peculiar type of depressed skull fracture without evidence of a definite fracture line. It occurs in infants and young children. The depression is similar to that which can be made in a ping-pong ball with the finger.

cf. **depressed skull fracture**

plagiocephaly

A deformity of the head marked by a greater development anteriorly of one side of the skull and of the other side posteriorly resulting in an asymmetrical and twisted appearance due to closure of half of the coronal suture.

plastic bowing fracture

SEE **bowing fracture**

platybasia

A developmental deformity of the skull and axis in which the base of the skull is flattened, having a basal angle of more than 152°.

NOTE The term is also used rather loosely to include basilar impression and basilar invagination, conditions with which it is usually, though not invariably, associated.

cf. **basilar impression**

fracture en balle de ping-pong

Fracture observée exclusivement chez le nourrisson, où une partie de la voûte crânienne est enfoncée de façon régulière sans être fracturée.

cf. **embarrure**

plagiocéphalie

Déformation oblique ovalaire du crâne caractérisée par une asymétrie qui peut être due à la synostose précoce d'une des branches de la suture coronale, au rachitisme, ou encore à des pressions externes répétées sur le même côté du crâne chez le jeune enfant.

platybasie

Aplatissement congénital ou exceptionnellement acquis de la base du crâne se manifestant radiologiquement par l'augmentation de l'angle de base.

NOTA L'impression basilaire s'accompagne souvent de platybasie, mais il ne faut pas les confondre.

cf. **Impression basilaire**

platyspondylia

platyspondylia; platyspondylisis; platyspondyly

A congenital condition characterized by flattening of the bodies of the vertebra, seen in mucopolysaccharide disorders such as Morquio-Brailsford disease.

pocketed erosion
SEE **surface erosion**

pocket erosion
SEE **surface erosion**

popcorn calcifications

Clusters of small, scalloped radiolucencies, each with a sclerotic margin, that are seen in the metaphyses or epiphyses of children with osteogenesis imperfecta. A similar appearance may be seen in multiple enchondromas.

popliteal cyst; Baker's cyst

A synovial cyst arising from a popliteal bursa, most commonly the gastrocnemiosemimembranous bursa, or from a herniation of synovial membrane from the knee joint.

Posada's fracture

Transcondylar fracture of the distal humerus with anterior flexion of the condylar fragment and posterior dislocation of the radius and ulna.

platyspondylie

Malformation caractérisée par l'aplatissement d'une ou de plusieurs vertèbres s'observant dans certaines chondrodysplasies, notamment dans la maladie de Morquio.

NOTA Théoriquement, le terme de **platyspondylie** pourrait également s'appliquer aux aplatissements acquis des vertèbres, mais il n'est pas employé dans ce sens.

calcifications en pop-corn; calcifications en volutes de fumée; calcifications en flocons

Conglomérat de calcifications correspondant à des opacités de un à trois millimètres observées essentiellement dans la région métaphysio-diaphysaire des os longs. Ces calcifications se retrouvent essentiellement dans les lésions cartilagineuses.

kyste poplité; kyste de Baker

Tuméfaction d'apparence kystique due à l'inflammation des bourses séreuses du creux poplité (principalement celle du jumeau interne et du demi-membraneux) ou à une hernie capsulo-synoviale de l'articulation du genou.

fracture de Posada (prop.)

Fracture diacondylienne de l'humérus associée à une bascule antérieure du fragment condylien et à une luxation postérieure du radius et du cubitus.

positive elbow fat pad sign; fat pad sign

Sign of joint effusion, or pannus or both, visible on lateral roentgenograms, representing displacement of the fat pads anterior and posterior to the distal humerus.

signe du liseré graisseux (prop.)

Déplacement du liseré graisseux qui borde la capsule articulaire du coude en cas d'épanchement et/ou de pannus synovial, observé sur une incidence de profil. Lorsque le déplacement se fait à la face antérieure de la capsule, le liseré prend la forme triangulaire d'une voile de bateau. À la face postérieure, le déplacement est parallèle à l'humérus.

positive navicular fat stripe sign

Sign of traumatic wrist injuries (fracture of the naviculum, the radial styloid process, or the first metacarpal) with obliteration or displacement of the navicular fat stripe, i.e. the radiolucent stripe parallel to the lateral surface of the navicular bone.

signe de la ligne graisseuse parascaphoïdienne (prop.)

Signe d'un traumatisme du poignet (fracture du scaphoïde, de l'apophyse styloïde du radius, ou du premier métacarpien) caractérisé par la disparition ou le déplacement de la ligne graisseuse radiotransparente, parallèle à la face externe du scaphoïde.

positive rim sign

Sign of posterior dislocation of the shoulder characterized by a distance between the medial margin of the humeral head and the anterior rim of the glenoid fossa greater than 6-8 mm. Seen on an anteroposterior view of the shoulder.

pseudo-élargissement de l'interligne gléno-huméral (prop.)

Espace entre le bord interne de la tête humérale et le rebord glénoïdien antérieur dépassant 6 à 8 mm. Ce signe s'observe dans la luxation postérieure de l'épaule sur une incidence antéro-postérieure.

NOTA L'élargissement de l'espace entre la glène et la tête humérale peut se rencontrer également en cas d'épanchement articulaire, en l'absence de toute luxation.

NOTE Effusions in the glenohumeral joint space may cause lateral displacement of the humeral head and a false-positive rim sign.

posteroanterior

posteroanterior projection

A projection in which the central ray of the x-ray beam strikes the patient's posterior aspect first and exits through the anterior aspect, and thereafter strikes the recording film or imaging device.

Pott's fracture

Partial dislocation of the ankle with fracture of the fibula within 2 to 3 inches above the lateral malleolus and rupture of the medial collateral ligaments of the ankle. As presently used, the term Pott's fracture also includes an avulsion fracture of the medial malleolus.

Pouteau fracture

SEE **Colles' fracture**

projection

The radiographic image determined by the specific positioning of the patient and orientation of the x-ray beam.

Incidence postéro-antérieure

Incidence radiologique où le tube à rayons X est en arrière du sujet et le film radiographique en avant.

fracture de Pott (prop.)

Luxation de la cheville associée à une fracture du péroné dont le trait se trouve de 5 à 10 cm au-dessus de la malléole externe, et à une rupture du ligament latéral interne. De nos jours, le terme fracture de Pott comprend également une fracture par arrachement de la malléole interne.

incidence

Direction dans laquelle est faite une radiographie. Une incidence est définie par 1) la direction du rayon axial au rayon directeur; 2) la position du sujet; 3) le centrage sur le sujet, c'est-à-dire le point d'impact du rayon directeur sur le sujet; 4) la position du film radiographique. Il existe quatre sortes d'incidences : de face (réalisant une projection de l'os perpendiculairement au plan frontal); de profil (projection perpendiculaire au plan sagittal); verticale ou axiale (projection perpendiculaire au plan horizontal); obliques. Les trois premières sont groupées sous le nom d'incidences fondamentales.

protrusio acetabuli

An acetabulum of abnormal depth, giving the appearance of protrusion of the femoral head into the pelvis.

cf. Otto's pelvis

pseudarthrosis

SEE nonunion

pseudofracture

A bony defect which in roentgenograms has the appearance of an incomplete fracture with associated periosteal reaction and callus or new bone formation, sometimes observed in osteomalacia.

pseudogout

SEE chondrocalcinosis

public varus sign; ischial varus sign

A manifestation of hip disease in children characterized by a relative iliac flare and an apparent widening of the sacrosciatic notch.

Putti's triad

Congenital dislocation of the hip consisting of laterad and cephalad shifts of the femoral head, hypoplasia or absence of the femoral ossification center, and increased declivity of the acetabular roof toward the longitudinal axis of the body.

pyramidal fracture

SEE Le Fort II fracture

protrusion acétabulaire

Déformation des cavités cotyloïdes, qui sont exagérément creuses et dont le fond fait alors plus ou moins saillie dans le bassin. Elle peut être primitive, congénitale et héréditaire, ou secondaire à une ostéomalacie ou à une coxarthrose.

cf. bassin d'Otto

pseudo-fracture

Image radiologique simulant une fracture que l'on peut observer au cours de certaines maladies osseuses. Ex. : les lignes claires observées sur certaines pièces squelettiques au cours de l'ostéomalacie.

élargissement de la grande échancrure sciatique (prop.)

Signe d'une coxopathie chez l'enfant se manifestant par l'élargissement du bassin et de la grande échancrure sciatique.

triade de Putti

Luxation congénitale de la hanche se traduisant par le déplacement de la tête fémorale en haut et en dehors, une hypoplasie du noyau épiphysaire fémoral supérieur et une obliquité du toit du cotyle avec augmentation de l'angle acétabulaire.

**rachischisis**

Congenital fissure of the spinal column.

rachischisis

Fissure congénitale de la colonne vertébrale. Le vrai rachischisis est le rachischisis antérieur, conséquence d'une notochordodysraphie, il intéresse les corps vertébraux qui sont soit fissurés (vertèbres en papillon), soit partiellement agénésiques (hémivertèbres). Il s'accompagne parfois d'une hernie méningée (ménингocèle antérieure). On donne parfois à tort au spina bifida le nom de rachischisis postérieur.

radial head-capitellum view

A projection used to evaluate the elbow joint. The patient is seated at the side of the radiographic table, with the forearm resting on its ulnar side, the elbow joint flexed 90°, and the thumb pointing upward. The central beam is directed toward the radial head at a 45° angle to the forearm. The film in this projection shows the radial head projected ventral, free of overlap by the coronoid process, which is also well demonstrated. This projection is also effective in evaluating the capitellum and humeroradial and humeroulnar articulations.

Incidence tête radiale-capitellum

Incidence de profil du coude. Le sujet est assis, coude fléchi à 90° sur la table, pouce en l'air. L'épaule et le coude sont sur le même plan horizontal. Le rayon incident est centré sur l'articulation du coude; le tube est incliné à 45° vers l'épaule, dans l'axe du bras. Il en résulte une projection ventrale de la tête radiale qui est débarrassée de toute superposition avec le cubitus; le capitellum est également bien dégagé. L'intérêt de cette incidence est donc de déceler dans certains cas des fractures de la tête radiale, du capitellum et de l'apophyse coronoïde non visibles sur les autres clichés.

radiculography

The x-ray study of the spinal nerve roots and their sheaths after the injection in the subarachnoid space of a radiopaque contrast medium.

radiocapitellar line

A line bisecting the proximal radial shaft, normally passing through the capitellum on every radiographic view irrespective of the position in which it is obtained. If the line fails to pass through the capitellum, dislocation of the radial head or displacement of the capitellum is indicated. This is of particular value in recognizing the dislocation component of a Monteggia's fracture.

radiogrammetry

A method for measuring cortical thickness.

Radiogrammetry is based upon vernier caliper measurements of the total subperiosteal diameter and the medullary cavity width of the second metacarpal at its midshaft. These dimensions are compared with norms and standards according to age, sex, and race. This yields an estimate of the relative rates of subperiosteal surface apposition and endosteal surface resorption.

radiculographie;

saccoradiculographie;

radiculosaccographie;

sacco-radiculographie

Radiographie du cul-de-sac dural et des racines rachidiennes rendues visibles par l'injection d'un produit de contraste dans l'espace sous-arachnoïdien.

ligne radiocondylienne

En flexion comme en extension, l'axe de la diaphyse radiale passe par le centre du noyau condylaire. La *ligne radiocondylienne*, rapport anatomique important en traumatologie infantile, est modifiée dans les luxations de la tête radiale; l'axe du radius passe au-dessus du centre du point condylaire épiphysaire inférieur.

radiogrammétrie

Dans les ostéopores, la raréfaction de l'os cortical est surtout visible sur les os longs. Mesurable par *radiogrammétrie*, cette résorption est surtout endostale.

**radiolucent metaphyseal bands;
metaphyseal translucencies**

Bands of increased translucency running transversely across the metaphyses seen in children with leukemia. Such bands may be narrow and incomplete in the early stages of the disease, but in the course of a few weeks they may be found to traverse the metaphysis completely and be as much as 5 mm in width. The most rapidly growing areas — knees, wrists and ankles — are commonly affected first. Similar bands may occur also in scurvy and infections.

NOTE In scurvy, this phenomenon is known as the Truemmerfeld zone.

cf. **Truemmerfeld zone**

radionuclide bone imaging
SEE bone scintigraphy

radioscopy
SEE fluoroscopy

rarefaction of bone
SEE bone rarefaction

relief skull
SEE lacunar skull

**retrolisthesis; reverse
spondylolisthesis**

Backward displacement of one vertebra over another, caused by degeneration of the intervertebral disc. It is most frequent in mobile portions of the spine, particularly the cervical and lumbar spine. In the latter vertebral segment, L1 and L2 are commonly affected.

NOTE A false appearance of reverse spondylolisthesis is seen with scoliosis or with rotation in the lateral views.

bandes claires métaphysaires

Lignes transparentes, de 2 à 5 mm de large, parallèles au cartilage de conjugaison, surtout fréquentes au niveau des zones de croissance rapide comme le genou et le poignet. Elles s'observent dans les leucoses aiguës de l'enfant, le rachitisme et le scorbut.

NOTA Dans le scorbut, ce phénomène porte le nom de zone claire de Lehndorff.

cf. **zone claire de Lehndorff**

rétrolisthésis

Glissement en arrière d'une vertèbre par rapport à la vertèbre sous-jacente, toujours lié à une altération du disque sous-jacent.

NOTE 1. Entendu dans le sens purement descriptif, le terme de rétrolisthésis désigne tous les reculs vertébraux quelle que soit leur cause (traumatisme, spondylarthrites infectieuses, etc.). Au sens plus restrictif qu'on lui accorde d'habitude, il s'applique

retrolisthesis (cont'd)

essentiellement aux glissements postérieurs secondaires à une dégénérescence discale, auquel cas ses deux sièges de prédilection sont la colonne lombaire haute (L1 ou L2) et la colonne cervicale.

2. Le cliché de profil doit être techniquement parfait, de faux rétrolisthésis pouvant être créés par rotation des vertèbres (lombaires) sur leur axe longitudinal.

reverse Barton fracture

Fracture of the volar articular surface of the radius, with associated volar displacement of the carpus on the radius.

NOTE A reverse Barton fracture is a Smith's fracture with an intraarticular component.

cf. **Smith's fracture**

reverse Colles' fracture
SEE **Smith's fracture**

reverse Hill-Sachs lesion

A compression fracture defect of the anterior aspect of the humeral head where it is in contact with the posterior glenoid, occurring in posterior dislocation of the shoulder. Best seen on the axillary view.

reverse Monteggia's fracture
SEE **Monteggia's fracture**

reverse spondylolisthesis
SEE **retrolisthesis**

fracture de Letenneur; fracture de Rhea-Barton inversée (prop.)

Fracture marginale de la face palmaire de l'extrémité distale du radius avec déplacement palmaire du carpe.

cf. **fracture de Pouteau-Colles inversée**

encoche antérieure de Mac Laughlin; encoche de Mac Laughlin

Fracture-tassement de la partie antérieure de la tête humérale qui est écrasée par le rebord glénoidien postérieur dans une luxation postérieure de l'épaule. Observée de préférence sur un profil axillaire.

reverse

reverse Stenvers view
SEE Arcelin's position

Rhese position

An oblique view of the ethmoidal cells, and of the frontal and sphenoidal sinuses.

ribbon-like rib

SEE twisted ribbon rib

rickets

SEE osteomalacia

rider's bone; riders' bone; cavalry bone

Bony formation in the adductor muscles of the leg, from long-continued pressure of the leg against the saddle.

right anterior oblique projection

A projection in the oblique position, at a 45° angle, with the anterior right side of the patient closest to the film or fluoroscopic screen.

ring sign

In scapholunate dissociation, the density produced by the cortex of the distal pole of the scaphoid seen end-on because of the abnormal scaphoid rotation.

incidence de Rhese

Incidence occipito-orbitaire oblique pour la radiographie du crâne, mettant en évidence l'éthmoïde et les cellules éthmoïdales.

ostéome des cavaliers

Ostéome localisé au tiers supérieur des muscles adducteurs de la cuisse, consécutif aux frottements répétés provoqués par l'équitation.

NOTA Il s'agit en fait d'un ostéome hétéroplastique, que l'on pourrait aussi appeler ossification hétérotopique.

incidence oblique antérieure droite

Incidence radiologique où le sujet se place en oblique, son épaule droite en avant contre la cassette formant un angle d'environ 45°.

signe de l'anneau

Le *signe de l'anneau* est un signe d'instabilité scapho-lunaire qui traduit l'horizontalisation du scaphoïde (scaphoïde en flexion) : il est diminué de hauteur et un anneau bien cerclé apparaît à sa partie inférieure. Cet anneau correspond à la projection du scaphoïde qui est vu pratiquement par en dessous.

**Risser-Ferguson method;
Ferguson's method**

A method for measuring the angle of a curve in scoliosis. A small dot is placed at the center of the upper and lower end vertebrae. In addition, a small dot is placed at the center of the apical vertebra. This is usually the vertebra with the most wedging and deformity at the apex of the curve. Straight lines are then drawn from the dot in each end vertebra through the dot in the apical vertebra, and the angle formed by the intersecting lines is measured.

cf. Cobb method

Robert pelvis

A transversely contracted pelvis having a rudimentary sacrum, undeveloped sacral alae, and much narrowed oblique and transverse diameters.

NOTE The Robert pelvis is a bilateral Nägele's pelvis.

Rockwood projection

An anteroposterior projection of the sternoclavicular joint obtained with 40° cephalic tilt and the central ray centered on the manubrium.

roentgenoscopy
SEE fluoroscopy

**méthode de Ferguson-Risser;
méthode de Ferguson**

Méthode permettant de mesurer le degré d'angulation d'une scoliose. On trace deux droites joignant le centre de chaque vertèbre neutre au centre de la vertèbre sommet (la vertèbre la moins inclinée sur l'horizontale et dont la rotation est la plus importante) et on mesure l'angle formé.

cf. méthode de Lippmann-Cobb

bassin de Robert; bassin oblique ovalaire double

Bassin dans lequel il existe une forte dystrophie bilatérale avec absence de développement des ailerons sacrés, synostose des deux articulations sacro-iliaques et rétrécissement transversal très accentué.

NOTA Le bassin de Robert n'est autre qu'un bassin de Naegele bilatéral.

Incidence de Rockwood

Incidence antéropostérieure ascendante à 45° permettant d'examiner l'articulation sterno-claviculaire.

Rolando's

Rolando's fracture

A Y-shaped intraarticular fracture at the base of the first metacarpal.

NOTE There is rarely any displacement of a large diaphyseal fragment, as occurs with a Bennett's fracture, and there is no tendency toward dislocation as in the case of the Bennett's fracture.

Romanus lesions

An early sign of ankylosing spondylitis corresponding to osseous erosions along the anterior margin at the inferior and superior portions of a vertebral body.

cf. shining corners

rosary effect

In ankylosing spondylitis, the appearance of sacroiliac joints as a result of multiple subchondral erosions.

Roser-Nélaton line

SEE Nélaton's line

Roser's line

SEE Nélaton's line

fracture de Rolando

Fracture en Y de l'extrémité proximale du premier métacarpien.

NOTA Il n'y a pas de subluxation du fragment diaphysaire.

signe de Romanus; spondylite

antérieure de Romanus;
spondylite érosive de Romanus;
spondylite antérieure

Signe précoce de la spondylarthrite ankylosante se traduisant par des érosions osseuses aux coins antéro-supérieur ou antéro-inférieur d'un corps vertébral.

cf. éburnation des angles vertébraux

aspect en timbre-poste

Dans la sacroiliite, aspect irrégulier et frangé des articulations sacro-iliaques dû à des érosions osseuses sous-chondrales.

rugger jersey spine

The spine characteristic of secondary hyperparathyroidism due to renal failure, in which thick bands of increased density (osteosclerosis) adjacent to the superior and inferior margins of vertebral bodies produce a horizontal-striped appearance, similar to the design on shirts worn by rugby players. A similar appearance may also be seen occasionally in patients with primary hyperparathyroidism.

NOTE Not to be confused with the sandwich vertebra of osteopetrosis, resulting from a similar although more intense increase in density.

cf. **sandwich vertebra**

rachis en maillot de rugby

Aspect caractéristique du rachis dans l'ostéodystrophie rénale, témoignant d'un hyperparathyroïdisme secondaire, et se traduisant par des bandes transversales d'ostéocondensation (ostéosclérose) le long des plateaux vertébraux qui encadrent une zone centrale ostéopénique.

NOTA À ne pas confondre avec la vertèbre sandwich de l'ostéopétrose, résultant d'une ostéocondensation similaire, mais plus marquée.

cf. **vertèbre sandwich**

**sacralization**

Enlargement of the transverse process of the fifth lumbar vertebra. All gradations may occur, from a slight enlargement to those which are fused with the sacrum and ilium. This condition may be found on one or both sides.

cf. **lumbarization**

sacroiliitis; sacro-ilitis

Inflammation of the sacroiliac joint.

sacralisation

Anomalie de la cinquième vertèbre lombaire consistant dans l'élargissement de l'une ou des deux apophyses transverses, les rendant analogues aux ailerons sacrés. Cette anomalie peut aller jusqu'à la soudure avec le sacrum de ces apophyses transverses ou même du corps de la vertèbre.

cf. **lombalisation de S1**

sacro-ilitis; sacro-iléite

Inflammation de l'articulation sacroiliaque.

sacrolisthesis

sacrolisthesis

A deformity in which the sacrum lies in front of the 5th lumbar vertebra.

sacrolisthésis; sacrum basculé; hiérolisthésis

Glissement du sacrum en avant par rapport à la cinquième vertèbre lombaire, du fait d'un relâchement des ligaments sacro-iliaques soit à la suite de petits traumatismes répétés ou d'un accident, soit au cours de la grossesse. Il se traduit cliniquement par l'exagération de la lordose et des douleurs lombaires.

sagging rope sign

A thin opaque line in the femoral neck that on the anteroposterior view extends laterally from the inferior border of the neck for a variable distance, frequently reaching the superior border. The line is usually curved, sagging at its center; occasionally, it is almost straight. The sagging rope sign is most commonly seen as a residual after severe Perthes disease.

signe de la corde lâche (prop.)

Fine ligne dense prenant naissance au bord inféro-interne du col fémoral et atteignant souvent son bord supéro-externe, sur un cliché de face du col fémoral. Bien que généralement incurvée, cette ligne peut être presque droite. Elle représente une séquelle témoignant d'une atteinte importante du col fémoral dans la maladie de Legg-Perthes-Calvé.

sail vertebra; hook-shaped vertebra

A hypoplastic vertebra in the upper lumbar region, with an inferior beak, seen in mucopolysaccharidoses.

vertèbre en rostre

Vertèbre hypoplasique de la région dorso-lombaire, caractéristique d'une maladie de surcharge de type mucopolysaccharidose ou mucolipidose. Elle peut témoigner également d'une hypothyroïdie.

salt-and-pepper osteoporosis; miliary osteoporosis

A diffuse radiolucency of the bones of the calvaria producing an interspersed stippled appearance, seen in hyperparathyroidism.

ostéoporose granuleuse du crâne

Ostéoporose microlacunaire donnant à l'ensemble de la voûte crânienne une structure granuleuse floue, observable dans l'hyperparathyroïdie.

**Salter-Harris classification of epiphyseal injuries;
Salter-Harris classification**

A classification of growth plate injuries into five groups.

NOTE Type I involves the physis but spares the epiphysis and metaphysis. Type II is similar to type I but a triangular segment of metaphysis is fractured and accompanies the separated epiphyseal fragment. Type III extends from the joint through the epiphysis to the physis, and then along the physis, dislodging a segment of epiphysis. Type IV passes through the joint surface, epiphysis, physis, and metaphysis. Type V is a crushing of the physis.

**classification des traumatismes du cartilage de croissance;
classification de Salter et Harris**

Classification des traumatismes du cartilage de croissance en cinq groupes.

NOTA Le traumatisme du type I correspond à une atteinte isolée du cartilage de conjugaison, l'épiphyse et la métaphyse demeurant intactes. Le traumatisme du type II est caractérisé par un trait qui rompt le cartilage sur une certaine longueur puis se dirige obliquement à travers la métaphyse. Le traumatisme du type III se traduit par un trait épiphysaire vertical qui se poursuit latéralement en rompant le cartilage et en détachant un fragment épiphysaire. Le traumatisme du type IV intéresse la métaphyse, le cartilage de conjugaison et l'épiphyse. Le traumatisme du type V correspond à un tassemement par compression axiale.

sandwich vertebra

A vertebra which manifests radiographically dense superior and inferior portions with normal bone between. A sign of osteopetrosis.

NOTE Not to be confused with the rugger jersey spine of secondary hyperparathyroidism due to renal failure, resulting from a similar although less intense increase in density.

cf. rugger jersey spine

vertèbre sandwich

Vertèbre présentant des bandes d'ostéocondensation adjacentes et parallèles aux plateaux vertébraux, sa partie médiane restant claire. Elle s'observe dans l'ostéopétrose.

NOTA À ne pas confondre avec le rachis en maillot de rugby de l'hyperparathyroïdisme secondaire à une ostéodystrophie rénale, résultant d'une ostéocondensation similaire, mais moins marquée.

cf. rachis en maillot de rugby

Saturn's

Saturn's ring sign

A sign of a dislocated Charnley-Muller prosthesis consisting of changes in the relationship of the ring to the "planet", i.e. the femoral head.

signe de l'anneau de Saturne (prop.)

Signe de luxation de la prothèse de Charnley-Muller consistant en une modification de rapport entre l'anneau et la «planète», c'est-à-dire la tête fémorale.

saucerization

SEE **saucer-shaped erosion**

saucer-shaped appearance

SEE **trumpeting**

saucer-shaped erosion; saucerization

Erosion of the outer cortex of a bone, as seen in neoplastic lesions such as Ewing sarcoma.

érosion en soucoupe

Érosion de la partie externe de la corticale diaphysaire, pouvant être observée dans certaines lésions malignes telles que le sarcome d'Ewing.

scalloping; vertebral scalloping; scalloped vertebra

A vertebral body with exaggeration of the slight normal concavity of its posterior surface. It is seen in association with intraspinal neoplasms and cysts, in syringomyelia, Marfan's syndrome, neurofibromatosis, Ehlers-Danlos syndrome, and in additional skeletal disorders such as achondroplasia, Hurler's syndrome, and Morquio's disease.

festonnement vertébral; scalloping (à éviter)

Exagération de la concavité physiologique de la face postérieure d'un corps vertébral. L'érosion par une masse tumorale du canal rachidien en est la cause la plus classique. Rencontré dans les affections héréditaires du tissu conjonctif (maladie de Marfan), le festonnement vertébral peut faire également partie du tableau radiologique de maladies osseuses constitutionnelles telle l'achondroplasie. Enfin, il a été décrit dans le cadre de la neurofibromatose, en dehors de toute pathologie tumorale associée.

scanography

A special method of radiologic examination in which the x-ray is directed through a slit collimator, and the x-ray tube and collimator are moved over the part to be examined so that the examination is done chiefly with the central x-ray beam, thus diminishing magnification. The technique is used primarily for measurement, as of the length of a long bone.

scaphocephaly; boat-shaped head; canoe-shaped head

The deformity of the skull produced by premature fusion at the sagittal suture. The skull is long and narrow and bears a ridge so that it has the appearance of an upturned boat with a keel.

scapholunate angle; scaphoid-lunate angle; navicular-lunate angle; lunate-navicular angle

An angle formed by a line drawn through the longitudinal axes of the radius, lunate, capitate, and third metacarpal and a line drawn through the longitudinal axis of the scaphoid. On a lateral radiograph of a normal wrist in neutral position, this angle averages 47°, with a range of 30 to 60°. An angle of less than 30° or more than 60° suggests carpal instability.

scanographie

Procédé radiologique utilisant un ensemble formé d'un tube et d'un diaphragme étroit solidaire de celui-ci. En déplaçant cet ensemble parallèlement au plan du film, le rayon X tombant perpendiculairement sur le film inscrira une image en vraie grandeur de la structure radiographiée. Utilisé principalement pour mesurer la longueur des membres inférieurs.

scaphocéphalie

Déformation crânienne comportant un développement considérable d'avant en arrière et un aplatissement latéral (d'où l'allure en coque de bateau), liée à une soudure prématuée de la suture sagittale.

angle scapho-lunaire

L'angle scapho-lunaire varie entre 30 et 60° pour une moyenne de 47°. Dans le cadre des instabilités du carpe, s'observent d'une part une désaxation en Z des axes respectifs du radius, du semi-lunaire et du grand os, et d'autre part des modifications de l'angle scapho-lunaire notamment augmenté dans les instabilités externes telles la disjonction scapho-lunaire.

scapular

scapular Y view; scapula Y projection

A 60° anterior oblique view of the shoulder. The coracoid process and acromion join with the scapula spine, resembling the letter Y. In posterior dislocations the humerus is projected over the acromion and in anterior dislocations beneath the coracoid process.

scapulohumeral arch
SEE **Moloney's line**

Schade's line

A line extending from the lower margin of the posterior aspect of the talar body to the center of the navicular bone, the medial cuneiform bone, and the first metatarsal head, all of which are in straight line.

Scheuermann's disease;

Scheuermann's kyphosis;
kyphosis dorsalis juvenilis;
juvenile kyphosis; adolescent
kyphosis; osteochondritis
deformans juvenilis dorsi;
vertebral epiphysitis

A kyphotic deformity of the lower thoracic spine developing insidiously in children about the period of puberty. On radiographs, irregularity of vertebral contours due to arrested or abnormal vertebral growth is observed in association with Schmorl's nodes. Prolapse of intervertebral disc tissue anteriorly may also be seen as well as wedging or reduction of height of the anterior portion of the vertebral bodies.

profil de l'omoplate

Incidence oblique antérieure à 60° de l'épaule. L'apophyse coracoïde, l'acromion et l'épine de l'omoplate forment une image en Y. Dans les luxations postérieures, l'humérus est projeté au-dessus de l'acromion et dans les luxations antérieures au-dessous de l'apophyse coracoïde.

ligne de Schade

Ligne rejoignant le bord inférieur de la face postérieure de la poulie astragalienne, le centre du scaphoïde, le centre du premier cunéiforme et le centre de la tête du premier métatarsien, qui sont alignés.

maladie de Scheuermann;

dystrophie rachidienne de croissance; cyphose douloureuse des adolescents; cyphose juvénile douloureuse; ostéochondrose vertébrale de croissance; épiphysite vertébrale

Affection vertébrale de l'adolescence, d'étiologie inconnue, caractérisée par des lésions de la zone de croissance ostéochondrale des corps vertébraux entraînant une déformation cunéiforme des corps vertébraux et la constitution de hernies nucléaires intrasomatiques ou rétromarginales antérieures. Elle se signale cliniquement par l'apparition progressive d'une cyphose dorsale douloureuse, à laquelle s'ajoute une certaine raideur dorsale.

Scheuermann's disease (cont'd)

NOTE Although the predominant involvement of the epiphysis of the vertebral rim was initially interpreted as evidence of osteonecrosis, considerable disagreement as to the cause and pathogenesis of this disorder subsequently developed. The basis for the nodes is not clear, although stress-induced intraosseous displacements through congenitally or traumatically weakened portions of the cartilaginous endplate appear probable.

Schmorl's node

Prolapse of the nucleus pulposus into the vertebral body. Schmorl's nodes are seen in disease processes that weaken or disrupt the endplate or subchondral bone, including intervertebral osteochondrosis, Scheuermann's disease, trauma, infection, metabolic and endocrine disorders, and neoplasm.

NOTA Aucune preuve en faveur d'une étiologie, notamment inflammatoire ou vasculaire, n'a été reconnue. Le mécanisme des lésions observées dans cette maladie est très discuté : on ne sait si des micro-traumatismes peuvent être seuls incriminés pour la présence de hernies discales ou s'il existe aussi une prédisposition anatomique ou une anomalie d'ossification préexistante.

hernie discale intraspongieuse; hernie intraspongieuse; nodule de Schmorl

Pénétration d'une partie de la substance du nucleus pulposus dans le corps vertébral. Deux types de hernies discales intraspongieuses sont distingués selon le contexte clinique : les hernies discales intraspongieuses idiopathiques de la maladie de Scheuermann et les hernies discales intraspongieuses secondaires, résultant d'une altération de l'os spongieux sous-chondral d'origine traumatique, néoplasique, métabolique (hyperparathyroïdie) ou dégénérative (discarthrose).

NOTA Lorsque le nodule de Schmorl atteint le bord antérieur du plateau vertébral, il porte le nom de hernie rétromarginale antérieure et relève toujours d'une dystrophie de croissance. Les hernies rétromarginales postérieures sont plus rares, mais possibles.

Schüller

Schüller projection; Schüller position

A semiaxial transcranial projection of the temporomandibular joint, taken with the head turned to the lateral position and central ray angled 25° caudad.

Incidence de Schüller

Incidence asymétrique du crâne utilisée pour radiographier la région pétromastoïdienne. Le malade est placé strictement de profil; le rayon directeur est incliné de 25° sur le plan d'examen, en direction caudale.

Schüller's disease

SEE **osteoporosis circumscrip**ta

sclerotic bone island

SEE **bone island**

scotty dog sign; scotty dog appearance

A sign of defective ossification in the pars interarticularis of a vertebra (spondylolysis). On oblique views of the lumbar spine, the appearance of the posterior elements has been likened to that of a scotty dog. The pedicle and transverse process form the eye and nose; the superior and inferior articular processes form the ear and leg; and the pars interarticularis forms the neck. A defect in the pars interarticularis thus appears as a collar around the neck of the scotty dog.

NOTE It is now believed that the majority of these lesions are attributable to stress fractures of one or both sides of the neural arch through the relatively weak pars interarticularis.

scout view

Computed tomography is particularly helpful once a tumor has been localized by a *scout view*. This technology is extremely helpful in geographic delineation of the lesion and evaluation of subtle cortical breakthrough.

image du petit chien à collier; image du petit chien décapité

Image de spondylolyse isthmique, c'est-à-dire d'insuffisance d'ossification de l'isthme vertébral, visible sur les clichés de trois quarts. Cette zone mal ossifiée est responsable du «collier» du petit chien de Lachapèle.

scanogramme; topogramme; scout-view (à éviter)

Méthode annexe de la tomodensitométrie permettant le repérage automatique du plan de coupe.

segmental fracture

A fracture in which a segment of the shaft is isolated by a proximal and a distal line of fracture. There may be multiple segments.

cf. double fracture**sellar-cranial index**

The ratio between the anteroposterior diameter of the sella turcica and the anteroposterior diameter of the skull, multiplied by 100. An index ranging from 5 to 7 is considered normal. An index of 8 or more should be considered abnormal and strongly suggestive of the presence of a space-occupying lesion.

sequestrum

A fragment of necrotic tissue which has become detached from the surrounding viable tissue. This is a characteristic finding of pyogenic osteomyelitis.

sesamoid index

The product of the two longest perpendicular diameters of the medial sesamoid bone at the metacarpophalangeal joint of the first digit. The normal product of these two dimensions is a median of 20, with a range of 12 to 29. When this index is greater than 30, it is considered a sign of acromegaly.

Settegast position**SEE sunrise view****sharpened appearance****SEE pencil-in-cup deformity****fracture à double étage**

Variété de fracture où il existe deux traits grossièrement parallèles détachant un troisième fragment intermédiaire.

cf. fracture double**index sellaire**

Rapport entre les diamètres antéro-postérieurs de la selle turcique et du crâne, multiplié par 100. Sa valeur normale se situe entre 5 et 7. Un index supérieur à 8 doit faire soupçonner la présence d'une tumeur hypophysaire.

séquestre

Fragment osseux nécrosé, détaché du reste de l'os, à l'intérieur d'un foyer pathologique osseux, par exemple dans un foyer d'ostéomyélite.

index sésamoïdien

Index correspondant au produit de la longueur et de la largeur en millimètres de l'os sésamoïde interne de l'articulation métacarpophalangienne du pouce. Sa valeur normale est de 20 mm²; dans l'acromégalie, il est toujours supérieur à 30 mm².

**Sharp's acetabular angle;
Sharp's angle**

A measurement of acetabular dysplasia. A horizontal line is drawn connecting the inferior margins of the pelvic teardrop. An angle is formed between this line and a further line connecting the inferior margin of the teardrop and the upper and outer margin of the same acetabulum.

shear fracture

Shear fractures of the spine are identified by the presence of translational displacement without evidence of rotation, of a wedge fracture, or of angular displacement to suggest flexion. These fractures are unstable, and neurological deficit is common.

**Shenton's line; Shenton's arch;
cervico-obturator line**

A smooth, curved line extending from the inferior border of the femoral neck to the inferior border of the pubic ramus; it is disturbed in many lesions of the hip joint, such as congenital dislocation or hip fracture.

shepherd's crook deformity

Pronounced curvature of the femoral neck and proximal portion of the femoral shaft, producing a severe coxa vara abnormality. Characteristic of fibrous dysplasia but also seen in osteogenesis imperfecta.

Shepherd's fracture

Fracture of the lateral tubercle of the posterior process of the talus (which may simulate an os trigonum).

**angle acétabulaire de Sharp
(prop.)**

Angle permettant d'évaluer une dysplasie acétabulaire, formé par une ligne horizontale effleurant le bord inférieur du U cotoyoïden et une ligne reliant le bord inférieur du U cotoyoïden au bord supéro-externe de l'acétabulum.

fracture par cisaillement

La *fracture par cisaillement* et la *fracture par rotation* du rachis constituent les fractures les plus instables et comportent le plus grand risque médullaire.

**ligne de Ménard; cintre
cervico-obturateur; ligne de
Shenton**

Courbe formée par le bord inférieur du col fémoral et le bord inférieur de la branche pubienne correspondante, dont la rupture peut être observée dans plusieurs coxopathies telles que la malformation luxante de la hanche.

**déformation en crosse;
déformation en crosse d'évêque**

Incurvation du col fémoral caractéristique de la dysplasie fibreuse des os, mais également observable dans l'ostéogénèse imparfaite.

**fracture de Cloquet-Shepherd;
fracture de Shepherd**

Fracture isolée du tubercule postéro-externe de l'astragale.

shining corners; shiny corner sign; shiny corners

In ankylosing spondylitis, bony sclerosis developing at the sites of vertebral erosions, at the anterosuperior and anteroinferior corners of the vertebral bodies.

cf. Romanus lesions**sideswipe fracture**

A comminuted fracture of the elbow sustained by severe direct trauma to the elbow protruding from the window of an automobile when the upper extremity is resting on the window ledge. The result is a markedly comminuted fracture of the distal humerus. In addition, the fracture may involve the shaft of the humerus, the olecranon, the shaft of the ulna, and extend to include the head of the radius and coronoid process.

**silver beaten appearance
SEE hammered brass appearance****Simon's line**

A line drawn from the outer lateral surface of the neck of the femur extending upward to the outer surface of the acetabulum and lateral margin of the ilium. Interruption of this line is suggestive of hip dislocation.

**simple fracture
SEE closed fracture****éburnation des angles vertébraux**

La spondylite antérieure constitue un signe précoce de valeur pour le diagnostic de la spondylarthrite ankylosante. Il s'agit d'une érosion osseuse ou «ostéite» concernant le coin antéro-supérieur ou antéro-inférieur du corps vertébral. Cette lyse osseuse entraîne une *éburnation des angles vertébraux*.

cf. signe de Romanus**fracture du coude de l'automobiliste (prop.)**

Fracture comminutive du coude par traumatisme direct sur le coude chez l'automobiliste conduisant le coude appuyé sur le rebord de la portière. Il en résulte une fracture comminutive de la portion distale de l'humérus pouvant impliquer la diaphyse humérale, l'olécrane, la diaphyse cubitale et même la tête radiale et l'apophyse coronoïde.

ligne de Simon (prop.)

Ligne suivant le contour supéro-externe du col fémoral et se prolongeant vers le haut le long de la face externe du cotyle et de l'ilion. La rupture de cette ligne fait soupçonner une luxation de la hanche.

Singh Index

An index used for the assessment of osteoporosis, based on the observation of the trabecular patterns of the femoral neck, graded 1 to 7. As bone loss develops, these trabecular groups disappear in a reverse order.

index de Singh; index trabéculaire du col fémoral; indice de Singh; indice du col fémoral de Singh

Index permettant d'évaluer le degré de perte osseuse dans l'ostéoporose, déterminé par l'analyse de l'arrangement trabéculaire du col et de la tête fémorale coté de 1 à 7. La disparition progressive des travées dans l'ostéoporose est évaluée de 7 à 1.

NOTA L'ostéodensitométrie remplace de nos jours cette technique.

sinography

Radiographic use of a contrasting medium to visualize a sinus tract.

Sinography is the simplest form of contrast radiography, the medium (usually one of the ionic water-soluble compounds) is injected into an open sinus; the film shows the track and whether or not it leads to the underlying bone or joint.

fistulographie

Radiographie d'un trajet fistuleux après injection directe d'un produit de contraste dans son orifice externe.

La *fistulographie* est une méthode d'examen des parties molles qui permet d'établir les connexions éventuelles entre un orifice cutané et un foyer osseux profond.

skeletal scintigraphy

SEE bone scintigraphy

skier's injury

SEE boot-top fracture

skier's thumb

SEE gamekeeper's thumb

ski-jump projection

SEE Harris-Beath view

ski-jump view

SEE Harris-Beath view

Skilern's fracture

Complete fracture of the distal third of the radius with greenstick fracture of the lower third of the ulna.

fracture de Skilern

Fracture complète du tiers distal du radius avec fracture en bois vert du tiers distal du cubitus.

Skinner's line

A horizontal line drawn from the top of the greater trochanter of the femur, as seen in the anteroposterior view, to the top of the obturator foramen of the pelvis. In fractures with shortening of the femur the greater trochanter will be displaced above this line.

skyline view

SEE sunrise view

slipped capital femoral

epiphysis; adolescent coxa vara

A condition most commonly seen in adolescence in which the proximal femoral epiphysis becomes displaced in relation to the growth plate.

NOTE The term "slipped epiphysis" most commonly refers to this condition.

slipped epiphysis

SEE **slipped capital femoral epiphysis**

Smith's fracture; reverse Colles' fracture

Transverse fracture of the distal radial metaphysis with anterior displacement of the distal fracture fragment. The fracture may be intraarticular.

NOTE As originally described by Smith, this fracture involved a dorsal displacement of the distal ulna, which is not the case in its current use.

ligne de Skinner (prop.)

Ligne horizontale tracée sur un cliché de face de l'extrémité supérieure du grand trochanter au bord supérieur du trou ischiopubien. Dans les fractures avec raccourcissement du fémur, le grand trochanter dépasse cette ligne.

épiphiolyse; coxa vara essentielle de l'adolescence; coxa flexa; coxa vara des adolescents; épiphiolyse fémorale supérieure de l'adolescent; épiphyséolyse

Terme souvent réservé à une variété de coxa vara survenant vers la fin de l'adolescence, caractérisée par le déplacement de la tête fémorale qui glisse sur le cartilage de conjugaison.

fracture de Pouteau-Colles

inversée; fracture de Goyrand; fracture de Goyrand-Smith; fracture de Pouteau inversée (prop.)

Fracture de l'extrémité distale du radius avec bascule antérieure du fragment distal (inverse de celui de la fracture de Pouteau).

snowcap

snowcap appearance; snow-cap appearance

Ischemic necrosis of the femoral capital epiphysis is characterized initially by dense areas appearing in the femoral head. These areas may take the form of a bandlike linear opacity along the articular surface, or may follow the epiphyseal line. Widening of the epiphyseal cartilage plate may then occur. Spherical segmental opacities then appear, giving the so-called "snow-cap" appearance.

soap-bubble appearance

Circular, sharp-edged radiolucencies within bone seen in cases of osseous rarefaction.

sonography SEE ultrasonography

Sontag, Snell, and Anderson method

A method for assessing skeletal maturity.

cf. bone age

spade appearance; arrowhead appearance

Increase in the breadth of the tufted ends of the distal phalanges in acromegaly.

sphenoid angle SEE basal angle

aspect en calotte polaire (prop.)

Opacité d'un segment de la sphère céphalique fémorale dans la nécrose aseptique.

aspect en bulle de savon

Dans l'ostéochondrose on rencontre une zone radiotransparente polylobée, cernée par un liseré de condensation, avec présence de calcifications et aspect en «bulle de savon».

méthode de Sontag, Snell et Anderson (prop.)

Méthode destinée à évaluer l'âge osseux.

cf. âge osseux

aspect en ancre de marine

Aspect caractéristique des houppes des phalanges unguérales dans l'acromégalie, correspondant à une hypertrophie ostéophytique.

spiculation

A nonspecific sign of various bone diseases such as Ewing's sarcoma, chondrosarcoma, metastatic carcinoma, syphilis, chronic osteomyelitis, and chronic hemolytic anemia. The sign consists of short or long, fine or coarse periosteal spicules which are perpendicular to the cortex. They may be few in number or form a well developed palisade.

spilled teacup sign

A sign of volar lunate dislocation seen on a lateral radiograph and characterized by the rotation of the distal articular surface of the lunate which is tipped volarly.

spinal arteriography

Radiographic visualization of the spinal cord vessels by controlled injection of contrast media into the aorta at the site of origin of appropriate vessels, performed by artery catheterization.

spina ventosa

Tuberculosis of bone in which the bone is expanded and the cortex thinned. It usually occurs in the phalanges.

spindle-shaped
SEE **fusiform**

spiral fracture

A fracture of a long bone that is spiral or helical in outline and is due to torsional force.

spiculation

Réaction périostée apparaissant sous l'aspect de fins spicules perpendiculaires au cortex. Ce type de réaction se rencontre principalement dans les tumeurs rapidement évolutives, beaucoup plus rarement dans les métastases et très exceptionnellement dans les lésions infectieuses.

**signe de la tasse renversée
(prop.)**

Dans la luxation antérieure du semi-lunaire, bascule de la partie distale du semi-lunaire dont la face antérieure est dirigée vers le haut, visible sur un cliché de profil.

artériographie médullaire

Examen radiologique des artères de la moelle épinière après opacification à partir de l'aorte.

spina ventosa

Variété de tuberculose osseuse se rencontrant au niveau des os longs du pied et de la main (phalanges) et caractérisée par l'aspect boursouflé du corps de l'os avec amincissement de son tissu.

fracture spiroïde; fracture en spirale

Variété de fracture engendrée par un mouvement de torsion, et dont le trait décrit une spirale.

spondylolisthesis

spondylolisthesis

Forward displacement of one vertebra over another, usually of the fifth lumbar over the body of the sacrum, or of the fourth lumbar over the fifth.

NOTE The complete type of spondylolisthesis in which the body of L5 lies in front of the sacrum is called spondyloptosis.

spondylolisthésis

Déplacement d'un corps vertébral en avant du corps vertébral sous-jacent, siégeant presque exclusivement au niveau des dernières lombaires : glissement de L5 en avant de S1 ou de L4 en avant de L5.

NOTA 1. Le glissement de L5 sur S1 résulte généralement d'une spondylolyse et celui de L4 sur L5 d'une arthrose facettaire. Les autres causes sont beaucoup plus rares : traumatismes, élongation et amincissement de l'isthme d'origine congénitale, résultant d'un trouble de la croissance, ou secondaires à des lésions ostéoporotiques, ostéomalaciaques ou métastasiques.

2. La spondyloptose est une variété très accentuée de spondylolisthésis.

spondylolyse; spondyloschisis; lyse isthmique

Solution de continuité uni ou bilatérale de l'arc vertébral postérieur passant au niveau de l'isthme interarticulaire. La cause précise de la spondylolyse demeure incertaine. Il peut s'agir d'une lésion congénitale ou acquise au cours de la période de croissance, mais elle peut aussi être en rapport avec un traumatisme unique ou des microtraumatismes répétitifs.

cf. **spondylolisthésis**

spondylolysis

A defect developing in one or both sides of the neural arch of usually the fifth, and occasionally the fourth, lumbar vertebra, resulting in a loss of bony continuity of the pars interarticularis. Once thought to be a congenital defect, it is now known to develop during postnatal life. It may also represent a stress fracture from often-repeated stresses or an ordinary fracture from a single injury. The precise etiology of spondylolysis, however, remains obscure.

NOTE When bilateral defects are present, the anterior vertebral body may slip forward while the posterior arch remains behind; the result is a true spondylolisthesis.

cf. **spondylolisthésis**

spondyloptosisSEE **spondylolisthesis****spontaneous fracture**

A fracture occurring without any external injury.

spotted bonesSEE **osteopoikilosis****sprung pelvis**

An outwardly opened pelvis resulting from dislocation of both sacroiliac joints and diastasis of the symphysis pubis caused by anterior compressive forces.

squaring

Loss of the usual anterior concavity of the vertebral body in ankylosing spondylitis.

stable fracture

A fracture that does not tend to displace once it has been reduced and immobilized.

stellate fracture

A star-shaped fracture of a flat bone in which numerous fissures radiate from a central point of injury.

fracture spontanée

Fracture survenant en dehors de tout traumatisme.

bassin ouvert (prop.)

Bassin résultant d'une luxation bilatérale des articulations sacroiliaques et d'une rupture de la symphyse pubienne par compression antérieure.

équarissement somatique vertébral (prop.); vertèbre carrée; mise au carré

Effacement de la concavité du bord antérieur du corps vertébral, caractéristique de la spondylarthrite ankylosante.

fracture stable

Fracture dont les fragments n'ont pas tendance à se déplacer après réduction et immobilisation.

fracture stellaire; fracture en étoile; fracture étoilée

Fracture d'un os plat dans laquelle plusieurs traits fracturaire confluant au point d'application du traumatisme affectent grossièrement la forme d'une étoile.

Stenvers

Stenvers projection; Stenvers view; Stenvers position

Radiographic projection devised to provide an unobstructed view of the petrous bone, bony labyrinth, internal auditory canal, and meatus, performed by placing the face at a 45° angle to the cassette and angling the x-ray tube 12° cephalad.

stereoradiography

Taking roentgenograms from two slightly different angles so that when they are viewed through a stereoscope, there will be a stereoscopic effect.

Stieda's disease

SEE **Pellegrini's disease**

Stieda's fracture

SEE **Pellegrini's disease**

straddle fracture

Bilateral fractures of the superior and inferior pubic rami.

stress fracture

SEE **fatigue fracture**

incidence de Stenvers

Incidence asymétrique du crâne, utilisée pour radiographier le rocher et l'oreille interne.

stéréoradiographie; radiographie stéréoscopique

Radiographie qui permet d'obtenir des clichés donnant l'impression de relief, grâce à un stéréoscopie par lequel on observe simultanément deux images prises sous deux angles différents.

fracture double de l'arc antérieur (du bassin)

Fracture du bassin emportant les quatre branches ilio et ischiopubiennes.

Stryker notch view

A tangential view of the posterior lateral surface of the humeral head. The patient is placed supine on the examination table with the cassette under the shoulder, and the palm of the hand of the affected shoulder is placed on top of the head. The elbow then points straight upward. The central beam is centered over the coracoid process with 10° cephalic tilt. Used to visualize the Hill-Sachs lesion in anterior dislocation of the shoulder.

subchondral cyst; geode

A lesion at the end of a long bone which appears to be confined to the subchondral area. These lesions are thought to arise from ingrowth of synovial membrane, but a connection between the marrow cavity and the surface of the bone is not apparent radiologically. Cysts may also occur in the shaft of a phalanx.

sucked candy appearance

SEE **pencil-in-cup deformity**

sulcus angle

An angle formed by the highest points of the medial and lateral femoral condyles and the lowest point of the intercondylar sulcus. Shallow sulcus angles (greater measurements) are related to recurrent patellar dislocation. The normal value is $138 \pm 6^\circ$.

incidence de Stryker

Incidence tangentielle de la surface articulaire postéro-externe de la tête humérale. Le patient est en décubitus, la cassette sous l'épaule et la main sur la tête de manière à ce que le coude pointe vers le haut. Le rayon directeur, incliné de 10° en direction de la tête, est centré sur l'apophyse coracoïde. Cette incidence permet de visualiser la lésion de Hill-Sachs dans une luxation antérieure de l'épaule.

géode

Formation pseudo-kystique située au niveau de l'os sous-chondral, faite de tissu conjonctif vasculaire non minéralisé qui a pris la place de l'os spongieux.

angle trochléen

Angle que font les joues externe et interne de la trochlée fémorale; il est normalement de 120 à 142°. Un angle trochléen supérieur à 145° signale une trochlée trop plate.

sunburst

sunburst appearance; sun-ray appearance

Trabeculae of new bone radiating outward from a central focal point, characteristic of osteosarcoma.

cf. **hair-on-end appearance, velvet appearance**

image en feu d'herbes; aspect en rayons de soleil

Image spiculaire observée dans l'ostéosarcome. Les spicules divergent plus ou moins les uns par rapport aux autres suivant qu'ils sont implantés au centre ou à la périphérie de la zone corticale réactionnelle, de telle sorte que les spicules centraux qui sont aussi les plus longs sont dirigés perpendiculairement par rapport à l'os, alors que les spicules externes sont de plus en plus obliques.

cf. **aspect en poils de brosse, aspect en velours**

sunrise view (spec.); skyline view (spec.); Settegast position (spec.)

An axial view of the patella, with the patient prone, the knee flexed as much as possible, and the central ray directed through the joint space between the patella and the femoral condyles. It is used to demonstrate vertical fractures of the patella, and to investigate the articulating surfaces of the femoropatellar articulation. The patient may also be placed in the supine position.

cf. **Hughston view, Laurin's projection, Merchant view**

surface erosion

A lesion developing remote from the joint margins and involving the subchondral plate.

NOTE It is referred to as a pocketed erosion or pocket erosion when, in one or more radiographic projections, there is no apparent opening to the joint space, or only a narrow opening.

Incidence fémoro-patellaire (gén.)

Incidence tangentielle de l'articulation fémoro-patellaire, réalisée de diverses manières : le patient peut être placé en décubitus, en procubitus ou même debout, le genou fléchi à divers degrés.

cf. **incidence de Hughston, incidence de Laurin, incidence de Merchant**

érosion de surface

Lésion apparaissant à distance d'une surface articulaire et touchant la plaque sous-chondrale.

sutural bonesSEE **wormian bones****swan-neck deformity**

A finger deformity in which there is a flexion contracture of the metacarpophalangeal joint, hyperextension of the proximal interphalangeal joint, and flexion of the distal interphalangeal joint.

Sweet's method

Radiological method using a special device for locating opaque foreign bodies within the orbit.

swimmer's projection; swimmer's view; Twining position

A radiographic position used to obtain a lateral projection in which the cervicothoracic vertebrae are not obscured by the shoulders. The patient is erect, and the film is parallel to the median sagittal plane and centered to the adjacent axilla. The shoulder nearer the film is rotated forward and elevated by placing the hand on top of the head; the farther shoulder is depressed and rotated back. The central ray is horizontal or, if the shoulder cannot be depressed, directed toward the feet at an angle of up to 15°.

déformation en col de cygne

Déformation des doigts caractérisée par la flexion des métacarpo-phalangiennes, l'hyperextension des interphalangiennes proximales et la flexion des interphalangiennes distales.

méthode de Sweet

Technique radiographique permettant de localiser à l'aide de repères extra-oculaires les corps étrangers opaques aux rayons X situés dans le globe oculaire.

Incidence du nageur

Incidence de profil pour l'étude de la charnière cervico-dorsale. Le bras le plus proche du tube à rayons X est plaqué le long du corps; le bras opposé est remonté en avant. Le rayon incident, centré sur la base du cou, est incliné de 5 à 10° vers les pieds.

syndesmophyte

syndesmophyte

A vertically oriented calcification or ossification adjacent to a vertebra or intervertebral disc. It is thought to arise from the outer margin of the anulus fibrosus, from the margin of the vertebral body at the corner of the vertebra or from connective tissue adjacent to the mid-portion of the vertebra. As the syndesmophyte enlarges, it extends longitudinally and eventually results in bridging between vertebral bodies.

syndesmophyte; ossification intersomatique

Ossification entre deux corps vertébraux adjacents qui se développe dans l'espace interdiscoligamentaire et dans la partie superficielle de l'anneau fibreux discal. Le syndesmophyte apparaît à son début soit au-delà de l'angle vertébral, sur le bord latéral du corps vertébral, soit au listel marginal, sous la forme d'un trait calcique se dirigeant verticalement. Il va s'épaissir au cours de l'évolution et constituer progressivement un pont osseux intervertébral en fusionnant avec les angles vertébraux.

synovial cyst

A cyst arising either from the synovial membrane of a joint, a bursa, the synovial sheath of a tendon, or connective tissue surrounding a joint. It is seen most frequently on the dorsal aspect of the wrist or in the popliteal space.

kyste synovial

Kyste développé aux dépens d'une synoviale articulaire (kyste arthrosynovial), d'une bourse séreuse, d'une gaine tendineuse, ou encore du tissu conjonctif péri-articulaire. Les deux variétés de loin les plus fréquentes sont le kyste synovial du dos du poignet et le kyste poplité, ou kyste de Baker.

synovial pseudarthrosis

SEE **nonunion**



talocalcaneal angle; Kite's angle

The angle between the midcalcaneal line and the midtalar line. In the anteroposterior view this angle varies from 30 to 50° in infants and children, with a progressive decrease in the angle

angle de divergence astragalo-calcanéenne

Angle formé par les axes de l'astragale et du calcanéum. Sur un cliché de face, cet angle varie de 30 à 50° chez les jeunes enfants et décroît ensuite avec l'âge. Après 5 ans cet angle est

talocalcaneal angle (cont'd)

up to 5 years of age. In children over 5 years of age and into adulthood, the value remains constant and varies from 15 to 30°. In the lateral view, the angle varies between 25 and 50° but does not change with age.

talonavicular angle;

Giannestras's talonavicular angle

The angle between the midtalar line and the line representing the axis of the intermediate cuneonavicular joint. This angle varies between 60 and 80° in the normal foot. A decreased value is often associated with pes planus.

tam-o'-shanter skull

In osteogenesis imperfecta, temporal bulge and overhang of the occipital bones due to a poorly ossified calvarium sagging over the base of the skull. Platibasia is invariable and basilar impression common.

de 15 à 30°. Sur le cliché de profil l'angle varie normalement de 25 à 50°, mais ne change pas avec l'âge.

angle de Giannestras

Angle formé par l'axe de l'astragale et par la droite prolongeant l'interligne articulaire scaphoïde-deuxième cunéiforme; valeur normale : 60 à 80°. Un angle moindre peut être le reflet d'un pied plat.

crâne à rebord; crâne à rebord d'Apert; crâne en béret basque

Déformation crânienne parfois observée dans l'ostéogénèse imparfaite : crâne élargi transversalement avec saillie en bourrelet des régions temporo-pariétales et occipitales. Cette déformation due en partie à un retard de l'ossification de la voûte, s'associe parfois à une extrême minceur de celle-ci, et à une impression basilaire en rapport avec un retard de l'ossification de la base.

NOTA On utilise parfois le terme crâne en chignon pour désigner plus spécifiquement le crâne avec saillie occipitale.

tarsal coalition

Two or more tarsal bones joined together by a bridge or bar (osseous, cartilaginous, fibrous, or a combination) often producing a peroneal spastic flatfoot. The commonest forms are talocalcaneal and calcaneonavicular coalitions although other types such as talonavicular, naviculocuboid and naviculocuneiform have been described.

teardrop distance

The distance from the lateral margin of Köhler's teardrop to the medial border of the proximal femoral metaphysis. A distance greater than 11 mm or more than 2 mm greater than that of the opposite hip is indicative of hip joint disease.

teardrop fracture

Comminuted vertebral body fracture with a displaced anterior fragment. It is caused by an axial compression force with flexion of the mid-cervical spine. The same term sometimes is applied to an extension injury. It implies possible instability with posterior displacement of the vertebral body producing spinal cord damage.

NOTE A few authors have considered the flexion teardrop fracture and the burst fracture (caused by vertical compression) to be the same entity; however, the majority have recognized that their mechanisms of injury and pathophysiology differ, that their roentgen appearances, while

synostose du tarse; synostose tarsienne

Pont (osseux; cartilagineux ou fibreux) entre deux os du tarse, notamment entre l'astragale et le calcanéum, ou le calcanéum et le scaphoïde. La synostose du tarse se présente en règle générale sous l'aspect d'un pied plat spastique.

distance tête fémorale-U cotyloïdien

Distance entre le bord externe de l'U cotyloïdien et le point le plus proche de la tête fémorale. Une atteinte de la hanche doit être soupçonnée si cette distance est supérieure à 11 mm ou si la différence entre les deux côtés est supérieure à 2 mm.

fracture en larme (prop.); fracture tear-drop (à éviter)

Fracture comminutive, caractéristique des traumatismes cervicaux, avec luxation postérieure du corps vertébral, résultant d'un mécanisme de compression verticale associée à une hyperflexion. Un fragment antérieur est repoussé en avant, prenant l'aspect d'une larme.

NOTA Les fractures corporéales comminutives résultant aussi d'un mécanisme de compression verticale, certains considèrent que ces fractures doivent être décrites comme une variante des fractures en larme. En fait, il faut les distinguer sur la base de mécanismes différents et sur leur aspect radiologique dissemblable.

teardrop fracture (cont'd)

sometimes similar, are distinctive, and that there is a significant difference between their neurologic complications.

teardrop sign

A sign of ankle effusion. As the anterior recess becomes distended, a lateral radiograph demonstrates a teardrop-shaped water density that displaces and deforms the pretalar fat pad and extends for a variable distance anteriorly from the ankle joint along the neck of the talus.

Terry-Thomas sign

A gap between the navicular and lunate seen on frontal radiographs of the wrist in rotary subluxation of the navicular. This gap has been colorfully compared to the upper central dental diastema of the famous British comedian Terry Thomas.

Thazos method**SEE angle of anteversion****thermography**

A technique wherein an infrared camera is used to photographically portray the surface temperatures of the body, based on the self-emanating infrared radiation.

signe de la larme

Signe observé dans un épanchement de la cheville, caractérisé par une distension du récessus capsulaire antérieur associée à un refoulement du liséré graisseux pré-astragalien.

signe de Terry-Thomas

Diastasis scapho-lunarien supérieur à 3 mm observé sur la radiographie de face du poignet lors d'une subluxation rotatoire du scaphoïde. Cet écart a été comparé à un diastome dentaire.

thermographie

Procédé permettant la visualisation et l'enregistrement du rayonnement thermique émis par l'organisme à travers la peau.

thin line of calcification

In chondrocalcinosis articularis, calcified deposits develop in hyaline cartilage and fibrocartilage and in the joint capsules. The large joints are affected most often, especially the knees. The symphysis pubis is the second most common site of involvement. The roentgenograms demonstrate a characteristic picture. The menisci may show calcification. Very often there is a *thin line of calcification* in the articular cartilage which runs parallel with and slightly separated from the subchondral bony cortex. Calcification is found also in the articular cartilage and the fibrocartilage of other large joints, as well as within or adjacent to the joint capsule.

thumb boutonnière deformity;
boutonnière deformity of the thumb; Z-shaped deformity (of the thumb)

The most common deformity of the thumb in rheumatoid arthritis, characterized by flexion of the metacarpophalangeal joint and hyperextension of the interphalangeal joint.

Thurston-Holland sign; Thurston Holland's fragment; Thurston Holland's corner sign

The triangular metaphyseal fragment that accompanies the epiphysis in an epiphyseal separation.

liséré calcique

Calcification bordant la plaque osseuse sous-chondrale, observée sur les ménisques et bourrelets intra-articulaires, mais aussi sur les ligaments adjacents, le cartilage symphysaire, les disques intervertébraux. On note également certains sièges extra-articulaires tels que la face antérieure de la partie terminale du tendon d'Achille. Le liséré calcique se retrouve en particulier dans la chondrocalcinose.

déformation du pouce en Z; pouce en Z

Déformation la plus fréquente du pouce au cours de la polyarthrite rhumatoïde, caractérisée par la flexion de la métacarpo-phalangienne et l'hyperextension de l'interphalangienne.

NOTA La déformation du pouce en Z est analogue à la déformation en boutonnière des doigts.

signe de Thurston-Holland (prop.)

Fragment métaphysaire triangulaire qui reste attaché à l'épiphyse dans un décollement épiphysaire.

Thurston-Holland sign (cont'd)

NOTE Found in Salter-Harris injury type II.

cf. Salter-Harris classification of epiphyseal injuries

tibial plateau angle

An angle defined by a line drawn tangential to the tibial crest, a second line tangential to the proximal tibial articular surfaces and a third line perpendicular to the tibial crest line. The interval found between the second and third lines defines the angle. The normal angle range from 7 to 22° with a mean of 14° and a standard deviation of $\pm 3.6^\circ$. This angle is useful in determining the degree of depression of the tibial plateau due to fracture.

tibiotalar slant

An angled deformity of the tibiotalar joint due to asymmetrical growth of the distal tibial epiphysis. The medial aspect of the joint may be a half inch lower than the lateral articulating margin. Seen in hemophilia, juvenile rheumatoid arthritis, sickle-cell anemia, fracture, and multiple epiphyseal dysplasia.

NOTE The tibiotalar slant may be a positioning artifact, caused by external rotation and elevation of the proximal tibia, if the central ray of the x-ray beam is not perpendicular.

NOTA Correspond au traumatisme de type II dans la classification de Salter et Harris.

cf. classification des traumatismes du cartilage de croissance

angle du plateau tibial (prop.)

Angle calculé à partir de la tangente à la crête tibiale, de la tangente au plateau tibial et d'une troisième ligne tracée à partir du point de rencontre de ces deux tangentes, et perpendiculaire à la première. L'angle que forme ces deux dernières lignes constitue l'angle du plateau tibial. Il se situe normalement entre 7 et 22°, pour une moyenne de $14 \pm 3,6^\circ$. Cet angle permet d'évaluer l'enfoncement dans une fracture du plateau tibial.

bascule de l'articulation tibio-tarsienne

Déformation en pente de l'articulation tibio-tarsienne liée à la croissance anormale de l'épiphyse tibiale. La surface interne de l'articulation se trouve plus basse que la surface articulaire externe. Les causes les plus fréquentes : hémophilie, arthrite chronique juvénile, drépanocytose, fracture et dysplasie polyépiphysaire.

NOTA À ne pas confondre avec un artéfact résultant de la rotation externe et de l'élévation de la partie supérieure du tibia lorsque le rayon directeur n'est pas perpendiculaire au plan articulaire.

Tillaux

Tillaux fracture; Tillaux-Kleiger fracture

Intraarticular fracture of the anterolateral part of the distal tibial epiphysis in children aged 12-14 years.

toddler's fracture

An oblique fracture of the tibia occurring in children. Seen in oblique view as a long or short hairline translucency.

tomography; body-section roentgenography; body section roentgenography; body-section radiography

An imaging technique using continuous motion of the radiographic tube and the film cassette in opposite directions throughout the exposure to blur out structures above and below the area being examined, sharply outlining the object to be studied on a single plan of focus, as in polytomogram, planogram, or zonogram.

fracture de Tillaux

Fracture de la partie antéro-externe de l'épiphyse tibiale inférieure, survenant chez des enfants en fin de croissance.

fracture des premiers pas (prop.); fracture des tout petits (prop.)

Fracture non déplacée, à trait de fracture spiroïde ou oblique, très fin (comme un cheveu), observée au niveau du tibia chez l'enfant qui débute la marche.

tomographie

Procédé d'exploration radiologique ayant pour but d'obtenir la radiographie d'une mince couche d'organe à une profondeur voulue. Le principe de la méthode repose sur le déplacement simultané du tube radiogène et du film autour d'un axe passant par le plan de coupe; au niveau de ce plan les images sont nettes, tandis qu'elles sont floues sur les plans situés en avant et en arrière. La forme du déplacement varie avec les appareils employés (tomographe, stratigraphie, planigraphie), qui donnent des résultats peu différents.

tongue fracture; tongue fracture of Essex-Lopresti

Horizontal fracture of the posterior-superior surface of the calcaneus.

fracture en languette de Essex-Lopresti

Fracture du thalamus à trait horizontal qui rejoint la tubérosité postérieure du calcanéum.

tonguelike defect (of vertebra)

In mucopolysaccharidoses, the vertebrae, especially in the lower thoracic and upper lumbar regions, appear hypoplastic with a "tonguelike" defect anteriorly.

tooth sign

Irregular excrescences appearing radiographically as hyperostosis and developing at the quadriceps attachment to the anterior surface of the patella. This is not a manifestation of osteoarthritis but rather is an enthesopathic alteration probably related to abnormal stress on the ligamentous connection to the bone. This finding increases in incidence with advancing age and may be a manifestation of diffuse idiopathic skeletal hyperostosis.

tophus; gouty tophus

A chalky deposit of sodium urate occurring in gout; tophi form most often around joints in cartilage, bone, bursae, and subcutaneous tissue and in the external ear, producing a chronic, foreign-body inflammatory response.

torus fracture; buckling fracture; buckle fracture

Compression fracture of a long bone in or near the metaphysis. It is usually an incomplete fracture and occurs in young children.

cf. greenstick fracture

vertèbre en languette

L'association de *vertèbres en languettes* et d'agénésie de l'odontoïde chez un enfant doit faire évoquer le diagnostic de mucopolysaccharidose.

rotule crénelée

Rotule dont la face antérieure présente des ossicules hyperostotiques, appelés enthésophytes, au niveau de l'insertion du tendon quadripcital. On l'observe dans l'hyperostose vertébrale ankylosante.

tophus

Concrétions d'urate de sodium qui se déposent autour des articulations (coudes, genoux, puis dos des mains et des pieds), dans le tissu sous-cutané, le derme, les cartilages extra-articulaires, les bourses séreuses, les tendons et sur le bord du pavillon de l'oreille chez les goutteux.

**fracture en motte de beurre;
fracture en tore**

Fracture de l'enfant, incomplète, présentant un aspect boursouflé de la corticale, habituellement au niveau de la métaphyse.

cf. fracture en bois vert

Towne's projection;

Towne-Chamberlain position;
Grashey's position

An anteroposterior projection of the skull, showing the petrous pyramids, the posterior portion of the foramen magnum, the dorsum sellae and posterior clinoid processes, the occipital bone, and the posterior portion of the parietal bone.

traction osteophyte; traction spur

A thin, horizontally oriented excrescence arising from the anterior surface of a vertebral body.

NOTE It is believed that traction and claw osteophytes represent different stages of a single disease process. Horizontally oriented excrescences, or traction osteophytes, initially form at the osseous site of attachment of the outer annular fibers (Sharpey fibers) to the anterior vertebral surface. Subsequently, periosteal deposition of bone and progressive disk ossification convert the traction osteophyte to a clawlike excrescence. It is possible that traction osteophytes, representing an initial stage of the ossification process, indicate an unstable discovertebral level, and that their conversion to claw osteophytes indicates increasing spinal stability that allows progressive ossification of annular fibers.

cf. **claw osteophyte**

transitional vertebra

A vertebra whose structure features some of the characteristics of the two adjacent vertebrae. A common example is the fifth lumbar vertebra that has partial sacral components.

incidence de Worms; incidence de Worms-Bretton; incidence de Bretton; incidence de Towne

Incidence fronto-sous-occipitale utilisée en radiologie crânienne pour obtenir une vue de la voûte et de l'endocrâne dégagés du massif facial, projeté vers le bas.

ostéophyte de traction (prop.)

Excroissance osseuse se développant perpendiculairement à la face antérieure d'un corps vertébral.

cf. **ostéophyte en crochet**

vertèbre de transition

Vertèbre dont la structure a les caractéristiques morphologiques de deux régions vertébrales adjacentes.

transthoracic projection;

transthoracic view; transthoracic lateral projection; transthoracic lateral view

A position giving a radiographic lateral projection of the upper half of the humerus through the thorax. The lateral aspect of the involved arm and shoulder is placed against the cassette, and the beam passes laterally through the chest from the opposite side while the uninvolved arm is raised overhead. This projection can be carried out with the patient in either the supine or the erect position.

NOTE Because superimposed chest structures render interpretation difficult, a scapular Y view is preferred.

transverse fracture

Fracture in which the fracture line is at right angles to the long axis of the bone.

transverse lines of Park

SEE **Harris lines**

trefoil pelvis

SEE **heart-shaped pelvis**

Trethowan's line

A line drawn along the superior surface of the femoral neck, which normally cuts through the femoral head but remains above it with slipping of the epiphysis.

triangular bone

SEE **os trigonum**

profil transthoracique; incidence transthoracique

Incidence permettant de visualiser l'extrémité supérieure de l'humérus. L'épaule à radiographier est placée contre la table, le membre supérieur opposé relevé et l'avant-bras posé sur la tête. Le rayon horizontal traverse la cage thoracique et est centré sur l'extrémité supérieure de l'humérus à radiographier.

NOTA Étant donné la superposition des structures anatomiques du thorax, le profil transthoracique devrait être remplacé par le profil de l'omoplate.

fracture transverse; fracture transversale

Fracture dont le trait est plus ou moins perpendiculaire à l'axe longitudinal de l'os lésé.

ligne de Klein

Tangente au bord supérieur du col fémoral coupant normalement la partie supéro-externe de la tête fémorale mais passant au-dessus en cas de glissement épiphysaire.

trident

trident acetabulum; triradiate acetabulum

A flat acetabular roof with downward spike-like projections at its medial, lateral, and, sometimes, central aspects, seen in chondroectodermal dysplasia and asphyxiating thoracic dysplasia.

trigonocephaly

A malformation characterized by a more or less triangular configuration of the skull, due to early synostosis of the frontal suture.

trimalleolar fracture

Fracture of the medial and lateral malleoli and the posterior articular lip of the distal tibia.

tripartite patella

SEE **bipartite patella**

triradiate acetabulum

SEE **trident acetabulum**

trolley-track sign

Ossification of the intersupraspinous ligaments and bilateral ankylosis of the apophyseal joints, producing three vertical lines seen on frontal radiographs of the spine in ankylosing spondylitis.

trough line

A dense line roughly paralleling the articular surface of the humerus, which corresponds to the impacted fracture seen in posteriorly dislocated shoulders on frontal radiographs.

aspect en trident (du cotyle)

Aspect du toit cotyloïdien, qui est horizontal avec deux éperons latéraux et parfois une saillie médiane convexe vers le bas, observé dans la dysplasie chondroectodermique et la dysplasie thoracique asphyxiante.

trigonocéphalie

Déformation crânienne caractérisée par le développement en pointe de l'os frontal, donnant au crâne un aspect triangulaire; elle est consécutive à la synostose précoce de la suture métopique.

fracture trimalléolaire

Fracture des deux malléoles, interne et externe, et du bord postérieur du tibia.

aspect en rail de tramway; image des trois rails d'un tramway

Ossification des ligaments sus- et interépineux avec ankylose osseuse des facettes articulaires postérieures observée dans la spondylarthrite ankylosante.

ligne dense de la tête humérale

Ligne dense verticale au tiers interne de la tête humérale témoignant d'un trait de fracture par enfoncement, observée dans la luxation postérieure de l'épaule sur un cliché de face.

**Truemmerfeld zone;
Truemmerfeld line**

The line of rarefaction lying immediately adjacent to the calcified matrix at the growing ends of the long bones, which occurs in scurvy. Fracture through this zone may lead to displacement of the epiphysis.

**cf. radiolucent metaphyseal
bands****trumping;** saucer-shaped appearance; metaphyseal cupping

Widening and flaring of the metaphysis which have pointed margins and an indented centre, as seen in rickets.

**tunnel view; notch view;
intercondylar view**

An angulated frontal view of the knee flexed 40 to 50°, used to visualize the femoral condyles and the intercondylar notch. This can be obtained in an anteroposterior or posteroanterior projection.

**Twining position
SEE swimmer's projection****zone claire de Lehndorff; zone
de Trümmerfeld; ligne de
Trümmerfeld; ligne scorbutique
de Pelkan**

Ostéoporose juxtamétaphysaire se traduisant radiologiquement par une bande transversale claire au contact des cartilages d'accroissement des os longs; elle s'observe chez les nourrissons atteints d'avitaminose C.

cf. bandes claires métaphysaires**image en toit de pagode; aspect
en toit de pagode; aspect en
trompette; aspect en saucière**

Aspect de la métaphyse qui est élargie, évasée, et déprimée en cupule en son centre. Observé dans le rachitisme.

**Incidence de l'échancrure
intercondyllenne**

Incidence du genou, qui est fléchi de 30 à 60°, explorant la face postéro-inférieure des condyles, leur face médiane profonde, et l'espace intercondyléen. On peut la réaliser avec un rayon directeur postéro-antérieur, le patient étant en procubitus, ou avec un rayon directeur antéro-postérieur, le patient étant en décubitus avec une cassette courbe appliquée dans le creux poplité.

twisted

twisted ribbon rib; ribbon-like rib

Thinned rib seen in neurofibromatosis and regenerated ribs after resection, and occasionally in Gorham's disease, hyperparathyroidism, Morquio's disease, Melnick-Needless syndrome, osteogenesis imperfecta, paraplegia, polyomyelitis, rheumatoid arthritis, scleroderma, severe osteoporosis, trisomy 13 syndrome, and trisomy 18 syndrome.

côte torsadée (prop.)

Aspect résultant d'une dysplasie costale : le bord des côtes est ondulé, avec rétrécissements et zones hypoplasiques. S'observe notamment dans la neurofibromatose de von Recklinghausen.



ulnar drift; ulnar deviation of the fingers

Deviation of the fingers to the ulnar (little finger) side of the hand associated with chronic arthritis at the metacarpophalangeal joint. This is a characteristic deformity of rheumatoid arthritis.

ultrasonography; sonography; echography

Use of ultrasound to produce an image or photograph of an organ or tissue. Ultrasonic echoes are recorded as they strike tissues of different densities.

uncarthrosis

A disease of bone that affects the uncinate processes of the vertebrae.

dolgts en coup de vent; coup de vent cubital; déviation cubitale des doigts; main en coup de vent

Déviation des doigts vers le côté cubital de la main, due à une arthropathie métacarpophalangienne. Cette déformation est très fréquemment observée au cours de la polyarthrite rhumatoïde.

échographie; ultrasonographie

Méthode d'exploration d'un organe par l'étude de la réflexion d'un faisceau d'ultrasons par les interfaces entre des milieux d'impédance acoustique différente.

uncarthrose

Toute arthrose des articulations unco-vertébrales de Luschka.

unstable fracture

A fracture with an intrinsic tendency to slip out of place after reduction.

fracture instable

Fracture dont les fragments ont tendance à se déplacer après réduction et immobilisation.

**vacuum phenomenon**

Linear or circular radiolucent collections of gas overlying the intervertebral disks; a sign of degenerative disk disease.

NOTE In the vertebral column, the vacuum phenomenon can also be localized, less commonly, to the spinal canal, apophyseal joints, soft tissues, and vertebral bodies.

Velpeau axillary lateral view

A modified axillary view used in posterior dislocations of the shoulder when abduction of the arm is not possible. The patient leans backward 30° over the cassette on the table. The tube is then placed above the shoulder, and the beam is projected vertically down through the shoulder onto the cassette.

velvet appearance (prop.)

Periosteal reaction characterized by low and slanting spicules, seen in chondrosarcoma.

cf. hair-on-end appearance,
sunburst appearance

phénomène du vide discal; vide discal

Hypertransparence linéaire observée dans un espace intersomatique, caractéristique d'une dégénérescence discale.

NOTA Au rachis, un phénomène de vide similaire, bien que moins fréquent, peut s'observer également au canal rachidien, aux apophyses, dans les tissus mous et aux corps vertébraux.

**profil de Bloom et Obata;
incidence de Bloom et Obata**

Profil utilisé dans les luxations postérieures de l'épaule lorsque l'abduction est impossible et le profil axillaire irréalisable. Le malade est penché en arrière, au-dessus de la table radiographique, le rayon vertical descendant, la cassette sur la table.

aspect en velours (prop.)

Réaction périostée caractérisée par des spicules fins, de longueur inégale et souvent couchés obliquement, observée dans le chondrosarcome.

cf. aspect en poils de brosse,
Image en feu d'herbes

venography

venography; phlebography

Roentgenography of veins after their opacification by the injection of a contrast medium.

phlébographie; veinographie

Radiographie des veines après injection d'un produit de contraste, soit directement dans la veine (phlébographie directe), ou la moelle osseuse (ostéomédullographie), soit dans une artère correspondante (phlébographie indirecte).

vertebral collapse; vertebral compression

Loss of the vertical height of a vertebral body due to compression forces. It may involve the entire vertebral body or only part of it.

tassement vertébral

Diminution acquise, localisée ou diffuse de la hauteur d'un corps vertébral sous l'effet des contraintes mécaniques.

vertebral epiphysitis

SEE Scheuermann's disease

vertebral scalloping

SEE scalloping

vertebra nigra

SEE ivory vertebra

vertebra plana

Extreme vertebral body compression deformity originally described as an osteochondritis or osteochondrosis analogous to Perthe's disease, but now associated with eosinophilic granuloma. The affected body often appears dense due to compressed bony trabeculae and is commonly wider than normal in both its transverse and anteroposterior diameters.

vertebra plana

Vertèbre très aplatie, dense, un peu plus longue et plus large qu'une vertèbre normale, entre deux disques intacts avec, rarement, une opacité paravertébrale. La vertebra plana s'observe surtout avant 10 ans. Sa signification était autrefois discutée, certains auteurs la considérant comme l'effet d'une ostéochondrose vertébrale. Elle est en réalité l'image radiographique d'un granulome éosinophile.

vertical line of Ombrédanne

SEE Perkins' line

Voorhoeve's disease

SEE osteopathia striata

**wagon wheel fracture**

Separation of the distal femoral epiphysis (due in many cases to the leg being caught in the spokes of a revolving wheel).

Wagstaffe-Le Fort fracture
SEE **Le Fort's fracture**

Waldenström's sign

A sign mainly observed in osteochondritis of the hip: a widening of the joint space between the head of the femur and the floor of the acetabulum, due to thickening of the teres ligament.

Walther fracture

Transverse ischioacetabular fracture. The fracture line passes through the ischiopubic junction, the acetabular cavity and the ischial spine.

Waters projection; Waters' position; Waters' view

A posteroanterior projection of the skull to demonstrate the paranasal sinuses, especially the maxillary sinuses, and the facial bones, obtained by aligning the central ray with the junction of the upper lip and nose at an angle of 37° with the canthomeatal line.

cf. **exaggerated Waters position**

wedge compression fracture
SEE **wedge fracture**

wedged vertebra
SEE **wedge-shaped vertebra**

fracture par rayon de roue (prop.)

Décollement de l'épiphyse fémorale distale (chez l'enfant qui s'est pris la jambe dans les rayons d'une roue en mouvement).

signe de Waldenström

Signe observé notamment dans l'ostéochondrite de la hanche : élargissement de l'espace clair compris entre la tête fémorale et le fond de la cavité acétabulaire, dû à un épaissement du ligament rond.

fracture de Walther

Fracture transversale de l'ischion et du cotyle. Le trait de fracture passe par la jonction ischio-pubienne, la cavité cotyloïde et l'épine sciatique.

Incidence de Blondeau

Incidence occipitoméntale utilisée en radiologie pour examiner les sinus de la face, et plus particulièrement les sinus maxillaires. Le rayon directeur horizontal fait un angle de -35° avec le plan orbito-méatal.

cf. **Incidence de Waters**

wedge fracture

wedge fracture; wedge compression fracture; anterior wedge fracture

Anterior compression fracture of any vertebra occurring when the spine is in the flexed position; most common in the dorsal spine.

wedge-shaped vertebra; wedged vertebra

A vertebra having a short anterior vertical height as compared with its posterior measurement, and usually representing a compression fracture.

The term "wedge" vertebra refers to that condition in which only a single half of a vertebral body is present, a true hemivertebra.

Welcker's sphenoidal angle

The angle between the two basicranial axes.

tassement cunéiforme

Fracture de la partie antérieure des corps vertébraux provoquée par une compression verticale associée à une hyperflexion.

vertèbre cunéiforme; vertèbre en coin; vertèbre trapézoïdale

La *vertèbre en coin*, ou *vertèbre cunéiforme*, se présente sous la forme d'un triangle, soit de face, soit sur le cliché de profil, ou sous les deux incidences. Une *vertèbre cunéiforme* est habituellement le résultat d'une anomalie congénitale. Cependant, si une telle *vertèbre cunéiforme* visible sur le cliché de face impose le diagnostic d'hémivertèbre congénitale, le diagnostic d'une *vertèbre cunéiforme* sur un cliché de profil est parfois difficile; il y a des *vertèbres cunéiformes* par dystrophie de croissance; il y a des *vertèbres cunéiformes* d'origine traumatique; il existe des *vertèbres en coin* d'origine pottique ancienne.

angle de Welcker

Angle nasion-centre sellaire-basion, normalement compris entre 125 et 143°. Un angle supérieur à 150° traduit une platybasie et un angle inférieur à 120°, une cyphose basale.

West Point view; West Point projection

A modified axillary view to visualize the anterior inferior glenoid rim in patients with anterior shoulder instability. The patient is prone, and the shoulder is elevated three inches from the tabletop. The arm is abducted 90° and rotated so that the forearm hangs off the x-ray table and is pointed directly at the floor. With the cassette held against the superior aspect of the shoulder, the x-ray tube is positioned with the central ray projecting 25° from the horizontal and 25° medially.

whiskering

Irregular proliferative new bone formation at sites of muscular attachments or points of stress. This sign is sometimes associated with reactive sclerosis. It most commonly involves the ischial tuberosities, iliac margins, and calcaneus. Seen in ankylosing spondylitis.

white line of Fraenkel; white line of Fränkel; Fränkel's line

A roentgenographic sign of scurvy, consisting of a broadened, irregular line of increased radiodensity caused by calcified cartilage in the metaphysis at the provisional zone of calcification.

NOTE It is not specific of scurvy since it may also be seen in lead or phosphorous poisoning, in the treatment of syphilis with bismuth, and in healing rickets.

Incidence de West Point; incidence axillaire en procubitus (prop.)

Type de profil axillaire permettant de visualiser les lésions du rebord antéro-inférieur de la glène dans les instabilités antérieures de l'épaule. Le patient est en procubitus, l'épaule soulevée d'environ 6 cm. Le bras est placé en abduction à 90°, puis en rotation, de manière à ce que l'avant-bras soit orienté vers le sol. La cassette est placée contre l'épaule, le tube formant un angle de 25° avec l'horizontale et un angle de 25° avec l'axe du corps.

aspect hérissé; hérissement

Parmi les signes radiologiques de la spondylarthrite ankylosante, on retrouve des lésions érosives et condensantes avec *hérissement* d'allure ostéophytique. Ces lésions intéressent la face postérieure ou inférieure du calcanéum. Au bassin, les branches ischio-pubiennes et la crête iliaque ont parfois un *aspect hérisssé*.

ligne blanche de Fraenkel; bande opaque de Fraenkel; signe de Fraenkel

Symptôme radiologique du scorbut infantile : ombre transversale bordant l'extrémité de la diaphyse des os longs et la séparant du cartilage épiphysaire.

Wiberg's angle; C-E angle

The angle between the line passing through the edge of the roof of the acetabulum and the center of the femoral head and an intersecting vertical line; normal values are from 20 to 46°.

angle de Wiberg

Angle formé par l'intersection de deux lignes partant du centre de la tête fémorale, l'une verticale, l'autre oblique passant par le talus cotyloïdien (cet angle est égal ou supérieur à 20° si le toit du cotyle recouvre parfaitement la tête fémorale).

widening of the joint space

SEE **joint space widening**

willow fracture

SEE **greenstick fracture**

**Wimberger's line; Wimberger line;
Wimberger ring; Wimberger's
sign of scurvy**

A radiodense shell around the epiphyseal ossification centers of tubular bones and in the carpus and tarsus, accentuated by central rarefaction, seen in scurvy.

**anneau de Wimberger; signe de
Wimberger**

Signe radiologique du scorbut infantile consistant en un cercle opaque autour du noyau épiphysaire des os longs qui présente une décalcification centrale.

wine glass pelvis (prop.)

The characteristic appearance of the inner pelvic contour in Morquio's syndrome, the width and depth of the pelvis being equal.

**bassin en verre à bordeaux
(prop.)**

Bassin dont le diamètre transversal est diminué, caractéristique de la maladie de Morquio.

cf. champagne glass pelvis

**cf. bassin en coupe à
champagne**

wormian bones; sutural bones

Small accessory bones that sometimes develop in the sutures between the bones of the cranial vault.

os wormiens

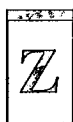
Petits os supplémentaires se développant entre les os de la voûte du crâne, soit par des points d'ossification anormaux (os wormiens vrais), soit par défaut de soudure de points d'ossification normaux (os wormiens faux).

**xeroradiography; xerography**

A dry, totally photoelectric process for recording x-ray images, using metal plates coated with a semiconductor, such as selenium.

xéroradiographie; xérographie

Technique de radiographie faisant appel aux propriétés des photoconducteurs pour la reproduction des images, le développement étant réalisé à sec par des procédés purement physiques. L'élément principal est une plaque photo-réceptrice réutilisable, comportant une mince couche photo-sensible (sélénium) déposée sur un support métallique (aluminium). Cette technique permet d'analyser sur un même film positif le tissu osseux et les structures avoisinantes (ligaments, muscles, graisses, vaisseaux et peau).

**zonography; narrow angle conventional tomography**

Narrow angle conventional tomography, also termed *zonography*, produces relatively thick sections, a technique that has been applied successfully to the evaluation of the sacroiliac and sternoclavicular joints.

cf. **tomography**

zonographie

Coupe tomographique épaisse.

Les *zonographies* sont des tomographies réalisées avec un angle de balayage très petit, de l'ordre de 5°, ce qui donne des couches de coupe particulièrement épaisses. Les structures lointaines sont de ce fait incomplètement effacées, alors que les structures que l'on désire étudier sont visibles sur la même coupe (dont l'épaisseur est de 2 à 3 cm).

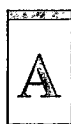
cf. **tomographie**

Z-shaped _____

Z-shaped deformity (of the thumb)

SEE **thumb boutonnière**

deformity



abcès de Brodie

accrochage des facettes articulaires (prop.); luxation des facettes articulaires

acrocéphalie; oxycéphalie

acroostéolyse; acro-ostéolyse

âge osseux; maturation osseuse

**agrandissement direct;
agrandissement radiographique direct**

**agrandissement optique;
agrandissement secondaire**

agrandissement radiographique direct; agrandissement direct

**agrandissement secondaire;
agrandissement optique**

anglographie

angle acétabulaire; angle d'inclinaison du toit du cotyle; angle d'obliquité du toit du cotyle; angle d'Hilgenreiner

angle acétabulaire de Sharp (prop.)

angle calcanéum-5^e métatarsien; angle de Davis-Hatt et Templeton

angle cervico-diaphysaire; angle d'inclinaison du col du fémur

Brodie's abscess

locked facets; dislocation of articular processes

oxycephaly; acrocephaly

acro-osteolysis; acroosteolysis

bone age

direct radiographic magnification; direct magnification radiography; direct magnification

optical magnification

direct radiographic magnification; direct magnification radiography; direct magnification

optical magnification

anglography

acetabular angle; Hilgenreiner's angle

Sharp's acetabular angle; Sharp's angle

calcaneal-fifth metatarsal angle

angle of inclination

angle

angle crucial de Gissane	crucial angle; Gissane's angle
angle d'antéversion du col fémoral; angle de déclinaison du col du fémur	angle of anteversion; angle of declination
angle de base	basal angle; sphenoid angle
angle de Baumann	Baumann's angle
angle de Boehler; angle de Böhler	Böhler's angle
angle de Bull	Bull's angle
angle de congruence	congruence angle
angle de Davis-Hatt et Templeton; angle calcanéum-5^e métatarsien	calcaneal-fifth metatarsal angle
angle de déclinaison du col du fémur; angle d'antéversion du col fémoral	angle of anteversion; angle of declination
angle de divergence astragalo-calcanéenne	talocalcaneal angle; Kite's angle
angle de Fowler et Phillip	Fowler-Phillip angle
angle de Giannestras	talonavicular angle; Giannestras's talonavicular angle
angle de G. Lang	midtalar-second metatarsal angle
angle de Meschan	metatarsal break angle
angle de Pauwels	Pauwels angle
angle de pente calcanéenne	calcaneal inclination angle
angle de Schmidt; angle de Schmidt et Fischer	atlanto-occipital joint angle
angle de Welcker	Welcker's sphenoidal angle
angle de Wiberg	Wiberg's angle; C-E angle

angle d'Hilgenreiner; angle acétabulaire; angle d'inclinaison du toit du cotyle; angle d'obliquité du toit du cotyle	acetabular angle; Hilgenreiner's angle
angle d'inclinaison du col du fémur; angle cervico-diaphysaire	angle of Inclination
angle d'inclinaison du toit du cotyle; angle d'obliquité du toit du cotyle; angle d'Hilgenreiner; angle acétabulaire	acetabular angle; Hilgenreiner's angle
angle du plateau tibial (prop.)	tibial plateau angle
angle illaque	illiac angle
angle patello-fémoral externe	lateral patellofemoral angle
angle scapho-lunaire	scapholunate angle; scaphoid-lunate angle; navicular lunate angle; lunate navicular angle
angle trochléen	sulcus angle
anneau de Wimberger; signe de Wimberger	Wimberger's line; Wimberger line; Wimberger ring; Wimberger's sign of scurvy
apposition pérlostée; réaction pérlostée	periosteal reaction; periosteal bone apposition
artériographie	arteriography
artériographie carotidienne; carotidographie	carotid arteriography
artériographie fémorale	femoral arteriography
artériographie médullaire	spinal arteriography
arthrographie	arthrography
arthrographie en double contraste VOIR arthrographie	
arthrographie mixte VOIR arthrographie	

arthrose

arthrose interépineuse; ostéoarthrose interépineuse; syndrome de Baastrup; maladie de Baastrup	Baastrup's syndrome; Baastrup's disease
aspect cotonneux; aspect ouaté	cotton wool appearance
aspect de pointe de crayon dans une cupule; Image de pointe de crayon dans une cupule	pencil-in-cup deformity; pencil-in-cup appearance
aspect de tête dans la tête	head within a head appearance
aspect d'os dans l'os; Image d'os dans l'os	bone-within-a-bone appearance; bone-within-bone appearance
aspect du chapeau de gendarme renversé; aspect du chapeau de Napoléon renversé; vertèbre en chapeau de gendarme renversé	Inverted Napoleon hat sign; inverted gendarme's cap; bow-line of Brailsford; bow sign
aspect en ancre de marine	spade appearance; arrowhead appearance
aspect en bougeoir VOIR Image de pointe de crayon dans une cupule	
aspect en bulle de savon	soap-bubble appearance
aspect en calotte polaire (prop.)	snowcap appearance; snow-cap appearance
aspect en chou-fleur	cauliflower-like appearance
aspect en crayon taillé VOIR Image de pointe de crayon dans une cupule	
aspect en fer de lance; image en fer de lance	blade of grass appearance; blade of grass sign; flame appearance
aspect en forme de massue; déformation en massue	mushroom deformity; mushrooming
aspect en hallebarde (du bassin)	battle-ax pelvic configuration
aspect en hallebarde; encoche en hallebarde	overhanging margin

aspect en pelure d'oignon; image en bulbe d'oignon	onion-peel appearance; onion-skin appearance; onionskin appearance; laminated appearance
aspect en poils de brosse	hair-on-end appearance
aspect en pointillé (prop.)	dot-dash appearance; dot-dash pattern
aspect en rail de tramway; image des trois rails d'un tramway	trolley-track sign
aspect en rayons de soleil; Image en feu d'herbes	sunburst appearance; sun-ray appearance
aspect en saucièrre; Image en toit de pagode; aspect en toit de pagode; aspect en trompette	trumpeting; saucer-shaped appearance; metaphyseal cupping
aspect en sucre d'orge sucé VOIR Image de pointe de crayon dans une cupule	
aspect en timbre-poste	rosary effect
aspect en toit de pagode; aspect en trompette; aspect en saucièrre; Image en toit de pagode	trumpeting; saucer-shaped appearance; metaphyseal cupping
aspect en toupie; signe de la pointe de tarte (prop.); signe de la toupie	piece of cheese sign
aspect en trident (du cotyle)	trident acetabulum; triradiate acetabulum
aspect en trompette; aspect en saucièrre; Image en toit de pagode; aspect en toit de pagode	trumpeting; saucer-shaped appearance; metaphyseal cupping
aspect en velours (prop.)	velvet appearance (prop.)
aspect en verre dépoli	ground glass appearance; ground-glass appearance; milky appearance
aspect hérissé; hérissement	whiskering

aspect

aspect ouaté; aspect cotonneux

cotton wool appearance



ballonnisation de la selle turcique; selle ballon; selle ballonnée

ballooning of the sella turcica; ballooned sella

bande opaque de Fraenkel; signe de Fraenkel; ligne blanche de Fraenkel

white line of Fraenkel; white line of Fränkel; Fränkel's line

bandes claires métaphysaires

radiolucent metaphyseal bands; metaphyseal translucencies

bascule de l'articulation tibio-tarsienne

tibiotalar slant

bassin cornu; cornes illiaques

iliac horns

bassin de Naegele; bassin oblique ovalaire vrai

Nägele's pelvis; Naegele pelvis; oblique pelvis

bassin de Robert; bassin oblique ovalaire double

Robert pelvis

bassin d'Otto

Otto's pelvis

bassin en cœur de carte à jouer; bassin ostéomalacique; **bassin en forme de cœur**

heart-shaped pelvis; trefoil pelvis; beaked pelvis; osteomalacic pelvis

bassin en coupe à champagne (prop.)

champagne glass pelvis

bassin en forme de cœur; bassin en cœur de carte à jouer; bassin ostéomalacique

heart-shaped pelvis; trefoil pelvis; beaked pelvis; osteomalacic pelvis

bassin en verre à bordeaux (prop.)

wine glass pelvis (prop.)

bassin oblique ovalaire double; **bassin de Robert**

Robert pelvis

bassin oblique ovalaire vrai; bassin de Naegele	Nägele's pelvis; Naegele pelvis; oblique pelvis
bassin ostéomalaciaque; bassin en forme de cœur ; bassin en cœur de carte à jouer	heart-shaped pelvis; trefoil pelvis; beaked pelvis; osteomalacia pelvis
bassin ouvert (prop.)	sprung pelvis
bec-de-perroquet; ostéophytes en bec-de-perroquet (prop.)	kissing osteophytes; parrot beak-like osteophytes
blistering (à éviter); soufflure	blister sign
bloc vertébral congénital	block vertebra
brachycéphalie	brachycephaly; brachycephalia; brachycephalism
bursographie	bursography
burst fracture (à éviter); fracture-éclatement ; fracture corporéale comminutive	burst fracture ; bursting fracture
button sequestrum (à éviter); séquestre en bouton	button sequestrum



calcification	calcification
calcification en parenthèses	parentheses-like calcification
calcifications en flocons; calcifications en pop-corn ; calcifications en volutes de fumée	popcorn calcifications
calcinose	calcinosis
cal vicieux	malunion; mal-union
carotidographie; artériographie carotidiennne	carotid arteriography

chondrocalcinose

chondrocalcinose articulaire; chondrocalcinose articulaire .diffuse	chondrocalcinosis
chondromalacie	chondromalacia
chondromalacie rotulienne; chondropathie rotulienne	chondromalacia patellae
centre cervico-obturateur; ligne de Shenton; ligne de Ménard	Shenton's line; Shenton's arch; cervico-obturator line
centre scapulo-huméral; ligne de Moloney (prop.)	Moloney's line; scapulohumeral arch
classification de Salter et Harris; classification des traumatismes du cartilage de croissance	Salter-Harris classification of epiphyseal injuries; Salter-Harris classification
colonne bambou; colonne de bamboo	bamboo spine
complexe fracturaire du tableau de bord (prop.); syndrome du tableau de bord; fracture du tableau de bord (prop.)	dashboard fracture
convexobasie	convexobasia
corner sign; encoche de Park (prop.)	corner sign of scurvy; angle sign of scurvy; corner sign; angle sign
cornes illaques; bassin cornu	Iliac horns
corps étranger articulaire; corps étranger intra-articulaire; souris articulaire	Joint mouse; joint body
côte bifide	forked rib; bifid rib
côte cervicale	cervical rib
côte en pagaye; côte en rame	canoe paddle rib; oar-shaped rib
côte torsadée (prop.)	twisted ribbon rib; ribbon-like rib
coulée osseuse; hyperostose engainante	flowing ossification

coulée sous-fovéale	capital drop
coup de vent cubital; déviation cubitale des doigts; main en coup de vent; dolgs en coup de vent	ulnar drift; ulnar deviation of the fingers
courbes de Gilula	Gilula's arcs (prop.)
coxa adducta; hanche bote; coxa vara ; coxa retrorsa	coxa vara; coxa adducta
coxa flexa; coxa vara des adolescents; épiphysiolyse fémorale supérieure de l'adolescent; épiphyséolyse; épiphysiolyse ; coxa vara essentielle de l'adolescence	slipped capital femoral epiphysis; adolescent coxa vara
coxa magna	coxa magna
coxa plana	coxa plana
coxa retrorsa; coxa adducta; hanche bote; coxa vara	coxa vara; coxa adducta
coxa valga	coxa valga
coxa vara ; coxa retrorsa; coxa adducta; hanche bote	coxa vara; coxa adducta
coxa vara des adolescents; coxa vara essentielle de l'adolescence; épiphysiolyse fémorale supérieure de l'adolescent; épiphyséolyse; épiphysiolyse ; coxa flexa	slipped capital femoral epiphysis; adolescent coxa vara
crâne alvéolaire; crâne en bulles de savon; crâne lacunaire ; crâne géodique	lacunar skull; lacuna skull; craniolacunia; Lückenschädel; relief skull
crâne à rebord ; crâne à rebord d'Apert; crâne en béret basque	tam-o'-shanter skull
crâne bifide	cranium bifidum
crâne en béret basque; crâne à rebord ; crâne à rebord d'Apert	tam-o'-shanter skull

crâne

crâne en bulles de savon; crâne lacunaire ; crâne géodique; crâne alvéolaire	lacunar skull ; lacuna skull; craniolacunia; Lückenschädel; relief skull
crâne en chignon VOIR crâne à rebord	
crâne en mosaïque (prop.)	mosaic skull
crâne en poils de brosse	hair-on-end appearance (of the skull)
crâne en trèfle	cloverleaf skull ; cloverleaf skull deformity; kleeblatschädel
crâne fenestré; cranio fenestria	craniofenestria
crâne géodique; crâne alvéolaire; crâne en bulles de savon; crâne lacunaire	lacunar skull ; lacuna skull; craniolacunia; Lückenschädel; relief skull
crâne géographique	maplike skull ; geographic skull
crâne lacunaire; crâne géodique; crâne alvéolaire; crâne en bulles de savon	lacunar skull ; lacuna skull; craniolacunia; Lückenschädel; relief skull
cranio fenestria; crâne fenestré	craniofenestria
cranioschisis	cranioschisis
cyphe douloureuse des adolescents; cyphe juvénile douloureuse; ostéochondrose vertébrale de croissance; épiphysite vertébrale; maladie de Scheuermann ; dystrophie rachidienne de croissance	Scheuermann's disease ; Scheuermann's kyphosis; kyphosis dorsalis juvenilis; juvenile kyphosis; adolescent kyphosis; osteochondritis deformans juvenilis dorsi; vertebral epiphysitis



décollement épiphysaire

epiphyseal separation

déformation du pouce en Z; pouce en Z	thumb boutonnière deformity; boutonnière deformity of the thumb; Z-shaped deformity (of the thumb)
déformation en boutonnière	boutonnière deformity; buttonhole deformity
déformation en coi de cygne	swan-neck deformity
déformation en crosse; déformation en crosse d'évêque	shepherd's crook deformity
déformation en flacon d'Erlenmeyer	Erlenmeyer flask deformity
déformation en hachette VOIR lésion de Hill-Sachs	
déformation en J de la selle turcique	J-shaped sella turcica
déformation en massue; aspect en forme de massue	mushroom deformity; mushrooming
dents flottantes	floating teeth; floating tooth sign
déviation cubitale des doigts; main en coup de vent; doigts en coup de vent; coup de vent cubital	ulnar drift; ulnar deviation of the fingers
diastasis	diastasis
diastématomyélle	diastematomyella
discographie; nucléographie	discography; diskography
distance tête fémorale-U cotyloïdien	teardrop distance
doigts en baguette de tambour; doigts en battant de cloche; doigts en canne de golf; doigts en spatule; doigts hippocratiques; hippocratisme digital	clubbing; clubbed digits; clubbed fingers; hippocratic fingers; drumstick fingers

doigts

doigts en coup de vent; coup de vent cubital; déviation cubitale des doigts; main en coup de vent

doigts en spatule; doigts hippocratiques; doigts en canne de golf; hippocratismus digitalis; doigts en baguette de tambour; doigts en battant de cloche

dolichocéphalie

dystrophie rachidienne de croissance; cyphose douloureuse des adolescents; cyphose juvénile douloureuse; ostéochondrose vertébrale de croissance; épiphysite vertébrale; maladie de Scheuermann

ulnar drift; ulnar deviation of the fingers

clubbing; clubbed digits; clubbed fingers; hippocratic fingers; drumstick fingers

dollchocephaly

Scheuermann's disease; Scheuermann's kyphosis; kyphosis dorsalis juvenilis; juvenile kyphosis; adolescent kyphosis; osteochondritis deformans juvenilis dorsi; vertebral epiphysitis



éburnation

éburnation des angles vertébraux

échographie; ultrasonographie

élargissement de la grande échancrure sciatique (prop.)

élargissement de l'interligne articulaire

élargissement paradoxal de l'interligne gléno-huméral

embarrure

éburnation

shining corners; shiny corner sign; shiny corners

ultrasonography; sonography; echography

public varus sign; ischial varus sign

joint space widening; widening of the joint space

half-moon sign

depressed skull fracture; depressed fracture

encoche antérieure de Mac Laughlin; encoche de Mac Laughlin	reverse Hill-Sachs lesion
encoche de Hill-Sachs; lésion de Hill-Sachs	Hill-Sachs lesion; Hill-Sachs deformity; Hill-Sachs defect
encoche de Mac Laughlin; encoche antérieure de Mac Laughlin	reverse Hill-Sachs lesion
encoche de Park (prop.); corner sign	corner sign of scurvy; angle sign of scurvy; corner sign; angle sign
encoche en coup d'ongle; niche en coup d'ongle	crater
encoche en hallebarde; aspect en hallebarde	overhanging margin
en fuseau; fusiforme	fusiform; spindle-shaped
énostose; îlot osseux condensant; îlot condensant bénin; îlot dense bénin; îlot osseux (prop.)	bone island; sclerotic bone island; enostosis
enthésophyte	enthesophyte
épaississement de la ligne innominée	brim sign
éperon calcanéen; épine de Lenoir; épine calcanéenne	calcaneal spur; heel spur
éperon de Codman; éperon périosté; triangle de Codman	Codman's triangle
éperon de Pelkan	Pelkan spur
éperon périosté; triangle de Codman; éperon de Codman	Codman's triangle
épidurographie	epidurography
épine calcanéenne; épine de Lenoir; éperon calcanéen	calcaneal spur; heel spur
épiphyse en cône	cone epiphysis; cone-shaped epiphysis

épiphyseolyse

épiphyseolyse; épiphysiolyse; coxa vara essentielle de l'adolescence; coxa flexa; coxa vara des adolescents; épiphyseolyse fémorale supérieure de l'adolescent	slipped capital femoral epiphysis; adolescent coxa vara
épiphyseolyse; épiphysiolyse	epiphysiolyis; epiphyseolysis
épiphyseolyse; coxa vara essentielle de l'adolescence; coxa flexa; coxa vara des adolescents; épiphysiolyse fémorale supérieure de l'adolescent; épiphyséolyse	slipped capital femoral epiphysis; adolescent coxa vara
épiphyseolyse; épiphyséolyse	epiphysiolyis; epiphyseolysis
épiphyseolyse fémorale supérieure de l'adolescent; épiphyséolyse; éplphysiolyse ; coxa vara essentielle de l'adolescence; coxa flexa; coxa vara des adolescents	slipped capital femoral epiphysis; adolescent coxa vara
épiphysite vertébrale; maladie de Scheuermann; dystrophie rachidienne de croissance; cyphose douloureuse des adolescents; cyphose juvénile douloureuse; ostéochondrose vertébrale de croissance	Scheuermann's disease; Scheuermann's kyphosis; kyphosis dorsalis juvenilis; juvenile kyphosis; adolescent kyphosis; osteochondritis deformans juvenilis dorsi; vertebral epiphysitis
équarlissemement somatique vertébral (prop.); vertèbre carrée; mise au carré	squarling
érosion de surface	surface erosion
érosion en soucoupe	saucer-shaped erosion; saucerization
érosion marginale	marginal erosion
érosion osseuse	bone erosion; osseous erosion
exostose	exostosis
exostose en porte-manteau	coat hanger exostosis

exostose en stalactite
VOIR **exostose en porte-manteau**

exostose en stalagmite
VOIR **exostose en porte-manteau**



fentes coronales rachidiennes	coronal cleft vertebrae
festonnement vertébral; scalloping (à éviter)	scalloping; vertebral scalloping; scalloped vertebra
fibrome non ostéogénique VOIR lacune corticale métaphysaire	
fissure	hairline fracture
fistule osseuse	cloaca
fistulographie	sinography
fluoroscopie; radioscopie	fluoroscopy; radioscopy; roentgenoscopy
foyer chaud; zone d'hyperfixation; zone chaude; foyer hyperactif	hot spot
foyer froid; lacune scintigraphique; zone d'hypofixation; zone froide	cold spot
foyer hyperactif; foyer chaud; zone d'hyperfixation; zone chaude	hot spot
fracture à double étage	segmental fracture
fracture articulaire; fracture intraarticulaire; fracture intra-articulaire	articular fracture; intraarticular fracture; intra-articular fracture
fracture avec chevauchement	flap fracture

fracture-avulsion

fracture-avulsion; fracture par arrachement	avulsion fracture
fracture bifocale; fracture double	double fracture
fracture bipédiculaire de l'axis; fracture du pendu; fracture des pédicules de l'axis	hangman's fracture
fracture comminutive	comminuted fracture
fracture complète	complete fracture
fracture-compression; fracture par tassemement; fracture-tassement; fracture par compression	compression fracture
fracture corporéale comminutive; burst fracture (à éviter); fracture-éclatement	burst fracture; bursting fracture
fracture crânienne avec déhiscence	dilastatic skull fracture
fracture de A. Guérin; fracture de Le Fort I; fracture de Guérin	Le Fort I fracture; Guérin's fracture
fracture de Barton; fracture de Rhea-Barton	Barton fracture; Barton's fracture
fracture de Bennett; fracture-luxation de Bennett	Bennett's fracture; Bennett fracture; Bennett's fracture-dislocation
fracture de Bosworth	Bosworth fracture
fracture de Chance	Chance's fracture; lap-type seat belt fracture
fracture de Chopart (prop.)	Chopart's fracture
fracture de Cloquet-Shepherd; fracture de Shepherd	Shepherd's fracture
fracture de Colles; fracture de Pouteau; fracture de Pouteau-Colles	Colles' fracture; Colles fracture; Pouteau fracture
fracture de de Quervain	de Quervain's fracture
fracture de Dupuytren	Dupuytren's fracture

fracture de Dupuytren du membre supérieur
VOIR fracture de Galeazzi

fracture de Duverney

fracture de fatigue; fracture de stress

fracture de Galeazzi

fracture de Gérard-Marchant
VOIR fracture de Galeazzi

fracture de Gerdy; fracture de Gosselin

fracture de Goyrand; fracture de Goyrand-Smith; fracture de Pouteau inversée (prop.);
fracture de Pouteau-Colles Inversée

fracture de Guérin; fracture de A. Guérin; fracture de Le Fort I

fracture de Hahn-Steinthai

fracture de Hoffa

fracture de Hutchinson

fracture de Jefferson

fracture de Jones

fracture de Kocher-Lorenz

fracture de l'astragale de l'aviateur (prop.)

fracture de Laugier (prop.)

fracture de Le Fort; fracture de Wagstaffe

Duverney's fracture

fatigue fracture; stress fracture

Galeazzi fracture; Galeazzi's fracture

Gosselin's fracture

Smith's fracture; reverse Colles' fracture

Le Fort I fracture; Guérin's fracture

Hahn-Steinthai fracture

Hoffa's fracture

chauffeur's fracture; backfire fracture; lorry driver's fracture; Hutchinson's fracture

Jefferson fracture; bursting fracture of Jefferson

Jones fracture; dancer's fracture

Kocher's fracture

aviator's astragalus

Laugier's fracture

Le Fort's fracture; Wagstaffe-Le Fort fracture

fracture de Le Fort I

fracture de Le Fort I; fracture de Guérin; fracture de A. Guérin	Le Fort I fracture; Guérin's fracture
fracture de Le Fort II; fracture pyramidale	Le Fort II fracture; pyramidal fracture
fracture de Le Fort III	Le Fort III fracture
fracture de Letenneur; fracture de Rhea-Barton inversée (prop.)	reverse Barton fracture
fracture de Maisonneuve	Maisonneuve's fracture
fracture de Malgaigne	Malgaigne's fracture
fracture de marche	march fracture
fracture de Monteggia	Monteggia's fracture; Monteggia fracture; Monteggia fracture-dislocation
fracture de Monteggia inversée VOIR fracture de Monteggia	
fracture de Moore	Moore's fracture
fracture de Neer I	Neer's I fracture
fracture de Neer II	Neer's II fracture
fracture de parade (prop.)	nightstick fracture; parry fracture
fracture de Piedmont (prop.)	Piedmont fracture
fracture déplacée	displaced fracture
fracture de Posada (prop.)	Posada's fracture
fracture de Pott (prop.)	Pott's fracture
fracture de Pouteau; fracture de Pouteau-Colles; fracture de Colles	Colles' fracture; Colles fracture; Pouteau fracture
fracture de Pouteau-Colles Inversée; fracture de Pouteau inversée (prop.); fracture de Goyrand; fracture de Goyrand-Smith	Smith's fracture; reverse Colles' fracture

fracture de Rhea-Barton; fracture de Barton	Barton fracture; Barton's fracture
fracture de Rhea-Barton inversée (prop.); fracture de Létenneur	reverse Barton fracture
fracture de Rolando	Rolando's fracture
fracture de Shepherd; fracture de Cloquet-Shepherd	Shepherd's fracture
fracture de Skillern	Skillern's fracture
fracture des pédicules de l'axis; fracture bipédiculaire de l'axis; fracture du pendu	hangman's fracture
fracture des premiers pas (prop.); fracture des tout petits (prop.)	toddler's fracture
fracture de Stieda VOIR maladie de Pellegrini-Stieda	
fracture des tousseurs; fracture de toux	cough fracture
fracture des tout petits (prop.); fracture des premiers pas (prop.)	toddler's fracture
fracture de stress; fracture de fatigue	fatigue fracture; stress fracture
fracture de Tillaux	Tillaux fracture; Tillaux-Kleiger fracture
fracture de toux; fracture des tousseurs	cough fracture
fracture de type casse-nollettes (prop.)	nutcracker fracture
fracture de Wagstaffe; fracture de Le Fort	Le Fort's fracture; Wagstaffe-Le Fort fracture
fracture de Walther	Walther fracture
fracture double; fracture bifocale	double fracture

fracture double

fracture double de l'arc antérieur (du bassin)	straddle fracture
fracture du boxeur	boxer's fracture
fracture du coude de l'automobiliste (prop.)	sideswipe fracture
fracture du pendu; fracture des pédicules de l'axis; fracture bipédiculaire de l'axis	hangman's fracture
fracture du petit ortell (prop.)	midnight fracture; night walker's fracture
fracture du pilon tibial	pilon fracture
fracture du plancher orbital; fracture par blow-out (à éviter)	blow-out fracture; blowout fracture
fracture du skieur (prop.)	boot-top fracture; skier's injury
fracture du tableau de bord (prop.); complexe fracturaire du tableau de bord (prop.); syndrome du tableau de bord	dashboard fracture
fracture du terrassier; maladie des terrassiers	clay shoveler's fracture; clay shovellers' fracture; clay-shoveller's fracture; clay-shoveler's fracture
fracture-éclatement; fracture corporéale comminutive; burst fracture (à éviter)	burst fracture; bursting fracture
fracture en alle de papillon	butterfly fragment
fracture en anse de seau	bucket-handle fracture
fracture en balle de ping-pong	ping-pong fracture
fracture en bec de canard	beak fracture
fracture en bec de flûte VOIR fracture oblique	
fracture en bois vert	greenstick fracture; willow fracture; hickory-stick fracture; interperiosteal fracture

fracture en étoile; fracture étoilée; fracture stellaire	stellate fracture
fracture engrenée	Impacted fracture; impaction fracture
fracture en languette de Essex-Lopresti	tongue fracture; tongue fracture of Essex-Lopresti
fracture en larme (prop.); fracture tear-drop	teardrop fracture
fracture en motte de beurre; fracture en tore	torus fracture; buckling fracture; buckle fracture
fracture en spirale; fracture spiroïde	spiral fracture
fracture en tore; fracture en motte de beurre	torus fracture; buckling fracture; buckle fracture
fracture étoilée; fracture stellaire; fracture en étoile	stellate fracture
fracture exposée; fracture ouverte	open fracture; compound fracture
fracture fermée	closed fracture
fracture incomplète	incomplete fracture
fracture indirecte	Indirect fracture
fracture instable	unstable fracture
fracture intraarticulaire; fracture intra-articulaire; fracture articulaire	articular fracture; intraarticular fracture; intra-articular fracture
fracture intracapsulaire	Intracapsular fracture
fracture linéaire	Linear fracture
fracture-luxation	fracture dislocation; fracture-dislocation; dislocation fracture
fracture-luxation de Bennett; fracture de Bennett	Bennett's fracture; Bennett fracture; Bennett's fracture-dislocation
fracture-luxation d'Essex-Lopresti	Essex-Lopresti's fracture

fracture oblique

fracture oblique	oblique fracture
fracture ouverte; fracture exposée	open fracture; compound fracture
fracture par arrachement; fracture-avulsion	avulsion fracture
fracture par blow-out (à éviter); fracture du plancher orbital	blow-out fracture; blowout fracture
fracture par cisaillement	shear fracture
fracture par compression; fracture-compression; fracture par tassemement; fracture-tassement	compression fracture
fracture par insuffisance	insufficiency fracture
fracture par pare-chocs (prop.)	bumper fracture; fender fracture
fracture par rayon de roue (prop.)	wagon wheel fracture
fracture par tassemement; fracture-tassement; fracture par compression; fracture-compression	compression fracture
fracture pathologique	pathologic fracture; pathological fracture
fracture plastique	bowing fracture; bow fracture; plastic bowing fracture
fracture pyramidale; fracture de Le Fort II	Le Fort II fracture; pyramidal fracture
fracture spiroïde; fracture en spirale	spiral fracture
fracture spontanée	spontaneous fracture
fracture stable	stable fracture
fracture stellaire; fracture en étoile; fracture étoilée	stellate fracture

fracture-tassement; fracture par compression; fracture-compression; fracture par tassement	compression fracture
fracture tear-drop (à éviter); fracture en larme (prop.)	teardrop fracture
fracture transversale; fracture transverse	transverse fracture
fracture trimalléolaire	trimalleolar fracture
fragilité osseuse constitutionnelle; fragilité osseuse héréditaire; ostéogénèse Imperfalte	osteogenesis Imperfecta ; brittle bones; <i>fragilitas ossium</i>
fusiforme ; en fuseau	fusiform ; spindle-shaped



géode	subchondral cyst ; geode
-------	---------------------------------



hanche bote; coxa vara ; coxa retrorsa; coxa adducta	coxa vara ; coxa adducta
hémlvertèbre	hemlvertebra
hérissement; aspect hérisssé	whiskering
hernie discale ; hernie nucléaire discale; hernie du disque intervertébral	herniation of nucleus pulposus ; herniated disk; disk herniation; herniation of intervertebral disk
hernie discale intraspongiale ; hernie intraspongiale; nodule de Schmorl	Schmorl's node

hernie

hernie du disque intervertébral; hernie discale ; hernie nucléaire discale	herniation of nucleus pulposus; herniated disk; disk herniation; herniation of intervertebral disk
hernie intraspongieuse; nodule de Schmorl; hernie discale Intraspongieuse	Schmorl's node
hernie nucléaire discale; hernie du disque intervertébral; hernie discale	herniation of nucleus pulposus; herniated disk; disk herniation; herniation of intervertebral disk
hernie rétromarginale antérieure VOIR hernie discale Intraspongieuse	
hernie rétromarginale postérieure VOIR hernie discale Intraspongieuse	
hiérolisthésis; sacrollisthésis ; sacrum basculé	sacrollisthesis
hippocratisme digital ; doigts en baguette de tambour; doigts en battant de cloche; doigts en spatule; doigts hippocratiques; doigts en canne de golf	clubbing ; clubbed digits; clubbed fingers; hippocratic fingers; drumstick fingers
hyperostose	hyperostosis
hyperostose engainante; coulée osseuse	flowing ossification
hyperostose frontale Interne	hyperostosis frontalis interna



îlot condensant bénin; îlot dense
bénin; îlot osseux (prop.); **îlot**
osseux condensant; énostose

bone island; sclerotic bone island;
enostosis

Image de l'oeuf au nid

button of bone

Image de pointe de crayon dans une cupule; aspect de pointe de crayon dans une cupule	pencil-in-cup deformity; pencil-in-cup appearance
Image de pommelure	hammered brass appearance; beaten brass appearance; silver beaten appearance; copper beaten appearance
image des trois rails d'un tramway; aspect en rail de tramway	trolley-track sign
Image d'os dans l'os; aspect d'os dans l'os	bone-within-a-bone appearance; bone-within-bone appearance
Image du petit chien à collier; image du petit chien décapité	scotty dog sign; scotty dog appearance
image en bulbe d'oignon; aspect en pelure d'oignon	onion-peel appearance; onion-skin appearance; onionskin appearance; laminated appearance
image en côte de céleri; image en tige de céleri	celery stick appearance; celery stick sign
Image en coulée de bougie	flowing wax appearance
Image en double densité	double density sign
image en fer de lance; aspect en fer de lance	blade of grass appearance; blade of grass sign; flame appearance
Image en feu d'herbes; aspect en rayons de soleil	sunburst appearance; sun-ray appearance
Image en haltère (prop.)	dumb-bell appearance
Image en loup de carnaval	harlequin mask appearance
Image en tige de céleri; image en côte de céleri	celery stick appearance; celery stick sign
Image en toit de pagode; aspect en toit de pagode; aspect en trompette; aspect en saucière	trumpeting; saucer-shaped appearance; metaphyseal cupping
Imagerie par résonance magnétique; IRM; remnographie	magnetic resonance Imaging; MRI

impression

impression basilaire	basilar impression
Incidence	projection
Incidence à direction céphalique de l'épaule (prop.)	angle-up view; cephalic tilt view
Incidence antéro-postérieure	anteroposterior projection
incidence axiale; Incidence de Hlitz	basal view; basal projection; axial view; axial projection; Hlitz projection
incidence axillaire en procubitus (prop.); Incidence de West Point	West Point view; West Point projection
Incidence bouche ouverte	open-mouth position; open-mouth view; odontoid view
Incidence cranio-caudale; incidence descendante	craniocaudal view; craniocaudad view (prop.); cephalocaudad view
Incidence d'Albers-Schönberg (prop.)	Albers-Schönberg's position
Incidence d'Alexander	Alexander's anteroposterior position
Incidence d'Arcelin (prop.)	Arcelin's position; reverse Stenvers view
Incidence de Béclère	Béclère position
Incidence de Bertel (prop.)	Bertel's position
Incidence de Blineau	Blineau's projection
Incidence de Blondeau	Waters projection; Waters' position; Waters' view
incidence de Bloom et Obata; profil de Bloom et Obata	Velpeau axillary lateral view
incidence de Bretton; incidence de Towne; Incidence de Worms; incidence de Worms-Bretton	Towne's projection; Towne-Chamberlain position; Grashey's position
Incidence de Brewerton	Brewerton view; Brewerton's projection

Incidence de Burman (prop.)	Burman view
Incidence de Cahoon (prop.)	Cahoon's position
Incidence de Caldwell (prop.)	Caldwell's projection; Caldwell view; Caldwell's position; Caldwell projection
Incidence de Chaussé III; incidence III de Chaussé	Chaussé III position
Incidence de Didlée	Didlee view
Incidence de Fisk (prop.)	Fisk position; Fisk projection
Incidence de Grashey (prop.)	Grashey position; Grashey projection
Incidence de Gullen	Gullen's view
Incidence de Heinig	Heinig projection; Heinig view
Incidence de Hirtz; incidence axiale	basal view; basal projection; axial view; axial projection; Hirtz projection
Incidence de Hobbs (prop.)	Hobbs view
Incidence de Hughston (prop.)	Hughston view
incidence de la cuisse de grenouille (prop.); Incidence de Lauenstein	frog-leg view
Incidence de Laquerrière et Pierquin	Laquerrière-Pierquin position
Incidence de Lauenstein; incidence de la cuisse de grenouille (prop.)	frog-leg view
Incidence de Laurin (prop.)	Laurin's projection
Incidence de Law (prop.)	Law position
Incidence de l'échancrure Intercondylienne	tunnel view; notch view; intercondylar view
Incidence de Mayer	Mayer position

incidence

incidence de Merchant (prop.)	Merchant view; Merchant's projection
incidence de Norgaard (prop.)	Norgaard's projection; ball catcher's view
incidence de Rhese	Rhese position
incidence de Rockwood	Rockwood projection
incidence descendante; incidence crano-caudale	craniocaudal view; craniocaudad view (prop.); cephalocaudad view
incidence de Schüller	Schüller projection; Schüller position
incidence de Stenvers	Stenvers projection; Stenvers view; Stenvers position
incidence de Stryker	Stryker notch view
incidence de Towne; incidence de Worms; incidence de Worms-Bretton; incidence de Bretton	Towne's projection; Towne-Chamberlain position; Grashey's position
incidence de Waters	exaggerated Waters position
incidence de West Point; incidence axillaire en procubitus (prop.)	West Point view; West Point projection
incidence de Worms; incidence de Worms-Bretton; incidence de Bretton; incidence de Towne	Towne's projection; Towne-Chamberlain position; Grashey's position
incidence d'Harris et Beath (prop.)	Harris-Beath view; Harris-Beath projection; Harris view; ski-jump view; ski-jump projection
incidence d'Hermodsson (prop.); incidence tangentielle d'Hermodsson (prop.)	Hermodsson's tangential projection; Hermodsson view
incidence du nageur	swimmer's projection; swimmer's view; Twining position
incidence fémoro-patellaire (gén.)	sunrise view (spec.); skyline view (spec.); Settegast position (spec.)

Incidence oblique antérieure droite	right anterior oblique projection
Incidence postéro-antérieure	posteroanterior projection
Incidence tangentielle d'Hermodsson (prop.); incidence d'Hermodsson (prop.)	Hermodsson's tangential projection; Hermodsson view
Incidence tête radiale-capitellum	radial head-capitellum view
Incidence transthoracique; profil transthoracique	transthoracic projection; transthoracic view; transthoracic lateral projection; transthoracic lateral view
Incidence unilatérale de Loepp	Loepp's projection
index de concavité des plateaux vertébraux; Indice de biconcavité	biconcavity index
Index de Singh; index trabéculaire du col fémoral; indice de Singh; indice du col fémoral de Singh	Singh Index
Index d'Insall et Salvati (prop.)	Insall-Salvati index
Index illaque	Iliac index
Index sellaire	sellar-cranial index
Index sésamoïdien	sesamoid index
index trabéculaire du col fémoral; indice de Singh; indice du col fémoral de Singh; Index de Singh	Singh Index
Indice céphallique	cephalic index
Indice crânien de Cronqvist	Cronqvist's index
Indice de biconcavité; index de concavité des plateaux vertébraux	biconcavity index
indice de Singh; indice du col fémoral de Singh; Index de Singh; index trabéculaire du col fémoral	Singh Index

indice _____

indice fémoro-patellaire	patellofemoral index
Indice métacarpien	metacarpal index
infarctus osseux	bone Infarct
invagination basilaire VOIR impression basilaire	
Involucré	involucrum
IRM; remnographie; Imagerie par résonance magnétique	magnetic resonance imaging; MRI



kyste de Baker; kyste poplité	popliteal cyst; Baker's cyst
kyste synovial	synovial cyst



lacune corticale métaphysaire	fibrous cortical defect
lacune scintigraphique; zone d'hypofixation; zone froide; foyer froid	cold spot
lésion de Bankart	Bankart lesion
lésion de Hill-Sachs; encoche de Hill-Sachs	Hill-Sachs lesion; Hill-Sachs deformity; Hill-Sachs defect
lésion en anse de seau	bucket-handle tear; bucket-handle fracture
lésion en belgnet (prop.)	doughnut lesion; calvarial doughnut lesion

ligne bidigastrique; ligne bidigastrique de Fischgold et Metzger; ligne digastrique de Fischgold ; ligne digastrique de Fischgold et Metzger	Fischgold's digastric line; Metzger-Fischgold line; Fischgold's biventer line; digastric line
ligne bimastoïdienne; ligne bimastoïdienne de Fischgold	Fischgold's bimastoid line; bimastoid line
ligne blanche de Fraenkel; bande opaque de Fraenkel; signe de Fraenkel	white line of Fraenkel; white line of Fränkel; Fränkel's line
ligne de Blumensaat (prop.)	Blumensaat's line
ligne de Chamberlain	Chamberlain's line
ligne de Feiss	Feiss line
ligne de Hueter	Hueter's line
ligne de Klein	Trethowan's line
ligne de Köhler (prop.); ligne illo-ischiatique	Köhler's line; ilioischial line
ligne de MacGregor; ligne de MacGregor	MacGregor's base line; MacGregor's line
ligne de MacRae	McRae's line; foramen magnum line
ligne de McGregor; ligne de MacGregor	McGregor's base line; MacGregor's line
ligne de Ménard; cintre cervico-obturateur; ligne de Shenton	Shenton's line; Shenton's arch; cervico-obturator line
ligne de Moloney (prop.); cintre scapulo-huméral	Moloney's line; scapulohumeral arch
ligne de Nélaton; ligne de Nélaton-Roser	Nélaton's line; Roser-Nélaton line; Roser's line
ligne dense de la tête humérale	trough line
ligne de Perkins; ligne d'Ombrédanne	Perkins' line; vertical line of Ombrédanne
ligne de Schade	Schade's line

ligne

ligne de Shenton; ligne de Ménard; centre cervico-obturateur	Shenton's line ; Shenton's arch; cervico-obturator line
ligne de Simon (prop.)	Simon's line
ligne de Skinner (prop.)	Skinner's line
ligne de Trümmerfeld; ligne scorbutique de Pelkan; zone claire de Lehndorff ; zone de Trümmerfeld	Truemmerfeld zone ; Truemmerfeld line
ligne digastrique de Fischgold ; ligne digastrique de Fischgold et Metzger; ligne bidigastrique de Fischgold et Metzger; ligne bidigastrique	Fischgold's digastric line ; Metzger-Fischgold line; Fischgold's biventer line; digastric line
ligne d'Ombrédanne ; ligne de Perkins	Perkins' line ; vertical line of Ombrédanne
ligne illo-ischiatique ; ligne de Köhler (prop.)	Köhler's line ; ilioischial line
ligne radiocondyllienne	radiocapitellar line
ligne scorbutique de Pelkan; zone claire de Lehndorff ; zone de Trümmerfeld; ligne de Trümmerfeld	Truemmerfeld zone ; Truemmerfeld line
lignes d'arrêt de croissance de Harris; stries d'arrêt de croissance; lignes de croissance; lignes de Harris	Harris lines ; growth arrest lines; growth-arrest lines; transverse lines of Park; growth recovery lines
lignes de Campbell	Campbell's lines
lignes de croissance; lignes de Harris ; lignes d'arrêt de croissance de Harris; stries d'arrêt de croissance	Harris lines ; growth arrest lines; growth-arrest lines; transverse lines of Park; growth recovery lines
lippe ostéophytique (spéc.); lipping vertébral (spéc.)	lipping (gen.)
liséré calcique	thin line of calcification
lombalisation ; lomballsation de S1 ; lombarisation	lumbarization

luxation; luxation articulaire	dislocation; luxation
luxation de Nélaton (prop.)	Nélaton's dislocation
luxation des facettes articulaires; accrochage des facettes articulaires (prop.)	locked facets; dislocation of articular processes
luxation du Lisfranc	Lisfranc's fracture-dislocation
lymphangiographie; lymphographie	lymphangiography; lymphography
lyse isthmique; spondylolyse; spondyloschisis	spondylolysis
	
main en coup de vent; doigts en coup de vent; coup de vent cubital; déviation cubitale des doigts	ulnar drift; ulnar deviation of the fingers
main en lorgnette	opera-glass hand; main en lorgnette
maladie d'Albers-Schönberg; maladie des os de marbre; ostéopétrose génotypique; ostéopétrose	osteopetrosis; Albers-Schönberg disease; marble bones; ivory bones
maladie de Baastrup; arthrose interépineuse; ostéoarthrose interépineuse; syndrome de Baastrup	Baastrup's syndrome; Baastrup's disease
maladie de Gorham; ostéolyse massive idiopathique	Gorham's disease; Gorham's syndrome; disappearing bone disease; massive osteolysis; phantom bones
maladie de Léri et Joanny; ostéose éburnante de Léri; mélorhéostose; ostéose éburnante monomélique	melorheostosis; candle bones; Léri's disease

maladie

maladie de Pellegrini-Stieda

Pellegrini's disease;
Pellegrini-Stieda disease;
Stieda's disease

maladie de Scheuermann;
dystrophie rachidienne
de croissance; cyphose
douloureuse des adolescents;
cyphose juvénile douloureuse;
ostéochondrose vertébrale
de croissance; épiphysite
vertébrale

Scheuermann's disease;
Scheuermann's kyphosis;
kyphosis dorsalis juvenilis;
juvenile kyphosis; adolescent
kyphosis; osteochondritis
deformans juvenilis dorsi;
vertebral epiphysitis

**maladie de Schüller; ostéoporose
circonscrite; ostéoporose
circonscrite du crâne**

osteoporosis circumscripita;
osteoporosis circumscripita
crani; Schüller's disease

maladie des os de marbre;
ostéopétrose génotypique;
ostéopétrose; maladie
d'Albers-Schönberg

osteopetrosis; Albers-Schönberg
disease; marble bones; ivory
bones

**maladie des terrassiers; fracture
du terrassier**

clay shoveler's fracture;
clay shovelers' fracture;
clay-shoveller's fracture;
clay-shoveler's fracture

maladie de Voorhoeve;
ostéopathie striée; ostéopoecille
striée

osteopathia striata; Voorhoeve's
disease

maladie d'Otto
VOIR bassin d'Otto

maturatio osseuse; âge osseux

bone age

**mélorhéostose; ostéose
éburnante monomélique;**
maladie de Léri et Joanny;
ostéose éburnante de Léri

melorheostosis; candle bones;
Léri's disease

ménisque externe discoïde

discoid lateral meniscus

méthode de Blackburne et Peel

Blackburne's technique

méthode de Bullit (prop.)

Bullit's method

méthode de Dunlap
**VOIR angle d'antéversion du col
fémoral**

méthode de Ferguson; méthode de Ferguson-Risser	Risser-Ferguson method; Ferguson's method
méthode de Garland	Garland-Thomas method
méthode de Girdany et Golden (prop.)	Girdany-Golden method
méthode de Lippmann-Cobb	Cobb method; Cobb's method
méthode de Magilligan	Indirect method of Magilligan
méthode de Magilligan VOIR angle d'antéversion du col fémoral	
méthode de Meema (prop.)	method of Meema
méthode de Meyerding	Meyerding's method
méthode de Sontag, Snell et Anderson (prop.)	Sontag, Snell, and Anderson method
méthode de Sweet	Sweet's method
méthode de Thazos VOIR angle d'antéversion du col fémoral	
mise au carré; équarrissement somatique vertébral (prop.); vertèbre carrée	squaring
myélographie	myelography
myélographie gazeuse	air myelography
myosite ossifiante; myosite ossifiante localisée	localized myositis ossificans
myosite ossifiante progressive VOIR myosite ossifiante	

nécrose



nécrose aseptique
VOIR infarctus osseux

**niche en coup d'ongle; encoche
en coup d'ongle** crater

nidus **nidus**

nodos tés de Bouchard **Bouchard's nodes**

nodosités d'Heberden **Heberden's nodes**

nodule de Schmorl; hernie discale intraspongieuse; hernie intraspongieuse **Schmorl's node**

nucléographie: discographie **discography: diskography**

occipitalisation de l'atlas **occipitalization of the atlas**



os central du carpe **os centrale; central bone**

ossification en lame (prop.) **dagger sign**

ossification hétérotopique

ossification hétérotopique
VOIR ostéome des cavaliers

ossification intersomatique; syndesmophyte

ostéite condensante de l'ilion;
ostéite condensante de l'os iliaque; ostéose condensante iliaque bénigne; ostéose condensante bénigne de Barsony

ostéoarthrose interépineuse;
syndrome de Baastrup;
maladie de Baastrup; arthrose interépineuse

ostéochondrome

ostéochondrose vertébrale de croissance; épiphysite vertébrale; **maladie de Scheuermann**; dystrophie rachidienne de croissance; cyphose douloureuse des adolescents; cyphose juvénile douloureuse

ostéogénèse imparfaite; fragilité osseuse constitutionnelle; fragilité osseuse héréditaire

ostéolyse

ostéolyse géographique

ostéolyse massive idiopathique;
maladie de Gorham

ostéolyse mltée; ostéolyse mouchetée

ostéolyse ponctuée; ostéolyse vermoulu

ostéomalacie

ostéome des cavaliers

ostéome hétéroplastique
VOIR **ostéome des cavaliers**

osteitis condensans illi

Baastrup's syndrome; Baastrup's disease

osteochondroma;
osteocartilaginous exostosis

Scheuermann's disease;
Scheuermann's kyphosis;
kyphosis dorsalis juvenilis;
juvenile kyphosis; adolescent kyphosis; osteochondritis deformans juvenilis dorsi; vertebral epiphysitis

osteogenesis Imperfecta; brittle bones; fragilitas ossium

osteolysis; bone destruction

geographic bone destruction

Gorham's disease; Gorham's syndrome; disappearing bone disease; massive osteolysis; phantom bones

moth-eaten bone destruction;
moth-eaten bone destruction

permeative bone destruction

osteomalacia

rider's bone; riders' bone; cavalry bone

ostéome

ostéome ostéoïde	osteoid osteoma
ostéonécrose	osteonecrosis
ostéopathie condensante disséminée; ostéopoïkilonosis ; ostéopoecille	osteopolkilosis ; spotted bones; osteopathia condensans disseminata
ostéopathie striée ; ostéopoecille striée ; maladie de Voorhoeve	osteopathia striata ; Voorhoeve's disease
ostéopénie	osteopenia
ostéopétrose ; ostéopetrose génotypique; maladie d'Albers-Schönberg; maladie des os de marbre	osteopetrosis ; Albers-Schönberg disease; marble bones; ivory bones
ostéophyte	osteophyte
ostéophyte de traction (prop.)	traction osteophyte ; traction spur
ostéophyte en crochet (prop.)	claw osteophyte ; claw spur
ostéophytes en bec-de-perroquet (prop.); bec-de-perroquet	kissing osteophytes ; parrot beak-like osteophytes
ostéophytose	osteophytosis
ostéophytose en hamac	buttressing
ostéopoecille ; ostéopathie condensante disséminée; ostéopoïkilonosis	osteopoikilosis ; spotted bones; osteopathia condensans disseminata
ostéopoecille striée ; maladie de Voorhoeve ; ostéopathie striée	osteopathia striata ; Voorhoeve's disease
ostéopoïkilonosis ; ostéopoecille ; ostéopathie condensante disséminée	osteopolkilosis ; spotted bones; osteopathia condensans disseminata
ostéoporose	osteoporosis
ostéoporose circonscrite ; ostéoporose circonscrite du crâne; maladie de Schüller	osteoporosis circumscripita ; osteoporosis circumscripita cranii; Schüller's disease
ostéoporose granuleuse du crâne	salt-and-pepper osteoporosis ; miliary osteoporosis

ostéoradionécrose	osteoradionecrosis
ostéosclérose	osteosclerosis
ostéose condensante bénigne de Barsony; ostéose condensante iliaque bénigne; ostéite condensante de l'ilion; ostéite condensante de l'os iliaque	ostelitis condensans III
ostéose éburnante de Léri; ostéose éburnante monomélique; mélorhéostose ; maladie de Léri et Joanny	melorheostosis; candle bones; Léri's disease
os trigone	os trigonum ; os triangulare; triangular bone
os wormiens	wormian bones ; sutural bones
oxycéphalie; acrocéphalle	oxycephaly; acrocephaly



patella alta	patella alta ; high-riding patella
patella baja ; patella infera	patella baja ; low-riding patella
patella bipartita	bipartite patella ; patella bipartita
patella cubiti ; rotule cubitale; sésamoïde du coude	patella cubiti
patella infera; patella baja	patella baja ; low-riding patella
patella magna	patella magna
patella multipartita VOIR patella bipartita	
patella parva	patella parva
patella tripartita VOIR patella bipartita	
périostéose; pérlostose	periostosis

phalange

phalange d'ivoire (prop.)	ivory phalanx
phénomène du vide discal ; vide discal	vacuum phenomenon
phlébographie ; veinographie	venography; phlebography
phlébographie rachidienne	epidural venography
pincement articulaire ; pincement de l'interligne articulaire	joint space narrowing
pincement discal	disc space narrowing ; disk space narrowing; intervertebral disc space narrowing; narrowing of the intervertebral disc space
plagiocéphalie	plagiocephaly
platybasie	platybasia
platyspondylie	platyspondyilia ; platyspondylisis ; platyspondyly
position de Chassard et Lapiné	Chassard-Lapiné position
pouce du garde-chasse (prop.); pouce du skieur (prop.)	gamekeeper's thumb ; skier's thumb
pouce en Z ; déformation du pouce en Z	thumb boutonnierre deformity ; boutonnierre deformity of the thumb ; Z-shaped deformity (of the thumb)
procédé de Pélissier et Ottonello	Ottomello's method
profil axillaire	axillary view ; axillary projection
profil de Bloom et Obata ; incidence de Bloom et Obata	Velpeau axillary lateral view
profil de l'omoplate	scapular Y view ; scapula Y projection
profil glénoïdien ; profil glénoïdien de Bernageau	Bernageau's projection (prop.)
profil transthoracique ; incidence transthoracique	transthoracic projection ; transthoracic view ; transthoracic lateral projection ; transthoracic lateral view

protrusion acétabulaire	protrusio acetabuli
pseudarthrose	nonunion; non-union
pseudarthrose atrophique	atrophic nonunion
pseudarthrose fibro-cartilagineuse; pseudarthrose hypertrophique	hypertrophic nonunion
pseudarthrose fibro-synoviale VOIR pseudarthrose	
pseudarthrose hypertrophique; pseudarthrose fibro-cartilagineuse	hypertrophic nonunion
pseudo-élargissement de l'Interligne gléno-huméral (prop.)	positive rim sign
pseudo-fracture	pseudofracture
pseudo-goutte VOIR chondrocalcinose articulaire	



rachischisis	rachischisis
rachis en maillot de rugby	rugger jersey spine
rachitisme VOIR ostéomalacie	
radiculographie; radiculosaccographie; saccoradiculographie; sacco-radiculographie	radiculography
radiogrammétrie	radiogrammetry
radiographie stéréoscopique; stéréoradiographie	stereoradiography

radioscopie

radioscopie; fluoroscopie	fluoroscopy; radioscopy; roentgenoscopy
rales saturnines (prop.)	lead lines
raréfaction osseuse	bone rarefaction; rarefaction of bone
réaction périostée; apposition périostée	periosteal reaction; periosteal bone apposition
remnographie; imagerie par résonance magnétique; IRM	magnetic resonance imaging; MRI
résorption osseuse; résorption osseuse ostéoclastique	bone resorption
retard de consolidation	delayed union
rétroulisthésis	retrolisthesis; reverse spondylolisthesis
rotule crénelée	tooth sign
rotule cubitale; sésamoïde du coude; patella cubiti	patella cubiti
rotule en béret de chasseur alpin	alpine hunter's cap



saccoradiculographie; sacco-radiculographie; radiculosaccographie; radiculographie	radiculography
sacralisation	sacralization
sacro-iléite; sacro-illite	sacrollilitis; sacro-illitis
sacrollisthésis; sacrum basculé; hiérolisthésis	sacrolisthesis
scalloping (à éviter); festonnement vertébral	scalloping; vertebral scalloping; scalloped vertebra

scanogramme; topogramme; scout-view (à éviter)	scout view
scanographie; tomographie axiale transverse avec ordinateur; tomographie axiale avec ordinateur; tomographie axiale transverse commandée par ordinateur; TACO; tomodensitométrie	computerized axial tomography; CAT; CAT scanning; computerized transaxial tomography
scanographie	scanography
scaphocéphalle	scaphocephaly; boat-shaped head; canoe-shaped head
scintigraphie du squelette; scintigraphie osseuse	bone scintigraphy; skeletal scintigraphy; radionuclide bone imaging
scout-view (à éviter); scanogramme ; topogramme	scout view
selle ballon; selle ballonnée; ballonnisation de la selle turcique	ballooning of the sella turcica; ballooned sella
selle turcique vide	empty sella turcica; empty sella
séquestre	sequestrum
séquestre en bouton ; button sequestrum (à éviter)	button sequestrum
séquestrés en miroir (prop.)	kissing sequestra
sésamoïde du coude; patella cubiti ; rotule cubitale	patella cubiti
signe carpien	carpal sign
signe de Capener (prop.)	Capener's sign
signe de Fraenkel; ligne blanche de Fraenkel; bande opaque de Fraenkel	white line of Fraenkel; white line of Fränkel; Fränkel's line
signe de Gage	Gage's sign
signe de Hefke-Turner; signe de l'obturateur interne	obturator sign; Hefke-Turner sign

signe _____

signe de Kosowicz; tibia en enclume	Kosowicz' sign
signe de la chute du fragment osseux	fallen fragment sign
signe de la coquille d'oeuf	crescent sign
signe de la corde lâche (prop.)	sagging rope sign
signe de l'affaissement (prop.); signe du décrochage	bite sign
signe de la larme	teardrop sign
signe de la ligne grasseuse parascaphoïdienne (prop.)	positive navicular fat stripe sign
signe de la mouette	gull-wing sign
signe de l'anneau	ring sign
signe de l'anneau de Saturne (prop.)	Saturn's ring sign
signe de la pointe de tarte (prop.); signe de la touple; aspect en toupie	piece of cheese sign
signe de la tasse renversée (prop.)	spilled teacup sign
signe de la touple; aspect en toupie; signe de la pointe de tarte (prop.)	piece of cheese sign
signe de Laugier	Laugier's sign
signe de l'obturateur Interne; signe de Hefke-Turner	obturator sign; Hefke-Turner sign
signe de Romanus; spondylite antérieure de Romanus; spondylite érosive de Romanus; spondylite antérieure	Romanus lesions
signe de Terry-Thomas	Terry-Thomas sign
signe de Thurston-Holland (prop.)	Thurston-Holland sign; Thurston Holland's fragment; Thurston Holland's corner sign

signe de Waldenström	Waldenström's sign
signe de Wimberger; anneau de Wimberger	Wimberger's line; Wimberger line; Wimberger ring; Wimberger's sign of scurvy
signe d'Hawkins (prop.)	Hawkins sign
signe du coussinet plantaire (prop.)	heel pad sign
signe du décrochage; signe de l'affaissement (prop.)	bite sign
signe du liseré graisseux (prop.)	positive elbow fat pad sign; fat pad sign
signe du noeud papillon	bow tie appearance; bow tie sign
signe métacarpien d'Archibald	metacarpal sign
signe phalangien (prop.)	phalangeal sign
soufflure; blistering (à éviter)	blister sign
soufflure	blown-out appearance
souris articulaire; corps étranger articulaire; corps étranger intra-articulaire	joint mouse; joint body
spiculation	spiculation
spina ventosa	spina ventosa
spondylite antérieure; spondylite antérieure de Romanus; spondylite érosive de Romanus; signe de Romanus	Romanus lesions
spondylolisthésis	spondylolisthesis
spondylolyse; spondyloschisis; lyse isthmique	spondylolysis
spondyloptose VOIR spondylolisthésis	
spondyloschisis; lyse isthmique; spondylolyse	spondylolysis

stéréoradiographie

stéréoradiographie; radiographie stéréoscopique

stries d'arrêt de croissance;
lignes de croissance; **lignes de Harris**; lignes d'arrêt de croissance de Harris

stries de Looser; **stries de Looser-Milkman**; zones de Looser; traits de Looser; zones de Looser-Milkman; traits de Looser-Milkman

syndesmophyte; ossification intersomatique

syndrome de Baastrup; maladie de Baastrup; arthrose interépineuse; ostéoarthrose interépineuse

syndrome du tableau de bord;
fracture du tableau de bord (prop.); complexe fracturaire du tableau de bord (prop.)

synostose du tarse; synostose tarsienne

stereoradiography

Harris lines; growth arrest lines; growth-arrest lines; transverse lines of Park; growth recovery lines

Looser's zones; Looser's transformation zones; Looser's lines

syndesmophyte

Baastrup's syndrome; Baastrup's disease

dashboard fracture

tarsal coalition



TACO; **tomodensitométrie**; scanographie; tomographie axiale transverse avec ordinateur; tomographie axiale avec ordinateur; tomographie axiale transverse commandée par ordinateur

tastement cunéiforme

tastement vertébral

computerized axial tomography; CAT; CAT scanning; computerized transaxial tomography

wedge fracture; wedge compression fracture; anterior wedge fracture

vertebral collapse; vertebral compression

technique de Andren-von Rosen	Andren-von Rosen technique
technique d'immersion (prop.)	immersion technique
tête à risque	head at risk
thermographie	thermography
thorax en cloche; thorax en crinoline	bell-shaped thorax
tibia en enclume; signe de Kosowicz	Kosowicz' sign
tomodensitométrie; scanographie; tomographie axiale transverse avec ordinateur; tomographie axiale avec ordinateur; tomographie axiale transverse commandée par ordinateur; TACO	computerized axial tomography; CAT; CAT scanning; computerized transaxial tomography
tomographie	tomography; body-section roentgenography; body section roentgenography; body-section radiography
tomographie axiale avec ordinateur; tomographie axiale transverse avec ordinateur; tomographie axiale transverse commandée par ordinateur; TACO; tomodensitométrie; scanographie	computerized axial tomography; CAT; CAT scanning; computerized transaxial tomography
tophus	tophus; gouty tophus
topogramme; scout-view (à éviter); scanogramme	scout view
traits de Looser; traits de Looser-Milkman; stries de Looser-Milkman; zones de Looser-Milkman; stries de Looser; zones de Looser	Looser's zones; Looser's transformation zones; Looser's lines
triade de Putti	Putti's triad
triangle de Codman; éperon de Codman; éperon périosté	Codman's triangle

trigonocéphalie

trigonocéphalie

trigonocephaly

tumeur osseuse pseudo-maligne
des tissus mous
VOIR myosite ossifiante

turricéphalie
VOIR acrocéphalie



ultrasonographie; échographie

**ultrasonography; sonography;
echography**

uncarthrose

uncarthrosis



veinographie; phlébographie

venography; phlebography

vertebra plana

vertebra plana

vertèbre aveugle
VOIR vertèbre borgne

**vertèbre biconcave; vertèbre de
poisson**

**fish vertebra; codfish vertebra;
biconcave vertebra**

vertèbre borgne

one-eyed vertebra sign

**vertèbre carrée; mise au carré;
équarlissemment somatique
vertébral (prop.)**

squaring

**vertèbre cunéiforme; vertèbre en
coin; vertèbre trapézoïdale**

**wedge-shaped vertebra; wedged
vertebra**

**vertèbre de poisson; vertèbre
biconcave**

**fish vertebra; codfish vertebra;
biconcave vertebra**

vertèbre de transition

transitional vertebra

vertèbre d'ivoire; vertèbre noire	ivory vertebra; vertebra nigra
vertèbre en cadre; vertèbre encadrée	picture frame vertebra
vertèbre en chapeau de gendarme renversé; aspect du chapeau de gendarme renversé; aspect du chapeau de Napoléon renversé	Inverted Napoleon hat sign; inverted gendarme's cap; bow-line of Brailsford; bow sign
vertèbre en coin; vertèbre trapézoïdale; vertèbre cunéiforme	wedge-shaped vertebra; wedged vertebra
vertèbre en diabolo	hourglass vertebra
vertèbre en galette	pancake vertebra
vertèbre en H	H vertebra
vertèbre en languette	tonguelike defect (of vertebra)
vertèbre en papillon	butterfly vertebra
vertèbre en rostre	sail vertebra; hook-shaped vertebra
vertèbre limbique (prop.)	limbus vertebra
vertèbre noire; vertèbre d'ivoire	Ivory vertebra; vertebra nigra
vertèbre peignée; vertèbre striée	corduroy cloth appearance (of a vertebra)
vertèbre sandwich	sandwich vertebra
vertèbre striée; vertèbre peignée	corduroy cloth appearance (of a vertebra)
vertèbre trapézoïdale; vertèbre cunéiforme; vertèbre en coin	wedge-shaped vertebra; wedged vertebra
vide discal; phénomène du vide discal	vacuum phenomenon



xérographie; xéroradiographie

xeroradiography; xerography



zone chaude; foyer hyperactif;
foyer chaud; zone
d'hyperfixation

hot spot

zone claire de Lehndorff; zone
de Trümmerfeld; ligne de
Trümmerfeld; ligne scorbutique
de Pelkan

Truemmerfeld zone;
Truemmerfeld line

zone d'hyperfixation; zone
chaude; foyer hyperactif;
foyer chaud

hot spot

zone d'hypofixation; zone froide;
foyer froid; lacune
scintigraphique

cold spot

zones de Looser; zones de
Looser-Milkman; traits
de Looser; stries de
Looser-Milkman; traits de
Looser-Milkman; stries de
Looser

Looser's zones; Looser's
transformation zones; Looser's
lines

zones d'os nu

bare areas

zonographie

zonography; narrow angle
conventional tomography

**Lexique systématique anglais-français /
English-French Classified Glossary**

General Terms / Généralités

acro-osteolysis; acroosteolysis	acrostéolyse; acro-ostéolyse
Albers-Schönberg disease; marble bones; ivory bones; osteopetrosis	ostéopétrose; maladie d'Albers-Schönberg; maladie des os de marbre; ostéopétrose génotypique
angiography	angiographie
angle sign; angle sign of scurvy; corner sign of scurvy; corner sign	encoche de Park (prop.); corner sign (à éviter)
anteroposterior projection	incidence antéro-postérieure
arteriography	artériographie
arthrography	arthrographie
articular fracture; intraarticular fracture; intra-articular fracture	fracture articulaire; fracture intraarticulaire; fracture intra-articulaire
atrophic nonunion	pseudarthrose atrophique
avulsion fracture	fracture-avulsion; fracture par arrachement
bare areas	zones d'os nu
blade of grass appearance; blade of grass sign; flame appearance	aspect en fer de lance; image en fer de lance
blown-out appearance	soufflure
body-section radiography; body-section roentgenography; body section roentgenography tomography	tomographie
bone age	âge osseux; maturation osseuse
bone destruction; osteolysis	ostéolyse
bone erosion; osseous erosion	érosion osseuse

bone infarct	infarctus osseux
bone Island; sclerotic bone island; énostose	îlot osseux condensant; îlot condensant bénin; îlot dense bénin; îlot osseux (prop.); énostose
bone rarefaction; rarefaction of bone	raréfaction osseuse
bone resorption	réorption osseuse; réorption osseuse ostéoclastique
bone scintigraphy; skeletal scintigraphy; radionuclide bone imaging	scintigraphie osseuse; scintigraphie du squelette
bone-within-a-bone appearance; bone-within-bone appearance	image d'os dans l'os; aspect d'os dans l'os
bow fracture; bowing fracture; plastic bowing fracture	fracture plastique
brittle bones; fragilitas ossium; osteogenesis imperfecta	ostéogénèse imparfaite; fragilité osseuse constitutionnelle; fragilité osseuse héréditaire
Brodie's abscess	abcès de Brodie
buckle fracture; buckling fracture; torus fracture	fracture en motte de beurre; fracture en tore
bursography	bursographie
butterfly fragment	fracture en aile de papillon
button of bone	Image de l'oeuf au nid
calcification	calcification
calcinosis	calcinose
candle bones; Léri's disease; melorheostosis	mélorhéostose; ostéose éburnante monomélique; maladie de Léri et Joanny; ostéose éburnante de Léri
carotid arteriography	artériographie carotidiennne; carotidographie

CAT; CAT scanning; computerized transaxial tomography; computerized axial tomography	tomodensitométrie; scanographie; tomographie axiale transverse avec ordinateur; tomographie axiale avec ordinateur; tomographie axiale transverse commandée par ordinateur; TACO
cauliflower-like appearance	aspect en chou-fleur
celery stick appearance; celery stick sign	Image en tige de céleri; image en côte de céleri
cephalocaudad view; craniocaudal view; craniocaudad view (prop.)	Incidence cranio-caudale; incidence descendante
chondrocalcinosis	chondrocalcinose articulaire; chondrocalcinose articulaire diffuse
chondromalacia	chondromalacie
cloaca	fistule osseuse
closed fracture	fracture fermée
coat hanger exostosis	exostose en porte-manteau
Codman's triangle	triangle de Codman; éperon de Codman; éperon périosté
cold spot	zone d'hypofixation; zone froide; foyer froid; lacune scintigraphique
comminuted fracture	fracture comminutive
complete fracture	fracture complète
compound fracture; open fracture	fracture ouverte; fracture exposée
compression fracture	fracture par tassemement; fracture-tassement; fracture par compression; fracture-compression
computerized axial tomography; computerized transaxial tomography; CAT; CAT scanning	tomodensitométrie; scanographie; tomographie axiale transverse avec ordinateur; tomographie axiale avec ordinateur; tomographie axiale transverse commandée par ordinateur; TACO

cone epiphysis; cone-shaped epiphysis	épiphyse en cône
corner sign; corner sign of scurvy; angle sign; angle sign of scurvy	encoche de Park (prop.); corner sign (à éviter)
cotton wool appearance	aspect cotonneux; aspect ouaté
cranlocaudad view (prop.); craniocaudal view; cephalocephalocaudal view	Incidence crano-caudale; incidence descendante
crater	encoche en coup d'ongle; niche en coup d'ongle
delayed union	retard de consolidation
diastasis	diastasis
direct magnification; direct magnification radiography; direct radiographic magnification	agrandissement radiographique direct; agrandissement direct
disappearing bone disease; massive osteolysis; phantom bones; Gorham's disease; Gorham's syndrome	ostéolyse massive idiopathique; maladie de Gorham
dislocation; luxation	luxation; luxation articulaire
dislocation fracture; fracture dislocation; fracture-dislocation	fracture-luxation
displaced fracture	fracture déplacée
double density sign	image en double densité
double fracture	fracture double; fracture bifocale
dumb-bell appearance	Image en hantier (prop.)
eburnation	éburnation
echiography; ultrasonography; sonography	échographie; ultrasonographie
enostosis; bone Island; sclerotic bone island	îlot osseux condensant; îlot condensant bénin; îlot dense bénin; îlot osseux (prop.); énostose

enthesophyte	enthésophyte
epiphyseal separation	décollement épiphysaire
epiphyseolysis; epiphysiolysis	épiphysiolyse; épiphyséolyse
exostosis	exostose
fallen fragment sign	signe de la chute du fragment osseux
fatigue fracture; stress fracture	fracture de stress; fracture de fatigue
femoral arteriography	artériographie fémorale
fibrous cortical defect	lacune corticale métaphysaire
flame appearance; blade of grass appearance; blade of grass sign	aspect en fer de lance; image en fer de lance
flowing wax appearance	Image en coulée de bougie
fluoroscopy; radioscopy; roentgenoscopy	radioscopie; fluoroscopie
fracture dislocation; fracture-dislocation; dislocation fracture	fracture-luxation
fragilitas ossium; osteogenesis Imperfecta; brittle bones	ostéogénèse imparfaite; fragilité osseuse constitutionnelle; fragilité osseuse héréditaire
Fränkel's line; white line of Fraenkel; white line of Fränkel	ligne blanche de Fraenkel; bande opaque de Fraenkel; signe de Fraenkel
geode; subchondral cyst	géode
geographic bone destruction	ostéolyse géographique
Girdany-Golden method	méthode de Girdany et Golden (prop.)
Gorham's disease; Gorham's syndrome; disappearing bone disease; massive osteolysis; phantom bones	ostéolyse massive idiopathique; maladie de Gorham
gouty tophus; tophus	tophus

greenstick fracture; willow fracture; hickory-stick fracture; interperiosteal fracture	fracture en bois vert
ground glass appearance; ground-glass appearance; milky appearance	aspect en verre dépoli
growth arrest lines; growth-arrest lines; growth recovery lines; transverse lines of Park; Harris lines	lignes de Harris; lignes d'arrêt de croissance de Harris; stries d'arrêt de croissance; lignes de croissance
hairline fracture	fissure
hair-on-end appearance	aspect en poils de brosse
Harris lines; growth arrest lines; growth-arrest lines; transverse lines of Park; growth recovery lines	lignes de Harris; lignes d'arrêt de croissance de Harris; stries d'arrêt de croissance; lignes de croissance
hickory-stick fracture; interperiosteal fracture; greenstick fracture; willow fracture	fracture en bois vert
hot spot	zone d'hyperfixation; zone chaude; foyer hyperactif; foyer chaud
hyperostosis	hyperostose
hypertrophic nonunion	pseudarthrose hypertrophique; pseudarthrose fibro-cartilagineuse
immersion technique	technique d'immersion (prop.)
Impacted fracture; impaction fracture	fracture engrenée
Incomplete fracture	fracture incomplète
indirect fracture	fracture indirecte
Insufficiency fracture	fracture par insuffisance
interperiosteal fracture; greenstick fracture; willow fracture; hickory-stick fracture	fracture en bois vert

intraarticular fracture; intra-articular fracture; articular fracture	fracture articulaire; fracture intraarticulaire; fracture intra-articulaire
intracapsular fracture	fracture intracapsulaire
involutum	involute
ivory bones; osteopetrosis; Albers-Schönberg disease; marble bones	ostéopétrose; maladie d'Albers-Schönberg; maladie des os de marbre; ostéopétrose génotypique
joint body; joint mouse	souris articulaire; corps étranger articulaire; corps étranger intra-articulaire
joint space narrowing	pincement de l'interligne articulaire; pincement articulaire
Joint space widening; widening of the joint space	élargissement de l'interligne articulaire
kissing sequestra	séquestres en miroir (prop.)
laminated appearance; onion-peel appearance; onion-skin appearance; onionskin appearance	aspect en pelure d'olignon; image en bulbe d'oignon
lead lines	raies saturnines (prop.)
Léri's disease; melorheostosis; candle bones	mélorhéostose; ostéose éburnante monomélique; maladie de Léri et Joanny; ostéose éburnante de Léri
linear fracture	fracture linéaire
localized myositis ossificans	myosite ossifiante; myosite ossifiante localisée
Looser's lines; Looser's transformation zones; Looser's zones	stries de Looser-Milkman; zones de Looser-Milkman; traits de Looser-Milkman; stries de Looser; zones de Looser; traits de Looser
luxation; dislocation	luxation; luxation articulaire
lymphangiography; lymphography	lymphographie; lymphangiomographie

magnetic resonance imaging; MRI	imagerie par résonance magnétique; IRM; remnographie
malunion; mal-union	cal vicieux
marble bones; ivory bones; osteopetrosis; Albers-Schönberg disease	ostéopétrose; maladie d'Albers-Schönberg; maladie des os de marbre; ostéopétrose génotypique
marginal erosion	érosion marginale
massive osteolysis; phantom bones; Gorham's disease; Gorham's syndrome; disappearing bone disease	ostéolyse massive idiopathique; maladie de Gorham
melorheostosis; candle bones; Léri's disease	mélorhéostose; ostéose éburnante monomérique; maladie de Léri et Joanny; ostéose éburnante de Léri
metaphyseal cupping; trumpeting; saucer-shaped appearance	Image en toit de pagode; aspect en toit de pagode; aspect en trompette; aspect en saucière
metaphyseal translucencies; radiolucent metaphyseal bands	bandes claires métaphysaires
method of Meema	méthode de Meema (prop.)
milky appearance; ground glass appearance; ground-glass appearance	aspect en verre dépoli
moth-eaten bone destruction; moth-eaten bone destruction	ostéolyse mitée; ostéolyse mouchetée
MRI; magnetic resonance Imaging	imagerie par résonance magnétique; IRM; remnographie
narrow angle conventional tomography; zonography	zonographie
nidus	nidus
nonunion; non-union	pseudarthrose
oblique fracture	fracture oblique

onion-peel appearance; onion-skin appearance; onionskin appearance; laminated appearance	aspect en pelure d'oignon; image en bulbe d'oignon
open fracture; compound fracture	fracture ouverte; fracture exposée
optical magnification	agrandissement optique; agrandissement secondaire
osseous erosion; bone erosion	érosion osseuse
osteocartilaginous exostosis; osteochondroma	ostéochondrome
osteogenesis Imperfecta; brittle bones; fragilitas ossium	ostéogénèse Imperfalte; fragilité osseuse constitutionnelle; fragilité osseuse héréditaire
osteoid osteoma	ostéome ostéoïde
osteolysis; bone destruction	ostéolyse
osteomalacia	ostéomalacie
osteonecrosis	ostéonécrose
osteopathia condensans disseminata; osteopolkilosis; spotted bones	ostéopoecille; ostéopathie condensante disséminée; ostéopoïkilonosis
osteopathia striata; Voorhoeve's disease	maladie de Voorhoeve; ostéopathie striée; ostéopoecille striée
osteopenia	ostéopénie
osteopetrosis; Albers-Schönberg disease; marble bones; ivory bones	ostéopétrose; maladie d'Albers-Schönberg; maladie des os de marbre; ostéopétrose génotypique
osteophyte	ostéophyte
osteophytosis	ostéophytose
osteopoikilosis; spotted bones; osteopathia condensans disseminata	ostéopoecille; ostéopathie condensante disséminée; ostéopoïkilonosis
osteoporosis	ostéoporose
osteoradionecrosis	ostéoradionécrose

osteosclerosis	ostéosclérose
overhanging margin	encoche en hallebarde; aspect en hallebarde
pathological fracture; pathologic fracture	fracture pathologique
Pelkan spur	éperon de Pelkan
periosteal bone apposition; perosteal reaction	apposition périostée; réaction périostée
periostosis	périostose; périostéose
permeative bone destruction	ostéolyse ponctuée; ostéolyse vermouluue
phantom bones; Gorham's disease; Gorham's syndrome; disappearing bone disease; massive osteolysis	ostéolyse massive idiopathique; maladie de Gorham
phlebography; venography	phlébographie; veinographie
plastic bowing fracture; bowing fracture; bow fracture	fracture plastique
popcorn calcifications	calcifications en pop-corn; calcifications en volutes de fumée; calcifications en flocons
posteroanterior projection	Incidence postéro-antérieure
projection	Incidence
pseudofracture	pseudo-fracture
radiogrammetry	radiogrammétrie
radiolucent metaphyseal bands; metaphyseal translucencies	bandes claires métaphysaires
radionuclide bone imaging; bone scintigraphy; skeletal scintigraphy	scintigraphie osseuse; scintigraphie du squelette
radioscopy; roentgenoscopy; fluoroscopy	radioscopie; fluoroscopie
rarefaction of bone; bone rarefaction	raréfaction osseuse

right anterior oblique projection	Incidence oblique antérieure droite
roentgenoscopy; fluoroscopy; radioscopy	radioscopie; fluoroscopie
Salter-Harris classification; Salter-Harris classification of epiphyseal Injuries	classification des traumatismes du cartilage de croissance; classification de Salter et Harris
saucerization; saucer-shaped erosion	érosion en soucoupe
saucer-shaped appearance; metaphyseal cupping; trumping	Image en toit de pagode; aspect en toit de pagode; aspect en trompette; aspect en saucière
saucer-shaped erosion; saucerization	érosion en soucoupe
scanography	scanographie
sclerotic bone island; enostosis; bone Island	îlot osseux condensant; îlot condensant bénin; îlot dense bénin; îlot osseux (prop.); énostose
scout view	scanogramme; topogramme; scout-view (à éviter)
segmental fracture	fracture à double étage
sequestrum	séquestre
shear fracture	fracture par cisaillement
sinography	fistulographie
skeletal scintigraphy; radionuclide bone imaging; bone scintigraphy	scintigraphie osseuse; scintigraphie du squelette
soap-bubble appearance	aspect en bulle de savon
sonography; echography; ultrasonography	échographie; ultrasonographie
Sontag, Snell, and Anderson method	méthode de Sontag, Snell et Anderson (prop.)
spiculation	spiculation
spina ventosa	spina ventosa

spiral fracture	fracture spiroïde; fracture en spirale
spontaneous fracture	fracture spontanée
spotted bones; osteopathia condensans disseminata; osteopoikilosis	ostéopoécille; ostéopathie condensante disséminée; ostéopoïkilosis
stable fracture	fracture stable
stellate fracture	fracture stellaire; fracture en étoile; fracture étoilée
stereoradiography	stéreoradiographie; radiographie stéréoscopique
stress fracture; fatigue fracture	fracture de stress; fracture de fatigue
subchondral cyst; geode	géode
sunburst appearance; sun-ray appearance	Image en feu d'herbes; aspect en rayons de soleil
surface erosion	érosion de surface
synovial cyst	kyste synovial
thermography	thermographie
thin line of calcification	liséré calciqué
Thurston Holland's corner sign; Thurston Holland's fragment; Thurston-Holland sign	signe de Thurston-Holland (prop.)
tomography; body-section roentgenography; body section roentgenography; body-section radiography	tomographie
tophus; gouty tophus	tophus
torus fracture; buckling fracture; buckle fracture	fracture en motte de beurre; fracture en tore
transverse fracture	fracture transverse; fracture transversale

transverse lines of Park; growth recovery lines; Harris lines ; growth arrest lines; growth-arrest lines	lignes de Harris ; lignes d'arrêt de croissance de Harris; stries d'arrêt de croissance; lignes de croissance
Truemmerfeld line ; Truemmerfeld zone	zone claire de Lehndorff ; zone de Trümmerfeld; ligne de Trümmerfeld; ligne scorbutique de Pelkan
trumping ; saucer-shaped appearance; metaphyseal cupping	image en toit de pagode ; aspect en toit de pagode; aspect en trompette; aspect en saucièrie
ultrasonography ; sonography; echography	échographie ; ultrasonographie
unstable fracture	fracture instable
velvet appearance (prop.)	aspect en velours (prop.)
venography ; phlebography	phlébographie ; veinographie
Voorhoeve's disease ; osteopathia striata	maladie de Voorhoeve ; ostéopathie striée; ostéopoecilie striée
whiskering	aspect hérissé ; hérissement
white line of Fraenkel ; white line of Fränkel; Fränkel's line	ligne blanche de Fraenkel ; bande opaque de Fraenkel; signe de Fraenkel
widening of the joint space; joint space widening	élargissement de l'interligne articulaire
willow fracture; hickory-stick fracture; interperiosteal fracture; greenstick fracture	fracture en bois vert
Wimberger line; Wimberger ring; Wimberger's line ; Wimberger's sign of scurvy	anneau de Wimberger ; signe de Wimberger
xerography ; xeroradiography	xéroradiographie ; xérographie
zonography ; narrow angle conventional tomography	zonographie

Skull and Temporomandibular Joint / Crâne et articulation temporomandibulaire

acrocephaly; oxycephaly	acrocéphalie; oxycéphalie
Albers-Schönberg's position	Incidence d'Albers-Schönberg (prop.)
Arcelin's position; reverse Stenvers view	Incidence d'Arcelin (prop.)
axial projection; axial view; Hirtz projection; basal view ; basal projection	Incidence de Hirtz; incidence axiale
ballooned sella; ballooning of the sella turcica	ballonnisation de la selle turcique; selle ballon; selle ballonnée
basal angle; sphenoid angle	angle de base
basal projection; basal view ; axial view; axial projection; Hirtz projection	Incidence de Hirtz; incidence axiale
basilar impression	Impression basillaire
beaten brass appearance; silver beaten appearance; copper beaten appearance; hammered brass appearance	image de pommelure
Bertel's position	incidence de Bertel (prop.)
bimastoid line; Fischgold's bimastoid line	ligne bimastoïdienne de Fischgold; ligne bimastoïdienne
Blineau's projection	Incidence de Blineau
blister sign	soufflure; blistering (à éviter)
blow-out fracture; blowout fracture	fracture du plancher orbitalaire; fracture par blow-out (à éviter)
boat-shaped head; canoe-shaped head; scaphocephaly	scaphocéphalle
brachycephalia; brachycephalism; brachycephaly	brachycéphalle
Bullit's method	méthode de Bullit (prop.)

Bull's angle	angle de Bull
button sequestrum	séquestre en bouton; button sequestrum (à éviter)
Cahoon's position	Incidence de Cahoon (prop.)
Caldwell projection; Caldwell's position; Caldwell's projection ; Caldwell view	Incidence de Caldwell (prop.)
calvarial doughnut lesion; doughnut lesion	lésion en belgnet (prop.)
Campbell's lines	lignes de Campbell
canoe-shaped head; scaphocephaly ; boat-shaped head	scaphocéphalie
cephalic index	Indice céphalique
Chamberlain's line	ligne de Chamberlain
Chaussé III position	Incidence de Chaussé III; incidence III de Chaussé
cloverleaf skull; cloverleaf skull deformity; kleeblatschädel	crâne en trèfle
convexobasia	convexobasie
copper beaten appearance; hammered brass appearance ; beaten brass appearance; silver beaten appearance	Image de pommelure
craniofenestria	crâne fenestré; cranio fenestria
craniolacunia; Lückenschädel; relief skull; lacunar skull ; lacuna skull	crâne lacunaire; crâne géodique; crâne alvéolaire; crâne en bulles de savon
cranioschisis	cranioschisis
cranium bifidum	crâne bifide
Cronqvist's Index	Indice crânien de Cronqvist
depressed fracture; depressed skull fracture	embarrure
diastatic skull fracture	fracture crânienne avec déhiscence

digastric line; Fischgold's digastric line ; Metzger-Fischgold line; Fischgold's biventer line	ligne digastrique de Fischgold ; ligne digastrique de Fischgold et Metzger; ligne bidigastrique de Fischgold et Metzger; ligne bidigastrique
dolichocephaly	dolichocéphalle
doughnut lesion ; calvarial doughnut lesion	lésion en beignet (prop.)
empty sella; empty sella turcica	selle turcique vide
exaggerated Waters position	Incidence de Waters
Fischgold's bimastoid line ; bimastoid line	ligne bimastoïdienne de Fischgold ; ligne bimastoïdienne
Fischgold's biventer line; Fischgold's digastric line ; digastric line; Metzger-Fischgold line	ligne digastrique de Fischgold ; ligne digastrique de Fischgold et Metzger; ligne bidigastrique de Fischgold et Metzger; ligne bidigastrique
flap fracture	fracture avec chevauchement
floating teeth ; floating tooth sign	dents flottantes
foramen magnum line; McRae's line	ligne de MacRae
geographic skull; maplike skull	crâne géographique
Grashey's position; Towne's projection ; Towne-Chamberlain position	Incidence de Worms ; incidence de Worms-Bretton; incidence de Bretton; incidence de Towne
Guérin's fracture; Le Fort I fracture	fracture de Le Fort I ; fracture de Guérin; fracture de A. Guérin
Guillen's view	Incidence de Guillen
hair-on-end appearance (of the skull)	crâne en poils de brosse
hammered brass appearance ; beaten brass appearance; silver beaten appearance; copper beaten appearance	Image de pommelure
harlequin mask appearance	Image en loup de carnaval

Hirtz projection; basal view; basal projection; axial view; axial projection	incidence de Hirtz; incidence axiale
hyperostosis frontalis Interna	hyperostose frontale interne
J-shaped sella turcica	déformation en J de la selle turcique
kleebartschädel; cloverleaf skull ; cloverleaf skull deformity	crâne en trèfle
lacunar skull ; lacuna skull; craniolacunia; Lückenschädel; relief skull	crâne lacunaire; crâne géodique; crâne alvéolaire; crâne en bulles de savon
Law position	Incidence de Law (prop.)
Le Fort I fracture ; Guérin's fracture	fracture de Le Fort I ; fracture de Guérin; fracture de A. Guérin
Le Fort II fracture ; pyramidal fracture	fracture de Le Fort II ; fracture pyramidale
Le Fort III fracture	fracture de Le Fort III
Loepp's projection	Incidence unilatérale de Loepp
Lückenschädel; relief skull; lacunar skull ; lacuna skull; craniolacunia	crâne lacunaire; crâne géodique; crâne alvéolaire; crâne en bulles de savon
maplike skull ; geographic skull	crâne géographique
Mayer position	Incidence de Mayer
McGregor's base line ; McGregor's line	ligne de McGregor ; ligne de MacGregor
McRae's line ; foramen magnum line	ligne de MacRae
Metzger-Fischgold line; Fischgold's biventer line; digastric line; Fischgold's digastric line	ligne digastrique de Fischgold ; ligne digastrique de Fischgold et Metzger; ligne bidigastrique de Fischgold et Metzger; ligne bidigastrique
miliary osteoporosis; salt-and-pepper osteoporosis	ostéoporose granuleuse du crâne
mosaic skull	crâne en mosaïque (prop.)

osteoporosis circumscripta; osteoporosis circumscripta cranii; Schüller's disease	ostéoporose circonscrite; ostéoporose circonscrite du crâne; maladie de Schüller
oxycephaly; acrocephaly	acrocéphalie; oxycéphalie
parentheses-like calcification	calcification en parenthèses
ping-pong fracture	fracture en balle de ping-pong
plagiocephaly	plagiocéphalie
platybasia	platybasie
pyramidal fracture; Le Fort II fracture	fracture de Le Fort II; fracture pyramidale
relief skull; lacunar skull; lacuna skull; craniolacunia; Lückenschädel	crâne lacunaire; crâne géodique; crâne alvéolaire; crâne en bulles de savon
reverse Stenvers view; Arcelin's position	Incidence d'Arcelin (prop.)
Rhese position	Incidence de Rhese
salt-and-pepper osteoporosis; miliary osteoporosis	ostéoporose granuleuse du crâne
scaphocephaly; boat-shaped head; canoe-shaped head	scaphocéphalie
Schüller position; Schüller projection	Incidence de Schüller
Schüller's disease; osteoporosis circumscripta; osteoporosis circumscripta cranii	ostéoporose circonscrite; ostéoporose circonscrite du crâne; maladie de Schüller
sellar-cranial Index	Index sellaire
silver beaten appearance; copper beaten appearance; hammered brass appearance; beaten brass appearance	Image de pommelure
sphenoid angle; basal angle	angle de base
Stenvers position; Stenvers projection; Stenvers view	Incidence de Stenvers
sutural bones; wormian bones	os wormiens

Sweet's method	méthode de Sweet
tam-o'-shanter skull	crâne à rebord; crâne à rebord d'Apert; crâne en béret basque
Towne-Chamberlain position; Grashey's position; Towne's projection	Incidence de Worms; incidence de Worms-Bretton; incidence de Bretton; incidence de Towne
trigonocephaly	trigonocéphalle
Waters' position; Waters projection; Waters' view	Incidence de Blondeau
Welcker's sphenoidal angle	angle de Welcker
wormian bones; sutural bones	os wormiens

Spine / Rachis

adolescent kyphosis; osteochondritis deformans juvenilis dorsi; vertebral epiphysitis; Scheuermann's disease; Scheuermann's kyphosis; kyphosis dorsalis juvenilis; juvenile kyphosis	maladie de Scheuermann; dystrophie rachidienne de croissance; cyphose douloureuse des adolescents; cyphose juvénile douloureuse; ostéochondrose vertébrale de croissance; épiphysite vertébrale
air myelography	myélographie gazeuse
anterior wedge fracture; wedge fracture; wedge compression fracture	tastement cunéiforme
atlanto-occipital joint angle	angle de Schmidt; angle de Schmidt et Fischer
Baastrup's disease; Baastrup's syndrome	syndrome de Baastrup; maladie de Baastrup; arthrose interépineuse; ostéoarthrose interépineuse
bamboo spine	colonne bambou; colonne de bamboo
biconcave vertebra; fish vertebra; codfish vertebra	vertèbre de poisson; vertèbre biconcave

biconcavity Index	Indice de biconcavité; index de concavité des plateaux vertébraux
block vertebra	bloc vertébral congénital
bow-line of Brailsford; bow sign; Inverted Napoleon hat sign ; inverted gendarme's cap	vertèbre en chapeau de gendarme renversé ; aspect du chapeau de gendarme renversé; aspect du chapeau de Napoléon renversé
bow tie appearance ; bow tie sign	signe du noeud papillon
burst fracture ; bursting fracture	fracture-éclatement ; fracture corporéale comminutive; burst fracture (à éviter)
bursting fracture of Jefferson; Jefferson fracture	fracture de Jefferson
butterfly vertebra	vertèbre en papillon
cervical rib	côte cervicale
Chance's fracture; lap-type seat belt fracture	fracture de Chance
claw osteophyte ; claw spur	ostéophyte en crochet (prop.)
clay shoveler's fracture ; clay shovellers' fracture; clay-shoveler's fracture; clay-shoveller's fracture	fracture du terrassier ; maladie des terrassiers
Cobb method ; Cobb's method	méthode de Lippmann-Cobb
codfish vertebra; biconcave vertebra; fish vertebra	vertèbre de poisson ; vertèbre biconcave
corduroy cloth appearance (of a vertebra)	vertèbre striée ; vertèbre peignée
coronal cleft vertebrae	fentes coronales rachidiennes
dagger sign	ossification en lame (prop.)
dlastematomyella	dlastématomyélle
discography ; diskography	discographie ; nucléographie

disc space narrowing; disk space narrowing; intervertebral disc space narrowing; narrowing of the intervertebral disc space	pincement discal
disk herniation; herniation of intervertebral disk; herniation of nucleus pulposus; herniated disk	hernie discale; hernie nucléaire discale; hernie du disque intervertébral
diskography; discography	discographie; nucléographie
disk space narrowing; intervertebral disc space narrowing; narrowing of the intervertebral disc space; disc space narrowing	pincement discal
dislocation of articular processes; locked facets	accrochage des facettes articulaires (prop.); luxation des facettes articulaires
epidural venography	phlébographie rachidienne
epidurography	épidurographie
Ferguson's method; Risser-Ferguson method	méthode de Ferguson-Risser; méthode de Ferguson
fish vertebra; codfish vertebra; biconcave vertebra	vertèbre de poisson; vertèbre biconcave
flowing ossification	coulée osseuse; hyperostose engainante
Garland-Thomas method	méthode de Garland
hangman's fracture	fracture des pédicules de l'axis; fracture bipédiculaire de l'axis; fracture du pendu
hemivertebra	hémivertèbre
herniated disk; herniation of intervertebral disk; herniation of nucleus pulposus; disk herniation	hernie discale; hernie nucléaire discale; hernie du disque intervertébral
hook-shaped vertebra; sail vertebra	vertèbre en rostre
hourglass vertebra	vertèbre en diabolo

H vertebra	vertèbre en H
intervertebral disc space narrowing; narrowing of the intervertebral disc space; disc space narrowing ; disk space narrowing	pincement discal
inverted gendarme's cap; inverted Napoleon hat sign ; bow-line of Brailsford; bow sign	vertèbre en chapeau de gendarme renversé ; aspect du chapeau de gendarme renversé; aspect du chapeau de Napoléon renversé
Ivory vertebra ; vertebra nigra	vertèbre d'ivoire ; vertèbre noire
Jefferson fracture ; bursting fracture of Jefferson	fracture de Jefferson
juvenile kyphosis; adolescent kyphosis; osteochondritis deformans juvenilis dorsi; vertebral epiphysitis; Scheuermann's disease ; Scheuermann's kyphosis; kyphosis dorsalis juvenilis	maladie de Scheuermann ; dystrophie rachidienne de croissance; cyphose douloureuse des adolescents; cyphose juvénile douloureuse; ostéochondrose vertébrale de croissance; épiphysite vertébrale
kissing osteophytes ; parrot beak-like osteophytes	bec-de-perroquet ; ostéophytes en bec-de-perroquet (prop.)
kyphosis dorsalis juvenilis; juvenile kyphosis; adolescent kyphosis; osteochondritis deformans juvenilis dorsi; vertebral epiphysitis; Scheuermann's disease ; Scheuermann's kyphosis	maladie de Scheuermann ; dystrophie rachidienne de croissance; cyphose douloureuse des adolescents; cyphose juvénile douloureuse; ostéochondrose vertébrale de croissance; épiphysite vertébrale
lap-type seat belt fracture; Chance's fracture	fracture de Chance
limbus vertebra	vertèbre limbique (prop.)
lipping (gen.)	lippe ostéophytique (spéc.); lipping vertébral (spéc.)
locked facets ; dislocation of articular processes	accrochage des facettes articulaires (prop.); luxation des facettes articulaires
lumbarization	lombalisation de S1 ; lombalisation; lombarisation

Meyerding's method	méthode de Meyerding
myelography	myélographie
narrowing of the intervertebral disc space; disc space narrowing ; disk space narrowing; intervertebral disc space narrowing	pincement discal
occipitalization of the atlas	occipitalisation de l'atlas
odontoid view; open-mouth position ; open-mouth view	Incidence bouche ouverte
one-eyed vertebra sign	vertèbre borgne
osteitis condensans Ilii	ostéite condensante de l'os iliaque ; ostéose condensante iliaque bénigne; ostéose condensante bénigne de Barsony; ostéite condensante de l'illion
osteochondritis deformans juvenilis dorsi; vertebral epiphysitis; Scheuermann's disease ; Scheuermann's kyphosis; kyphosis dorsalis juvenilis; juvenile kyphosis; adolescent kyphosis	maladie de Scheuermann ; dystrophie rachidienne de croissance; cyphose douloureuse des adolescents; cyphose juvénile douloureuse; ostéochondrose vertébrale de croissance; épiphysite vertébrale
Otonello's method	procédé de Pélissier et Otonello
pancake vertebra	vertèbre en galette
parrot beak-like osteophytes; kissing osteophytes	bec-de-perroquet ; ostéophytes en bec-de-perroquet (prop.)
picture frame vertebra	vertèbre en cadre ; vertèbre encadrée
platyspondylia ; platyspondylisis; platyspondyly	platyspondylle
rachischisis	rachischisis
radiculography	radiculographie ; saccoradiculographie; radiculosaccographie; sacco-radiculographie

retrolisthesis; reverse spondylolisthesis	rétrollisthésis
Risser-Ferguson method; Ferguson's method	méthode de Ferguson-Risser; méthode de Ferguson
Romanus lesions	signe de Romanus; spondylite antérieure de Romanus; spondylite érosive de Romanus; spondylite antérieure
rugger jersey spine	rachis en maillot de rugby
sacralization	sacralisation
sacroiliitis; sacro-iliitis	sacro-illite; sacro-iléite
sacrolisthesis	sacrolisthésis; sacrum basculé; hiérolisthésis
sail vertebra; hook-shaped vertebra	vertèbre en rostre
sandwich vertebra	vertèbre sandwich
scalloped vertebra; scalloping; vertebral scalloping	festonnement vertébral; scalloping (à éviter)
Scheuermann's disease; Scheuermann's kyphosis; kyphosis dorsalis juvenilis; juvenile kyphosis; adolescent kyphosis; osteochondritis deformans juvenilis dorsi; vertebral epiphysitis	maladie de Scheuermann; dystrophie rachidienne de croissance; cyphose douloureuse des adolescents; cyphose juvénile douloureuse; ostéochondrose vertébrale de croissance; épiphysite vertébrale
Schmorl's node	hernie discale intraspongieuse; hernie intraspongieuse; nodule de Schmorl
scotty dog appearance; scotty dog sign	Image du petit chien à collier; image du petit chien décapité
shining corners; shiny corners; shiny corner sign	éburnation des angles vertébraux
spinal arteriography	artériographie médullaire
spondylolisthesis	spondylolisthésis
spondylolysis	spondylolyse; spondyloschisis; lyse isthmique

squaring	équarissement somatique vertébral (prop.); vertèbre carrée; mise au carré
swimmer's projection; swimmer's view; Twining position	Incidence du nageur
syndesmophyte	syndesmophyte; ossification intersomatique
teardrop fracture	fracture en larme (prop.); fracture tear-drop (à éviter)
tonguelike defect (of vertebra)	vertèbre en languette
traction osteophyte; traction spur	ostéophyte de traction (prop.)
transitional vertebra	vertèbre de transition
trolley-track sign	aspect en rail de tramway ; image des trois rails d'un tramway
Twining position; swimmer's projection; swimmer's view	Incidence du nageur
uncarthrosis	uncarthrose
vacuum phenomenon	phénomène du vide discal ; vide discal
vertebral collapse; vertebral compression	tassemement vertébral
vertebral epiphysitis; Scheuermann's disease; Scheuermann's kyphosis; kyphosis dorsalis juvenilis; juvenile kyphosis; adolescent kyphosis; osteochondritis deformans juvenilis dorsi	maladie de Scheuermann; dystrophie rachidienne de croissance; cyphose douloureuse des adolescents; cyphose juvénile douloureuse; ostéochondrose vertébrale de croissance; épiphysite vertébrale
vertebral scalloping; scalloped vertebra; scalloping	festonnement vertébral; scalloping (à éviter)
vertebra nigra; ivory vertebra	vertèbre d'ivoire ; vertèbre noire
vertebra plana	vertebra plana
wedge compression fracture; anterior wedge fracture; wedge fracture	tassemement cunéiforme

wedged vertebra; wedge-shaped vertebra	vertèbre cunéiforme; vertèbre en coin; vertèbre trapézoïdale
wedge fracture; wedge compression fracture; anterior wedge fracture	tassemement cunéiforme
wedge-shaped vertebra; wedged vertebra	vertèbre cunéiforme; vertèbre en coin; vertèbre trapézoïdale

Chest / Thorax

bell-shaped thorax	thorax en crinoline; thorax en cloche
bifid rib; forked rib	côte bifide
canoe paddle rib; oar-shaped rib	côte en rame; côte en pagae
cough fracture	fracture des tousseurs; fracture de toux
forked rib; bifid rib	côte bifide
oar-shaped rib; canoe paddle rib	côte en rame; côte en pagae

Upper Limbs / Membres supérieurs

Galeazzi fracture; Galeazzi's fracture	fracture de Galeazzi
Monteggia fracture; Monteggia fracture-dislocation; Monteggia's fracture	fracture de Monteggia
Moore's fracture	fracture de Moore
nightstick fracture; parry fracture	fracture de parade (prop.)
Piedmont fracture	fracture de Piedmont (prop.)
Skilern's fracture	fracture de Skilern

Shoulder / Épaule

Alexander's anteroposterior position	Incidence d'Alexander
angle-up view; cephalic tilt view	Incidence à direction céphalique de l'épaule (prop.)
axillary projection; axillary view	profil axillaire
Bankart lesion	lésion de Bankart
Bernageau's projection (prop.)	profil glénoïdien; profil glénoïdien de Bernageau
cephalic tilt view; angle-up view	Incidence à direction céphalique de l'épaule (prop.)
Didiée view	Incidence de Didiée
Fisk position; Fisk projection	Incidence de Fisk (prop.)
Grashey position; Grashey projection	Incidence de Grashey (prop.)
half-moon sign	élargissement paradoxal de l'interligne gléno-huméral
Heinig projection; Heinig view	Incidence de Heinig
Hermodsson's tangential projection; Hermodsson view	Incidence tangentielle d'Hermodsson (prop.); incidence d'Hermodsson (prop.)
Hill-Sachs defect; Hill-Sachs deformity; Hill-Sachs lesion	lésion de Hill-Sachs; encoche de Hill-Sachs
Hobbs view	Incidence de Hobbs (prop.)
Laquerrière-Pierquin position	Incidence de Laquerrière et Pierquin
Moloney's line; scapulohumeral arch	cintre scapulo-huméral; ligne de Moloney (prop.)
Neer's I fracture	fracture de Neer I (prop.)
Neer's II fracture	fracture de Neer II (prop.)
positive rim sign	pseudo-élargissement de l'interligne gléno-huméral (prop.)

reverse Hill-Sachs lesion	encoche antérieure de Mac Laughlin; encoche de Mac Laughlin
Rockwood projection	incidence de Rockwood
scapular Y view; scapula Y projection	profil de l'omoplate
scapulohumeral arch; Moloney's line	cintre scapulo-huméral; ligne de Moloney (prop.)
Stryker notch view	incidence de Stryker
transthoracic lateral projection; transthoracic lateral view; transthoracic projection; transthoracic view	profil transthoracique; incidence transthoracique
trough line	ligne dense de la tête humérale
Velpeau axillary lateral view	profil de Bloom et Obata; incidence de Bloom et Obata
West Point projection; West Point view	Incidence de West Point; incidence axillaire en procubitus (prop.)

Elbow / Coude

Baumann's angle	angle de Baumann
fat pad sign; positive elbow fat pad sign	signe du liseré graisseux (prop.)
Hahn-Steinthal fracture	fracture de Hahn-Steinthal
Hueter's line	ligne de Hueter
Kocher's fracture	fracture de Kocher-Lorenz
Laugier's fracture	fracture de Laugier (prop.)
patella cubiti	patella cubiti; rotule cubitale; sésamoïde du coude
Posada's fracture	fracture de Posada (prop.)
positive elbow fat pad sign; fat pad sign	signe du liseré graisseux (prop.)

radial head-capitellum view	incidence tête radiale-capitellum
radiocapitellar line	ligne radiocondylienne
sideswipe fracture	fracture du coude de l'automobiliste (prop.)

Hand and Wrist / Main et poignet

arrowhead appearance; spade appearance	aspect en ancre de marine
backfire fracture; lorry driver's fracture; Hutchinson's fracture; chauffeur's fracture	fracture de Hutchinson
ball catcher's view; Norgaard's projection	Incidence de Norgaard (prop.)
Barton fracture; Barton's fracture	fracture de Rhea-Barton; fracture de Barton
Bennett fracture; Bennett's fracture; Bennett's fracture-dislocation	fracture de Bennett; fracture-luxation de Bennett
Bouchard's nodes	nodosités de Bouchard
boutonnière deformity; buttonhole deformity	déformation en boutonnière
boutonnière deformity of the thumb; Z-shaped deformity (of the thumb); thumb boutonnière deformity	déformation du pouce en Z; pouce en Z
boxer's fracture	fracture du boxeur
Brewerton's projection; Brewerton view	Incidence de Brewerton
Burman view	Incidence de Burman (prop.)
buttonhole deformity; boutonnière deformity	déformation en boutonnière
carpal sign	signe carpien
central bone; os centrale	os central du carpe

chauffeur's fracture ; backfire fracture; lorry driver's fracture; Hutchinson's fracture	fracture de Hutchinson
clubbed digits; clubbed fingers; clubbing ; hippocratic fingers; drumstick fingers	hippocratisme digital ; doigts en baguette de tambour; doigts en battant de cloche; doigts en spatule; doigts hippocratiques; doigts en canne de golf
Colles' fracture ; Colles fracture; Pouteau fracture	fracture de Pouteau ; fracture de Pouteau-Colles; fracture de Colles
de Quervain's fracture	fracture de de Quervain
dot-dash appearance ; dot-dash pattern	aspect en pointillé (prop.)
drumstick fingers; clubbing ; clubbed digits; clubbed fingers; hippocratic fingers	hippocratisme digital ; doigts en baguette de tambour; doigts en battant de cloche; doigts en spatule; doigts hippocratiques; doigts en canne de golf
Essex-Lopresti's fracture	fracture-luxation d'Essex-Lopresti
fusiform ; spindle-shaped	fusiforme ; en fuseau
gamekeeper's thumb ; skier's thumb	pouce du garde-chasse (prop.); pouce du skieur (prop.)
Gillula's arcs (prop.)	courbes de Gillula
Heberden's nodes	nodosités d'Heberden
hippocratic fingers; drumstick fingers; clubbing ; clubbed digits; clubbed fingers	hippocratisme digital ; doigts en baguette de tambour; doigts en battant de cloche; doigts en spatule; doigts hippocratiques; doigts en canne de golf
Hutchinson's fracture; chauffeur's fracture ; backfire fracture; lorry driver's fracture	fracture de Hutchinson
ivory phalanx	phalange d'Ivoire (prop.)
Laugier's sign	signe de Laugier

lorry driver's fracture; Hutchinson's fracture; chauffeur's fracture; backfire fracture	fracture de Hutchinson
lunate navicular angle; scapholunate angle; scaphoid-lunate angle; navicular lunate angle	angle scapho-lunaire
main en lorgnette; opera-glass hand	main en lorgnette
metacarpal Index	Indice métacarpien
metacarpal sign	signe métacarpien d'Archibald
navicular lunate angle; lunate navicular angle; scapholunate angle; scaphoid-lunate angle	angle scapho-lunaire
Norgaard's projection; ball catcher's view	Incidence de Norgaard (prop.)
opera-glass hand; main en lorgnette	main en lorgnette
os centrale; central bone	os central du carpe
os styloideum	os styloïdien
pencil-in-cup appearance; pencil-in-cup deformity	Image de pointe de crayon dans une cupule; aspect de pointe de crayon dans une cupule
phalangeal sign	signe phalangien (prop.)
piece of cheese sign	signe de la toupie; aspect en toupie; signe de la pointe de tarte (prop.)
positive navicular fat stripe sign	signe de la ligne graisseuse parascaphoïdienne (prop.)
Pouteau fracture; Colles' fracture; Colles fracture	fracture de Pouteau; fracture de Pouteau-Colles; fracture de Colles
reverse Barton fracture	fracture de Letenneur; fracture de Rhea-Barton inversée (prop.)

reverse Colles' fracture; Smith's fracture	fracture de Pouteau-Colles Inversée; fracture de Goyrand; fracture de Goyrand-Smith; fracture de Pouteau inversée (prop.)
ring sign	signe de l'anneau
Rolando's fracture	fracture de Rolando
scaphoid-lunate angle; scapholunate angle; navicular lunate angle; lunate navicular angle	angle scapho-lunaire
sesamoid index	Index sésamoïdien
skier's thumb; gamekeeper's thumb	pouce du garde-chasse (prop.); pouce du skieur (prop.)
Smith's fracture; reverse Colles' fracture	fracture de Pouteau-Colles Inversée; fracture de Goyrand; fracture de Goyrand-Smith; fracture de Pouteau inversée (prop.)
spade appearance; arrowhead appearance	aspect en ancre de marine
spilled teacup sign	signe de la tasse renversée (prop.)
spindle-shaped; fusiform	fusiforme; en fuseau
swan-neck deformity	déformation en coi de cygne
Terry-Thomas sign	signe de Terry-Thomas
thumb boutonnière deformity; boutonnière deformity of the thumb; Z-shaped deformity (of the thumb)	déformation du pouce en Z; pouce en Z
ulnar deviation of the fingers; ulnar drift	dolgts en coup de vent; coup de vent cubital; déviation cubitale des doigts; main en coup de vent
Z-shaped deformity (of the thumb); thumb boutonnière deformity; boutonnière deformity of the thumb	déformation du pouce en Z; pouce en Z

Lower Limbs / Membres inférieurs

cavalry bone; rider's bone; riders' bone	ostéome des cavalliers
Erlenmeyer flask deformity	déformation en flacon d'Erlenmeyer
Gosselin's fracture	fracture de Gosselin; fracture de Gerdy
Kosowicz' sign	signe de Kosowicz; tibia en enclume
rider's bone; riders' bone; cavalry bone	ostéome des cavalliers
shepherd's crook deformity	déformation en crosse; déformation en crosse d'évêque
toddler's fracture	fracture des premiers pas (prop.); fracture des tout petits (prop.)
wagon wheel fracture	fracture par rayon de roue (prop.)

Hip and Pelvis / Hanche et bassin

acetabular angle; Hilgenreiner's angle	angle acétabulaire; angle d'inclinaison du toit du cotyle; angle d'obliquité du toit du cotyle; angle d'Hilgenreiner
adolescent coxa vara; slipped capital femoral epiphysis	épiphiolyse; coxa vara essentielle de l'adolescence; coxa flexa; coxa vara des adolescents; épiphiolyse fémorale supérieure de l'adolescent; épiphyséolyse
Andren-von Rosen technique	technique de Andren-von Rosen
angle of anteversion; angle of declination	angle d'antéversion du col fémoral; angle de déclinaison du col du fémur
angle of inclination	angle cervico-diaphysaire; angle d'inclinaison du col du fémur

battle-ax pelvic configuration	aspect en hallebarde (du bassin)
beaked pelvis; osteomalacic pelvis; heart-shaped pelvis; trefoil pelvis	bassin en forme de cœur; bassin en cœur de carte à jouer; bassin ostéomalacique
bite sign	signe de l'affaissement (prop.); signe du décrochage
brim sign	épaississement de la ligne innominée
bucket-handle fracture	fracture en anse de seau
buttressing	ostéophytose en hamac
Capener's sign	signe de Capener (prop.)
capital drop	coulée sous-fovale
C-E angle; Wiberg's angle	angle de Wiberg
cervico-obturator line; Shenton's line; Shenton's arch	ligne de Ménard; cintre cervico-obturateur; ligne de Shenton
champagne glass pelvis	bassin en coupe à champagne (prop.)
Chassard-Lapiné position	position de Chassard et Lapiné
coxa adducta; coxa vara	coxa vara; coxa retrorsa; coxa adducta; hanche bote
coxa magna	coxa magna
coxa plana	coxa plana
coxa valga	coxa valga
coxa vara; coxa adducta	coxa vara; coxa retrorsa; coxa adducta; hanche bote
crescent sign	signe de la coquille d'oeuf
dashboard fracture	fracture du tableau de bord (prop.); complexe fracturaire du tableau de bord (prop.); syndrome du tableau de bord
Duverney's fracture	fracture de Duverney

frog-leg view	Incidence de Lauenstein; incidence de la cuisse de grenouille (prop.)
Gage's sign	signe de Gage
gull-wing sign	signe de la mouette
head at risk	tête à risque
head within a head appearance	aspect de tête dans la tête
heart-shaped pelvis; trefoil pelvis; beaked pelvis; osteomalacic pelvis	bassin en forme de cœur; bassin en cœur de carte à jouer; bassin ostéomalaciaque
Hefke-Turner sign; obturator sign	signe de l'obturateur Interne; signe de Hefke-Turner
Hilgenreiner's angle; acetabular angle	angle acétabulaire; angle d'inclinaison du toit du cotyle; angle d'obliquité du toit du cotyle; angle d'Hilgenreiner
Illic angle	angle iliaque
Illic horns	cornes iliaques; bassin cornu
Illic index	Index iliaque
ilioischial line; Köhler's line	ligne illo-Ischiatique; ligne de Köhler (prop.)
Indirect method of Magilligan	méthode de Magilligan
ischial varus sign; public varus sign	élargissement de la grande échancrure sciatique (prop.)
Köhler's line; ilioischial line	ligne illo-Ischiatique; ligne de Köhler (prop.)
Malgaigne's fracture	fracture de Malgaigne
mushroom deformity; mushrooming	déformation en massue; aspect en forme de massue
Naegele pelvis; oblique pelvis; Nägele's pelvis	bassin de Naegele; bassin oblique ovalaire vrai
Nélaton's line; Roser-Nélaton line; Roser's line	ligne de Nélaton; ligne de Nélaton-Roser

oblique pelvis; Nägele's pelvis; Nägele pelvis	bassin de Naegele; bassin oblique ovalaire vrai
obturator sign; Hefke-Turner sign	signe de l'obturateur interne; signe de Hefke-Turner
osteomalacic pelvis; heart-shaped pelvis; trefoil pelvis; beaked pelvis	bassin en forme de cœur; bassin en cœur de carte à jouer; bassin ostéomalaciaque
Otto's pelvis	bassin d'Otto
Pauwels angle	angle de Pauwels
Perkins' line; vertical line of Ombrédanne	ligne d'Ombrédanne; ligne de Perkins
protrusio acetabuli	protrusion acétabulaire
public varus sign; ischial varus sign	élargissement de la grande échancrure sciatique (prop.)
Putti's triad	triade de Putti
Robert pelvis	bassin de Robert; bassin oblique ovalaire double
rosary effect	aspect en timbre-poste
Roser-Nélaton line; Roser's line; Nélaton's line	ligne de Nélaton; ligne de Nélaton-Roser
sagging rope sign	signe de la corde lâche (prop.)
Saturn's ring sign	signe de l'anneau de Saturne (prop.)
Sharp's acetabular angle; Sharp's angle	angle acétabulaire de Sharp (prop.)
Shenton's arch; cervico-obturator line; Shenton's line	ligne de Ménard; cintre cervico-obturateur; ligne de Shenton
Simon's line	ligne de Simon (prop.)
Singh index	index de Singh; index trabéculaire du col fémoral; indice de Singh; indice du col fémoral de Singh
Skinner's line	ligne de Skinner (prop.)

slipped capital femoral epiphysis; adolescent coxa vara	épiphiolyse; coxa vara essentielle de l'adolescence; coxa flexa; coxa vara des adolescents; épiphysiolyse fémorale supérieure de l'adolescent; épiphyséolyse
snowcap appearance; snow-cap appearance	aspect en calotte polaire (prop.)
sprung pelvis	bassin ouvert (prop.)
straddle fracture	fracture double de l'arc antérieur (du bassin)
teardrop distance	distance tête fémorale-U cotyloïdien
trefoil pelvis; beaked pelvis; osteomalacic pelvis; heart-shaped pelvis	bassin en forme de cœur; bassin en cœur de carte à jouer; bassin ostéomalacique
Trethowan's line	ligne de Klein
trident acetabulum; triradiate acetabulum	aspect en trident (du cotyle)
vertical line of Ombrédanne; Perkins' line	ligne d'Ombrédanne; ligne de Perkins
Waldenström's sign	signe de Waldenström
Walther fracture	fracture de Walther
Wiberg's angle; C-E angle	angle de Wiberg
wine glass pelvis (prop.)	bassin en verre à bordeaux (prop.)

Knee / Genou

alpine hunter's cap	rotule en bret de chasseur alpin
Baker's cyst; popliteal cyst	kyste poplité; kyste de Baker
Béclère position	incidence de Béclère
bipartite patella; patella bipartita	patella bipartita
Blackburne's technique	méthode de Blackburne et Peel

Blumensaat's line	ligne de Blumensaat (prop.)
bucket-handle fracture; bucket-handle tear	lésion en anse de seau
bumper fracture; fender fracture	fracture par pare-chocs (prop.)
chondromalacia patellae	chondromalacie rotulienne; chondropathie rotulienne
congruence angle	angle de congruence
discoid lateral meniscus	ménisque externe discoïde
fender fracture; bumper fracture	fracture par pare-chocs (prop.)
high-riding patella; patella alta	patella alta
Hoffa's fracture	fracture de Hoffa
Hughston view	Incidence de Hughston (prop.)
Insall-Salvati index	Index d'Insall et Salvati (prop.)
intercondylar view; tunnel view; notch view	Incidence de l'échancrure Intercondyllenne
lateral patellofemoral angle	angle patello-fémoral externe
Laurin's projection	Incidence de Laurin (prop.)
low-riding patella; patella baja	patella baja; patella infera
Merchant's projection; Merchant view	Incidence de Merchant (prop.)
notch view; intercondylar view; tunnel view	Incidence de l'échancrure Intercondyllenne
patella alta; high-riding patella	patella alta
patella baja; low-riding patella	patella baja; patella infera
patella bipartita; bipartite patella	patella bipartita
patella magna	patella magna
patellofemoral Index	Indice fémoro-patellaire
Pellegrini's disease; Pellegrini-Stieda disease; Stieda's disease	maladie de Pellegrini-Stieda

popliteal cyst; Baker's cyst	kyste poplité; kyste de Baker
Settegast position (spec.); sunrise view (spec.); skyline view (spec.)	Incidence fémoro-patellaire (gén.)
skyline view (spec.); Settegast position (spec.); sunrise view (spec.)	Incidence fémoro-patellaire (gén.)
Stieda's disease; Pellegrini's disease; Pellegrini-Stieda disease	maladie de Pellegrini-Stieda
sulcus angle	angle trochléen
sunrise view (spec.); skyline view (spec.); Settegast position (spec.)	Incidence fémoro-patellaire (gén.)
tibial plateau angle	angle du plateau tibial (prop.)
tooth sign	rotule crénelée
tunnel view; notch view; intercondylar view	incidence de l'échancrure Intercondylienne

Foot and Ankle / Pied et cheville

aviator's astragalus	fracture de l'astragale de l'aviateur (prop.)
beak fracture	fracture en bec de canard
Böhler's angle	angle de Böhler; angle de Boehler
boot-top fracture; skier's injury	fracture du skieur (prop.)
Bosworth fracture	fracture de Bosworth
calcaneal-fifth metatarsal angle	angle calcaneum-5^e métatarsien; angle de Davis-Hatt et Templeton
calcaneal inclination angle	angle de pente calcanéenne
calcaneal spur; heel spur	épine calcanéenne; éperon calcanéen; épine de Lenoir
Chopart's fracture	fracture de Chopart (prop.)

crucial angle; Gissane's angle	angle crucial de Gissane
dancer's fracture; Jones fracture	fracture de Jones
Dupuytren's fracture	fracture de Dupuytren
Feiss line	ligne de Feiss
Fowler-Philip angle	angle de Fowler et Phillip
Giannestras's talonavicular angle; talonavicular angle	angle de Giannestras
Gissane's angle; crucial angle	angle crucial de Gissane
Harris-Beath projection; Harris-Beath view; Harris view; ski-jump view; ski-jump projection	incidence d'Harris et Beath (prop.)
Hawkins sign	signe d'Hawkins (prop.)
heel pad sign	signe du coussinet plantaire (prop.)
heel spur; calcaneal spur	épine calcanéenne; éperon calcanéen; épine de Lenoir
Jones fracture; dancer's fracture	fracture de Jones
Kite's angle; talocalcaneal angle	angle de divergence astragalo-calcanéenne
Le Fort's fracture; Wagstaffe-Le Fort fracture	fracture de Le Fort; fracture de Wagstaffe
Lisfranc's fracture-dislocation	luxation du Lisfranc
Maisonneuve's fracture	fracture de Maisonneuve
march fracture	fracture de marche
metatarsal break angle	angle de Meschan
midtalar-second metatarsal angle	angle de G. Lang
Nélaton's dislocation	luxation de Nélaton (prop.)
night walker's fracture; midnight fracture	fracture du petit orteil (prop.)

nutcracker fracture	fracture de type casse-noisettes (prop.)
os peroneum	os péronier
os triangulare; os trigonum; triangular bone	os trigone
plon fracture	fracture du plon tibial
Pott's fracture	fracture de Pott (prop.)
Schade's line	ligne de Schade
Shepherd's fracture	fracture de Cloquet-Shepherd; fracture de Shepherd
skier's injury; boot-top fracture	fracture du skieur (prop.)
ski-jump projection; ski-jump view; Harris-Beath view; Harris-Beath projection; Harris view	Incidence d'Harris et Beath (prop.)
talocalcaneal angle; Kite's angle	angle de divergence astragalo-calcanéenne
talonavicular angle; Giannestras's talonavicular angle	angle de Giannestras
tarsal coalition	synostose du tarse; synostose tarsienne
teardrop sign	signe de la larme
tibiotalar slant	bascule de l'articulation tibio-tarsienne
Tillaux fracture; Tillaux-Kleiger fracture	fracture de Tillaux
tongue fracture; tongue fracture of Essex-Lopresti	fracture en languette de Essex-Lopresti
triangular bone; os trigonum; os triangulare	os trigone
trimalleolar fracture	fracture trimalléolaire
Wagstaffe-Le Fort fracture; Le Fort's fracture	fracture de Le Fort; fracture de Wagstaffe



Bibliographie / Bibliography

Annales de radiologie. Paris, Expansion scientifique française, 1958-

APLEY, A. Graham and SOLOMON, Louis. Apley's System of Orthopaedics and Fractures, 6th ed., London, Butterworths, 1982, 497 p.

A Textbook of Radiological Diagnosis, 5th ed., published under the auspices of the President and Council of the Royal College of Radiologists (Great Britain), Philadelphia, W.B. Saunders, 1984-1985, 2 vols.

BARSOTTI, Jacques et DUJARDIN, Christian. Guide pratique de traumatologie, Paris, Masson, 1986, 271 p.

BEIGHTON, P. and CREMIN, B.J. Sclerosing Bone Dysplasias, Berlin, Springer-Verlag, 1980, 191 p.

BERQUIST, Thomas H., ed. Imaging of Orthopedic Trauma and Surgery, Philadelphia, W.B. Saunders, 1986, 799 p.

BERQUIST, Thomas H., ed. Radiology of the Foot and Ankle, New York, Raven Press, 1989, 511 p.

BESNIER, Jean-Pierre et coll. Entorses et luxations. Physiologie. Anatomie. Physiopathologie. Diagnostic. Traumatologie courante et sportive. Thérapeutique, Kinésithérapie, Paris, Maloine, 1985, 339 p.

BHALLA, A.K. et WILLIAMS, P.L. Dictionnaire illustré de rhumatologie, trad. et adaptation française par Élie Séguay et Bernard Huchet, Paris, Éditions Pradel, 1989, 352 p.

BLAUVELT, Carolyn Taliaferro and NELSON, Fred R.T. A Manual of Orthopaedic Terminology, 4th ed., St. Louis, C.V. Mosby, 1990, 316 p.

BLAUVELT, Carolyn Taliaferro and NELSON, Fred R.T. A Manual of Orthopaedic Terminology, 2nd ed., St. Louis, C.V. Mosby, 1981, 257 p.

BONTRAGER, Kenneth L. and ANTHONY, Barry I. Textbook of Radiographic Positioning and Related Anatomy, 2nd ed., St. Louis, C.V. Mosby, 1987, 593 p.

BUFFARD, P., FAURÉ, Cl. et BROCHU, M. Radiologie clinique, Paris, Flammarion médecine-sciences, 1974-1976, 3 vol. (Collection médico-chirurgicale à révision périodique)

- CAFFEY, John and contributors. *Pediatric X-Ray Diagnosis*, 7th ed., Chicago, Year Book Medical Publishers, 1978, 2 vols.
- CASTAING, J., VIDEGRAIN, M., BURDIN, Ph. et coll. *L'examen radiologique du rachis*, Paris, Maloine, 1981, 201 p.
- CHEVROT, A. et KATZ, M. *Radiologie des os et des articulations*, Paris, Masson, 1981, 203 p. (ABC de radiodiagnostic, n° 5)
- CLAUSTRE, J. et SIMON, L., dir. *Pied normal et méthodes d'exploration du pied*, Paris, Masson, 1981, 180 p. (Monographies de podologie, n° 1)
- Conférences d'enseignement, Paris, Expansion scientifique française, 1974- . (Cahiers d'enseignement de la SOFCOT)
- COUSSEMENT, A. *Repères et mesures en radiodiagnostic*, Paris, Expansion scientifique française, 1974, 239 p. (Les monographies des Annales de radiologie, n° 8)
- CRITCHLEY, Macdonald, ed.-in-chief. *Butterworths Medical Dictionary*, 2nd ed., London, Butterworths, 1989, 1942 p.
- D'AMBROSIA, Robert D. and ten contributors. *Musculoskeletal Disorders. Regional Examination and Differential Diagnosis*, Philadelphia, J.B. Lippincott, 1977, 542 p.
- DELAMARE, Jean et DELAMARE-RICHE, Thérèse. *Dictionnaire français-anglais des termes de médecine / English-French Dictionary of Medical Terms*, 2^e éd. rev. et augm., Paris, Maloine, 1986, 510, 542 p.
- Dictionnaire de Médecine Flammarion*, 3^e éd., Paris, Flammarion médecine-sciences, 1989, 948 p.
- DOMART, A. et BOURNEUF, J., dir. *Nouveau Larousse médical*, Paris, Librairie Larousse, 1988, 1142 p.
- Dorland's Illustrated Medical Dictionary*, 27th ed., Philadelphia, W.B. Saunders, 1988, 1888 p.
- DU BOULAY, G.H. *Principles of X-Ray Diagnosis of the Skull*, 2nd ed., London, Butterworths, 1980, 400 p.
- DUPUIS, Michel, LECLAIRE, Richard et coll. *Pathologie médicale de l'appareil locomoteur*, St-Hyacinthe, Edisem, 1986, 999 p.
- DURAND, Hervé et BICLET, Philippe. *Dictionnaire des examens biologiques et investigations paracliniques*, nouv. éd. corr. et. augm., Paris, Doin, 1988, 422 p.
- EDEIKEN, Jack. *Roentgen Diagnosis of Diseases of Bone*, 3rd ed., Baltimore, Williams & Wilkins, 1981, 2 vols. (Golden's Diagnostic Radiology, Section 6)

- EISENBERG, Ronald L. *Atlas of Signs in Radiology*, Philadelphia, J.B. Lippincott, 1984, 505 p.
- EISENBERG, Ronald L., DENNIS, Cynthia A. and MAY, Chris R. *Radiographic Positioning*, Boston, Little, Brown and Company, 1989, 384 p.
- Éléments de sémiologie radiologique, tome 1 : Affections osseuses et articulaires. Encéphale et moelle. Appareil urinaire. Appareil génital féminin et sein, Neuchâtel, Delachaux & Niestle S.A., 1966, 658 p. (Cercle d'études et de recherches radiologiques)
- Elsevier's Encyclopaedic Dictionary of Medicine. Part A: General Medicine, in five languages, compiled by A.F. Dorian, Amsterdam, Elsevier, 1987, 1175 p.
- Encyclopédie médico-chirurgicale : appareil locomoteur, comité scient., président, A. Laffont, comité de réd., président, Louis Moreau, Paris, Éditions techniques, 1976- , 6 vol. (f. mobiles)
- Encyclopédie médico-chirurgicale : glandes endocrines, maladies de la nutrition, pathologie générale, comité scient., président, A. Laffont, comité de réd., président, Louis Moreau, Paris, Éditions techniques, 1976- , 4 vol. (f. mobiles)
- Encyclopédie médico-chirurgicale : radiodiagnostic. Squelette. Système nerveux central. Aspects pathologiques, comité scient., président, A. Laffont, Paris, Éditions techniques, 1967- , 5 vol. (f. mobiles)
- EPSTEIN, Bernard S. *The Spine: A Radiological Text and Atlas*, 2nd ed. thoroughly revised, Philadelphia, Lea & Febiger, 1962, 616 p.
- ETTER, Lewis E. *Glossary of Words and Phrases Used in Radiology, Nuclear Medicine and Ultrasound*, 2nd ed., Springfield, Illinois, Charles C. Thomas, 1970, 355 p.
- FAURÉ, Cl., dir. *Le traumatisme chez l'enfant*, Paris, Vigot, 1987, 163 p. (Cliniques de pédiatrie)
- FELDMAN, Frieda, ed. *Radiology, Pathology, and Immunology of Bones and Joints. A Review of Current Concepts*, New York, Appleton-Century-Crofts, 1978, 388 p.
- FELSON, Benjamin, ed. *Roentgenology of Fractures and Dislocations*, New York, Grune & Stratton, 1978, 179 p. (A Seminars in Roentgenology Reprint)
- FICAT, P. *Pathologie fémoro-patellaire*, Paris, Masson, 1970, 234 p.
- FICAT, R. Paul and HUNGERFORD, David S. *Disorders of the Patello-Femoral Joint*, Baltimore, Md., Williams & Wilkins, 1977, 249 p.
- FICAT, R.P. et C. *Pathologie mécanique de la hanche. Biomécanique clinique et physiopathologie*, Paris, Masson, 1987, 166 p.

FINNESON, Bernard E. Low Back Pain, 2nd ed., Philadelphia, Lippincott, 1981, 597 p.

GARNIER, Marcel, et al. Dictionnaire des termes de médecine, 22^e éd. rev. et augm., Paris, Maloine, 1989, 1031 p.

GARNIER, Marcel et DELAMARE, Valéry. Dictionnaire des termes techniques de médecine, 21^e éd. rev. et augm., Paris, Maloine, 1985, 873 p.

GEHWEILER, John A., Jr., OSBORNE, Raymond L., Jr. and BECKER, Frederick R. The Radiology of Vertebral Trauma, Philadelphia, W.B. Saunders, 1980, 460 p.

GERBER, Lynn H. and ESPINOZA, Luis R., eds. Psoriatic Arthritis, Orlando, Grune & Stratton, 1985, 204 p.

GLADSTONE, William J. et coll. Dictionnaire anglais-français des sciences médicales et paramédicales/English-French Dictionary of Medical and Paramedical Sciences, 3^e éd., Paris, Maloine, 1990, 1099 p.

GOLDCHER, Alain. Podologie, Paris, Masson, 1987, 210 p. (Abrégés)

GORDON, I.R.S. and ROSS, F.G.M. Diagnostic Radiology in Paediatrics, London, Butterworths, 1977, 384 p.

GRAINGER, Ronald G. and ALLISON, David J., eds. Diagnostic Radiology: An Anglo-American Textbook of Imaging, Edinburgh, Churchill Livingstone, 1986, 3 vols.

GREENFIELD, George B. Radiology of Bone Diseases, 3rd ed., Philadelphia, J.B. Lippincott, 1980, 858 p.

GREENSPAN, Adam and GERSHWIN, M. Eric. Radiology of the Arthritides. A Clinical Approach, New York, Gower Medical Publishing, 1990, various pagings.

GRIFFITHS, Harry J., ed. Basic Bone Radiology, 2nd ed., Norwalk, Conn., Appleton & Lange, 1987, 230 p.

HEPPENSTALL, R. Bruce, ed. Fracture Treatment and Healing, Philadelphia, W.B. Saunders, 1980, 1087 p.

HÉRAULT, Pascal. Guide de techniques de radiodiagnostic, Paris, Masson, 1983, 200 p.

HOPPENFELD, Stanley and collab. Physical Examination of the Spine and Extremities, New York, Appleton-Century-Crofts, 1976, 276 p.

HUDSON, Terry M. Radiologic - Pathologic Correlation of Musculoskeletal Lesions, Baltimore, Williams & Wilkins, 1987, 670 p.

Illustrated Stedman's Medical Dictionary, 24th ed., Baltimore, Williams & Wilkins, 1982, 1678 p.

JACOB, Alphons and JACKSON, Herbert L. Dictionary of Radiologic Terminology, St. Louis, Warren H. Green, 1982, 107 p.

JAHSS, Melvin H. and contributors. Disorders of the Foot and Ankle: Medical and Surgical Management, 2nd ed., Philadelphia, W.B. Saunders, 1991, 3 vols.

Journal de radiologie, Paris, Masson, 1914- . (Bulletin de la Société française de radiologie)

KAHLE, W., LEONHARDT, H. et PLATZER, W. Anatomie, 2^e éd., Paris, Flammarion médecine-sciences, 1980- , 3 vols.

KELLEY, William N., et al. Textbook of Rheumatology, 2nd ed., Philadelphia, W.B. Saunders, 1985, 2 vols.

KEMPF, I., réd. en chef. Fractures de l'extrémité supérieure du fémur, Paris, Expansion scientifique française, 1980, 168 p. (Cahiers d'enseignement de la SOFCOT, n° 12)

KILCOYNE, R.F. and FARRAR, Edward. Handbook of Radiologic Orthopaedic Terminology, Chicago, Year Book Medical Publishers, 1986, 152 p.

KLENERMAN, Leslie, ed. The Foot and its Disorders, 2nd ed., Oxford, Blackwell Scientific Publications, 1982, 460 p.

KORACH, G. et VIGNAUD, J. Manuel de techniques radiographiques et tomodensitométriques du crâne, 3^e éd. rev. et compl., Paris, Masson, 1987, 156 p.

LANDAU, Sidney I., ed.-in-chief and MANUILA, Alexandre, consulting ed. International Dictionary of Medicine and Biology, New York, John Wiley & Sons, 1986, 3 vols.

La Semaine des Hôpitaux de Paris, Paris, Semaine des Hôpitaux, 1925- .

LAURAC, J. et FÉLIX, F. Échographie en pathologie musculaire et tendineuse, Paris, Vigot, 1989, 189 p.

LAVAL-JEANTET, M., PALLARDY, G., TRIAL, R. et coll. Traité de radiodiagnostic, tome x : Os. Pathologie générale, Paris, Masson, 1983, 598 p.

LELIÈVRE, Jean et Jean-François. Pathologie du pied. Physiologie-Clinique. Traitement médical, orthopédique et chirurgical, 5^e éd. ent. ref., Paris, Masson, 1981, 855 p.

LICHTMAN, David M. and contributors. *The Wrist and its Disorders*, Philadelphia, W.B. Saunders, 1988, 477 p.

LUSTED, Lee B. and KEATS, Theodore E. *Atlas of Roentgenographic Measurement*, 4th ed., Chicago, Year Book Medical Publishers, 1978, 354 p.

MANASTER, B.J. *Skeletal Radiology*, Chicago, Year Book Medical Publishers, 1989, 449 p.

MANELFE, C., éd. *Imagerie du rachis et de la moelle : scanner/i.r.m./ultrasons*, Paris, Vigot, 1989, 801 p.

MANSAT, Ch., JAEGER, J.H. et BONNEL, F., dir. *Le genou traumatique : entorses graves, fractures*, Paris, Masson, 1989, 318 p.

MANSAT, M., dir. *L'épaule douloureuse chirurgicale*, Paris, Expansion scientifique française, 1988, 164 p. (Cahiers d'enseignement de la SOFCOT, n° 33)

MANUILA, A., et al. *Dictionnaire français de médecine et de biologie*, Paris, Masson, 1970-1975, 4 vol.

MANUILA, A. et al. *Dictionnaire français de médecine et de biologie*, Paris, Masson, 1981-1982, 20 vol.

MAROTEAUX, Pierre et coll. *Les maladies osseuses de l'enfant*, 2^e éd., Paris, Flammarion médecine-sciences, 1982, 488 p.

MASSARE, C. et FROT, B., dir. *Imagerie en orthopédie et traumatologie*, Paris, Expansion scientifique française, 1988, 391 p. (Cahiers d'enseignement de la SOFCOT, n° 29)

MATHÉ, G., et al. *Sémiologie médicale*, 3^e éd., Paris, Flammarion médecine-sciences, 1977, 1050 p.

McCARTY, Daniel J. and ROSS, Will and Cava. *Arthritis and Allied Conditions. A Textbook of Rheumatology*, 11th ed., Philadelphia, Lea & Febiger, 1989, 2045 p.

MERRILL, Vinita. *Atlas of Roentgenographic Positions*, 3rd ed., St. Louis, C.V. Mosby, 1967, 3 vols.

MESCHAN, Isadore. *Roentgen Signs in Diagnostic Imaging*, 2nd ed., Philadelphia, W.B. Saunders, 1984-1987, 4 vols.

MONNIER, J.-P., et al. *Abrégé de radiodiagnostic*, 2^e éd. rev. et complétée, Paris, Masson, 1979, 418 p. (Abrégés)

MONNIER, J.-P., TUBIANA, J.-M. et coll. *Radiodiagnostic*, 4^e éd., Paris, Masson, 1990, 456 p. (Abrégés)

- MONTAGNE, J., CHEVROT, A. et GALMICHE, J.-M. *Atlas de radiologie du pied*, Paris, Masson, 1980, 277 p.
- PALLARDY, G., CHEVROT, A. et coll. *Arthrographies opaques*, Paris, Masson, 1988, 246 p. (Collection d'imagerie radiologique)
- PARK, William M. and HUGHES, Sean P.F., eds. *Orthopaedic Radiology*, Oxford, Blackwell Scientific Publications, 1987, 534 p.
- PAUL, Lester W. and JUHL, John H. *The Essentials of Roentgen Interpretation*, 3rd ed., Hagerstown, Md., Harper & Row, 1972, 1138 p.
- POUS, Jean-Gabriel, et al. *La hanche en croissance. Problèmes orthopédiques*, Paris, Éditions J.-B. Baillière, 1976, 215 p. (Les cahiers Baillière)
- RABINOWITZ, Jack G. and six contributors. *Pediatric Radiology*, Philadelphia, J.B. Lippincott, 1978, 513 p.
- Radiology, Easton, Pa., Radiological Society of North America, 1923- .
- RANG, Mercer. *Traumatologie de l'enfant*, trad. et adapté par Henri Bensahel, Paris, Doin, 1984, 377 p.
- RAZEMON, J.-P., FISK, G.-R. et coll. *Le Poignet*, Paris, Expansion scientifique française, 1983, 268 p. (Monographies du Groupe d'Étude de la Main)
- RENTON, Peter. *Orthopaedic Radiology: Pattern Recognition and Differential Diagnosis*, Chicago, Year Book Medical Publishers, 1990, 384 p.
- RESNICK, Donald and NIWAYAMA, Gen. *Diagnosis of Bone and Joint Disorders*, 2nd ed., Philadelphia, W.B. Saunders, 1988, 6 vols.
- RESNICK, Donald and NIWAYAMA, Gen. *Diagnosis of Bone and Joint Disorders*, Philadelphia, W.B. Saunders, 1981, 3 vols.
- REVELL, Peter A. *Pathology of Bone*, Berlin, Springer-Verlag, 1986, 302 p.
- Revue du rhumatisme et des maladies ostéo-articulaires, Paris, Expansion scientifique française, 1946- .
- RIEUNAU, Georges. *Manuel de traumatologie*, 3^e éd., Paris, Masson, 1970, 342 p.
- ROCKWOOD, Charles A., Jr. and GREEN, David P., eds. *Fractures*, Philadelphia, J.B. Lippincott, 1975, 2 vols.
- RODNAN, Gerald P. and SCHUMACHER, Ralph H., eds. *Primer on the Rheumatic Diseases*, 8th ed., Atlanta, Arthritis Foundation, 1983, 238 p.

ROGERS, Lee F. Radiology of Skeletal Trauma, New York, Churchill Livingstone, 1982, 2 vols.

RUNGE, Michel. Guide pratique de radioanatomie. Os et articulations, Paris, Vigot, 1985, 164 p.

RUNGE, Michel. Os et articulations, Paris, Vigot, 1987, 168 p. (Exercices de radiodiagnostic)

RYCKEWAERT, Antoine. Rhumatologie. Pathologie osseuse et articulaire, Paris, Flammarion médecine-sciences, 1987, 492 p.

SAFFAR, Philippe. Les traumatismes du carpe : anatomie, radiologie et traitement actuel, Paris, Springer-Verlag, 1989, 205 p. (Les Monographies du poignet)

SALTER, Robert Bruce. Textbook of Disorders and Injuries of the Musculoskeletal System : An Introduction to Orthopaedics, Rheumatology, Metabolic Bone Disease, Rehabilitation and Fractures, Baltimore, Williams & Wilkins, 1983, 578 p.

SCHULTZ, Robert J. The Language of Fractures, Baltimore, Williams & Wilkins, 1972, 394 p.

SCOTT, W. Norman, ed. Arthroscopy of the Knee: Diagnosis and Treatment, Philadelphia, W.B. Saunders, 1990, 240 p.

SÈZE, S. de et DJIAN, A. La radiographie vertébrale, 5^e éd., Bruxelles, Albert de Visscher, 1986, 140 p. (Diagnostic)

SÈZE, Stanislas de et RYCKEWAERT, Antoine. Maladie des os et des articulations, Paris, Flammarion, 1954- , 3 vol. (f. mobiles)

SIMON, Lucien, BLOTMAN, Francis et CLAUSTRE, Joseph. Abrégé de rhumatologie, Paris, Masson, 1984, 592 p. (Abrégés)

SIMON, Lucien, HÉRISSON, Christian et RODINEAU, Jacques. Pathologie des insertions et enthésopathies, Paris, Masson, 1991, 256 p.

SPJUT, Harlan J. et al. Tumors of Bone and Cartilage, Washington, D.C., Armed Forces Institute of Pathology, 1971, 454 p. (Atlas of Tumor Pathology, No 5)

SPRANGER, Jürgen W., LANGER, Leonard O., Jr. and WIEDEMANN, H.-R. Bone Dysplasias: An Atlas of Constitutional Disorders of Skeletal Development, Philadelphia, W.B. Saunders, 1974, 369 p.

STEINBERG, Marvin E., ed. The Hip and Its Disorders, Philadelphia, W.B. Saunders, 1991, 1172 p.

SUTTON, David, ed. A Textbook of Radiology, 2nd ed., Edinburgh, Churchill Livingstone, 1975, 1376 p.

TACHDJIAN, Mihran O. *Pediatric Orthopedics*, Philadelphia, W.B. Saunders, 1972, 2 vols.

THE AMERICAN RHEUMATISM ASSOCIATION. *Dictionary of the Rheumatic Diseases*, Bayport, N.Y., Contact Associates International, 1982-1985, 2 vols.

THOMAS, Clayton L., ed. *Taber's Cyclopedic Medical Dictionary*, 5th ed., Philadelphia, F.A. Davis, 1985, 2170 p.

TRIAL, Raymond, et al. *Traité de radiodiagnostic*, tome xii : Os et articulations. *Pathologie régionale*, Paris, Masson, 1983, 615 p.

TRIAL, Raymond, LAVAL-JEANTET, Maurice, PLAINFOSSÉ, Marie-Christine et coll. *Traité de radiodiagnostic*, tome xi : Rhumatologie. Articulations. Parties molles, Paris, Masson, 1976, 451 p.

TRIAL, R. et RESCANIÈRES, A. *Guide pratique de technique du radiodiagnostic*, 3^e éd., Paris, Vigot, 1984, 434 p.

TRIAL, R., RESCANIÈRES, A. et GARRETA, L. *Interprétation radiologique*, 4^e éd., Paris, Vigot, 1974-1979, 3 vol.

TUREK, Samuel. *Orthopaedics: Principles and Their Application*, 4th ed., Philadelphia, J.B. Lippincott, 1984, 2 vols.

VERLEYSEN, Jules. *Précis de podologie*, 9^e éd. mise à jour, augm. et ref., Bruxelles, Caducea, 1982, 522 p.

WACKENHEIM, Auguste. *Charnière cervico-occipitale (RX, CT)*, Paris, Vigot, 1985, 192 p. (Exercices de radiodiagnostic)

WACKENHEIM, Auguste. *Imagerie du rachis cervical 1. Signes, règles, inférences*, Paris, Springer-Verlag, 1989, 189 p.

WACKENHEIM, Auguste. *Radiodiagnostic des vertèbres de l'adulte*, Paris, Vigot, 1983, 176 p. (Exercices de radiodiagnostic)

WEISSMAN, Barbara N.W. and SLEDGE, Clement B. *Orthopedic Radiology*, Philadelphia, W.B. Saunders, 1986, 679 p.

WEISSMAN, Stephen D. *Radiology of the Foot*, Baltimore, William & Wilkins, 1983, 466 p.



Autres publications du Bureau de la traduction

Bulletins de terminologie

- Additifs alimentaires
- Administration municipale
- Administration publique et gestion
- Agriculture
- Bancaire
- Barrages
- Biotechnologie végétale
- Bourse et placement
- Budgétaire, comptable et financier
- Céramiques techniques
- Conditionnement d'air
- Cuivre et ses alliages
- Élections
- Fiscalité
- Génériques en usage dans les noms géographiques du Canada
- Génie cellulaire (structure cellulaire)
- Génie génétique
- Guerre spatiale
- Hélicoptères
- Intelligence artificielle
- Langage Ada
- Langage parlementaire
- Libre-échange
- Logement et sol urbain
- Lois fédérales (Lexique juridique)
- Loisirs et parcs
- Micrographie
- Muséologie
- Nomenclature française des oiseaux d'Amérique du Nord
- Pensions
- Précipitations acides et pollution atmosphérique
- Protection civile

Other Translation Bureau Publications

Terminology Bulletins

- Acid Precipitation and Air Pollution
- Ada Language
- Advanced Ceramics
- Agriculture
- Air-Conditioning
- Artificial Intelligence
- Banking
- Budgetary, Accounting and Financial
- Cell Engineering (Cell Structure)
- Collection of Definitions in Federal Statutes
- Copper and its Alloys
- Dams
- Educational Technology and Training
- Elections
- Emergency Preparedness
- Federal Statutes (Legal Glossary)
- Food Additives
- Free Trade
- French Nomenclature of North American Birds
- Generic Terms in Canada's Geographical Names
- Genetic Engineering
- Health Services
- Helicopters
- Housing and Urban Land
- Language of Parliament
- Medical Signs and Symptoms
- Micrographics
- Municipal Administration
- Museology
- Parks and Recreation
- Pensions
- Plant Biotechnology
- Public Administration and Management

- Recueil des définitions des lois fédérales
- Sémiologie de l'appareil locomoteur (signes cliniques)
- Sémiologie médicale
- Services de santé
- Sports d'hiver
- Statistique et enquêtes
- Technologie éducative et formation
- Titres de lois fédérales
- Transport des marchandises dangereuses
- Transports urbains

Collection Lexique

- Aménagement du terrain
- Caméscope
- Chauffage central
- Classification et rémunération
- Diplomatie
- Dotation en personnel
- Droits de la personne
- Économie
- Éditique
- Emballage
- Enseignement postsecondaire
- Explosifs
- Géotextiles
- Gestion des documents
- Gestion financière
- Immobilier
- Industries graphiques
- Informatique
- Mécanique des sols et fondations
- Planification de gestion
- Pluies acides
- Procédure parlementaire
- Projets de construction
- Relations du travail
- Reprographie
- Réunions
- Services sociaux

Collection Lexiques ministériels

- Assurance-chômage
- Emploi
- Immigration

- Signs and Symptoms of the Musculoskeletal System (Clinical Findings)
- Space War
- Statistics and Surveys
- Stock Market and Investment
- Taxation
- Titles of Federal Statutes
- Transportation of Dangerous Goods
- Urban Transportation
- Winter Sports

Glossary Series

- Acid Rain
- Camcorder
- Central Heating
- Classification and Pay
- Construction Projects
- Desktop Publishing
- Diplomacy
- Economics
- Explosives
- Financial Management
- Geotextiles
- Graphic Arts
- Human Rights
- Informatics
- Labour Relations
- Management Planning
- Meetings
- Packaging
- Parliamentary Procedure
- Postsecondary Education
- Realty
- Records Management
- Reprography
- Site Development
- Social Services
- Soil Mechanics and Foundations
- Staffing

Departmental Glossary Series

- Employment
- Immigration
- Unemployment Insurance

Langue et traduction

- Aide-mémoire d'autoperfectionnement à l'intention des traducteurs et des rédacteurs
- Guide du rédacteur de l'administration fédérale
- Lexique analogique
- The Canadian Style: A Guide to Writing and Editing
- Vade-mecum linguistique

Autre publication

- Bibliographie sélective : Terminologie et disciplines connexes

L'Actualité terminologique

Bulletin d'information portant sur la recherche terminologique et la linguistique en général.
(Abonnement annuel, 4 numéros)

On peut se procurer toutes les publications en écrivant à l'adresse suivante :

Groupe Communication
Canada — Édition
Ottawa (Ontario)
K1A 0S9
tél. : (819) 956-4802

ou par l'entremise des librairies associées au Groupe Communication Canada — Édition ou du libraire de votre localité.

Language and Translation

Other Publication

- Selective Bibliography:
Terminology and Related Fields

Terminology Update

Information bulletin on terminological research and linguistics in general. (Annual subscription, 4 issues)

All publications may be obtained at the following address:

Canada Communication
Group — Publishing
Ottawa, Ontario
K1A 0S9
tel.: (819) 956-4802

or through bookstores associated with the Canada Communication Group — Publishing or through your local bookseller.



Secrétariat d'État
du Canada Department of the Secretary
of State of Canada

Conseil de recherches
médicales du Canada Medical Research
Council of Canada